

VYSOKÁ ŠKOLA STROJNÍ A TEXTILNÍ V LIBERCI

KANDIDÁTSKÁ DISERTAČNÍ PRÁCE

Aplikace laserové dopplerovské anemometrie na měření  
proudových polí vzduchového prohozu  
tryskového tkacího stroje.

Vědni obor: 39-02-9 Termomechanika a mechanika tekutin

Vypracoval: Ing. Václav Kopecký

Školitel: Prof. Ing. Jiří Kratochvil, CSc.  
Školitel spec.: Doc. Ing. Jaroslav Resl, CSc.

UNIVERZITNÍ KNIHOVNA  
TECHNICKÉ UNIVERZITY V LIBERCI



3146088164

Liberec 1993

VYSOKÁ ŠKOLA STROJNÍ A TEXTILNÍ  
Univerzitní knihovna  
Voroněžská 1329, Liberec 1  
PSČ 461 17

U281 S

2205 dr. gratz

Součástí kandidátské disertační práce je samostatná příloha obsahující sadu kompletních výsledků měření proudových polí v prohozním kanálu tkacího profilového paprsku. Ve vlastní práci jsou uvedeny pouze příklady z těchto měření.

Výsledky měření obsažené v příloze jsou majetkem VÚTS a.s. Liberec a příloha je z důvodů utajení určena pouze pro účely obhajoby.

## Souhrn

V práci je navržena experimentální metodika měření proudových polí vzduchového prohozu tryskového tkacího stroje laserovým dopplerovským anemometrem a na základě takto realizované metodiky jsou provedena měření rychlostních polí na následujících částech prohozního ústrojí vzduchového tkacího stroje:

- za ústím vkládací trysky
- uvnitř prohozního kanálu tkacího profilového paprsku (rychlostní pole je tvořené štafetovými tryskami)
- ve vstupní části tkacího profilového paprsku (rychlostní pole je tvořené směšováním proudu vkládací tkací trysky s proudy štafetových trysek)

Navržená metodika umožnila i měření proudění u stěny kanálu profilového tkacího paprsku, přičemž maximální přiblížení ke stěně kanálu bylo 1 mm a v některých případech až 0,5 mm.

Práce je rozvržena do osmi kapitol. V 1. kap. je obsaženo stručné shrnutí poznatků z oblasti výzkumu proudových polí na vzduchových tkacích strojích a ve 2. kap. jsou pak definovány hlavní cíle kandidátské disertační práce. Ve 3. kap. je uveden přehled základních měřicích metod, které lze zvažovat pro měření vzduchového prohozu - tlakové sondy, termoanemometrie a laserová anemometrie (LDA, L2F, PIV). 4. kap. nazvaná Laserový dopplerovský anemometr (LDA) popisuje technická provedení a důležité pojmy používané v další části práce.

Vlastní práce pak je obsažena v kap. 5 - 8. Kap. 5 obsahuje návrh a řešení experimentální metodiky měření

vzduchového prohozu na tkacím stroji metodou LDA. Na počátku jsou porovnány vlastnosti a použitelnost LDA s ostatními metodami a dále je provedena analýza faktorů ovlivňujících přesnost měření vzduchového prohozu metodou LDA. Na základě této analýzy bylo sestaveno experimentální zařízení a řešeny zásadní metodické problémy jako je vhodné sycení vzduchu stopovacími částicemi a měření proudění u stěny kanálu profilového paprsku. Pro úspěšné měření v minimálních vzdálenostech 0,5 - 1 mm od stěny kanálu byly realizovány dva způsoby řešení - metoda polarizační separace a metoda mimoosového snímání.

V 6. kap. jsou popsána měření proudových polí vzduchového prohozu ve třech výše uvedených oblastech prohozního ústrojí tkacího stroje. Kompletní výsledky měření jsou shrnutý v samostatné příloze.

V 7. kap. jsou formulovány hlavní směry dalšího rozvoje studia vzduchového prohozu metodou LDA. Ty lze rozdělit do tří oblastí - měření malých příčných složek rychlosti, měření nestacionárních periodických proudových polí vzduchového prohozu a zviditelňování proudění s využitím laseru. Jeden z navržených způsobů měření nestacionárních periodických proudových polí je demonstrován na měření rychlosti proudění za vodní tkaci tryskou. Na konci kapitoly jsou prezentovány výsledky zviditelnění proudění vzduchového prohozu tzv metodou laserového nože.

V závěrečné 8. kap. jsou zhodnoceny výsledky a nové poznatky vyplývající z kandidátské disertační práce.

## Obsah

Souhrn	3
Obsah	5
Seznam použitého označení	8
Úvod	12
1. Stručné shrnutí současného stavu poznatků z oblasti výzkumu proudových polí na vzduchových tkacích strojích.	13
1.1 Vzduchové tryskové tkani.	13
1.2 Sočasný stav měření proudových polí na vzduchových tkacích strojích.	17
2. Cíl kandidátské disertační práce.	20
3. Přehled základních metod měření rychlosti proudění a intenzit turbulence.	22
3.1 Měření rychlosti proudění tlakovými sondami.	22
3.2 Měření středních rychlostí a intenzit turbulence termoanemometrem.	27
3.3 Laserová anemometrie.	34
3.3.1 Obrazová anemometrie částic.	35
3.3.2 Laserová dvojohnisková anemometrie.	39
3.3.3 Laserová dopplerovská anemometrie - princip a teorie.	43
4. Laserový dopplerovský anemometr.	52
4.1 Optická část laserového dopplerovského anemometru.	52
4.1.1 Optické usporádání laserového dopplerovského anemometru.	52
4.1.2 Optická sonda LDA.	56
4.1.3 Frekvenční posuv.	57

4.2	Vyhodnocovaci část laserového dopplerovského anemometru.	61
4.2.1	Signál LDA.	61
4.2.2	Procesory LDA.	63
5.	Návrh a řešení experimentální metodiky měření vzduchového prohozu na tkacím stroji metodou LDA.	71
5.1	Stanovení úkolů.	71
5.2	Srovnání použitelnosti LDA a ostatních metod pro měření rychlostních polí vzduchového prohozu.	72
5.3	Analýza faktorů ovlivňujících přesnost měření vzduchového prohozu metodou LDA.	76
5.3.1	Přítomnost šumu v signálu.	77
5.3.2	Stopovací částice a jejich schopnost sledovat změny směru a rychlosti proudu.	81
5.3.3	Rovnoměrnost nasycení měřeného média stopovacími částicemi.	82
5.3.4	Odchylka směru proudu od měřeného směru.	83
5.3.5	Statistická chyba rychlosti.	84
5.3.6	Pokles amplitudy s narůstající dopplerovskou frekvencí.	87
5.3.7	Přesnost procesoru LDA.	88
5.4	Použitá měřicí technika.	90
5.5	Traverzovací zařízení pro LDA.	96
5.6	Řešení sycení proudícího vzduchu stopovacími částicemi.	102
5.6.1	Generátor částic.	102
5.6.2	Problematika sycení proudícího vzduchu stopovacími částicemi glycerinu při měření vzduchového prohozu.	103
5.7	Řešení problematiky měření proudění metodou LDA u stěny kanálu profilového paprsku tkacího stroje.	112
5.7.1	Metoda polarizační separace.	113
5.7.2	Metoda mimoosového snímání.	125

6.	Měření proudových polí vzduchového prohozu tryskového tkacího stroje metodou LDA.	131
6.1	Měření proudových polí za ústím vkládaci tkací trysky.	133
6.2	Měření proudových polí uvnitř kanálu tka- cího profilového paprsku.	139
6.3	Měření proudových polí ve vstupní části ka- nálu tkacího profilového paprsku.	160
7.	Hlavní směry dalšího rozvoje studia vzducho- vého prohozu metodou LDA.	179
7.1	Způsob měření příčných složek rychlosti $w_y$ a $w_z$ .	179
7.2	Způsob měření nestacionárních periodických proudových polí vzduchového prohozu.	186
7.2.1	Stroboskopická metoda.	186
7.2.2	Encoderová metoda.	195
7.3	Zviditelňování proudění vzduchového prohozu metodou laserového nože.	196
8.	Výsledky kandidátské disertační práce a nové poznatky.	199
	LITERATURA	208

## SEZNAM POUŽITÉHO OZNAČENÍ

- a ... rychlosť šírenia zvuku v tekutinē [ $m.s^{-1}$ ]  
A ... empirická konštantă získaná cejchováním  
[ $v^2$ ]  
 $A_s$  ... amplituda signálu  
 $A_n$  ... amplituda šumu  
B ... empirická konštantă získaná cejchováním  
[ $v^2.s.m^{-1}$ ]  
C ... konštantă, ktorá je funkciou geometrie  
sondy úhlu náběhu, turbulence proudu,  
vazkosti nabíhajúcej tekutiny aj. [1]  
 $c_p$  ... měrné teplo při konstantním tlaku  
[ $J.kg^{-1}.K^{-1}$ ]  
d ... vzdáenosť laserových paprsků [m]  
 $D_e$  ... průměr laserového paprsku [m]  
 $d_e$  ... průměr fokusovaného laserového paprsku  
[m]  
 $d_f$  ... rozteč interferenčných proužků [m]  
 $d_m$  ... průměr optické sondy [m]  
 $d_w$  ... průměr drátkovej sondy [m]  
e ... náboj elektronu [C]  
 $E_s$  ... intenzita elektrického pole  
rozptýleného svetla [ $V.m^{-1}$ ]  
 $\vec{e}_i$  ... jednotkový vektor ve smere dopadajúcej  
vlnoplochy  
 $\vec{e}_s$  ... jednotkový vektor ve smere snímání  
rozptýleného svetla  
f ... ohnisková vzdáenosť [m]  
 $f_o$  ... frekvenční posuv [Hz]  
 $f_D$  ... dopplerovská frekvence [Hz]  
 $f_{vi}$  ... váhová funkce i-tého měření  
I ... proud [A]

- $I_1, I_2 \dots$  intenzita laserových paprsků [ $\text{W} \cdot \text{m}^{-2}$ ]  
 $I_s \dots$  intenzita rozptyleného světla [ $\text{W} \cdot \text{m}^{-2}$ ]  
 $\bar{I}_s \dots$  střední hodnota dopplerovského proudu  
[A]  
 $k \dots$  vlnový vektor [ $\text{m}^{-1}$ ]  
 $K_f \dots$  součinitel tepelné vodivosti [ $\text{W} \cdot \text{m}^{-1} \cdot \text{K}^{-1}$ ]  
 $l \dots$  char. rozměr sondy termoanemometru [m]  
 $l_m \dots$  délka optické sondy [m]  
 $l_w \dots$  délka drátkové sondy [m]  
 $M \dots$  Machovo číslo [1]  
 $n \dots$  empirická konstanta získaná cejchováním  
[1] (kap.3.2)  
 $n \dots$  absolutní index lomu [1] (kap.3.3.3)  
 $n \dots$  počet měření [1]  
 $N \dots$  počet vzorků v mezipaměti BSA (8,16,  
32,64), nebo počet dopplerovských cyklů  
vyhodnocovaných čítačem  
 $N_{FR} \dots$  celkový počet interferenčních proužků  
v průřezu optické sondy (LDA) [1]  
 $N_o \dots$  počet cyklů generovaný částicí bez  
použití frekvenčního posuvu [1]  
 $N_s \dots$  počet cyklů generovaný částicí při  
použití frekvenčního posuvu [1]  
 $p_o \dots$  skutečně změřený celkový tlak [Pa]  
 $p_{oi} \dots$  místní tlak zbrzdění [Pa]  
 $p_s \dots$  statický tlak [Pa]  
 $P \dots$  elektrický výkon dodaný sondě [W]  
 $P_s \dots$  výkon signálu [W]. (kap.5.3)  
 $P_s \dots$  světelný výkon rozptylený jednou  
částicí [W]  
 $P_L \dots$  výkon laseru [W]  
 $P_n \dots$  výkon šumu [W]  
 $q \dots$  tepelný tok [ $\text{W} \cdot \text{m}^{-2}$ ]  
 $Q \dots$  množství tepla [W]  
 $r, \xi, \varphi \dots$  polární souřadnice  
 $R \dots$  elektrický odpor sondy [ $\Omega$ ]  
 $s \dots$  poloměr laserového paprsku [m]

$s_k$  ... k-tá energetická hustota  
SNR... odstup signálu od šumu [dB]  
 $t_n$  ... čas trvání N cyklů dopplerovského signálu [s]  
 $T$  ... povrchová teplota sondy [K]  
 $T_0$  ... teplota tekutiny [K]  
 $T_s$  ... střední teplota mezi drátkem a tekutinou [K]  
 $T_u$  ... intenzita turbulence [%]  
 $u$  ... složka rychlosti do směru normály interferenčních rovin [ $m.s^{-1}$ ]  
 $v$  ... rychlosť částice [ $m.s^{-1}$ ] (kap.3.3.3)  
 $v$  ... rychlosť šíření akustické vlny [ $m.s^{-1}$ ] (kap.4.1.3)  
 $V$  ... měřicí objem (objem optické sondy) [ $m^3$ ]  
 $w_i$  ... hodnota i-tého měření rychlosti [ $m.s^{-1}$ ]  
 $w_s$  ... střední rychlosť proudici tekutiny [ $m.s^{-1}$ ]  
 $w_x, w_y, w_z$  ... složky vektoru rychlosti w proudici tekutiny [ $m.s^{-1}$ ]  
 $x, y, z$  ... pravoúhlé souřadnice  
 $x_o, y_o, z_o$  ... pravoúhlé souřadnice  
 $x_n$  ... digitalizovaná hodnota n-tého časového vzorku

$$T_s = \frac{T + T_0}{2} \dots \text{střední teplota mezi drátkem a tekutinou [K]}$$

$$M = \frac{w}{a} \dots \text{Machovo číslo}$$

$$Nu = \frac{\alpha \cdot 1}{K_f} \dots \text{Nuseltovo číslo}$$

$$Re = \frac{w \cdot l}{\nu} \dots \text{Reynoldsovo číslo}$$

$$Pr = \frac{\mu + c_p}{K_f} \dots \text{Prandtlovo číslo}$$

$\alpha$  ... součinitel přestupu tepla [ $\text{W} \cdot \text{m}^{-2} \cdot \text{K}^{-1}$ ]

$\theta = 2\varphi$  ... úhel mezi vysílacími paprsky [rad]

$\alpha$  ... Poissonova konstanta [1]

$\lambda$  ... vlnová délka světla [m]

$\lambda_0$  ... vlnová délka světla ve vakuu [m]

$\lambda_q$  ... vlnová délka akustické vlny [m]

$\mu$  ... dynamická vazkost [Pa.s]

$\nu$  ... kinematická vazkost [ $\text{m}^2 \cdot \text{s}^{-1}$ ] (kap.3.2)

$v_o, v_1, v_2$  ... frekvence světla [Hz] (kap.3.3.3)

$\nu$  ... Dopplerův frekvenční posuv [Hz]

$\omega = 2\pi\nu$  ... kruhová frekvence [ $\text{m}^{-1}$ ]

$\pi = 3,1415927\dots$  ... Ludolfovo číslo

$\rho$  ... hustota tekutiny [ $\text{kg} \cdot \text{m}^{-3}$ ]

$\sigma$  ... směrodatná odchylka

$\hat{\tau}_s$  ... střední časový interval mezi dvěma  
vzorky [s]

$\hat{\tau}_i$  ... střední časový interval mezi dvěma  
částicemi [s]

$\infty$  ... index označující hodnoty  
v nerozrušeném proudu

## Úvod

Předkládaná kandidátská disertační práce shrnuje poznatky a výsledky studia rychlostních polí vzduchového prohozu tkacího stroje metodou LDA, které autor získal převážně v letech 1988 - 92 při řešení výzkumu tryskového tkani ve VÚTS Liberec.

ve VÚTS Liberec (dříve KVÚ Liberec) dospěl vývoj vzduchových tryskových tkacích strojů od prvního sériové vyroběného stavu o šířce 0,45 m k dnešní šíři 1,7-1,9 m. S rostoucími nároky na výkon rostou otáčky stroje i šíře a současně narůstají i požadavky na vlastní vzduchový prohoz, který má zásadní vliv na bezchybnou funkci tkacího stroje.

V posledních letech se ukazuje, že jedním z klíčových problémů vzduchového prohozu je optimalizace rychlostních polí v prohozním kanálu tkacího stroje.

Proto se přistoupilo k systematickému studiu a měření těchto rychlostních polí. Jako optimální metoda pro komplexní měření byla zvolena laserová dopplerovská anemometrie (LDA).

Na základě jednoduchého jednosložkového laserového anemometru byly navrženy a realizovány vhodné metodiky měření vzduchového prohozu a ty byly použity pro měření rychlostních a turbulentních profilů proudových polí vzduchového prohozu.

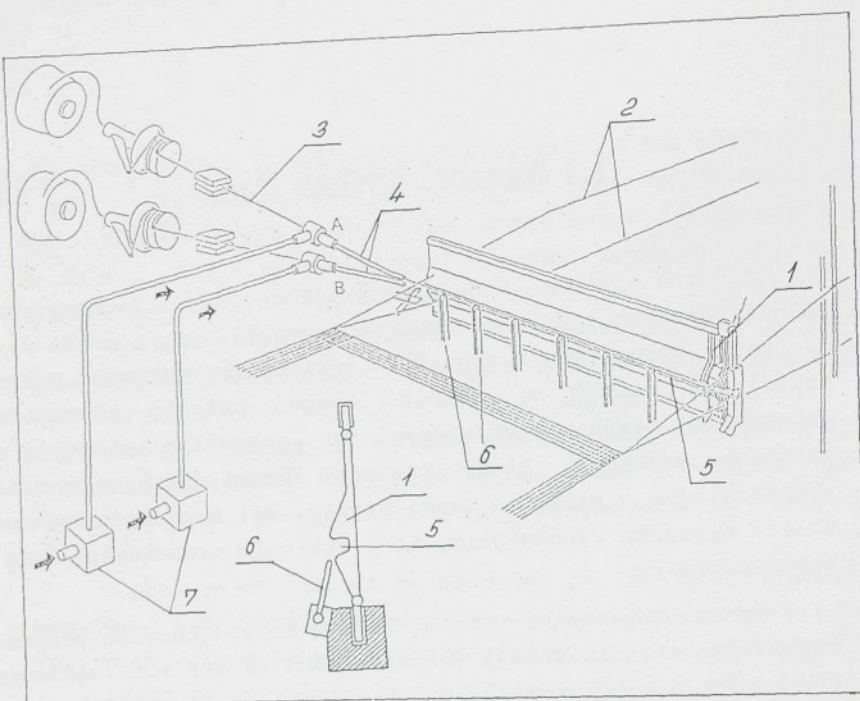
Problematika metodiky měření a vlastní měření proudových polí vzduchového prohozu jsou popsány v následujících kapitolách.

# 1. Stručné shrnutí současného stavu poznatků z oblasti výzkumu proudových polí na vzduchových tkacích strojích.

## 1.1 Vzduchové tryskové tkani.

Moderní výkonné vzduchové tryskové tkani je staré jen několik desítek let a není bez zajímavosti, že na světě první tkací stroj tohoto typu byl vyvinut ve Výzkumném ústavu textilních strojů v Liberci. Původní princip vzduchového tryskového tkani s konfuzorem, tj. s kanálem složeným ze soustavy prstenců, který částečně brání disipaci proudu, vycházejícího z prohozni tkaci trysky, byl v posledním desetiletí nahrazen výkonnějším, tzv. aktivním prohozem s profilovým paprskem.

Schéma uspořádání tohoto aktivního vzduchového prohozu tryskového tkacího stroje je znázorněno na obr 1.1. Základem prohozniho ústrojí tryskového tkacího stroje je hlavní vkládací tryska 4 (A, B) a prohozni kanál profilového paprsku 5. V případě tzv. barevné záměny, může být použito několik hlavních vkládacích trysek (na Obr 1.1 trysky A a B) pro řízené zanášení různobarevných útků. Vlastní prohozni kanál profilového paprsku má tvar "U" s vepsaným průměrem asi 6 mm. Je tvořen soustavou tenkých kovových plechů 1 oddělených mezerami - tloušťka plechu i velikost mezer je řádu desetin mm podle druhu tkaniny. Mezerami procházejí osnovní nitě 2 a mezi nimi se ve směru osy kanálu vkládá útková nit 3, která se odvíjí z cívky odměřovače a procházi vkládací tryskou. Vzájemným provázáním obou soustav niti vzniká tkanina. Útková nit se vkládá do kanálu účinkem hlavní vkládací trysky 4 a její pohyb kanálem se udržuje soustavou pomocných tzv. štafetových trysek 6, rozmištěných mimo osu kanálu



Obr. 1.1 Schéma uspořádání aktivního vzduchového prohozu tryskového tkacího stroje

obvykle v pravidelných roztečích. Kuželový proud, vycházející z ústí štafetové trysky, vstupuje do kanálu pod malým úhlem k jeho ose a interakcí se stěnou kanálu profilového paprsku se složitě mění. Část proudu prochází mezerami za paprsek, část se odráží od tvarových a porézních stěn kanálu a většina pokračuje žádoucím směrem prohozu. Dozvívající proud se v pravidelných roztečích posiluje interakci s proudem z následující štafetové trysky. Komplikovanější situace je na vstupní straně kanálu profilového paprsku, kde dochází ke směšování výrazného proudu od hlavní vkládací trysky

s proudy štafetových trysek. Vkládací proces se periodicky opakuje. Přívod tlakového vzduchu do trysek je ovládán programově řízenými solenoidovými ventily  $\text{z}$ . Štafetové trysky jsou rozděleny do sekcí vždy s jedním ventilem. Ventily štafetových trysek se otevírají postupně.

Úkolem proudových polí vytvořených tryskami je zajistit bezchybnou dopravu útkové nitě ve stanoveném čase pro prohoz na vzdálenost danou šírkou osnovy. Tkací proces sám je značně složitý. Relativně nejjednodušší je návrh potřebných mechanismů tkacího stroje. Tato oblast je systematicky rozpracovávána od samých počátků vzniku moderních tkacích strojů. Existuje propracovaná teorie k vytvoření mechanismů, vykonávajících potřebné periodické pohyby tak, aby mechanismy byly pevnostně dimenzovány, staticky a dynamicky vyváženy a aby byla zaručena životnost a spolehlivost stroje. Přitom otáčky řádu 10 až 20  $\text{s}^{-1}$  jsou z hlediska mechanismů již poměrně dobře zvládnuty. Moderní výpočtové metody, využívající metodu konečných prvků, jsou v oboru pevnostních výpočtů velmi dobře propracované a běžně dostupné.

Komplikovanější situace je v oblasti vzduchotechniky tryskového tkacího stroje, pomocí které se periodicky vytváří nosné prostředi pro zatkávání útkovou niť. Teorie a praktické zkušenosti jsou v této oblasti mnohem chudší. Moderní výpočtové metody, využívající metody konečných prvků jsou málo rozšířené, mnohem náročnější na výkonnost počítačů a zatím nepoužitelné pro tak složitý případ jako je vzduchový prohoz. Navíc řada netriviálních problémů z oblasti prouďení není z důvodu utajení publikována, protože spadají převážně do oblasti raketové, letecké a vojenské techniky.

Praktické zkušenosti shrnuji v převážné míře pouze kusé empirické poznatky, které lze využívat pouze pro naprosto konkrétní případ právě zkoušeného uspořádání prohozu.

Stále stoupající tkací výkony vzduchových tryskových tkacích strojů (předvedené na posledních výstavách textilních strojů ITMA 87 v Paříži a ITMA 91 v Hanoveru) kladou vysoké nároky právě na parametry a optimalizaci vlastního vzduchového prohozu.

Například poslední prototyp vzduchového tryskového stávu, vyvinutého ve VÚTS Liberec, který byl vystavován na výstavě ITMA 91 v Hanoveru, pracoval při téměř 1200 otáčkách za minutu, tj. s frekvencí  $20\text{ s}^{-1}$ , při tkací šířce 1.65 m. Na jednu otáčku připadá čas 50 ms a z toho přibližně polovina, tj. 25 ms, připadá na vlastní prohoz. Celý děj prohozu útkové nitě se periodicky opakuje. Jednoduchým výpočtem vychází skutečná střední prohozní rychlosť přibližně 66 m/s. Vzduchové pole nesoucí útek by tedy nemělo být pomalejší.

V současné etapě vývoje tryskových tkacích strojů má systematické studium a optimalizace vlastního vzduchového prohozu zásadní vliv na zvyšování parametrů stroje. Nevyřešených prohozních problémů, které spadají do oblasti mechaniky tekutin je celá řada:

- maximální urychlení útku ve vkládací trysce při její malé agresivitě k útku
- stabilita útku v proudu vzduchu
- směrově stabilní a silný proud štafetových trysek a vkládací trysky
- interakce volných proudů s tvarovými a poréznimi stěnami prohozního kanálu tkacího paprsku
- optimalizace rychlostního pole v prohozním kanálu profilového paprsku a optimální rozmištění a nastavení štafetových trysek
- sladění účinku vkládací trysky se soustavou štafetových trysek

Je zřejmé, že problematika vzduchového prohozu nezahrnuje pouze řešení proudových polí, ale též jejich efektivní působení na útkovou nit tak, aby v konečném důsledku bylo dosaženo požadované činnosti a spolehlivého výkonu tkacího stroje.

Měření a studium proudění na prohozním ústroji tryskového tkacího stroje je však rozhodně jednou z nutných podmínek pro pochopení a optimalizaci vlastního vzduchového prohozu. A právě tato problematika je obsahem předložené práce.

## 1.2 Současný stav měření proudových polí na vzduchových tkacích strojích.

Stručný přehled měřicích metod využitelný pro měření rychlostních polí vzduchového prohozu je uveden v kap. 3.

Literatura zabývající se metodikou měření a vlastním měřením rychlostních polí na vzduchových tkacích strojích je ve srovnání se studiem ostatních oblastí tkacího procesu (např. mechanismy tkacího stroje, pohyb útku atd.) velmi chudá. Z toho lze usuzovat, že systematické studium a měření rychlostních polí vzduchového prohozu se téměř neprovádí, a pokud ano, nejsou výsledky pravděpodobně v důsledku obchodního utajení publikovány.

Tento stav je zřejmě způsoben i tím, že systematická objektivní měření jsou obvykle velmi komplikovaná a z cenového i časového hlediska velmi náročná. Navíc neexistuje ani universální měřicí metoda ani není vypracována ucelená metodika, která by řešila měření rychlostních polí v celém rozsahu vzduchového prohozu.

Nejčastěji se měří rychlostní pole na prohozním ústroji vzduchového tryskového tkacího stavu miniaturními tlakovými sondami. Obvykle se jedná o nejjednodušší Pitotovy trubice vytvořené např. z injekční jehly. Tyto jednoduché prostředky jsou obvykle využívány při seřizování i kontrole štafetových trysek, ale často se v různých úpravách používají i k měření rychlostních polí v prohozním kanálu profilového tkacího paprsku.

Např. v [82] je popsáno měření podélných a příčných rychlostních profilů v prohozním kanálu profilového paprsku, které bylo prováděno pomocí Pitotovy sondy (vytvořené z injekční jehly) s vnějším průměrem 0.8 mm a s otvorem 0.4 mm a též 'devitiotvorovou sondou' sestavenou z jehel o vnitřním průměru 0.5 mm v roztečích po 1.5 mm. V téže práci jsou uváděny značné problémy s opakovatelností měření a velké rozptyly v naměřených hodnotách dynamického tlaku.

I když nebudeme brát ohled na narušení vlastního proudu tlakovými sondami, je jejich použití, v tak komplikovaném proudění jakým vzduchový prohoz bezesporu je (tj. prostorové proudění s vysokou turbulencí a velkým rozsahem rychlosti), velmi problematické. Obecně může docházet při měření k hru-  
bým chybám. Podrobněji jsou uvedené problémy diskutovány  
v kap. 5.2 a 3.1.

Těchto obtíží si je vědom i přední renomovaný dodavatel aktivního vzduchového prohozu s profilovým paprskem firma Rüti te Strake. Přestože i on používá pro měření rychlostních polí v prohozním kanálu profilového paprsku 'viceotvorových tlakových sond' sestavených z miniaturních Pitotových sond [83], v poslední době si objednává měření laserovým dopplerovským anemometrem prováděná metodou uvedenou v této práci.

Méně často je pro měření rychlostních polí vzduchového prohozu používán anemometr se žhaveným drátkem (termoanemometr), viz. např. [84], [85]. Termoanemometry mají oproti tlakovým sondám lepší předpoklady pro získání věrohodnějších výsledků při studiu vzduchového prohozu, avšak tato měření jsou mnohem náročnější. Přesto i termoanemometrie jako kontaktní nelineární metoda naráží při komplexním měření prouďových polí vzduchového prohozu na závažné problémy, především v oblastech vysoké turbulence a při měření transonicích rychlostí. Podrobnější rozbor omezení termoanemometrie při měření vzduchového prohozu je uveden v kap. 5.2 a 3.2.

Z optických metod je v Technische Rundschau Sulzer [86] popsáno použití laserového dvojohniskového anemometru pro měření rychlostních polí v prohozním kanálu profilového paprsku, nejsou však uvedeny žádné výsledky měření. V publikaci je též porovnávána laserová dopplerovská anemometrie s laserovou dvojohniskovou anemometrií. Z hlediska měření u stěny kanálu profilového paprsku je za vhodnější považován dvojohniskový anemometr, přičemž pro dvojohniskovou anemometrii je uveden minimální možný odstup od stěny 2 - 5 mm a pro dopplerovskou anemometrii 10 mm. Z hlediska těchto údajů se jeví laserová dopplerovská anemometrie pro měření

uvnitř kanálu profilového paprsku jako nepoužitelná. Avšak navržené metodiky a výsledky měření uvedené v této práci vyvracejí tyto negativní předpovědi.

Podrobnější rozbor možnosti laserové dopplerovské a dvojohniskové anemometrie při měření vzduchového prohozu je uveden v kap.5.2, 3.3.2 a 3.3.3.

## 2. Cíl kandidátské disertační práce

Úkoly definované před započetím kandidátské disertační práce byly následující:

1. Vypracovat experimentální metodiku měření stacionárních rychlostních polí laserovým dopplerovským anemometrem (LDA) na následujících částech prohozního ústrojí vzduchového tkacího stroje:

- a) za ústím vkládací tkaci trysky
- b) uvnitř prohozního kanálu tkacího profilového paprsku, kde rychlostní pole je vytvářeno pomocnými štafetovými tryskami
- c) ve vstupní části tkacího profilového paprsku, kde rychlostní pole je tvořeno směšováním proudu hlavní trysky s proudy štafetových trysek.

Pro měření rychlostních polí uvnitř prohozního kanálu tkacího profilového paprsku byl stanoven požadavek na měření dominantních složek rychlosti ve směru prohozu při současném maximálním přibližení ke stěně kanálu. Za vyhovující je považována vzdálenost 1 mm od stěny kanálu.

2. Provést experimentální ověření navržené metodiky.
3. Formulovat hlavní směry dalšího rozvoje studia vzduchového prohozu metodou LDA.

Metody zpracování zadaného úkolu:

1. Porovnat použitelnost LDA a ostatních metod (tlakové sondy, termoanemometrie, PIV a L2F anemometrie) pro měření rychlostních polí vzduchového prohozu.
2. Provést analýzu faktorů ovlivňujících přesnost měření vzduchového prohozu metodou LDA.
3. Na základě této analýzy navrhnout a vyřešit experimentální metodiku měření vzduchového prohozu na tryskovém tkacím stroji metodou LDA.
4. S využitím navržené metodiky provést měření prouďových polí vzduchového prohozu dle zadání kandidátské disertační práce a prezentovat naměřené výsledky.
5. Navrhnut hlavní směry dalšího rozvoje studia vzduchového prohozu tkacího stroje metodou LDA a shodnotit výsledky kandidátské disertační práce.

### 3. Přehled základních metod měření rychlostí proudění a intenzit turbulence.

Před započetím práce se zvažovalo použití různých měřicích metod.

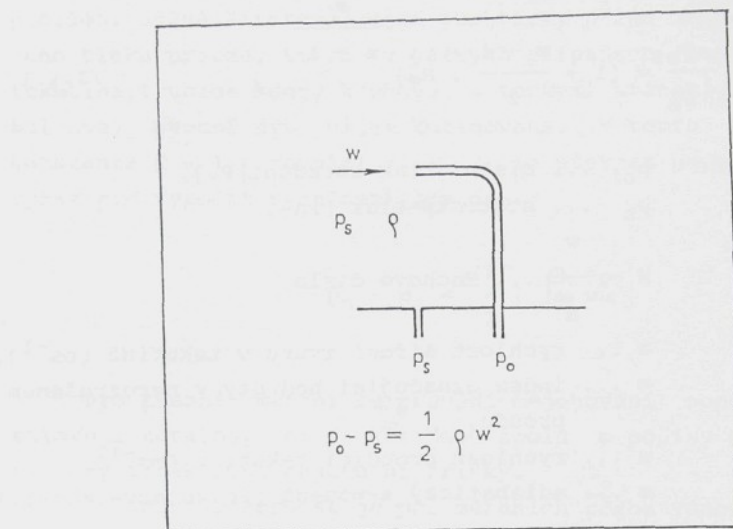
Pro měření rychlostních polí v prohozni kanálu vzduchového tryskového tkacího stroje lze použít následující měřicí metody:

- měření rychlosti miniaturními tlakovými sondami
- měření rychlosti a intenzit turbulence termoanemometrem (anemometr se žhaveným drátkem)
- měření rychlostních polí pomocí obrazové anemometrie částic (Particle Image Velocimetry (PIV))
- měření rychlosti a intenzit turbulence laserovým anemometrem (laserový dopplerovský anemometr LDA, laserový dvouohniskový anemometr L2F)

#### 3.1 Měření rychlostí proudění tlakovými sondami

Určování rychlosti výpočtem ze statického a celkového tlaku patří pro svoji jednoduchost a dostupnost mezi nejrozšířenější metodu určování rychlosti proudění tekutin, přestože není nikdy zcela spolehlivé, neboť vložená sonda vždy poněkud pozmění chování proudu.

Základním typem sondy pro zjištování celkového tlaku uvnitř proudu tekutiny je Pitotova trubice znázorněná na obr.3.1 (triviální vyobrazení odpovídá upravené injekčním jehlám běžně používané při měření v prohozni kanálu profilového paprsku). Pitotova trubice je trubka obrácená otevřeným koncem proti nabíhajícímu proudu, druhým koncem je připojena k tlakoměrnému přístroji. Rovina ústí, jehož provedení může být různé, je kolmá ke směru proudu i k ose trubice.



Obr. 3.1 Měření rychlosti sondou celkového tlaku.

Tato sonda se používá k měření rychlosti v oblastech proudění s konstantním tlakem, jako jednoduchý prostředek k získání středních časových hodnot rychlosti. V laboratorní technice je Pitotova sonda základním prostředkem ke stanovení rychlostního profilu v potrubí, v mezni vrstvě obtékanych těles, v úplavech za tělesy či v dalších případech přibližně paralelního proudění. V důsledku konstrukční jednoduchosti je možné Pitotovu trubici miniaturizovat lépe než kteříkoliv z jiných tlakových sond. Není obtížné vyrobit Pitotovu trubici s vnějším průměrem pod 0,5 mm.

Pitotova trubice měří celkový tlak  $p_{oi}$ , někdy též nazývaný tlakem zbrzdění, který představuje střední velikost sil, působících na povrch částic tekutiny v kritickém bodě trubky, tj. v bodě nulové rychlosti. V proudu ideální stlačitelné tekutiny platí mezi místním tlakem zbrzdění  $p_{oi}$ , statickým tlakem  $p_s$  a Machovým číslem  $M_\infty$  nabíhajícího nerozrušeného proudu vztah [1], [2]:

$$\frac{p_{oi}}{p_s} = \frac{\alpha}{(1 + \frac{\alpha - 1}{2} \cdot M_\infty^2)} \cdot \frac{\alpha - 1}{w}, \quad /3.1.1/$$

kde  $p_{oi}$  ... místní tlak zbrzdění [Pa],

$p_s$  ... statický tlak [Pa],

$w$   
 $M = \frac{a}{M}$  ... Machovo číslo,

$a$  ... rychlosť šírenia zvuku v tekutine [ $\text{ms}^{-1}$ ],  
 $\infty$  ... index označujúci hodnoty v nerozrušenom  
proudovi,

$w$  ... rychlosť proudici tekutiny [ $\text{ms}^{-1}$ ],

$\alpha$  ... adiabatický exponent (Poissonova konst.)

Vztah /3.1.1/ prejde pro malé hodnoty  $M$  na tvar:

$$\frac{p_{oi}}{p_s} = 1 + \frac{\alpha}{2} \cdot M_\infty^2 = 1 + \frac{1}{2} \cdot \frac{\rho_\infty w_\infty^2}{p_s}, \quad /3.1.2/$$

kde  $\rho$  ... hustota tekutiny [ $\text{kgm}^{-3}$ ].

Pro reálnou tekutinu je nutné vztah /3.1.2/ korigovat na tvar:

$$\frac{p_o}{p_s} = 1 + C \cdot \left( \frac{1}{2} \cdot \frac{\rho_\infty w_\infty^2}{p_s} \right), \quad /3.1.3/$$

kde  $p_o$  ... skutečně změřený celkový tlak [Pa],

$C$  ... konstanta, která závisí na geometrii sondy,  
úhlu náběhu, turbulenci proudu, vazkosti  
nabitající tekutiny, přičemž gradientu  
rychlosť aj.

Při dostatečné shodě směru sondy se směrem rychlosti proudění udává Pitotova sonda prakticky přímo hodnotu celkového tlaku proudu, která v běžných případech (nestlačitelná tekutina, trubice sondy kruhová s tenkými stěnami, nízká turbulence) nemusí být nijak korigována. V tomto případě je konstanta  $C = 1$  a rovnici /3.1.3/ lze převést na elementární výraz pro výpočet rychlosti proudění:

$$p_0 - p_s = \frac{1}{2} \cdot \rho_\infty w_\infty^2 \quad /3.1.4/$$

Pro přesná měření se provádí cejchování sond. V praxi existují katalogy sond, kde jsou spolu s popisy konstrukcí uváděny i základní cejchovní křivky.

Zvláštní pozornost je při měřeních třeba věnovat následujícím případům:

- a. Při velmi nízkých Reynoldsových číslech, kdy výsledek je značně ovlivněn vazkosti tekutiny. Odchylka je závislá na geometrii sondy [1], [2].
- b. V proudu s příčným gradientem rychlosti, kde dochází k úchylce směrem k vyšším hodnotám. Tato úchylka opět závisí na tvaru sondy [2].
- c. Je-li proudové pole kolem trubice ovlivňováno přítomností stěny. V tomto případě měří sonda nižší celkový tlak než je skutečný [3].
- d. V silně turbulentních, pulsujících a nestacionárních prouděních může chyba představovat až desítky procent [1], [4].
- e. Vliv úhlu náběhu - citlivost sondy k úhlu náběhu proudu je závislá na konstrukčním provedení sondy, jejich rozměrech a na režimu proudění okolo sondy [2].

f. v případech, kdy je nezanedbatelný vliv stlačitelnosti (viz např. [1], [2]).

Kromě Pitotových sond se používají i sondy Prandtlovy. Tyto sondy umožňují současný odběr statického i celkového tlaku. Existuje velké množství různých technických provedení sond.

Pro vyhodnocení měření Pitotovou sondou je nezbytná hodnota statického tlaku. V těch případech, kdy statický tlak nelze nahradit atmosferickým, je nutné ho měřit.

Měření statického tlaku se provádí v zásadě dvěma způsoby:

- pomocí otvorů ve stěnách (viz např. [2], [5])
- pomocí speciálních sond statického tlaku [2].

Měření pouze statického tlaku nepodává bez dalších doplňujících údajů (např. celkového tlaku) exaktní pohled na rychlostní pole v proměřované oblasti, avšak je dobrým vodítkem při zjišťování poruch, nestacionarit a rázových vln v proudovém poli.

Pole statického tlaku se v běžných případech považuje za konstantní v řezu napříč proudem. Proto se nejčastěji používá pro měření statistického tlaku odběrů ve stěnách. Případy směšovacích oblastí, úplavů a pod. nevyhovují tomuto zjednodušení a proto je nutno zde pole statického tlaku zjišťovat speciálními sondami statického tlaku.

Pro měření fluktuaci rychlosti v turbulentním proudu se využívají speciální tlakové sondy [6].

Při měření rychlých fluktuací tlaku jsou na tlakové sondy kladený vysoké požadavky. Mimo statické parametry, jako je např. linearita, nízká histereze, vysoká citlivost teplotní stabilita, přistupují ještě požadavky dynamické: vysoká vlastní frekvence, malý odpor pneumatického traktu, vysoký útlum, plochá amplitudová frekvenční charakteristika sondy v pracovní oblasti a lineární fázová frekvenční charakteristika. Dále se vyžadují malé rozměry, neboť sonda nesmí příliš narušit proudění.

### 3.2 MĚŘENÍ STŘEDNÍCH RYCHLOSTÍ A INTENZIT TURBULENCE TERMOANEMOMETREM

Termoanemometrie je založena na měření odvodu tepla konvekci ze žhaveného drátku nebo filmu, který je obtékán tekutinou. Odvod tepla z obtékaného čidla je závislý na rychlosti proudící tekutiny.

Problematika měření termoanemometrem je značně rozsáhlá a existuje k ní velké množství literatury (např.[7] - [14]).

#### 3.2.1 Základní principy termoanemometrie

Tepelná ztráta proudícím médiem ochlazované sondy je funkcií rychlosti, teploty, hustoty a tepelných vlastností tekutiny a fyzikálních vlastností sondy. Za předpokladu, že známe všechny ostatní uvedené parametry, lze tepelnou ztrátu interpretovat jako přímé měřitko rychlosti. Tato tepelná ztráta je rovna dodanému elektrickému příkonu.

Přenos tepla mezi sondou a okolním prostředím je charakterizován Nusseltovým číslem:

$$Nu = \frac{\alpha \cdot l}{K_f} \quad /3.2.1/$$

kde  $\alpha$  ... součinitel přestupu tepla [ $W \cdot m^{-2} \cdot K^{-1}$ ],  
 $l$  ... char. rozměr sondy [ $m$ ],  
 $K_f$  ... součinitel tepelné vodivosti [ $W \cdot m^{-1} \cdot K^{-1}$ ].

Tepelný tok mezi tekutinou a sondou anemometru je:

$$q = \alpha \cdot (T - T_0), \quad /3.2.2/$$

kde  $q \dots$  tepelný tok [ $\text{W} \cdot \text{m}^{-2}$ ],  
 $T \dots$  povrchová teplota sondy [K],  
 $T_0 \dots$  teplota tekutiny [K].

Po dosazení /3.2.2/ do /3.2.1/ dostaneme:

$$\text{Nu} = \frac{q \cdot l}{k_f \cdot (T - T_0)} \quad . \quad /3.2.3/$$

Při vyšších rychlostech, kdy převládá nucená konvekce, je toto Nusseltovo číslo pouze funkcí čísla Reynoldsova a Prandtlova:

$$\text{Nu} = f(\text{Re}, \text{Pr}), \quad /3.2.4/$$

kde  $\text{Re} = \frac{w \cdot l}{\nu} \dots$  Reynoldsovo číslo,

$$\text{Pr} = \frac{\mu \cdot c_p}{k_f} \dots \text{Prandtovo číslo},$$

kde  $w \dots$  rychlosť proudici tekutiny [ $\text{m} \cdot \text{s}^{-1}$ ],  
 $\nu \dots$  kinematická viskozita [ $\text{m}^2 \cdot \text{s}^{-1}$ ],  
 $\mu \dots$  dynamická viskozita [Pa.s].  
 $c_p \dots$  měrné teplo při konstantním tlaku  
[ $\text{J} \cdot \text{kg}^{-1} \cdot \text{K}^{-1}$ ].

Pro dvojatomové plyny lze za běžných teplot pokládat Prandtovo číslo za přibližně konstantní. Potom platí:

$$\text{Nu} = f(\text{Re}), \quad /3.2.5/$$

Při rychlostech asi nad  $M > 0,3$  začíná mit stále výrazněji vliv na přestup tepla stlačitelnost tekutiny, takže:

$$\text{Nu} = f(\text{Re}, \text{Pr}, M), \quad /3.2.6/$$

kde  $M = \frac{w}{a}$  ... Machovo číslo,  
a ... rychlosť šírenia zvuku v tekutine [ $m.s^{-1}$ ].

Sonda anemometru je zapojena do Wheatstonova můstku a vyhřívána protékajicím elektrickým proudem. Napětí na můstku je měřitkem tepelných ztrát čidla.

Protože rovnice vyjadřujici přestup tepla mezi čidlem a tekutinou neumožňují teoretické řešení, je nutné zjišťovat tvar vztahů /3.2.4/ až /3.2.6/ experimentálně.

Základ této práce byl položen r. 1914 L.V.Kingem, který pro dvojrozměrný přestup tepla z válce do nestlačitelné tekutiny odvodil tzv. Kingův zákon [15]:

$$Q = K_f \cdot l_w \left[ 1 + \sqrt{\left( \frac{2 \cdot \pi \cdot \rho \cdot c_p \cdot d_w \cdot w}{K_f} \right)} \cdot (T - T_0) \right], \quad /3.2.7/$$

kde  $Q$  ... množství tepla [W],  
 $d_w$  ... průměr drátkové sondy [m],  
 $l_w$  ... délka drátkové sondy [m],  
 $\pi$  ... Ludolfovo číslo.

Rovnice /3.2.7/ lze vyjádřit v bezrozměrném tvaru

$$Nu = \frac{1}{\pi} + \sqrt{\left( \frac{2}{\pi} \cdot Re \cdot Pr \right)} \quad /3.2.8/$$

Základní předpoklady Kingova zákona obecně neplatí. Později byl odvozen zákon Collis-Williamsův platný pro oblast Reynoldsova čísla drátku  $0.02 < Re < 44$ . Pro ochlazování drátku vzduchem má tento zákon tvar [3], [9])

$$Nu = \left[ 0,24 + 0,56 \cdot Re^{0,45} \right] \cdot \left[ \frac{T_s}{T} \right]^{0,17}, \quad /3.2.9/$$

kde  $T_s = \frac{T + T_0}{2}$  ... střední teplota mezi drátkem  
a tekutinou [K].

Všechny tyto rovnice byly odvozeny pro velmi dlouhé drátkové sondy, se zanedbatelným odvodem tepla do držáků. Proto je nezbytná kalibrace každé jednotlivé sondy.

Pro stav tepelné rovnováhy platí, že тепло  $Q$  ztracené čidlem je rovno výkonu dodanému elektrickým proudem:

$$Q = P = I^2 \cdot R ,$$

/3.2.10/

kde  $P$  ... elektrický výkon dodaný sondě [W],

$I$  ... proud [A],

$R$  ... elektrický odporník sondy [ $\Omega$ ].

Vlivem změny teploty drátku způsobené proudem tekutiny se mění i jeho odporník a dochází k nevyvážení můstku. Nevyvážené napětí závisí na měřené rychlosti výsledným vztahem:

$$E^2 = A + B \cdot w^n ,$$

/3.2.11/

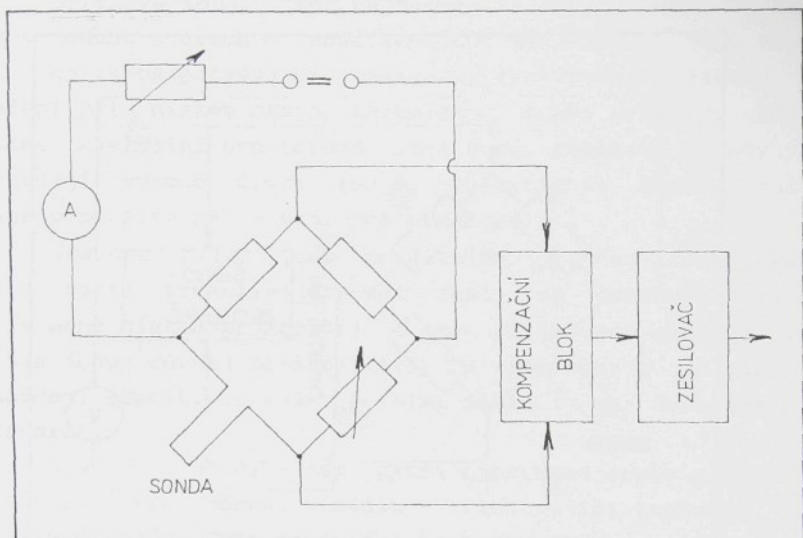
kde  $A$ ,  $B$ ,  $n$  ... empirické konstanty získané cejchováním.

Zákonů obdobných rovnicím /3.2.8/, /3.2.9/ bylo odvozeno více, viz např. [7].

Signál termoanemometru je možno zpracovávat dvěma způsoby, jak je uvedeno v následujících dvou odstavcích.

#### Anemometr s konstantním proudem

Anemometr s konstantním proudem (Constant Current Anemometer - CCA) je schematicky znázorněn na obr. 3.2. Zde jsou měřici můstek a čidlo napájeny konstantním proudem, rozvážení můstku je měřitkem přestupu tepla. Při ofukování se žhavený drátek ochlazuje a v závislosti na rychlosti kleší exponenciálně jeho elektrický odporník. Tento typ anemometru je jednodušší po elektronické stránce.



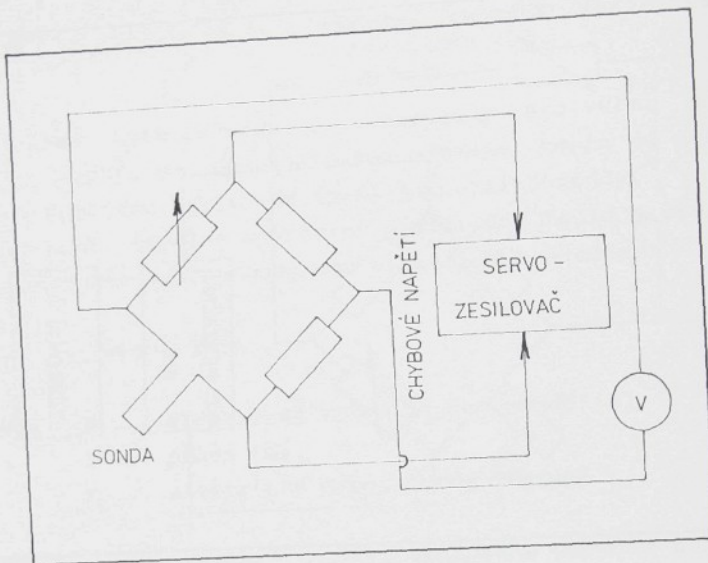
Obr.3.2 Schéma zapojení anemometru s konstantním proudem.

#### Anemometr s konstantní teplotou

Anemometr s konstantní teplotou (Constant Temperature Anemometer - CTA) je schematicky znázorněn na obr.3.3. V tomto případě je udržován konstantní odpor čidla (a tedy i jeho konstantní teplota). To vyžaduje nutnost použití obvodů pro regulaci. Elektronika je zde složitější, ale přístroj je univerzálnější.

Při obou metodách klesá citlivost měření se stoupající rychlosť proudění. Nicméně je přesnost anemometru s konstantní teplotou a především měřicí rozsah vyšší než u anemometru s konstantním proudem.

Špičkové termoanemometry vyrábějí ve světě v současné době pouze dvě firmy: TSI (USA) a DANTEC (Dánsko). Jejich katalogy obsahují velké množství různých typů sond pro širokou aplikaci (např. [16], [17]).



Obr.3.3 Schéma zapojení anemometru s konstantní teplotou.

### 3.2.2 Termoanemometrické sondy.

Hlavními typy sond pro termoanemometrii jsou žhavené drátky, válcové žhavené filmy a žhavené filmy obecnějších tvarů. Zvláštní skupinu tvoří chlazené sondy. Výběr sondy je dán mnoha faktory, např.:

- požadovaná frekvenční charakteristika,
- stupeň znečištění prostředí, ve kterém bude sonda pracovat (aby nedošlo k jejímu zničení),
- požadovaný odstup signálu od šumu,
- požadovaný rozsah rychlosti,
- požadované prostorové rozlišení - velikost sondy,
- teplota proudu.

*Drátkové sondy* jsou nejběžnějším typem sond. Vyrábějí se v mnoha tvarech a modifikacích. Tyto sondy jsou vhodné pro aplikace požadující maximální frekvenční rozsahy, pro měření při nízkém stupni turbulence a pro případy, kdy je nutné maximální prostorové rozlišení. Drátkové sondy však vyžadují vysoko čisté (např. filtrované) měřené médium. Nejsou použitelné ve vodivých prostředích.

*Žhavené filmy* jsou použitelné pro nejvíce aplikaci. Jsou totiž trvanlivější než sondy se žhaveným drátkem (i v méně čistém prostředí) a jsou přijatelně citlivé. Tato čidla jsou rovněž méně citlivá na zašpinění a je možno je snadněji čistit. Je možno s nimi měřit i ve vodivých prostředích.

*Speciální sondy* - sem patří například sondy s teplotní kompenzaci pro měření v médiu s fluktuující teplotou, nebo chlazené sondy. Tyto sondy jsou schopny pracovat až při teplotách 3000 K a rychlostech do  $150 \text{ m.s}^{-1}$ .

Další podrobné informace o vlastnostech vyráběných sond i možnostech měření lze nalézt např. v [17].

Termoanemometrie je kontaktní metodou. Jedná se o metodu nelineárni, která vyžaduje kalibraci a pečlivé seřízení přístroje pro jednotlivé měřicí sondy. Kalibraci je třeba kontrolovat i při dlouhodobějších měření, protože parametry sond se mohou v důsledku jejich znečištění měnit. Termoanemometrie dává dobré výsledky při měřeních v subsonickém proudění a při konstantní teplotě měřeného média. Měří dobře charakteristiky turbulence, s většími obtížemi měří střední hodnotu rychlosti, zvláště v proudění s vysokou turbulencí. Klasickými aplikačními oblastmi termoanemometrie jsou měření při subsonických a supersonických rychlostech. Měření v transsonické oblasti je komplikované a je zatím předmětem intenzivního vývoje.

### 3.3 Laserová anemometrie

Laserové anemometry jsou optické přístroje využívané pro výzkum struktury proudu tekutin (plynných i kapalných). Rozeznáváme tři základní druhy laserové anemometrie:

- laserová dopplerovská anemometrie  
(Laser Doppler Anemometry, nebo Velocimetry - LDA, LDV)
- laserová dvouohnisková anemometrie  
(Laser Two-Focus Anemometry - L2F)
- obrazová anemometrie častic  
(Particle Image Velocimetry - PIV)

Z hlediska doby vzniku je nejmladší tzv. obrazová anemometrie častic (PIV), která představuje moderní vizualizační metodu dávající okamžitou kvantitativní informaci o rychlostním poli v definované rovině.

Tradiční laserové anemometrie (LDA, L2F) měří hodnotu rychlosti pouze v jednom bodě.

Laserové anemometry jsou velmi nákladná zařízení, která mají tyto základní vlastnosti:

- Jsou bezkontaktní, protože sondu laserového anemometru tvoří fokusovaný paprsek laserového světla. Pro úspěšné měření je nezbytné, aby měřená tekutina byla průhledná pro danou barvu laserového světla a aby obsahovala dostatečné množství stopovacích častic, které dobře sledují proud. Musí být zajištěn optický přístup k měřenému místu.

- Laserové anemometry nepotřebují žádnou kalibraci a jsou dokonale lineární. Měření nejsou ovlivňována změnami teploty a tlaku proudící tekutiny.

- Laserové anemometry dovolují velmi dobré rozlišení smyslu proudění (směrová charakteristika je jednoznačná v rozsahu  $180^\circ$ ). Laserový dopplerovský anemometr měří průměr vektoru rychlosti do nastaveného směru, zatímco laserový dvouohniskový anemometr měří pouze rychlosti směřující do tohoto směru.

- Díky velmi malým rozměrům optické sondy mohou laserové anemometry měřit s vysokou prostorovou rozlišitelností.

- Laserové anemometry dovolují ve vhodném optickém uspořádání měřit i více složek rychlosti najednou v jednom místě (např. Laserový dopplerovský anemometr s barevnou separací paprsků).

Laserové anemometry kladou velké nároky na obsluhu a jejich efektivní využívání obyčejně vyžaduje týmovou práci dvou až tří specialistů.

Přes nesporné výhody laserových anemometrů jsou v netriviálních případech výsledky měření často ovlivňovány vlivy, jejichž význam lze jen těžko odhadnout. Proto je třeba provádět řadu přípravných a ověřovacích experimentů, které v konečném důsledku vedou k vývoji optimální metodiky měření zkoumaného problému.

### 3.3.1 Obrazová anemometrie částic

Tradiční metody jako jsou laserová anemometrie nebo termoanemometrie měří hodnotu rychlosti v jediném bodě prostoru. Jejich nevýhodou je, že k proměření celého proudového

pole je nutná traverzace měření a měření je tak časově nápolné. Navíc nelze tímto způsobem získat okamžitou informaci ročné. Navíc nelze tímto způsobem získat okamžitou informaci o proměřovaném rychlostním poli. Naopak klasické vizualizační metody poskytují pouze kvalitativní informace.

Okamžitou informaci o rychlostním poli v proměřované rovinné oblasti je možné získat pomocí anemometru, který je v literatuře [18] označován jako Particle Image Velocimetry (PIV), což lze volně přeložit jako 'obrazová anemometrie častic'. Tímto anemometrem lze určit střední rychlosť, hodnotu intenzity turbulence, viřivost, rychlosť deformace v proudovém poli z obrazů suspendovaných častic.

Základem PIV je fotografie častic unášených proudící tekutinou. Každá fotografie je exponována nejméně dvakrát. Exponiční prodleva je volena tak, aby každá částice byla od svého předcházejícího obrazu dostatečně vzdálena. Výsledná fotografie je podrobena analýze ve speciálním vyšetřovacím systému pro analýzu obrazu, jejímž výsledkem je vektorové pole rychlosťi.

PIV se skládá ze dvou hlavních částí:

- systém generace obrazu,
- vyšetřovací systému.

#### Systém generace obrazu

Na obr.3.4 je znázorněn zobrazovací systém s rotujícím zrcátkem [18]. K nasvícení častic v měřici rovině je použit pulsní laser. Pomoci optických elementů je laserový paprsek převeden do světelné roviny, do tzv. laserového nože. Světlo odražené od častic nasvícených laserovým nožem je snímáno fotoaparátem, který je umístěn kolmo k laserovému noži.

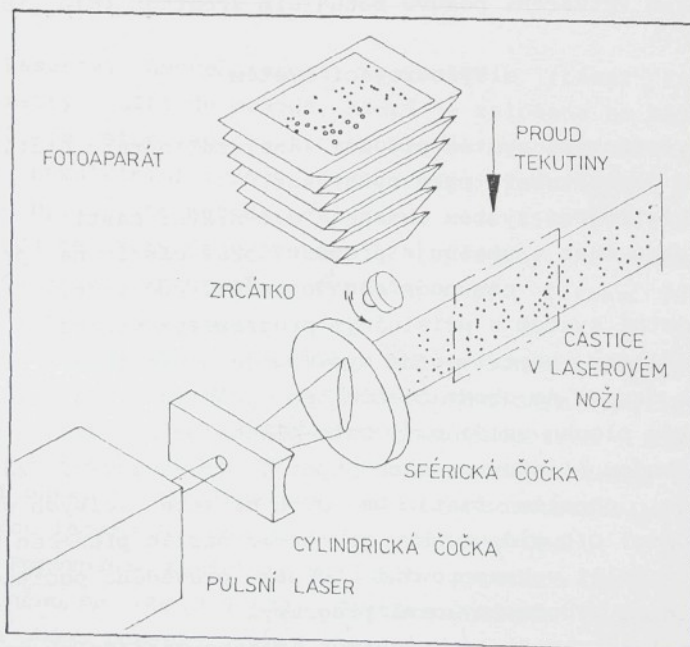
Zobrazovací systém pracuje následujícím způsobem. Otevře se závěrka fotoaparátu a laser vyšle první puls. Potom se rotující zrcátko pootočí z původní polohy 1 o určitý úhel do polohy 2 a tím se posune i snimaný obraz. To je znázorněno na obr.3.5. Nyní laser vyšle druhý puls. Oba pulsy pro dvě polohy zrcátka jsou zaznamenány na totéž poličko filmu. Ten-

to postup může být ukončen uzavřením závérky fotoaparátu, případně může být ještě několikrát zopakován.

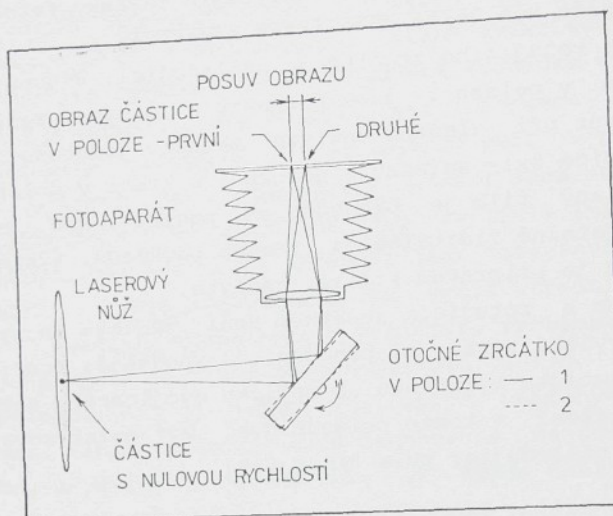
Úloha rotujícího zrcátka je následující. Všechny částice snímané v poloze 2 jsou posunuty o stejnou vzdálenost. Tento posun při vlastní analýze záznamu jednoznačně určí, které částice byly snímány v poloze 1 a které v poloze 2.

Vyvolaný film je převeden na positiv, kde jsou bílé částice zřetelně viditelné na temném podkladě. Výsledný obraz častic je připraven k další analýze.

Systém s rotujícím zrcátkem není jediným možným řešením. Pro vysoké rychlosti proužení je vhodnější použít místo zrcátka destičku vyrobenou z opticky dvojlomného materiálu. Laserové záření v tomto případě musí být polarizováno a to pro každý následující puls jinak [19].



Obr. 3.4 Systém generace obrazu (dle [18])



Obr.3.5 Vytváření posuvu rotujícím zrcátkem (dle [18])

#### Vyšetřovací systém

Vyšetřovací systém provádí analýzu obrazu částic. Výsledkem je vektorové pole rychlostí.

Vyšetřovací systém obsahuje dvě hlavní části:

- optickou část - umožnuje převést obraz částic na průhledném podkladu do paměti počítače,
- výpočetní systém s příslušným programovým vybavením.

Základem vyšetřovacího systému je He-Ne laser. Laserový paprsek dopadá na obraz částic na průhledné podložce a pokryvá zde plochu asi  $1 \text{ mm}^2$ . Tato plocha je nazývána vyšetřovacím bodem ('interrogation spot'). Traverzovací zařízení pohybuje obrazem částic ve dvou na sebe kolmých směrech a za pomoci CID videokamery je obraz částic přenesen do počítače. Další vyhodnocování je pak prováděno počítačem se speciálními vyhodnocovacími programy.

Analýzu obrazu lze provádět ve dvou základních modech:

- Youngův proužkový mód,
- mód obrazu částic.

Youngův proužkový mód provádí analýzu interferenčních obrazců, které vznikají ve Fourierové rovině objektivu videokamery. Tyto interferenční obrazce jsou podrobeny optické 2-dimensionální Fourierové transformaci v daném bodě.

Mód obrazu částic provádí analýzu digitalizovaného obrazu částic pomocí speciálního autokorelačního programu. Výsledkem autokorelace je pole přemístění obrazu částic, ze kterého lze získat informace o zkoumaném rychlostním poli.

Podrobnější informace lze nalézt např. v lit. [18]

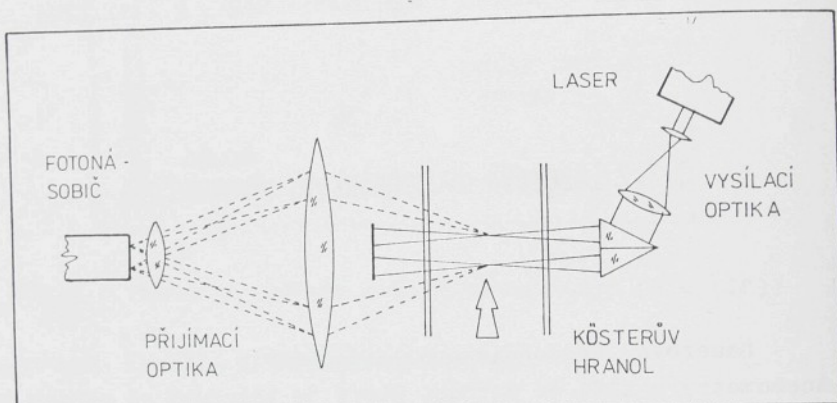
### 3.3.2 Laserová dvouohnisková anemometrie

Laserová dvouohnisková anemometrie (Laser Two-Focus Anemometry - L2F) je metoda, která je založena na měření času průletu stopovací částice unášené proudem tekutiny mezi dvěma paralelními vysoce fokusovanými laserovými paprsky. Poprvé byla tato metoda použita v roce 1968 D.H.Thompsonem [20]. Od té doby jsou systémy L2F vyvíjeny na mnoha pracovištích, ale i průmyslově vyráběny např. firmami TSI, DANTEC, POLYTEC, MALVERN aj.

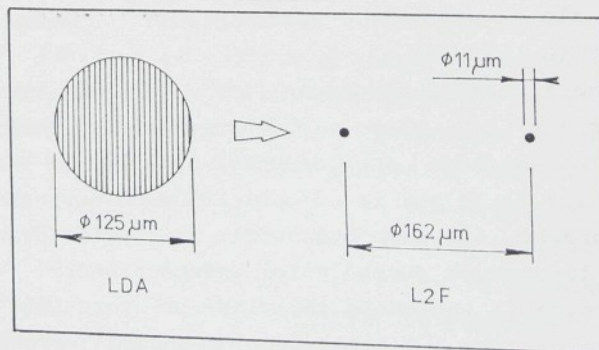
Jedno z možných uspořádání L2F je schématicky znázorněno na obr.3.6 [21]. Hlavním charakteristickým rozdílem v porovnání s laserovým dopplerovským anemometrem - LDA (viz. kapitola 3.3.3) je to, že v optické sondě nevzniká interferenční obrazec, ale laserové světlo je soustředováno do dvou blízkých laserových svazků velmi malého průměru.

Porovnání typického měřicího prostoru LDA a L2F je znázorněno na obr.3.7 [22]. Částice unášená proudem, která projde oběma paprsky, vybudi na fotonásobiči dva následující pulsy. Z jejich časové vzdálenosti lze (při známé vzdálenosti obou svazků) již přímo určit rychlosť částice.

Optická sonda anémometru L2F má značnou směrovou citlivost. To znamená, že pomocí jejího natáčení vzhledem k optické ose anémometru lze určovat směr proudu. Protože rozměr obou paprsků v optické sondě je velmi malý, existuje v místě zaostření paprsků velmi vysoká koncentrace energie (řádově  $1 \text{ MW/cm}^2$ ), takže i při slabším zpětném rozptylu a méně výkonnému laseru má signál dostatečný poměr signálu k šumu.



Obr.3.6 Laserový dvouohniskový anemometr (dle [21])



Obr.3.7 Porovnání typického měřicího prostoru LDA a L2F (dle [22])

Anemometrie L2F má oproti LDA následující přednosti:

- Protože intenzita světla v optické sondě je vyšší než u LDA, je možné použít menších stopovacích částic, které lépe sledují proud.
- L2F má principiálně vyšší citlivost při stanovení směru proudu, než LDA.
- U L2F nejsou měřené rychlosti prakticky omezeny rychlosťí použité elektroniky. V případě velmi vysokých rychlostí lze zvětšit vzdálenost mezi oběma paprsky a tím prodloužit měřící interval.
- Hloubka opticky citlivého prostoru ve směru vysílacích paprsků je u L2F menší než u LDA, což usnadňuje měření blízko stěny.

Anemometrie L2F má oproti LDA následující nevýhody:

- Zásadní nevýhodou metody L2F je poměrně značná doba potřebná k určení rychlosti a směru v jednom bodě. L2F poskytuje asi dvacetkrát méně dat za časovou jednotku (tzv. "četnost dat" - anglický termin 'Date Rate'). To je způsobeno tím, že měřící sonda L2F poskytuje částicím mnohem menší "cílový prostor" než LDA, kterým musí projít částice, aby byla zaznamenána jako platné měření (viz obr.3.7).
- Četnost dat L2F rychle klesá s narůstající turbulencí proudu. To je způsobeno tím, že vznikající turbulence vývolává velké úhlové změny směru proudu a narůstá tak počet částic, které neprojdou oběma měřicími body

L2F (viz obr.3.7). Při intenzitách turbulence nad 10% dochází k výraznému snížení četnosti dat a při intenzitách turbulence nad 30% nelze L2F používat [23].

Metoda L2F se neustále rozvíjí. Ve snaze omezit základní nedostatek L2F, spočívající v malé četnosti dat, se vyvíjí systém L2F, jehož měřicí body mají tvar elipsoidů. Tato technika je kompromisem mezi vysokou výkonovou hustotou světla v měřicích bodech klasického anemometru L2F a zvětšením cílového prostoru měřicí sondy [23].

Další směr rozvoje anemometrie L2F je zaměřen na vývoj systémů vhodných pro trojdimenzionální měření a měření v těsné blízkosti stěn (např. mezní vrstvy).

Srovnávání přednosti a nevýhod LDA a L2F je neustále živým tématem v odborných publikacích a na různých vědeckých fórech. Přes některé nesporné přednosti je metoda L2F z ekonomického hlediska v důsledku nízké efektivity měření (dlouhá doba sběru dat při energeticky náročných měřeních) mnohem méně rozšířena než klasická dopplerovská anemometrie (LDA).

Anemometrie L2F nachází uplatnění v těch oblastech měření, kde při použití LDA nastávají vážné komplikace. Jedná se především o měření s extrémně vysokým gradientem rychlosti, kdy je nutné použít částice nepřijatelné malé pro LDA, nebo měření v těsné blízkosti stěn, kdy LDA dává příliš nízký odstup signálu od šumu. Podrobnější rozbor funkce a způsob vyhodnocení dat dvojohniskovým anemometrem je podán např. v [24], [25].

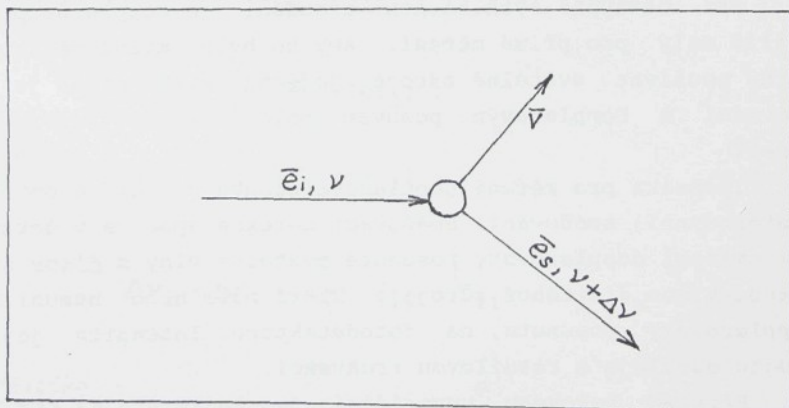
### 3.3.3 Laserová dopplerovská anemometrie - princip a teorie.

Laserová dopplerovská anemometrie (Laser Doppler Anemometry, nebo Velocimetry - LDA, LDV) založená na využití Dopplerova jevu je nejrozšířenější optickou anemometrickou metodou.

I když Dopplerův jev je znám od poloviny minulého století, rozvoj této metody byl umožněn výrazným pokrokem ve vývoji plynových laserů v šedesátých letech. První aplikace v mechanice tekutin byla popsána Yehem a Cummisem v roce 1964 [26]. Autoři měřili vyvinutý laminární proud vody uvnitř trubky.

LDA měří změnu frekvence světla rozptylovaného částicemi unášenými proměřovaným médiem. Na základě Dopplerova jevu je frekvence světla rozptyleného na částici pohybující se vzhledem ke zdroji změněna o hodnotu, která závisí na rychlosti a geometrii rozptylu. Laserový dopplerovský anemometr tedy neměří přímo rychlosť proudící tekutiny, ale rychlosť častic unášených tekutinou.

Na tomto faktu je založen základní princip měření, znázorněný na obr. 3.8.



Obr. 3.8 Rozptyl světelných vln na částici

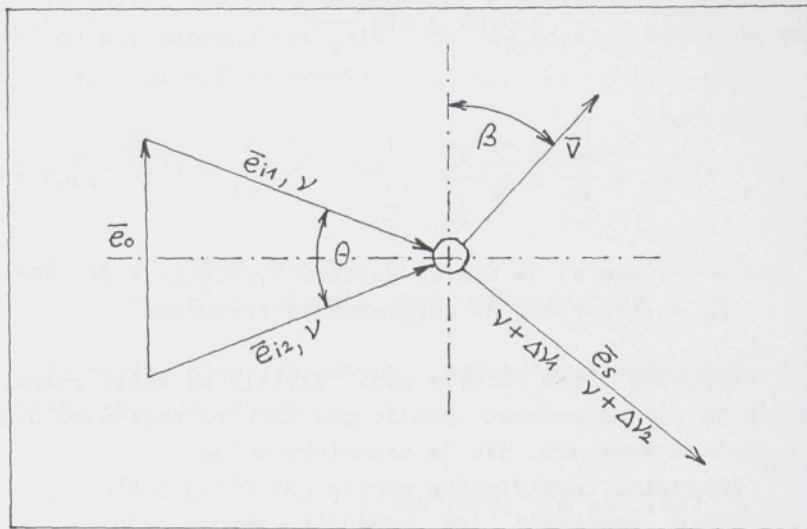
L2F (viz obr.3.7). Při intenzitách turbulence nad 10% dochází k výraznému snížení četnosti dat a při intenzitách turbulence nad 30% nelze L2F používat [23].

Metoda L2F se neustále rozvíjí. Ve snaze omezit základní nedostatek L2F, spočívající v malé četnosti dat, se vyvíjí systém L2F, jehož měřicí body mají tvar elipsoidů. Tato technika je kompromisem mezi vysokou výkonovou hustotou světla v měřicích bodech klasického anemometru L2F a zvětšením cílového prostoru měřicí sondy [23].

Další směr rozvoje anemometrie L2F je zaměřen na vývoj systémů vhodných pro trojdimenzionální měření a měření v těsné blízkosti stěn (např. mezní vrstvy).

Srovnávání přednosti a nevýhod LDA a L2F je neustále živým tématem v odborných publikacích a na různých vědeckých fórech. Přes některé nesporné přednosti je metoda L2F z ekonomického hlediska v důsledku nízké efektivity měření (dlouhá doba sběru dat při energeticky náročných měřeních) mnohem méně rozšířena než klasická dopplerovská anemometrie (LDA).

Anemometrie L2F nachází uplatnění v těch oblastech měření, kde při použití LDA nastávají vážné komplikace. Jedná se především o měření s extrémně vysokým gradientem rychlosti, kdy je nutné použít částice nepřijatelné malé pro LDA, nebo měření v těsné blízkosti stěn, kdy LDA dává příliš nízký odstup signálu od šumu. Podrobnější rozbor funkce a způsob vyhodnocení dat dvojohniskovým anemometrem je podán např. v [24], [25].



Obr. 3.9 Příklad optického (heterodynálního) směšování.

V místě měření se protinají dva laserové paprsky stejné frekvence (z téhož zdroje) a průsečík obou paprsků tvoří optickou sondu. Osvětlovací paprsky dopadají na částici ve smerech jednotkových vektorů  $\vec{e}_{i1}$  a  $\vec{e}_{i2}$  a rozptýlené světlo je snímáno fotodetektorem umístěným ve směru jednotkového vektoru  $\vec{e}_s$ . Potom podle rovnice /3.3.1/ platí:

$$\Delta\nu_1 = \frac{\bar{v}}{\lambda} (\vec{e}_s - \vec{e}_{i1}) , \quad /3.3.2/$$

$$a \quad \Delta\nu_2 = \frac{\bar{v}}{\lambda} (\vec{e}_s - \vec{e}_{i2}) , \quad /3.3.3/$$

odkud  $\Delta\nu_1 - \Delta\nu_2 = \frac{\bar{v}}{\lambda} (\vec{e}_{i2} - \vec{e}_{i1}) = \frac{\bar{v}}{\lambda} \vec{e}_o , \quad /3.3.4/$

Protože

$$|(\vec{e}_{i2} - \vec{e}_{i1})| = 2 \sin \frac{\theta}{2} , \quad /3.3.5/$$

Na pohybujici se částici dopadají světelné vlnoplochy monochromatického záření ve směru jednotkového vektoru  $\vec{e}_i$ . Světelné vlnoplochy rozptýlené částici do směru určeného jednotkovým vektorem  $\vec{e}_s$  vykazují Dopplerův frekvenční posuv, vyjádřený rovnici [27]:

$$\Delta\nu = \frac{n}{\lambda_0} \cdot \tilde{v} \cdot (\vec{e}_s - \vec{e}_i) = \frac{\tilde{v}}{\lambda} (\vec{e}_s - \vec{e}_i), \text{ pro } v \ll c \quad /3.3.1/$$

kde  $\Delta\nu$  ... Dopplerův frekvenční posuv,  
 $\vec{e}_i$  ... jednotkový vektor ve směru dopadající vlnoplochy,

$\lambda_0$  ... vlnová délka světla ve vakuu,

$\lambda$  ... vlnová délka světla v prostředí obklopujícím částici,

$\vec{e}_s$  ... jednotkový vektor ve směru snímání rozptýleného světla,

$n$  ... index lomu prostředí obklopujici částici

Vztah /3.3.1/ platí pro nerelativistické rychlosti. Jestliže se nemění směr dopadajiciho světla ani směr snímání rozptýleného světla, potom frekvenční posunutí udává složku rychlosti ve směru  $(\vec{e}_s - \vec{e}_i)$ .

Při běžných rychlostech proudění je Dopplerův posuv příliš malý pro přímé měření. Aby ho bylo možné měřit, je nutné používat světelné zdroje, jejichž šířka pásma je ve srovnání s Dopplerovým posuvem malá. Takovým zdrojem je laser.

Technika pro měření Dopplerova posuvu se nazývá optické (heterodynny) směšování. Směšovací detekce spočívá v dokonalém smíšení dopplerovsky posunuté světelné vlny s jinou světelnou vlnou (z téhož zdroje), která může nebo nemusí být dopplerovsky posunuta, na fotodetektoru. Intenzita jejich součtu osciluje s rozdílovou frekvencí.

Příklad takového uspořádání je znázorněn na obr. 3.9 [28].

Intenzitu laserového paprsku v závislosti na vzdálenosti od osy paprsku lze dle [29] vyjádřit v souřadné soustavě  $(x_0, y_0, z_0)$  ve tvaru:

$$I(x_0^2 + y_0^2) = \frac{2}{\pi s^2} \frac{P_L}{2} \exp \left[ -2 \frac{x_0^2 + y_0^2}{s^2} \right], \quad /3.3.8/$$

kde  $P_L$  je výkon laseru,  
 $s$  je  $1/e^2$  - poloměru laserového paprsku

Intenzita obou laserových paprsků přetrafovaná do soustavy  $(x, y, z)$  pak je:

$$I_1 = \frac{2}{\pi s^2} \frac{P_L}{2} \exp \left[ -2 \frac{-2}{s^2} (x^2 + y^2 \cos^2(\theta/2) + z^2 \sin^2(\theta/2) + yz \sin(\theta)) \right] \quad /3.3.9/$$

$$I_2 = \frac{2}{\pi s^2} \frac{P_L}{2} \exp \left[ -2 \frac{-2}{s^2} (x^2 + y^2 \cos^2(\theta/2) + z^2 \sin^2(\theta/2) - yz \sin(\theta)) \right]$$

Pro intenzitu laserového záření dopadajícího na částici proletávající optickou sondou (průsečíkem) ve směru osy  $y$  ( $x = 0, z = 0$ ) pak z rovnic /3.3.9/ plyne:

$$I_1 = I_2 = \frac{2}{\pi s^2} \frac{P_L}{2} \exp \left[ -2 \frac{y^2 \cos^2(\theta/2)}{s^2} \right], \quad /3.3.10/$$

Intenzitu světla  $I_s$  rozptýleného na malé částici do směru  $(\xi, \varphi)$  lze vyjádřit ve tvaru:

$$(I_s)_1 = \frac{I_1}{k^2 r^2} G_1(\xi, \varphi),$$

/3.3.11/

$$(I_s)_2 = \frac{I_2}{k^2 r^2} G_2(\xi, \varphi),$$

kde  $r, \xi, \varphi$  jsou polární souřadnice a  $k$  je vlnový vektor

potom  $f_D = \frac{v}{\lambda} \cos(\beta) \cdot 2 \sin \frac{\theta}{2}$  , /3.3.6/

a konečně

$$f_D = \frac{2u}{\lambda} \sin \frac{\theta}{2} , /3.3.7/$$

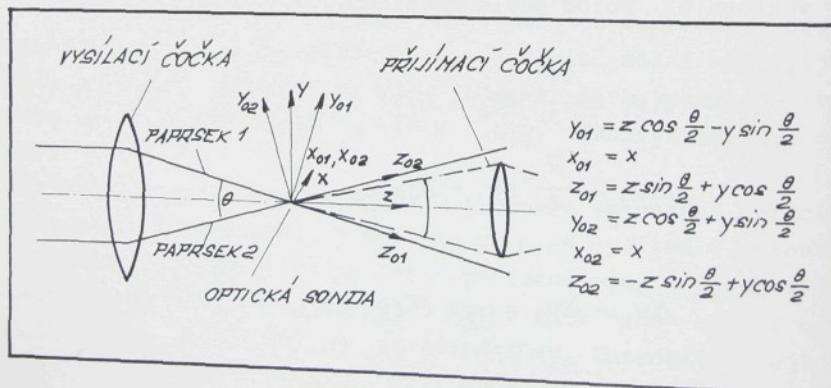
kde  $u = v \cdot \cos(\beta)$  je složka vektoru rychlosti  $\vec{v}$  do směru  $\vec{e}_o$ ,

$f_D = \Delta\nu_1 - \Delta\nu_2$  je dopplerovská frekvence

Výsledný vztah /3.3.7/ není závislý na směru rozptylu. Odtud je zřejmá možnost použít pro sběr rozptyleného světla tak velkou aperturu, jak je technicky možné.

Intenzitu rozptyleného světla na fotodetektoru při heterodyném směšování lze vyjádřit pomocí vlnové teorie světla.

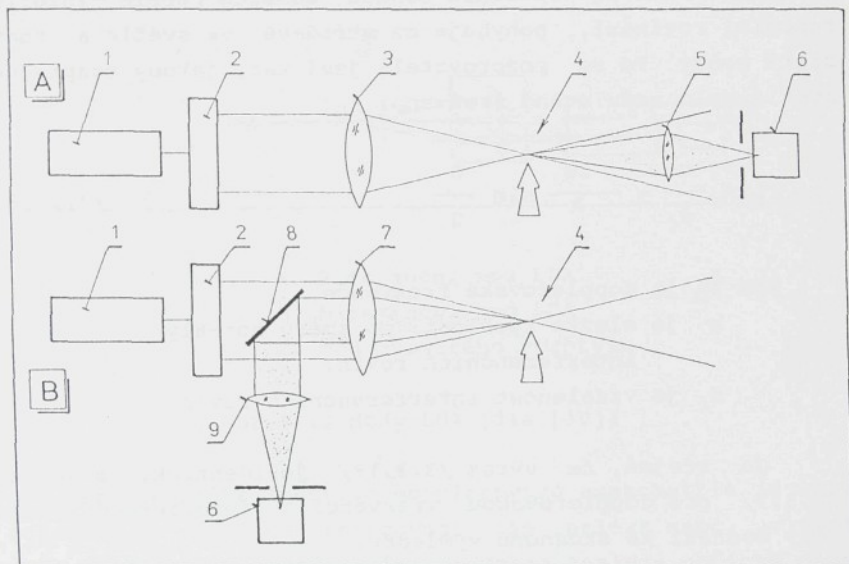
Předpokládejme, že měřicí optická sonda je tvořena průsečíkem dvou laserových paprsků o stejné intenzitě, jak je znázorněno na obr. 3.10. Na obr. 3.10 jsou vyznačeny dvě souřadnicové soustavy s počátkem v průsečíku paprsků ( $x, y, z$ ) a  $(x_0, y_0, z_0)$ .



Obr. 3.10 Typický optický systém LDA

Ze vztahu /3.3.16/ vyplývá, že signál přijímaný detektorem bude oscilovat s dopplerovskou frekvencí  $f_D$  a ta je dle /3.3.6/ přímo úměrná rychlosti částice procházející optickou sondou.

Uspořádání vyobrazené na obr.3.10 reprezentuje nejužívanější technickou realizaci LDA, tzv. diferenční mod nebo též systém s dvojitým paprskem ('dual beam'). Ukázka dvou základních technických realizací diferenčního modu LDA je na obr.3.11.



- |                      |                   |                     |
|----------------------|-------------------|---------------------|
| 1. laser             | 4. optická sonda  | 7. vys/přijim. obj. |
| 2. dělič             | 5. přijimací obj. | 8. zrcadlo          |
| 3. vysilací objektiv | 6. fotodetektor   | 9. přijim. optika   |

Obr.3.11 Základní technické realizace diferenčního modu LDA

- A. Dopředný rozptyl ('forwadrsscatter')  
B. Zpětný rozptyl ('backscatter')

Funkce  $G_1(\xi, \nu)$  a  $G_2(\xi, \nu)$  lze vypočítat pomocí Mieovy teorie rozptylu světla [63], [64]. Odpovídající rozptylené světelné vlny mají tvar:

$$(E_S)_1 = \sqrt{(2(I_S)_1)} \cos[w_1 t + \psi_1], \quad /3.3.12/$$

$$(E_S)_2 = \sqrt{(2(I_S)_2)} \cos[w_2 t + \psi_2],$$

Superpozici obou vln dostaneme:

$$E_S = (E_S)_1 + (E_S)_2 = \sqrt{(2(I_S)_1)} \cos[w_1 t + \psi_1] + \sqrt{(2(I_S)_2)} \cos[w_2 t + \psi_2], \quad /3.3.13/$$

a pro intenzitu ve směru pozorování pak platí:

$$\begin{aligned} I_S &= (E_S)^2 = (\sqrt{(2(I_S)_1)} \cos[w_1 t + \psi_1] + \sqrt{(2(I_S)_2)} \cos[w_2 t + \psi_2])^2 \\ &= 2(I_S)_1 \cos^2[w_1 t + \psi_1] + 2(I_S)_2 \cos^2[w_2 t + \psi_2] + \\ &\quad + 4\sqrt{(I_S)_1(I_S)_2} \cdot \cos[w_1 t + \psi_1] \cos[w_2 t + \psi_2], \quad /3.3.14/ \end{aligned}$$

Protože platí  $w_1$  a  $w_2 \gg |w_1 - w_2|$ , lze vztah /3.3.14/ zjednodušit tak, aby představoval signál detekovatelný reálnými fotodetektory použitelnými v měřicím systému (doba odezvy detektoru  $\tau_d \gg 2\pi/w_1, 2\pi/w_2$  a  $\tau_d \ll [2\pi/|w_1 - w_2|]$ ):

$$I_S = (I_S)_1 + (I_S)_2 + 2\sqrt{(I_S)_1(I_S)_2} \cos[(w_1 - w_2)t + \psi_1 - \psi_2], \quad /3.3.15/$$

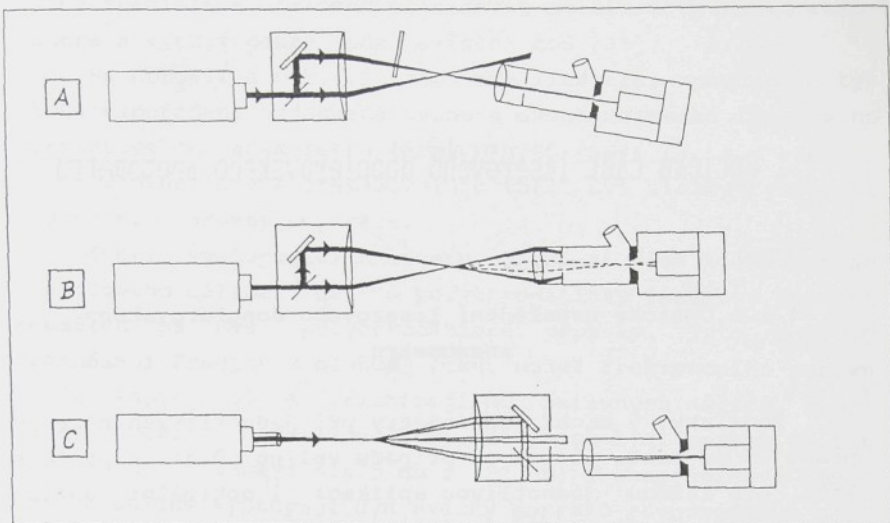
Integraci přes celkový prostorový úhel přijimací apertury, tj. přes  $\Omega$ , obdržíme detekovaný světelný výkon rozptylený jednou částicí:

$$P_S = (P_S)_1 + (P_S)_2 + 2 \int_{\Omega} \sqrt{(I_S)_1(I_S)_2} \cos[2\pi f_D + \psi], \quad /3.3.16/$$

kde  $2\pi f_D = (w_1 - w_2) = 2\pi(\nu_1 - \nu_2)$  a  $\psi = \psi_1 - \psi_2$ ,

$$\nu_1 = \nu_0 + \Delta\nu_1, \quad \nu_2 = \nu_0 + \Delta\nu_2,$$

$\nu_0$  je frekvence laserového světla dopadajícího na částici



- A. Referenční mod LDA
- B. Diferenční mod LDA
- C. Mod dvojitého rozptylu

Obr.3.12 Mody LDA (dle [30])

Problematika laserové dopplerovské anemometrie je velmi rozsáhlá a souhrnné zpracování lze nalézt např. v [26], [27], [32], [33], [34]. Velmi podrobná analýza optické části LDA je uvedena v [31], vliv multimodového režimu rezonátoru laseru na měření vysokých dopplerovských frekvencí je analyzován v [35].

Diferenční mod LDA lze popsat též velmi názorným tzv. interferenčním modelem. Při protináni dvou koherentních světelných svazků stejné intenzity vzniká v místě křížení systém paralelních interferenčních rovin (viz. obr.3.7 kap.3.3.2, obr.4.3 kap.4.1.2). Lze odvodit (odvození je uvedeno v Písemné práci k odborné kandidátské zkoušce [67]), že vzdálenost sousedních interferenčních rovin  $d_f$  je rovna:

$$d_f = \frac{\lambda}{2\sin(\theta/2)} , \quad /3.3.17/$$

Prolétavá-li optickou sondou částice napříč interferenčními rovinami, pohybuje se střídavě ve světlé a tmavé části sondy. To se pozorovateli jeví tak, jakoby rozptýlené světlo bylo modulováno frekvencí  $f_D$ :

$$f_D = \frac{u}{d_f} = \frac{2u}{\lambda} \sin \frac{\theta}{2} , \quad /3.3.18/$$

kde  $f_D$  je dopplerovská frekvence,

$u$  je složka rychlosti do směru normály  
interferenčních rovin,

$d_f$  je vzdálenost interferenčních rovin

Je zřejmé, že výraz /3.3.18/ je identický s výrazem /3.3.7/ pro dopplerovskou frekvenci a interferenční model tedy dochází ke shodnému výsledku.

Existují i jiné matematické modely laserového dopplerovského anemometru, které popisují děje při průletu částice optickou sondou. Jejich popis lze nalézt např. v [26], [27].

Kromě diferenčního modu LDA existují v závislosti na způsobu heterodynálního směšování i jiná geometrická usporádání laserových dopplerovských anemometrů. Na obr.3.12 jsou znázorněny tři nejužívanější mody LDA. Ve všech třech uvedených modech je dopplerovská frekvence dána týmž vztahem, vyjádřeným v rovnici /3.3.7/.

$\text{TEM}_{00}$  (vhodné pro LDA). Pro bezchybná měření vysokých rychlostí, kdy dopplerovská frekvence je vyšší než 75 MHz, je nutné speciálním etalonem eliminovat multimódový režim rezonátoru a vybrat pouze jeden axiální mod [35].

Na Obr.4.1 a Obr.4.2 jsou pro ilustraci znázorněna typická uspořádání jednokanálového a dvoukanálového laserového dopplerovského anemometru firmy DANTEC [36].

Dvoukanálový systém dovoluje měřit dvě složky rychlosti s využitím barevné separace.

Světlo vystupující z laseru prochází přes kolimátor do hranolového děliče. Zde je polychromatický laserový paprsek rozdělen na dva polychromatické paprsky. Tyto paprsky procházejí Braggovou buňkou (tzv. modul frekvenčního posuvu - viz kap.4.1.3), a přicházejí do barevných děličů, které každý z paprsků rozdělí do dvou, které se liší barvou světla (pro argonový laser: 514.5 nm a 488 nm) i energetickým obsahem. Z děličů vystupují dva svazky paprsků rovnoběžné s osou systému. Tyto paprsky přicházejí přes expandér do vysilacího/přijímacího objektivu, který je soustředuje do ohniska. Zde se paprsky protínají a zároveň - při správné kolimaci - se zde i zužují do nejtenčího průřezu ("sedla"). Tak vzniká optická sonda popsaná v kapitole 4.1.2. Optická sonda je tvořena společným průsečíkem dvou dvojic laserových paprsků o různých barvách. Stejnobarvené paprsky spolu vzájemně interferují a tvoří tak dva systémy interferenčních rovin, skloněných navzájem pod úhlem rovným úhlu protináni rovin, v nichž leží paprsky stejných barev. To umožňuje nezávislé měření dvou složek rychlosti ve stejném okamžiku.

Přijímací část optiky je tvořena opět vysilacím/přijímacím objektivem, který světlo rozptýlené na stopovacích částicích přivádí na barevný dělič. Barevný dělič rozdělí přiváděné světlo na dva svazky o vlnových délkách původních vysilacích paprsků. Tím došlo k rozdělení signálu podle barev do dvou kanálů snímaných samostatně pomocí dvou shodných snímacích systémů. Tyto snímací systémy jsou tvořeny objektivem soustředujícím snímané světlo přes barevný filtr na fotonásobič.

## 4. Laserový dopplerovský anemometr

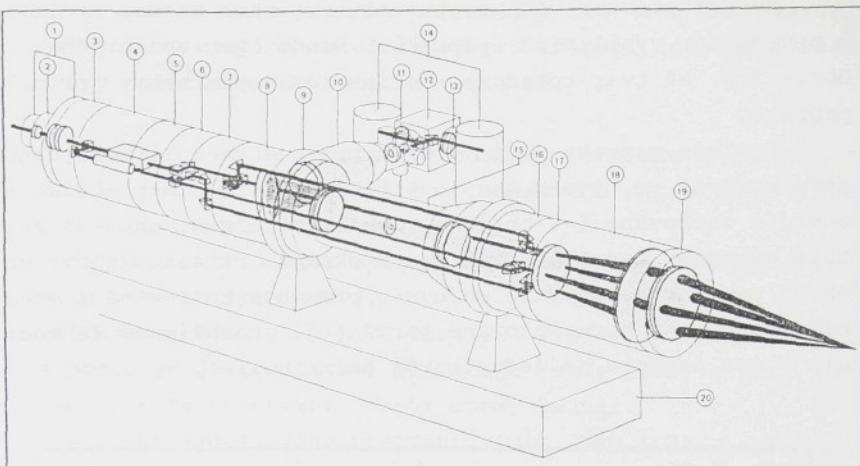
### 4.1 Optická část laserového dopplerovského anemometru

#### 4.1.1 Optické uspořádání laserového dopplerovského anemometru.

Podmínky, v nichž anemometry při jednotlivých měřeních pracují, se často připad od případu velice různí a proto se liší pro každou jednotlivou aplikaci i optimální optická sestava. To je důvod, proč většina výrobců anemometrů dodává tyto přístroje jako stavebnice s modulární koncepcí.

V současné době je nejrozšířenější laserový dopplerovský anemometr pracující v diferenčním modu, který je dodáván v různých provedeních předními výrobci (firmy: TSI (USA), DANTEC (Dánsko)). Nejuniverzálnější konfiguraci je LDA se zpětným rozptylem. Tento typ přístroje má oproti přístrojům využívajícím dopředný rozptyl výhodu v možnosti měřit i tehdy, je-li zkoumaný měřicí prostor přístupný pouze z jedné strany (např. měření u stěny).

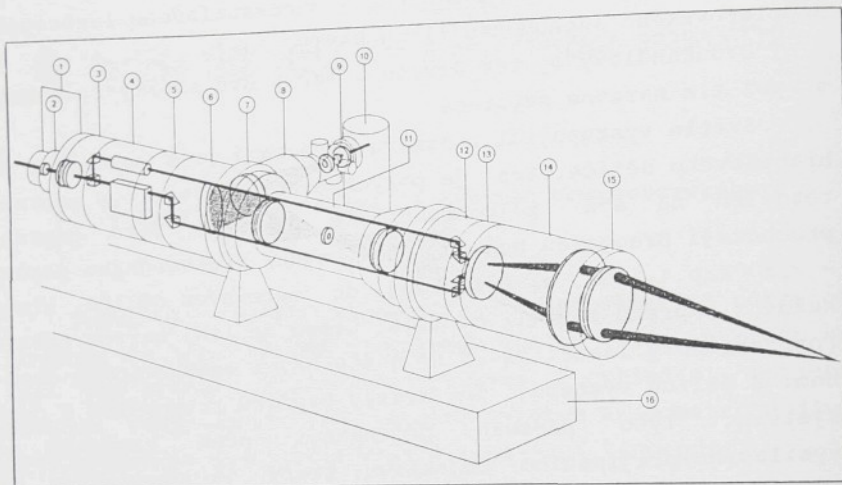
Protože zpětný rozptyl světla má asi o dva řády nižší intenzitu než dopředný rozptyl, je třeba použít výkonový laser. Kvalitní a spolehlivě pracující laser je základem každého laserového anemometru. Z výkonových laserů se téměř výhradně používá laser argonový. Argonový laser dává dostatečný výkon (nad 300 mW) pro vlnové délky 514.5 nm a 488 nm, které leží v optimálním pásmu fotonásobiče. Možnost současného získání dvou barev se využívá k oddělenému měření složek rychlosti. Tento typ laseru má dostatečnou koherenci délku a spolehlivě pracuje v příčném modu



Obr. 4.2 LDA - Schéma dvoukanálového komerčního přístroje s barevnou separací firmy DANTEC (dle [36])

- |                             |                                     |
|-----------------------------|-------------------------------------|
| 1. kryt vstupní části       | 11. interferenční filtr<br>514.5 nm |
| 2. kolimátor                | 12. barevný dělič                   |
| 3. hranolový dělič          | 13. interferenční filtr<br>488 nm   |
| 4. Braggova buňka           | 14. fotonásobič                     |
| 5. hranolový barevný dělič  | 15. clona                           |
| 6. modul přemístění paprsků | 16. modul přemístění<br>paprsků     |
| 7. hranolový barevný dělič  | 17. držák objektivu                 |
| 8. modul zpětného rozptylu  | 18. expandér paprsků                |
| 9. držák                    | 19. vysil/přijím. objektiv          |
| 10. optika fotonásobiče     | 20. zákl.deska                      |

Signál z fotonásobiče je pak zpracováván paralelně dvěma elektronickými vyhodnocovacími systémy a výsledky jsou předávány řídicímu počítači k vyhodnocení.



Obr.4.1 LDA - Schéma jednokanálového komerčního laserového dopplerovského anemometru firmy DANTEC (dle [36]).

- |                             |                                 |
|-----------------------------|---------------------------------|
| 1. kryt vstupní části       | 9. interferenční filtr          |
| 2. kolimátor                | 10. fotonásobič                 |
| 3. hranolový dělič          | 11. clona                       |
| 4. Braggova buňka           | 12. modul přemístění<br>paprsků |
| 5. modul přemístění paprsků | 13. držák objektivu             |
| 6. sekce zpětného rozptylu  | 14. expandér paprsků            |
| 7. držák                    | 15. vysíl/přijím. objektiv      |
| 8. optika fotonásobiče      | 16. zákl. deska                 |

Podle stejného zákona je rozdělen i jas interferenčních proužků v sondě. Z toho plyne, že za optickou sondu lze považovat jen tu část průniku paprsků, v níž jsou prolétávající stopovací částice "viditelné" pro snimací optický systém. Rozměry optické sondy, jsou závislé na:

- Uspořádání vysilací optické soustavy (ohnisková vzdálenost vysilacího objektivu, průměr laserového paprsku) a vlnové délce laserového světla.
- Uspořádání přijímací optické soustavy (tj. jejím zorném úhlu a směru "pohledu").
- Velikosti částic - malé částice rozptyluji méně světla a proto je jejich signál při kraji sondy slabý a není sníman. Tím se efektivní rozměr sondy zmenší.
- Nastavení signálového procesoru (viz. kap.4.2).

Typické rozměry optické sondy se v podélném směru pohybují v desetinách milimetru až milimetrech, ve směru přičném se blíží fokusovanému průměru paprsku (setiny až desetiny mm).

#### 4.1.3 Frekvenční posuv

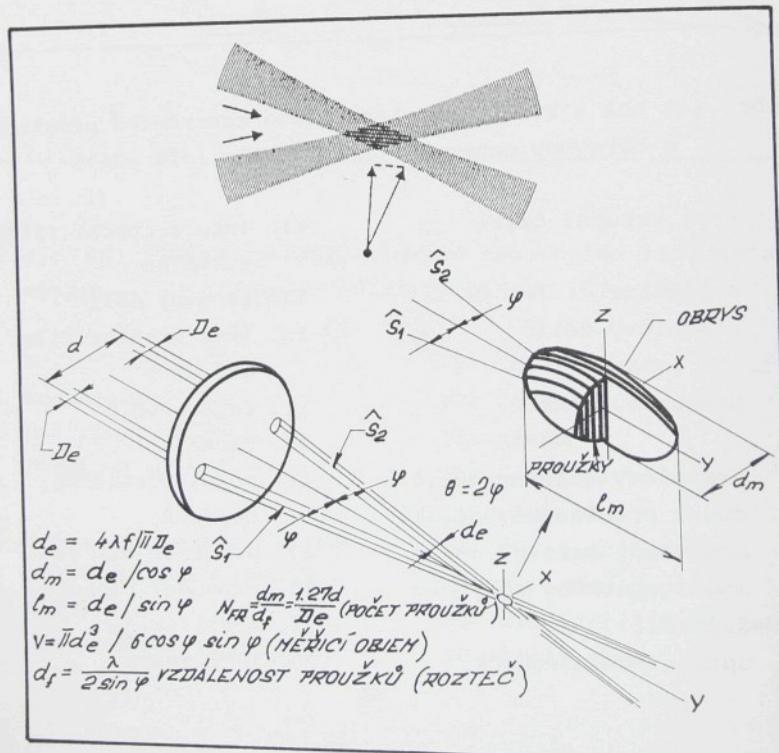
Jak bylo vysvětleno v kap.3.3.3 rovnice pro vyhodnocení dopplerovské frekvence obsahuje pouze velikost složky rychlosti. To znamená, že LDA je schopen vyhodnocovat složku rychlosti pouze co do velikosti a nikoliv co do orientace. Proto je v případech, kdy není jednoznačně známá orientace rychlosti, nutné použít tzv. frekvenční posuv. Jedná se o takovou transformaci, při níž nulová rychlosť neodpovídá nulové frekvenci, ale nějaké dané frekvenci posuvu.

Princip frekvenčního posuvu spočívá v posunutí frekvence světla jednoho vysilacího svazku o jistou hodnotu oproti druhému svazku. To má za následek "pohyb" interferenčních rovin (proužků) v optické sondě jedním směrem.

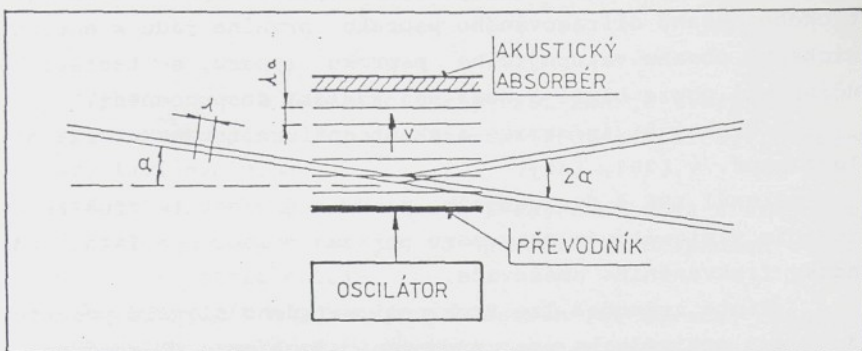
#### 4.1.2 Optická sonda LDA

Měřicí prostor LDA je tvořen optickou sondou vzniklou v průsečíku vysilacích paprsků. Sonda je znázorněna na obr.4.3 a má tvar rotačního elipsoidu vepsaného v průniku paprsků.

Protože paprsky mají ve svém průřezu energii rozloženou nerovnoměrně ve tvaru gaussovské křivky, je toto rozdělení energie zachováno i v optické sondě. V centru sondy je hustota energie nejvyšší, zatímco k okrajům klesá. Za fyzický okraj paprsku se obvykle smluvně označuje bod, v němž energie dosahuje v normalizované formě (tj. pro případ, že energie v ose paprsku je jednotková) hodnotu  $1/e^2$ .



Obr.4.3 Optická sonda LDA



Obr.4.5 Schéma Braggyových buňek

Při akustooptické interakci musí být splněna podmínka tzv. fázového synchronismu [38]. Tu matematicky vyjadřuje vztah (pro malé  $\alpha$ ):

$$\sin \alpha \approx \alpha = \lambda / 2\lambda_a$$

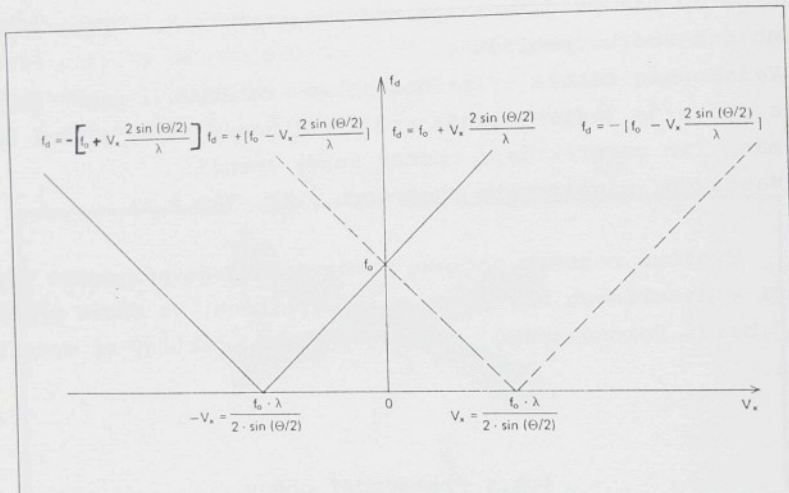
kde  $\lambda$  je vlnová délka světla

$\lambda_a$  je vlnová délka akustické vlny

$v$  je rychlosť šíření akust. vlny

Mediem (sklem) Braggyové buňky se od budiče (oscilátor - převodník) šíří rychlosti  $v$  akustická vlna o vlnové délce  $\lambda_a$ , která je na protilehlé straně pohlcována absorbérem. Tato akustická vlna vyvolává analogickou vlnu indexu lomu a ta působí jako difrakční mřížka, jejíž mřížková konstanta je rovná délce akustické vlny. Jestliže na tuto mřížku dopadá pod malým úhlem laserový paprsek, dochází k jeho difrakci na mřížce a k odchýlení od původního směru o úhel  $2\alpha$  - tzv. maximum prvního řádu (viz. obr.4.5). Zároveň je výstupní odchýlený svazek frekvenčně posunut o frekvenci budiče oproti původnímu svazku vstupnímu. Pokud světlo dopadá na mřížku pod úhlem  $\alpha$ , je dosaženo maximální účinnosti jevu.

Pohybuje-li se částice ve směru pohybu interferenčních proužků, je výsledná generovaná frekvence  $f_d$  dána rozdílem frekvence posuvu  $f_0$  a frekvence, již by částice generovala v případě klidu interferenčních proužků. V případě opačného směru pohybu částice bude výsledná frekvence rovna jejich součtu. Jedná se tedy o statickou superpozici nulové dopplerovské frekvence viz. obr.4.4.



Obr.4.4 Frekvenční posuv

V současné době se pro frekvenční posuv v laserové anemometrii využívá téměř výhradně Braggova buňka. Braggova buňka je akusticko-optický modulátor, který využívá interakce světla a ultrazvuku vysoké frekvence (obvykle kolem 40 MHz) v průhledném médiu (zpravidla sklu). Tento jev byl po prvé předpovězen Brillouinem v r. 1922, ale protože difrakce světla matematickým popisem silně připomíná rozptyl rentgenových paprsků v krystalech objevený Braggem, nazývá se tento modulátor jeho jménem.

Schéma Braggovy buňky je znázorněno na obr.1.5 [37].

## 4.2 Vyhodnocovací část laserového dopplerovského anemometru

Vyhodnocovací (elektronická) část LDA je tvořena:

- vysokofrekvenčním fotodetektorem (fotonásobiče, fotodiody, lavinové diody)
- jednotkou frekvenčního posuvu (Braggova buňka a směšovací jednotka; používá se jen ve speciálních případech uvedených v kapitole 4.1.3)
- vyhodnocovacím signálovým procesorem (sledovače, čítačové procesory, analyzátoru spektra dopplerovského vzryvu)
- počítacem pro zpracování a vyhodnocení naměřených dat (nejčastěji PC/AT se spec. kartou rozhraní - interface)

### 4.2.1 Signál LDA

Pro správnou volbu a nastavení vyhodnocovacího řetězce je podstatná kvalita optického dopplerovského signálu.

Optický dopplerovský signál je snímán kvalitními vysokofrekvenčními detektory s nízkým šumem. Nejčastěji se používají fotonásobiče, v některých případech fotodiody. Hlavními kritérii jejich výběru je kvantová účinnost, proudové zesílení, frekvenční charakteristika a vlastní šum.

Výsledkem odezvy fotonásobiče na optický dopplerovský signál je proudový vzryv (puls), ve kterém je obsažena informace o měřené rychlosti. Kromě informace o dopplerovské frekvenci obsahuje reálný signál na výstupu fotonásobiče i šum. Celkový šum je tvořen třemi základními složkami:

- Vnitřním šumem fotonásobiče, který souvisí s procesem fotodetekce. Interakce světelného signálu s fotokatodou je jako každý kvantový proces zdrojem náhodných fluktuací vytvářejících šum.
- Elektronický šum vzniklý v řetězu dynod fotonásobiče.
- Optický šum, který vznikl v měřicím prostoru a nesouvisí přímo s měřeným dějem. Jedná se např. o odrazy od stěn, průzorů, záření pozadí atd.)

Praktická účinnost Braggovy buňky, daná poměrem energetického obsahu difragovaného paprsku prvního řádu k energetickému obsahu vstupujícího paprsku laseru, se teoretické účinnosti pouze bliží a není ani zdaleka stoprocentní.

Podrobnější informace o akustooptické interakci lze nalézt např. v [39], [40].

Signál LDA s frekvenčním posuvem je obvykle před zpracováním v signálovém procesoru upraven pomocí speciální jednotky frekvenčního směšovače.

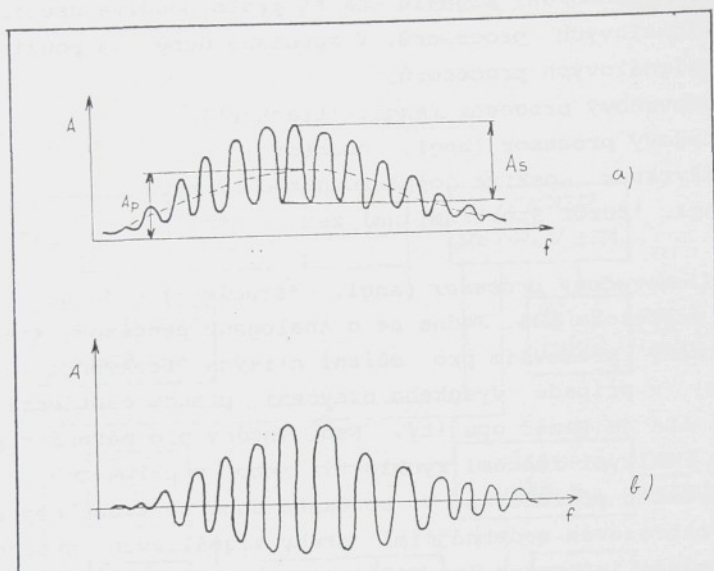
Tímto způsobem lze frekvenci měřeného signálu posunout do pásma optimálního pro zpracování signálovým procesorem.

#### Výhody použití frekvenčního posuvu:

- Frekvenční posuv umožňuje měření s určením smyslu měřené složky rychlosti.
- Frekvenční posuv dovoluje posunout měřenou frekvenci do pásma, optimálního pro danou vyhodnocovací metodu.
- Pomoci frekvenčního posuvu je možné snižit dopplerovskou frekvenci
- Frekvenční posuv dovoluje efektivní odstranění nosné složky dopplerovského signálu - anglicky 'pedestal' (viz. kap. 4.2.1).
- V některých případech dovoluje frekvenční posuv zlepšit statistiku vyhodnocení signálu vzhledem k počtu dopplerovských cyklů požadovaných signálovým procesorem (viz. kap. 4.2.2). Např. při měření v proudech s vysokou turbulencí lze získat statisticky věrohodnější výsledky.

#### Nevýhody frekvenčního posuvu:

- Elektronika směšování frekvencí frekvenčního posuvu vnáší do signálu značný šum a tím se snižuje výsledný odstup signálu od šumu.
- Protože účinnost Braggovy buňky není stoprocentní, tzn. že na ni dochází k energetickým ztrátám, dochází ke snížení využitelného výkonu laserového záření.
- Sestava laserového dopplerovského anemometru s Braggovou buňkou je náročnější na seřizení.



Obr.4.6 Signál LDA

- a. signál fotonásobiče
- b. signál po pásmové filtraci

Na závěr lze shrnout následující základní vlastnosti signálu LDA:

- Nespojitost (signál se objevuje pouze po průletu stopovací částice optickou sondou)
- Vysoká frekvence (jednotky až desítky i stovky MHz)
- Krátká doba výskytu
- Proměnná amplituda
- Signál obsahuje šum

#### 4.2.2 Procesory LDA

Z výčtu specifických vlastností signálu LDA (zejména jeho nespojitosti) vyplývá, že pro jeho využití v měření frekvencí v elekrotechnice nejsou vhodné univerzální přístroje používané k měření frekvencí.

Odstup signálu od šumu je základním problémem měření LDA a bezprostředně se týká metodiky měření LDA. Šumové po-měry lze upravit např. vhodnou volbou výkonu laseru, výběrem častic, sycením proudu česticemi, optickou konfigurací, pás-movou filtraci signálu, různými úpravami měřeného objektu a pod. Odstup signálu od šumu lze ovlivnit i volbou signálo-vého procesoru a způsobem zpracování signálu.

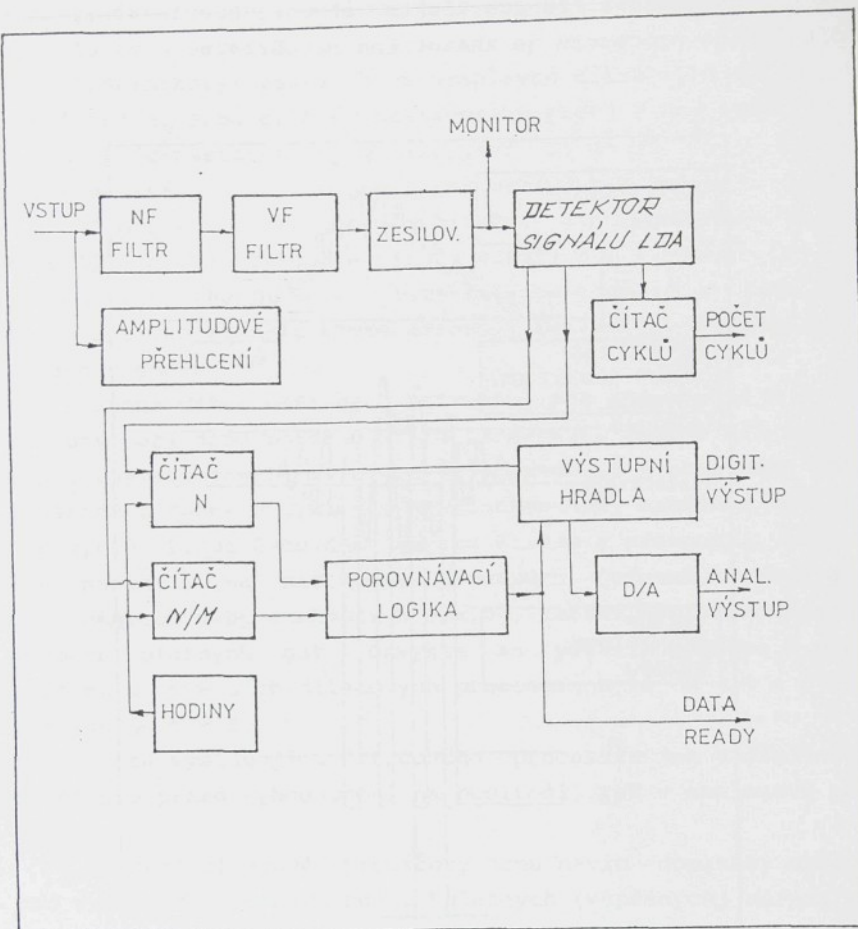
Na obr.4.6 je zobrazen typický průběh signálu LDA vy-tvořeny průletem částice přes optickou sondu.

Tvar dopplerovského signálu je dán rozložením intenzity světla v interferenčním poli optické sondy, kterou prolétává částice. Obálka časového průběhu amplitudy signálu má tvar Gaussovy křivky, což odpovídá rozložení intenzity světla v laserových paprscích tvořících optickou sondu.. Interfe-rencní mřížka optické sondy není nikdy promodulována až k nulové hodnotě (v minimech není "úplná tma"). To je hlavní přičinou, proč ani minimální výchylky signálu nedosahují k nulové hodnotě. Ze stejných důvodů je na signál nasuperpo-nována stejnosměrná "základna" (angl. 'pedestal') s vrcholem amplitudy  $A_p$ , jak je ukázáno na obr.4.6 a.

Maximální rozkmit signálu LDA na obr.4.6 je  $A_s$  a jeho frekvence je úměrná rychlosti částice prolétávající přes interfe-rencní oblast optické sondy.

Poměr  $1/2 \cdot (A_s/A_p)$  se definuje jako viditelnost dopplerovského signálu a reprezentuje jeho kvalitu (promodulová-ní). Viditelnost obecně závisí na velikosti častic a jejich optických vlastnostech, na polarizaci protinajících se svě-telných vln, úhlu křížení, poměru světelnych intenzit a ko-nečně i na poloze přijimací optiky.

Při vyhodnocování dopplerovského signálu by mohla při-tomnost Gaussovské základny ('pedestal') vést k výsledkům systematicky odchýleným k nižším hodnotám, a proto se od-stranuje zpravidla frekvenční filtraci. Výsledný signál po fil-traci je znázorněn na obr.4.6 b.



Obr.4.7 Schéma čítačového procesoru LDA.

ni filtr tak, aby odstranil nízkofrekvenční "základnu" - 'pedestal' (viz kap. 4.2.1), a vysokofrekvenční filtr omezuje nežádoucí šum.

Filtrovany a vhodně zesílený signál se přivádí na speciální spouštěcí obvody (tzv. detektor signálu LDA), kde se sinusový signál o proměnné amplitudě převede na signál obdélníkový.

Pro zpracování signálu LDA se proto používá speciálních tzv. signálových procesorů. V současné době se používají 3 druhy signálových procesorů:

- Sledovačový procesor (angl. 'tracker')
- Čítačový procesor (angl. 'counter')
- Analyzátor spektra dopplerovského vzryvu  
(angl. 'Burst Spectrum Analyzer' - BSA)

*Sledovačový procesor* (angl. 'tracker') - je nejstarším typem procesoru LDA. Jedná se o analogový procesor, který je využitelný především pro měření nízkých frekvencí (cca do 20 MHz) v případě vysokého nasycení proudu částicemi, kdy signál LDA je téměř spojitý. Není vhodný pro měření v proudech s velkými změnami rychlosti nebo v případech, kdy je signál často přerušován. V současné době se téměř nepoužívá a je nahrazován modernějšími druhy signálových procesorů. Podrobnější informace lze nalézt např. v [41].

*Čítačový procesor* (angl. 'Counter') je digitální přístroj založený na principu měření času potřebného na proběhnutí zadaného počtu cyklů dopplerovské frekvence. Přístroj vyhodnocuje platná data pouze v případě, že byla překročena určitá, předem nastavená úroveň signálu a je tedy uzpůsoben pro zpracování nespojitého signálu. Kvalitní čítačové procesory dokáží měřit dopplerovské frekvence až do 200 MHz (v reálných podmínkách měření signálu LDA je tato hranice poněkud nižší - cca 140 MHz).

Funkce čítačového procesoru je podrobně vysvětlena např. v [25], [42], [43].

Na obr. 4.7 je znázorněno zjednodušené schéma čítačového procesoru.

Vstupní signál nesoucí dopplerovskou frekvenci, je přiváděn přes nastavitelné vysokofrekvenční a nízkofrekvenční filtry na zesilovač s nastavitelným zesílením.

Čítačový procesor nemá žádné "záchytné pásmo" a proto může být zachycen jakýkoliv signál, který leží v jeho frekvenčním rozsahu. Z těchto důvodů se nastavuje nízkofrekvenč-

nikový signál, jehož perioda je rovná periodě dopplerovského signálu (viz obr.4.8.).

Obdélníkovým signálem je hradlován čítač čítající frekvenci hodin. Doba průběhu nastaveného počtu  $N$  dopplerovských cyklů ( $N$  je nastavitelný v násobcích  $2: 2^1$  až  $2^7$ ) je úměrná počtu načítaných hodinových pulsů mezi  $N$  hradlovacími pulsy.

Z obr.4.7 je zřejmé, že čítačový procesor obsahuje takové čítače dva. Tyto dva čítače slouží k potlačení těch rušivých vlivů (např. šumu, interference signálů od více částic v optické sondě), které narušují periodičnost vyhodnocovaného signálu.

Jeden čítač měří dobu potřebnou pro proběhnutí  $N$  cyklů a druhý měří dobu potřebnou pro proběhnutí obecně  $N/M$  cyklů. V porovnávací logice (viz Obr.4.7) dochází k porovnání doby naměřené čítačem  $N$  cyklů s  $M$ -násobkem doby naměřené čítačem  $N/M$  cyklů. Pokud tyto doby nejsou shodné s přesnosti, kterou lze nastavit na čítačovém procesoru (přesnost se uvádí v procentech doby uběhnutí  $N$  cyklů), měření není zahrnuto do souboru platných dat. Obvykle se používá hodnota  $N = 8$ , přičemž u starších čítačových procesorů bylo  $M = 4$  a u novějších je  $M = 5$ .

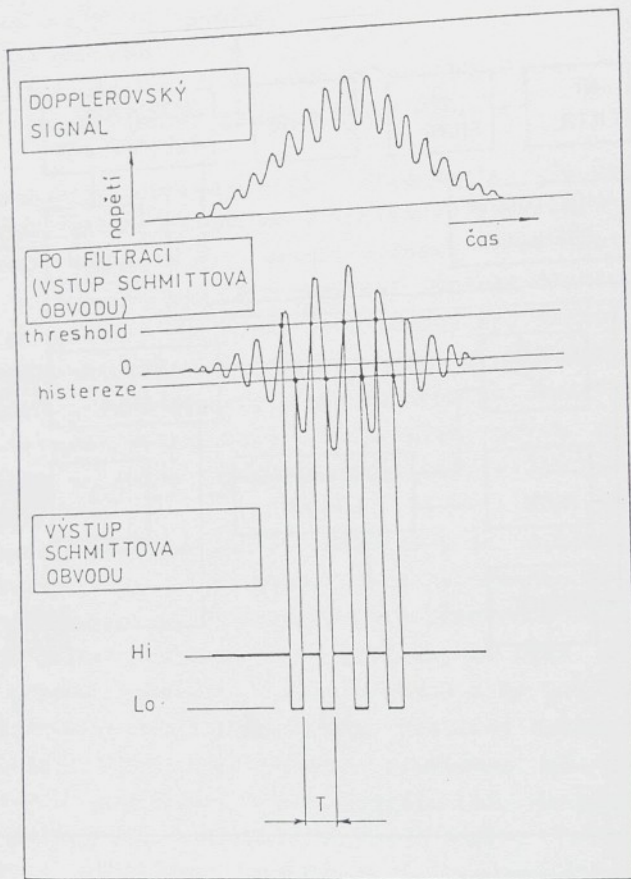
Data vystupují z čítačového procesoru jak v digitální formě pro přímé vyhodnocení na počítači, tak v analogové podobě.

Některé čítačové procesory jsou navíc doplněny obvody pro vyhodnocení poměru počtu platných (úspěšných) měření ke všem měřením, která byla započata. Tento poměr se obvykle označuje DV - 'data validated' a jeho velikost je mírou úspěšnosti měření.

Čítačové procesory dovolují měřit různé nespojité déje, u kterých dochází k velkým změnám rychlosti. Ve srovnání s jinými druhy signálových procesorů mohou měřit nejvyšší dopplerovské frekvence (100 - 200 MHz). Problémy nastávají při měření signálů s malým poměrem signálu k šumu.

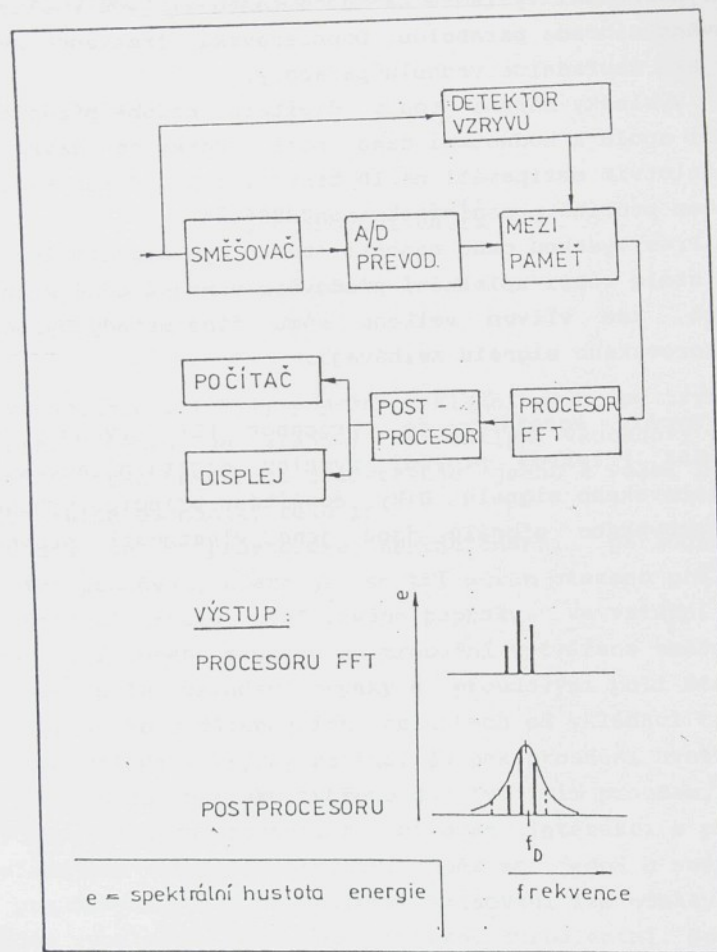
V současné době jsou čítačové procesory vzhledem k širokým aplikačním možnostem a cenovým relacím nejužívanějším typem signálového procesoru.

Zjednodušená funkce těchto obvodů, které tvoří jádro čítačového procesoru je znázorněna na obr. 4.8.



Obr. 4.8 Funkce detektoru signálu LDA v čítačovém procesoru.  
(dle [44])

Základem je Schmittův obvod, na jehož vstup je přiveden filtrovaný dopplerovský signál. Když vstupní signál překročí úroveň spouště ('threshold'), objeví se na výstupu nízká úroveň (Lo). Klesne-li signál pod úroveň histerese, na výstupu se nastaví vysoká úroveň (Hi). Tímto způsobem vznikne obdélníkový signál.



Obr. 4.9 Schéma analyzátoru spektra dopplerovského vzryvu LDA (BSA).

Pro dosažení vyšší přesnosti měření je používáno tzv. metody doplnování nul [45], čímž se zdvojnásobi počet vzorků frekvence na výstupu procesoru FFT. Protože ziskané spektrum

Analyzátor spektra dopplerovského vzryvu (angl. 'Burst Spectrum Analyzer' - BSA) je přístroj pro rychlou analýzu krátkodobých dějů. Přístroj vyrábí špičkový výrobce anemometrů dánská firma DANTEC. Z funkčního hlediska se jedná o nejmodernější druh signálového procesoru. Podle údajů výrobce [45] nemá BSA z aplikačního hlediska žádné omezení kromě frekvenčního pásma od 122 Hz do 80 MHz (od r.1991 je nabízen model s horní hranici 120 MHz). Základní výhodou BSA je, že dokáže měřit i při extrémně nízkém odstupu signálu od šumu, kdy čitačové procesory již selhávají.

Princip přístroje spočívá v aplikaci rychlé Fourierovy transformace na dopplerovský signál. Schéma přístroje je na obr.4.9.

Vstupní signál je po průchodu pásmovou propustí přiveden do jednotky směšovače, kde je signál elektronicky směšován s přednastavenou střední frekvencí a tím posunut do pásma, v němž pracuje digitalizátor. Rychlým A/D převodníkem je signál digitalizován a výsledek digitalizace se ukládá do mezipaměti. Zároveň je signál zpracováván ve druhé vyhodnocovací větvi, v tzv. detektoru vzryvu, jehož úkolem je rozhodnout, zda signál má charakter dopplerovského vzryvu. Na-vzorkovaný signál v mezipaměti je potom zpracováván speciálním procesorem FFT, který provádí (hardwarem) diskrétní Fourierovu transformaci. Výkonové spektrum je vypočteno podle vzorce:

$$S_k = \left[ \sum_{n=0}^{N-1} x_n \exp\left(-j \cdot \frac{2\pi kn}{2N}\right) \right]^2 \quad /4.2.1/$$

$$k = -N, -N+1, -N+2, \dots, N-1$$

kde  $S_k$  je k-tá energetická hustota

$x_n$  je digitalizovaná hodnota n-tého časového vzorku

N je počet vzorků v mezipaměti (8,16,32,64).

## 5. Návrh a řešení experimentální metodiky měření vzduchového prohozu na tkacím stroji metodou LDA.

### 5.1 Stanovení úkolů

V kapitole 1.1 byly popsány základní principy tryskového tkání. Odtud je zřejmé, že aktivní vzduchový prohoz tryskového tkacího stroje představuje jednu z velmi komplikovaných úloh mechaniky tekutin.

Jedná se o prostorové, nestacionární, periodicky se opakujici proudění, které je ze tří stran omezeno průlinčitými stěnami kanálu profilového paprsku. Ve vstupní části tkacího profilového paprsku je proudění vytvářeno směšováním proudového pole vkládací trysky s proudovými poli štafetových trysek. Ve vzdálenějších oblastech od vkládací trysky, kde proud vkládací trysky zaniká, je pak proudění uvnitř kanálu profilového paprsku tvořeno dozivajícím proudem, který je v pravidelných roztečích posilován interakcí s proudem z následujici štafetové trysky. Opět se jedná o směšování dvou proudových polí. V důsledku směšování lze očekávat, že výsledné rychlostní pole bude výrazně turbulentní. Současně je třeba počítat s oblastmi s výraznými gradienty rychlosti napříč proudem, jehož malé příčné rozměry cca  $6 \times 6$  mm jsou vymezeny rozměry kanálu profilového paprsku. Také rozsah rychlostí je velmi široký a pohybuje se od desítek m/s až po transsonické proudění na ústi vkládací trysky.

Obecně vede studium proudových polí vzduchového prohozu k měření nestacionárních periodických proudění. Současně je nutné provádět měření i blízko stěny kanálu profilového tka-

je čárové (jsou v něm na některých frekvencích mezery), je při vyhodnocení výsledku na každé takto získané spektrum aplikována nahraď parabolou. Dopplerovská frekvence se vypočítá jako souřadnice vrcholu paraboly.

Výsledky měření jsou v digitální podobě předávány počítači spolu s hodnotami času mezi vzorky po dávkách prostřednictvím mezipaměti na 10 tisíc vzorků. Komunikace s počítačem probíhá pomocí rozhraní IEEE-488.

Přes vysokou cenu nachází tento typ signálového procesoru stále větší uplatnění především v nejnáročnějších aplikacích, kde vlivem velkého šumu jiné metody vyhodnocení dopplerovského signálu selhávají.

Rychlý korelator je procesor LDA vyvinutý firmou TSI [46]. Přístroj provádí rychlou digitální autokorelace dopplerovského signálu. Díky použitému principu vyhodnocení dopplerovského signálu jsou jeho vlastnosti srovnatelné s BSA.

- směšování proudů
- vysoká turbulence
- měření blízko stěny kanálu

Tlakové sondy (viz kap. 3.1) vyhovují pro tento případ s následujicimi omezenimi:

- i miniaturní sondy narušují proud uvnitř kanálu profilového paprsku (malé příčné rozměry měřeného proudu)
- měření jednotlivých složek prostorového proudění je velmi problematické a nepřesné (vliv úhlu náběhu na přesnost měření)
- velké příčné gradienty způsobují odchylky měřené rychlosti
- vysoká turbulence způsobená směšováním proudů může vést k velkým chybám, které lze obtížně korigovat
- transsonické rychlosti předpokládají použití komplikovaných výpočetních vztahů pro stlačitelnou kapalinu; sondy pro tento případ je nezbytné kalibrovat na speciálních kalibračních tunelech s poměrně nejistým výsledkem (chybi znalost srovnatelných podmínek)

Obecné je nutné vybírat konstrukčné vhodné miniaturní tlakové sondy a provádět jejich kalibraci s přihlédnutím k charakteru proudění v proměřované oblasti. Běžně používané vyhodnocení rychlosti z celkového tlaku podle elementárního nekorigovaného vztahu ( $P_0 - p_s = 1/2 \cdot \rho \cdot w^2$ , viz kap. 3.1) může v některých proměřovaných oblastech (podle charakteru proudění) vést k rozumným výsledků a v jiných k hrubým chybám.

Anemometr se žhaveným drátkem (viz kap. 3.2) vyhovuje s následujicimi omezenimi:

- sonda anemometru se žhaveným drátkem narušuje proudění uvnitř kanálu profilového paprsku
- měření složek rychlostí prostorového proudění vyžaduje speciální sondy (např. X - sondy)
- vysoko turbulentní proudění je nutné měřit speciálně ka-

ciho paprsku, protože v této oblasti se za normálních okolností pohybuje prohazováný útek.

Experimentální metodika měření vzduchového prohozu popsaná v této práci byla navržena pro měření stacionárních rychlostních polí ve směru prohozu. Toto zjednodušení nebylo vynuceno pouze nedostupnosti vhodného technického vybavení, ale má i své reálné opodstatnění.

Při prohozu útkové nitě kanálem profilového paprsku jsou ventily jednotlivých sekci štafetových trysek časově řízeny. Časování je přitom nastaveno tak, že se sekce štafetových trysek zapinají postupně a s předstihem tak, že prohazovaná útková nit vstupuje do již 'rozběhnutého' (vytvořeného) proudového pole. V tomto případě lze rychlostní pole v kanálu profilového paprsku považovat v dobrém přibližení za stacionární.

V kapitole 7.2.1 a 7.2.2 jsou navrženy způsoby měření periodických nestacionárních proudění v provozním režimu tkacího stroje a v kapitole 7.2 jsou uvedena ověřovací měření za vodní tkací tryskou.

## 5.2 Srovnání použitelnosti LDA a ostatních metod pro měření rychlostních polí vzduchového prohozu.

Specifika vzduchového prohozu lze shrnout do následujících podmínek, které vymezují použitelnost měřicí metody:

- zkoumané proudění je prostorové
- malé příčné rozměry proměřované oblasti
- velký rozsah měřených rychlostí (až po transsonické proudění)
- velké příčné i podélné gradienty rychlosti

Dvouohnisková anemometrie - L2F (viz kap. 3.3.2) má teoretické předpoklady pro měření u stěny kanálu, ale problémy s měřením vysoké turbulence a s velmi nízkou četností dat tuto metodu do jisté míry degradují. Ani dvouohniskové anemometry nejsou v současné době v ČSFR k dispozici.

Laserová dopplerovská anemometrie - LDA (viz kap. 3.3.3) má pro měření podobných komplikovaných úloh již tradici a díky svým přednostem se jeví jako optimální.

Základní vlastnosti LDA ve srovnání s termoanemometrií jsou následující:

- LDA je bezkontaktní metoda a na rozdíl od termoanemometrických sond nenarušuje zkoumaný proud.

- LDA je lineární metoda. Na rozdíl od nelineárního termoanemometru odpadá potřeba kalibrace a neexistuje drift způsobený znečištěním sondy.

- Díky linearitě není LDA měření omezeno na nízké hodnoty intenzity turbulence.

- LDA lze bez zásadních potíží použít i v proudech s vysokým Machovým číslem, což o termoanemometrii neplatí.

- LDA měření nezávisí na změnách teploty a tlaku tekutiny.

- U LDA lze zajistit jednoznačnou směrovou charakteristiku v rozsahu  $180^\circ$ , u termoanemometru pouze v rozsahu  $90^\circ$ .

- LDA nevyžaduje mechanický přístup k měřenému mistu, je nutný přístup optický.

- LDA neměří rychlosť tekutiny, ale rychlosť částic ji unášených. Proto musí být do tekutiny přimiseny částice ve vhodné koncentraci, které dobře sledují proud. Termoanemometrické sondy vyžadují vysokou čistotu proudícího média.

*Rozbor vlastností jednotlivých měřicích metod provedený v této kapitole potvrdil, že laserová dopplerovská anemometrie (LDA) má nejlepší předpoklady pro komplexní měření rychlostních polí při studiu vzduchového prohozu. Proto byla tažto metoda zvolena pro daný experiment jako optimální.*

- librovanou sondou a nelze výhodnocovat pomocí běžně užívané linearizované teorie; vyžaduje výhodnocení složitějšími způsoby (tzv. nelinearizované teorie) [47], [48].
- měření transsonických proudění je velmi komplikované a je stále předmětem intenzivního vývoje
  - vzduch pro měření anemometrem se žhaveným drátkem musí být filtrován (při vysokých rychlostech hrozí nebezpečí poškození měřící sondy)

*Termoanemometrie je nelineární metoda, která vyžaduje cejchování a pečlivé seřízení přístroje (např. linearizátoru) pro jednotlivé měřící sondy. Cejchování jednotlivých sond je třeba kontrolovat i při dlouhodobém měření, neboť parametry sondy se mohou měnit v důsledku jejího znečištění. Klasickými aplikačními oblastmi termoanemometrie jsou měření při subsonických a supersonických rychlostech. Měření v oblastech vysoké turbulence a v transsonické oblasti naráží na závažné problémy a je tedy velmi komplikované a problematické.*

Tlakové sondy a anemometry se žhaveným drátkem nelze bez zásadních omezení použít na komplexní studium rychlostních polí vzduchového prohozu. Uvedené metody přinášejí při měření značné problémy. Navíc jsou obě metody kontaktní a to je v případě měření uvnitř kanálu profilového paprsku naprostě zásadní nedostatek, neboť hmotné sondy vždy narušují zkoumaný proud.

Jako schůdné se jeví metody optické (laserová anemometrie), které mají zásadní výhodu zejména v tom, že nenarušují proud, dále nemají omezení v transsonické oblasti a lze jimi měřit i proudění s vysokým přičním gradientem rychlosti a vysokou turbulencí.

Obrazová anemometrie částic - PIV (viz kap. 3.3.1) z důvodu nedostupnosti (metoda je velmi "mladá" a drahá) nepřipadá v úvahu. V současné době se v ČSFR nenachází ani jedno zařízení tohoto druhu.

liší a jejichž vliv lze často jen těžko odhadnout. Příznivé nebo nepříznivé ovlivňování těchto faktorů je záležitostí metodiky měření LDA.

Pro úspěšné zvládnutí měření vzduchového prohozu bylo nutné posoudit vliv faktorů na měření LDA a následně nalézt řešení na potlačení těch faktorů, které měření negativně ovlivňují.

Základní faktory ovlivňující přesnost měření LDA jsou:

- Přítomnost šumu v optickém signálu.
- Stopovací částice a jejich schopnost sledovat změny rychlosti a směru proudu
- Rovnoměrnost nasycení měřeného média stopovacími částicemi.
- Odchylka směru proudu od měřeného směru.
- Statistická chyba rychlosti.
- Pokles amplitudy s narůstající dopplerovskou frekvencí.
- Přesnost procesoru LDA.

### 5.3.1 Přítomnost šumu v signálu

Šum obsažený v LDA signálu má zásadní vliv na přesnost měření.

Za šum se považuje v LDA takový obvykle náhodný signál, který nenese žádnou přímou informaci o měřeném procesu. Kvantitativně se šum posuzuje ve shodě s všeobecnou praxí odstupem signálu od šumu:

$$\text{SNR} = 10 \cdot \log \frac{P_s}{P_n}$$

kde

SNR ... odstup signálu od šumu,

$P_s$  ... výkon signálu,

$P_n$  ... výkon šumu.

/5.3.3/

### 5.3 Analýza faktorů ovlivňujících přesnost měření vzduchového prohozu metodou LDA.

Z rozboru provedeného v předcházející kapitole vyplývá, že měření proudění uvnitř kanálu profilového paprsku není rozhodně triviální.

Laserový dopplerovský anemometr (LDA), jak bylo vysvětleno v kap. 3.3.3, měří okamžitou rychlosť částice při průletu optickou sondou. Signálový procesor zaznamená dopplerovskou frekvenci odpovídající rychlosti částice a tento údaj je uložen k dalšímu zpracování do paměti počítače. Základní charakteristiky měřeného proudění, jako střední rychlosť a intenzita turbulence, je možno získat z dostatečně velkého souboru měření statistickým zpracováním podle definice [49]:

střední rychlosť:

$$w_s = \frac{\sum_{i=1}^n w_i}{n} \quad /5.3.1/$$

Intenzita turbulence:

$$Tu = \sqrt{\frac{\sum_{i=1}^n (w_s - w_i)^2}{n-1}} \cdot \frac{1}{w_s} \quad /5.3.2/$$

kde

Tu ... intenzita turbulence.

w<sub>s</sub> ... střední hodnota rychlosťi,

w<sub>i</sub> ... hodnota i-tého měření, vypočtená z dopplerovské frekvence f<sub>D</sub>  
(viz. rovnice /3.3.7/)

n ... počet měření.

Přesnost měření středních rychlosťi pomocí LDA se v běžných případech odhaduje na 5 %. Tato přesnost je však ovlivněna řadou vnějších faktorů, které se připad od případu

Poznatky o použitelnosti jednotlivých vyhodnocovacích metod, vyplývající jak z literatury, tak ze sedmileté praxe autora na pracovišti VÚTS LIBEREC, lze shrnou následujícím způsobem:

- Je-li odstup signálu od šumu menší než 10 dB, nelze pro vyhodnocování měření použít čitačový procesor.

Při takto nízkých odstupech šumu mohou poskytovat rozumné výsledky pouze procesory, založené na principu spektrální analýzy krátkých dějů, které provádějí analýzu spektra frekvencí jednotlivých dopplerovských vzryvů.

Typickým představitelem takového procesoru je BSA popsáný v kap. 4.2.2. Procesor BSA má značné přednosti při měření blízko stěn, kdy se odstup signálu od šumu v důsledku intenzivní odrazu světla výrazně snižuje. Z téhoto důvodů byly prováděny experimenty s BSA při měření v prohozním kanálu profilového paprsku. Výsledné hodnocení použitelnosti tohoto procesoru bylo negativní (důvodem jsou vysoké rychlosti a intenzity turbulence) a podrobnosti jsou uvedeny v kap. 5.7.2.

- Je-li odstup signálu od šumu od 10 do 20 dB, může docházet vlivem šumu ke vzniku systematických chyb, které nelze eliminovat jako chyby náhodné.

Při téhoto odstupech signálu od šumu jsou již pro vyhodnocování použitelné čitačové procesory (viz kap. 4.2.2), které vyžadují odstup signálu od šumu minimálně 10 až 15 dB.

Při zpracování signálu s odstupem signálu od šumu do 20 dB čitačovým procesorem může docházet ke zkreslení výsledku měření jak střední hodnoty rychlosti, tak i zejména intensity turbulence. Procesor v tomto případě zpracovává nejenom užitečný signál, ale i šum. To je způsobeno tím, že šum nasuperponovaný na dopplerovský signál může překračovat spouštěcí úroveň čitačového procesoru (viz. kap. 4.2.2, obr.4.8) a tak se chybné výsledky zpracování šumu mohou dostat do naměřeného souboru dat určeného k dalšímu statistickému zpracování. Tento jev je popsán např. v lit.[51],

Obdobně lze definovat odstup signálu od šumu na základě poměru amplitud:

$$\text{SNR} = 20 \cdot \log \frac{A_S}{A_n} \quad /5.3.4/$$

Kde  
SNR ... odstup signálu od šumu,  
 $A_S$  ... amplituda signálu  
 $A_n$  ... amplituda šumu.

Hodnota vypočtená podle vzorců (5.3.3) a (5.3.4) udává odstup signálu od šumu v decibelech (dB)

V praxi lze odstup signálu od šumu měřit osciloskopem nebo spektrálním analyzátem.

Šum v LDA signálu lze rozdělit podle původu na:

- optický šum
- elektronický šum

Hlavním zdrojem šumu v LDA je optická část anemometru. Odtud se šum fotodetektorem přenáší do elektronické části přístroje. Ostatní zdroje šumu (elektronické), jako např. termický šum fotokatody a šum prvého stupně zesilovače signálového procesoru, jsou v běžných případech při správné funkci přístroje výrazně slabší (viz [50], [51], [52]). Zdrojem optického šumu je veškeré osvětlení fotodetektoru, které není modulováno dopplerovským signálem. Úroveň šumu je především závislá na kvalitě a uspořádání laserového anemometru.

Hlavními zdroji optického šumu jsou:

- Odraz a rozptyl světla na stěnách a průzorech.
- Zbytkové osvětlení pozadí.
- Stejnosměrná část dopplerovských vzryvů ('pedestal').

Pro zajištění kvalitních výsledků měření je nezbytné dosažení co nejvyššího odstupu signálu od šumu. Minimální odstup signálu od šumu, který je pro danou aplikaci ještě akceptovatelný, je závislý na typu použité vyhodnocovací techniky a požadované přesnosti.

Měření proudění u stěny profilového paprsku tkacího stroje je případ, kdy postupným přiblížováním optické sondy ke stěně kanálu neúměrně vzrůstá optický šum v důsledku odrazů světla od stěny. Provedené experimenty potvrdily skutečnosti uvedené v této kapitole a ukázaly, že ve vzdálenostech 2 - 3 mm od stěny kanálu standardní metoda zpětného rozptylu selhává a LDA signál nelze vyhodnotit čítačovým procesorem. Proto byla navržena a realizována metodika na potlačení optického šumu u stěny kanálu. Podrobnosti o řešení tohoto úkolu jsou uvedeny v kap. 5.7.

### 5.3.2 Stopovací částice a jejich schopnost sledovat změny směru a rychlosti proudu.

Při měření rychlosti tekutiny metodou LDA je ve skutečnosti měřena rychlosť částic unášených proudem, tzv. stopovacích částic (angl. 'seeding particles').

Dobré sledování proudu stopovacími částicemi je základní podmínkou správné funkce laserového anemometru. Na jejich optických vlastnostech pak do značné míry závisí kvalita dopplerovského signálu.

Částice musí splňovat několik požadavků:

- musí dostatečně přesně sledovat proud tekutiny; rozhodující jsou dva parametry: charakteristický průměr částic a poměr hustoty částice k hustotě tekutiny.

- musí mít vysokou intenzitu rozptylového záření při vysokém odstupu signálu od šumu a vysoké viditelnosti ('visibility'; viz kap. 4.2.1).

- částice nemají narušovat proudění, usazovat se a shlukovat se a podstatně měnit fyzikální vlastnosti tekutiny

Rozptyl světla na malých částicích teoreticky popsal G. Mie [63] a po něm van de Hulst [64]. Parametrem v těchto

[53], [54].

Z funkce čitačového procesoru a ze zkušenosti autora též vyplývá, že vliv šumu na výsledek měření může být do jisté míry ovlivněn nastavením spouště čitače a použitou filtraci.

- Při odstupu signálu od šumu nad 20 dB se negativní vliv šumu na vyhodnocení signálu čitačovým procesorem přestává uplatňovat. Při optimálním nastavení spouště čitače a filtrace mají případné chyby pouze náhodný charakter.

Obecně existuje několik způsobů jak eliminovat šum v LDA signálu, např.:

- Eliminace šumu z naměřených dat jejich statistickým vyčištěním. V těchto případech se obvykle předpokládá normální rozdělení šumu. Tento způsob je v případech nízkého odstupu signálu od šumu obvykle málo účinný.

- Eliminace změrených dat korekcí na šum. Příkladem může být originální metoda popsána v lit. [44]. Metoda předpokládá doplnění měření o měření čistého šumu odpovídající úrovně (nebo alespoň takového simulovaného šumu) a statistickou korekci naměřených dat.

- Omezení pronikání optického šumu do souboru dat vyhodnocených procesorem pomocí korelovaných měření dvěma kanály anemometru. Tato metoda byla navržena Whiffenem Lauem a Smithem [55] a upravena dalšími autory [56]. Metoda využívá nízké korelovanosti šumu a naopak vysoké korelovanosti signálu.

Nejúčinnějším a nejefektivnějším způsobem eliminace šumu je jeho potlačení přímo v optické části anemometru. Snižení optického šumu se provádí nejrůznějšími prostředky a ty zpravidla závisí na jednotlivých aplikacích (např. čerňání odrazných ploch, prostorová filtrace, použití fluorescencie atd.)

Jak bylo uvedeno v kap. 5.3.2, dochází při vytváření proudového pole uvnitř kanálu profilového paprsku ke směšování proudů. V oblastech směšování se na výsledcích měření může negativně projevovat různé sycení obou proudů stopovacími částicemi. V takovém případě běžné hodnocení časovým průměrováním selhává a chybu lze jen obtížně odhadnout.

Podrobnější diskuse a řešení rovnoměrného sycení proudu uvnitř kanálu profilového paprsku je provedeno v kap. 5.6.2.

#### 5.3.4 Odchylka směru proudu od měřeného směru.

LDA měří vždy průměr rychlosti, který je kolmý ke směru interferenčních rovin v optické sondě.

Obecně lze uvažovat dva krajní případy:

- Částice, která prolétává optickou sondou kolmo ke směru interferenčních proužků (rovin), protíná nejvíce proužků a má tedy největší pravděpodobnost, že protne potřebný počet proužků požadovaných čítačovým procesorem (viz kap. 4.2.2) a bude změřena.

- Částice, která letí rovnoběžně s proužky má pravděpodobnost změření rovnou nule.

Je zřejmé, že pravděpodobnost zachycení (změření) částice prolétávající optickou sondou závisí na úhlu, který svírá její trajektorie s interferenčními proužky.

Z toho plyne závěr, že existuje jistý maximální úhel (maximální odchylka směru proudu od proměřovaného směru), o který se mohou částice prolétávající optickou sondou odchýlit od proměřovaného směru (kolmý na interferenční proužky), aby generovaly ještě zpracovatelný dopplerovský signál.

Částice, které se odchýlí o větší úhel, nebudou při zpracování LDA signálu zachyceny a jejich rychlosti se neob-

úvahách je průměr částice a vlnová délka. Intenzita a průběh (tvar) rozptylu závisí na indexu lomu a tvaru částice. Obecně platí, že průběh rozptylu v závislosti na směru je značně nemonotonní. Rozptyl ve směru dopadu světla je asi o 2 - 3 řády intenzivnější než zpětný rozptyl. (proto je výhodné, pokud to je možné, používat v LDA dopředný rozptyl).

Problematika sledování proudu částicemi vystupuje do popředí daleko výrazněji při měření v plynech, než při měření v kapalinách.

Pohyb částice v tekutině lze popsat tzv. Bessetovou pohybovou rovnici [26], která popisuje rovnováhu sil setrváčných, tlakového gradientu, odporu tekutiny, vazkých sil a sily vyvolané nerovnoměrným pohybem částice. Vnější sily jsou zde zanedbány. Tato rovnice byla řešena několika autory např. [57], [58].

Z výsledků plyne, že částice použitelné jako stopovací v LDA musí mít pro měření v plynech charakteristický rozměr pod 1  $\mu\text{m}$ .

Nevhodné vlastnosti častic (hmotnost, velikost) mohou obecně jak snižovat, tak i zvyšovat měřenou hodnotu střední rychlosti i intensity turbulence. Mohou mít na výsledek měření zásadní vliv.

Při měření vzduchového prohozu se osvědčily stopovací částice aerosolu glycerinu. Problémy spojené s generováním častic a jejich vnášením do proudu v prohozním kanálu profilového paprsku jsou popsány v kap. 5.6.

### 5.3.3. Rovnoměrnost nasycení měřeného média stopovacími částicemi

Rovnoměrnost nasycení měřeného média stopovacími částicemi je nutnou podmínkou přesného měření LDA.

předpoklad nemusí být vždy splněn.

Předpokládejme např. proudění, ve kterém se po stejných časových intervalech střídá rychlosť nízká a vysoká, např. dvojnásobná. Jestliže je proud rovnoměrně nasycen částicemi, pak při nižší rychlosti projde optickou sondou za určitý čas objem tekutiny  $V$  obsahující  $n$  stopovacích částic, zatímco při dvojnásobné rychlosti projde za stejnou dobu sondou objem  $2V$  obsahující  $2n$  částic. Výsledný datový soubor je v tomto případě tvořený  $n$  vzorky nižší rychlosti a  $2n$  vzorky vyšší rychlosti. Odtud je zřejmé, že střední rychlosť vypočtená podle vztahu /5.3.5/ bude systematicky posunutá směrem k vyšším hodnotám.

Tento jev je znám jako systematická chyba rychlosťi (angl. 'velocity bias') a poprvé se jím zabývali McLaughlin a Tiederman v r. 1973. [59]. Ukázali, že četnost daného vzorku je nepřímo úměrná velikosti vektoru rychlosťi, a navrhli korekci chyby rychlosťi pomocí váhové funkce.

Vztah pro výpočet střední hodnoty má potom následujici tvar:

$$w_s = \frac{\sum_{i=1}^n (w_i \cdot f_{vi})}{\sum_{i=1}^n w_i} = \left[ \frac{1}{n} \sum_{i=1}^n w_i^{-1} \right]^{-1}, \quad /5.3.6/$$

kde  $f_{vi} = \frac{1}{w_i}$  ... hodnota váhové funkce i-tého měření,  
 $w_s$  ... střední hodnota rychlosťi,  
 $w_i$  ... hodnota i-tého měření,  
 $n$  ... počet měření.

Korekce /5.3.6/ plati bez omezení pouze pro jednorozměrné proudění. Pro rovinné a prostorové proudění zavedli stejní autoři [59] váhovou funkci založenou na absolutní hodnotě vektoru okamžité rychlosťi. Pro většinu roviných případů však tato korekce nedává přiliš odlišné výsledky od korekce /5.3.6/.

jevi v konečném datovém souboru. Tim může dojít při statistickém zpracování k systematické chybě. Tento druh chyby se nazývá chybou proužků (angl. 'fringe bias') [26].

Zpracovatelný dopplerovský signál bude generován, pokud stopovací částice projde dostatečným počtem interferenčních rovin o vhodné intenzitě a kontrastu. Z toho je zřejmé, že maximální odchylka směru proudu od proměřovaného směru závisí na téměř všech faktorech ovlivňujících kvalitu měření LDA - od použitého laseru přes uspořádání optiky až po použitý procesor a jeho nastavení.

Obecně platí, že LDA měří bez výraznějšího zhoršení kvality signálu (pokles amplitudy asi do 10 %) při odchylech vektoru rychlosti od proměřovaného směru asi do 40 stupňů.

Při měření proudových polí vzduchového prohozu je nutné zvažovat vliv výše popsané proužkové chyby v případě měření malých příčných složek rychlosti, tj. složek kolmých na směr prohozu. Podrobnosti jsou uvedeny v kap. 7.1.

### 5.3.5 Statistická chyba rychlosti

V úvodu kap. 5.3 byl uveden vztah pro výpočet střední rychlosti:

$$w_s = \frac{\sum_{i=1}^n w_i}{n} \quad /5.3.5/$$

Kde

$w_s$  ... střední hodnota rychlosti,  
 $w_i$  ... hodnota i-tého měření,  
 $n$  ... počet měření.

Tento způsob vyhodnocení však předpokládá, že jednotlivé vzorky rychlosti mají stejnou statistickou váhu. Uvedený

stejných podmínek, ale při různé vzorkovací frekvenci se ukázalo, že střední rychlosť vypočtená ze vztahu /5.3.5/ se nemění.

#### 5.3.6 Pokles amplitudy s narůstající dopplerovskou frekvencí.

S narůstající rychlostí stopovací částice narůstá dopplerovská frekvence. Zároveň klesá doba, po kterou se tato částice pohybuje v oblasti maxim nebo minim interferenčního pole světla v optické sondě. V případě, že se perioda dopplerovská frekvence blíží časové konstantě fotonásobiče, mohou v důsledku poklesu amplitudy signálu LDA nastat potíže s jeho zpracováním. V tomto případě není fotonásobič schopen sledovat změny optického signálu a dochází tak k poklesu promodulovanosti elektrického signálu fotonásobiče. Podle [62] je pokles amplitudy zhruba nepřímo úměrný měřené rychlosti.

V praxi se ukazuje [51], že k poklesu amplitudy dopplerovského signálu se zvyšováním dopplerovské frekvence dochází i v případě použití rychlého fotonásobiče, tedy i tehdy, kdy časová konstanta fotonásobiče se zesilovačem je ještě dostatečně malá ve srovnání s periodou dopplerovského signálu. Dle [51] by možnou přičinou mohla být velmi nízká úroveň osvětlení fotokatody fotonásobiče, která se všeobecně vyskytuje v LDA při zpětném rozptylu. Světlo v takovém případě přestává být kontinuálním nositelem informace (důsledek kvantové povahy světla) a potom fotonásobič pracuje na hranici indikace jednotlivých fotonů (angl. "photon counting").

Pokles amplitudy signálu LDA s narůstající dopplerovskou frekvencí má na výsledek měření opačný vliv než statistická chyba rychlosti (viz. kap. 5.3.5) a do jisté míry tuto chybu koriguje.

Později byly navrženy i jiné korekce. Např. autoři (Dimotakis [60], Durao [61]) doporučují korekci s použitím váhové funkce rovné časovému intervalu mezi průlety částic. Výskyt chyby rychlosti je závislý i na způsobu vzorkování tj. na frekvenci (rychlosti) sběru dat [61]. Označíme-li:

$\hat{\tau}_s$  ... střední časový interval mezi dvěma vzorky

a  $\hat{\tau}_i$  ... střední časový interval mezi dvěma částicemi.

Potom mohou nastat následující dva případy:

a)  $\hat{\tau}_s > \hat{\tau}_i$  chyba rychlosti se neuplatní,

b)  $\hat{\tau}_s < \hat{\tau}_i$  chyba rychlosti se uplatní.

Chybu rychlosti lze tedy potlačit i prováděním měření (vzorkováním) v pravidelných vhodně zvolených intervalech.

Vhodnost či nevhodnost použití korekce na chybu rychlosti v jednotlivých aplikacích je často diskutovaným tématem. Praktická měření ukázala, že tyto korekce, přestože jsou teoreticky zdůvodněny, nedávají vždy správné výsledky.

Vliv chyby rychlosti závisí na již zmíněném způsobu vzorkování a současně na míře, do jaké se uplatní pokles amplitudy s nárůstem dopplerovské frekvence [61] (viz kap. 5.3.6).

Ukazuje se, že s uplatněním chyby rychlosti je třeba počítat především v případech výrazných fluktuací rychlosti měřeného proudu. Praktické zkušenosti potvrzují, že v běžných aplikacích LDA je vliv chyby rychlosti nevýznamný a je do jisté míry kompenzován poklesem amplitudy s nárůstem dopplerovské frekvence.

Také v případě měření proudění vzduchového prohozu se chyba rychlosti neuplatňuje. To bylo nepřímo potvrzeno i experimentálně. Porovnáním několika měření provedených za

kde      Tu ... intenzita turbulence,  
         $w_s$  ... střední hodnota rychlosti,  
         $\sigma$  ... směrodatná odchylka

Ze vztahu /5.3.8/ plyně, že chyba měření signálového procesoru LDA přímo souvisí s měřitelnou intenzitou turbulence.

Je zřejmé, že nejnižší měřitelná hodnota intenzity turbulence je dána přesnosti vyhodnocovacího signálového procesoru (udávanou výrobcem).

U čítačového procesoru závisí jeho přesnost na počtu měřených dopplerovských cyklů a efektivní hodinové frekvenci. Např. u čítače TSI Model 1990, použitého pro měření vzduchového prohozu, je pro 16 měřených cyklů a dopplerovskou frekvenci 40 MHz přesnost asi 0,25% [51].

Pomocí LDA tedy nelze běžnou technikou spolehlivě měřit velmi nízké intenzity turbulence.

V případě měření rychlostních polí uvnitř prohozního kanálu profilového paprsku se tento fakt neuplatní, neboť extrémně nízké intenzity turbulence se zde nevyskytují (viz kap. 5.2).

v běžných aplikacích se vliv tohoto faktoru podobně jako vliv chyby rychlosti, neuplatňuje.

Tento faktor však nabývá na významu při měření vysokých rychlostí, kdy se podílí na snižování odstupu signálu od šumu a omezuje tak horní hranici použitelnosti čitačového procesoru pro LDA se zpětným rozptylem zhruba na 140 MHz.

To platí i pro případ měření vysokých rychlostí (vysokých dopplerovských frekvencí) v prohozním kanálu profilového paprsku, především na vstupní straně kanálu za vkládací tryskou.

#### 5.3.7 Přesnost procesoru LDA

Přesnost vyhodnocovacího signálového procesoru LDA představuje nejmenší dosažitelnou chybu měření v případě, kdyby ostatní zdroje chyb neexistovaly (např. měření frekvence generátoru).

Chyba měření signálového procesoru LDA se definuje jako směrodatná odchylka naměřeného souboru:

$$\text{směrodatná odchylka : } \sigma = \sqrt{\frac{\sum_{i=1}^n (w_s - w_i)^2}{n-1}} \quad /5.3.7/$$

kde :  $w_s$  ... střední hodnota,  
 $w_i$  ... hodnota i-tého měření,  
 $n$  ... je počet měření.

Dosazením /5.3.7/ do vztahu /5.3.2/, vyjadřujícího intenzitu turbulence, dostaneme:

$$Tu = \sigma/w_s$$

/5.3.8/

Jedná se o nejjednoduši konfiguraci laserového dopplerovského anemometru v diferenčním modu ('dual beam'; viz kap. 3.3.3), který dovoluje měřit pouze jednu složku rychlosti a to jak v režimu dopředného rozptylu, tak v režimu zpětného rozptylu (vyobrazeno na obr.5.2).

Anemometr v tomto uspořádání měří složku rychlosti, která leží v rovině protinajících se laserových paprsků a je kolmá k ose úhlu, který tyto paprsky svirají. Výběr požadované složky, tj. odpovídající nastavení roviny paprsku, se provádí natočením děliče paprsků na obr.5.2.

Jako zdroj záření byl použit výkonový argonový laser SPECTRA - PHYSIC MODEL 165. Při všech experimentech pracoval laser v příčném modu TEM<sub>00</sub> a byl naladěn na vlnovou délku 514.5 nm (barva zelená), na které dává maximální výkon až 1 W (dostatečná výkonová rezerva je nutnou podmínkou pro použití zpětného rozptylu).

Skutečný využitelný výkon byl však nižší, maximálně 600 - 700 mW, neboť měření vysokých rychlostí si vyžádalo instalaci speciálního etalonu do dutiny laserového rezonátoru, který celkový výkon laseru snižuje. Snižení výkonu laseru je způsobeno tím, že laser s vestavěným etalonem pracuje pouze v jednom axiálním modu (zamezení multimodového režimu). Současně je však zaručeno bezchybné měření dopplerovských frekvencí nad 75 MHz (teoretický rozbor lze nalézt např. v [35]).

Optický LDA signál byl snímán rychlým fotonásobičem TSI Model 9160. Pro měření dopplerovské frekvence se používal čítačový procesor TSI Model 1990B. Některé ověřovací experimenty byly prováděny i analyzátem spektra dopplerovského vzryvu (BSA, viz kap. 5.7.2) firmy DANTEC, Model 57N10. Princip a funkce téhoto signálových procesorů byly popsány v kapitole 4.2. Proto budou na tomto místě uvedeny jen základní údaje a pojmy o čítačovém procesoru TSI 1990B, které jsou užívány v dalším textu.

Čítačový procesor TSI 1990B na obr.5.3 je tvořen vstupním dílem Model 1994B a vlastním čítačem Model 1995B.

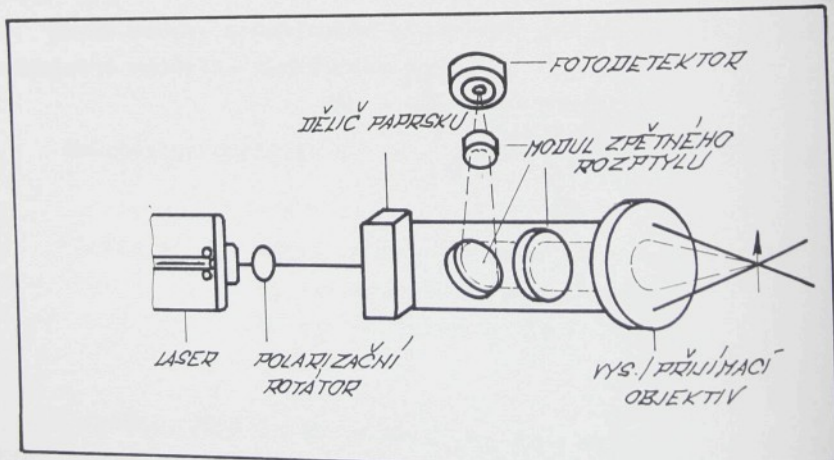
## 5.4 Použitá měřicí technika

Měření proudových polí vzduchového prohozu byla reálnována laserovým dopplerovským anemometrem se zpětným rozptylem.

Jádro laserového dopplerovského anemometru tvořil jednosložkový laserový anemometr americké firmy TSI. Řešení metodiky měření však ukázalo, že kromě případu měření volných proudů za ústím vkládací trysky, není možné vystačit pouze s touto základní sestavou.

Proto bylo přistoupeno k přestavbě a doplnění optické a mechanické části anemometru tak, aby výsledná sestava splňovala podmínky měření. Jednotlivé úpravy základní sestavy anemometru a jejich zdůvodnění jsou popsány v následujících kapitolách.

Schéma optického uspořádání použitého laserového anemometru TSI je zobrazeno na obr.5.2.



Obr.5.2 Schéma laserového dopplerovského anemometru TSI se zpětným rozptylem

Při příchodu dopplerovského vzryvu, který překročí spoušt Schmittova obvodu, začne čitač s rozlišením 1 ns měřit čas potřebný k proběhnuti nastavitelného počtu cyklů ('CYCLES/BURST': 2, 4, 8, 16, 32, 64 nebo 128). Kromě nastavených N cyklů se měří také N/M cyklů, kde  $M = 2$  pro  $N \leq 4$  a  $M = 8/5$  pro  $N > 4$ . Výsledné měření je uznáno za platné pouze tehdy, je-li poměr doby trvání N/M cyklů a N cyklů roven  $1/M$  s přesnosti nastavitelnou v procentech ('COMPARISON': 1, 2, 3, 4, 5, 7, 10, 15 nebo 20%).

Protože velké částice špatně sledují měřený proud, lze je vyloučit z měření tzv. amplitudovým limiterem (ovl. prvek 'AMPLITUDE LIMIT'), který při překročení nastavené amplitudy signálu (velké částice odrážejí více světla) danou částici vyřadí z dalšího zpracování čitačovým procesorem.

V případě, že měření projde popsanými porovnávacími testy, je změřený čas trvání N cyklů dopplerovského signálu přesunut ve tvaru 12 - bitové mantisy a 4 - bitového exponentu na výstupní konektor.

Čitačový procesor může pracovat ve čtyřech režimech. Jednotlivé režimy jsou znázorněny na obr.5.4.

Data z výstupního konektoru čitačového procesoru byla dále zpracovávána na počítači Apple IIe (viz obr.5.3). Počítačem byl také řízen počátek (start) a ukončení měření. Měření bylo ukončeno, když se do paměti počítače přesunul požadovaný počet platných dat (obvykle 1024). Z naměřeného datového souboru se nejprve vytvořil a na obrazovce zobrazil rychlostní histogram. Statistickým zpracováním tohoto histogramu se pak pomocí definice /5.3.1/ a /5.3.2/ nebo /5.3.8/ (viz kap. 5.3) vypočetla střední rychlosť a intenzita turbulencie. Intenzita turbulencie se vyjadřovala v procentech:

$$Tu = (\sigma/w_s) \cdot 100 , [\%] \quad /5.4.1/$$

kde  $Tu$  ... intenzita turbulencie,

$w_s$  ... střední hodnota rychlosťi,

$\sigma$  ... směrodatná odchylnka (viz /5.3.7/ v kap. 5.3.7)



- 1 - čítačový procesor TSI Model 1990B
- 2 - fotonásobič TSI Model 9460
- 3 - zdroj fotonásobiče
- 4 - osciloskop na monitorování signálu LDA
- 5 - vyhodnocovací počítač Apple IIe

Obr.5.3 Vyhodnocovací část laserového dopplerovského anemometru

Signál z fotonásobiče prochází nejprve nastavitelnými aktivními hornofrekvenčními ('High Limit') a dolnofrekvenčními ('Low Limit') filtry vstupního dílu. Potom je zesílen zesilovačem s proměnným ziskem (ovl. prvek 'GAIN') tak, aby jeho úroveň přesáhla 50 mV, což je prahová hodnota signálu pro spuštění Schmittova obvodu.

Pracovní režimy čítačového procesoru TSI 1990B:

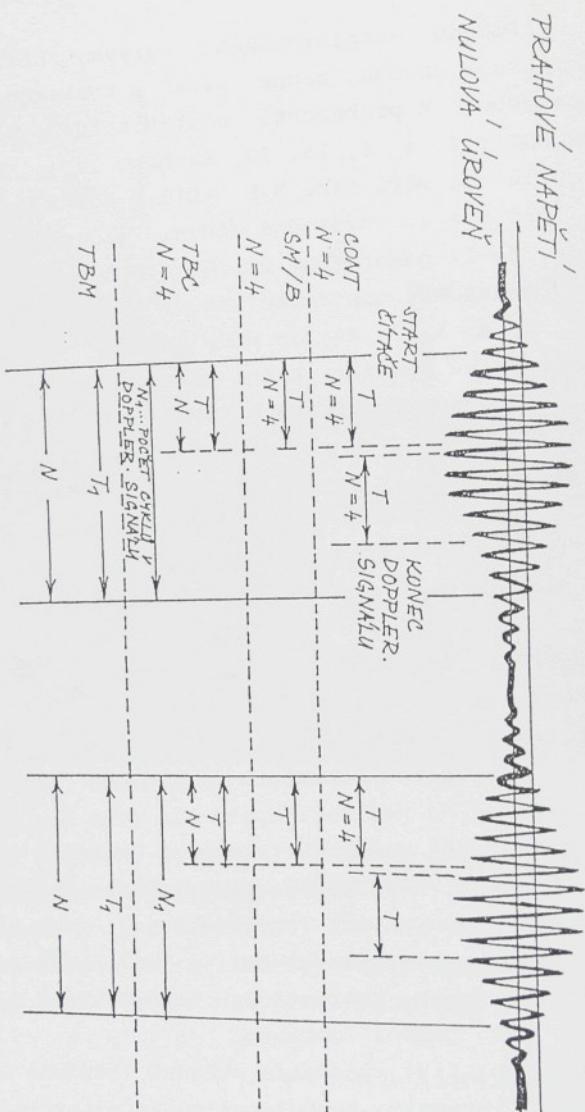
CONT. - '*continuous mode*' - měří se čas N cyklů v dopplerovském signálu a měření se opakuje po celou dobu jeho trvání

SM/B - '*single measurement per burst*' - měří se čas prvních N cyklů v dopplerovském signálu

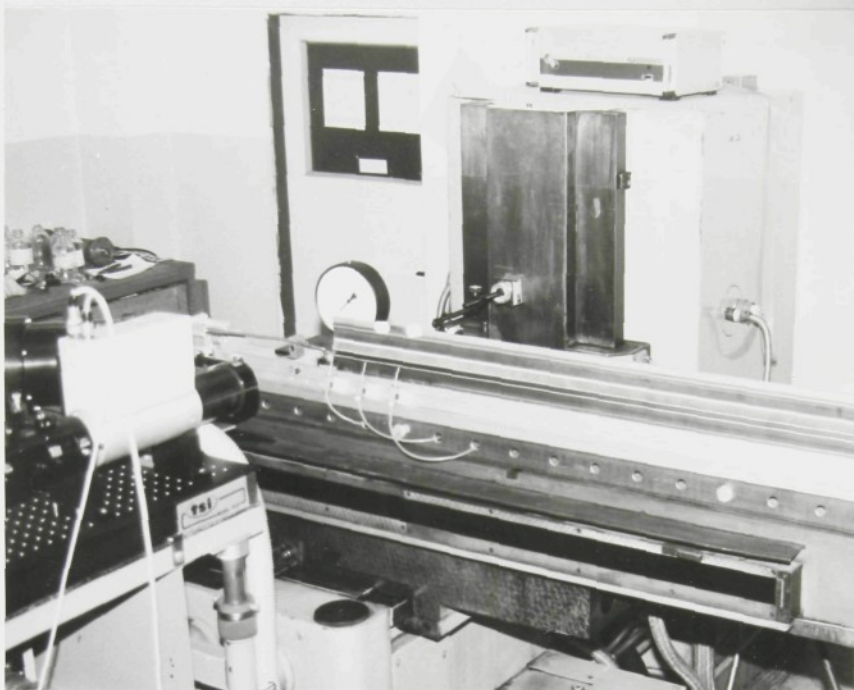
TBC - '*total burst count*' - čítač cyklů počítá všechny cykly v dopplerovském signálu, ale měří se čas pouze prvních N cyklů

TBM - '*total burst mode*' - čítač cyklů počítá všechny cykly v dopplerovském signálu a měří se doba trvání celého dopplerovského signálu

CAS



Obr. 5.4 PŘAC. REZIMY ČÍTAČOVÉHO PROCESORU TS1/MODEL 1990B.



Obr.5.5 Traverzovaci zařízení pro LDA

Odečítat polohu, tzn. jednotlivé souřadnice, je možno jak na měřitkách s nonií, která jsou součástí traverzáru, tak dálkově, prostřednictvím inkrementálních snímačů (IRC 100).

Dálkové odměrování poloh spolu s dálkovým ovládáním posuvových mechanismů bylo realizováno pomocí mikroprocesorového řídícího systému TNS a počítače PC/AT.

Řídící systém TNS (na bázi mikroprocesoru Zilog Z80) zajišťuje posuvy traverzáru v jednotlivých souřadnicích a současně snímá okamžitou polohu (X, Y, Z) z inkrementálních čidel. Řídici počítač pracuje zcela autonomně a vykonává povely nadřízeného počítače PC/AT. Styk mezi počítači je realizován obousměrným seriovým rozhraním RS 232. Řídici program v mikropočítači TNS byl napsán v assembleru (výpis viz [65]), je umístěn ve 2 kB EPROM paměti a je aktivován okamžitě po zapnutí hlavního vypínače traverzáru.

## 5.5 Traverzovací zařízení pro LDA.

Laserový dopplerovský anemometr měří střední rychlosť a intenzitu turbulence v miniaturní bodové oblasti reprezentované optickou sondou (viz kap.4.1.2). Pokud chceme získat prostorovou informaci o zkoumaném proudovém poli, je třeba provádět měření v mnoha bodech prostoru. Za tím účelem je vždy nutné řešit problém přesného a opakovatelného přemisťování optické sondy ve zkoumané oblasti prostoru.

Požadavek na přesné traverzování (přemisťování) optické sondy se výrazně uplatňuje právě při měření vzduchového průchodu, neboť příčné rozměry zkoumané oblasti (kanálu profilového paprsku) jsou velmi malé (cca  $6 \times 6$  mm), zatímco její podélný rozměr může dosahovat až 2 m.

Způsob a provedení přesného traverzování optické sondy byl řešen s přihlédnutím ke značné rozdílnosti připadných měřených objektů (např. tkací tryska, sušící komora atd.).

Velké rozdíly v rozměrech zkoumaných objektů vyžadují na traverzovacím zařízení jak velké posuvy, tak vysokou přesnost a reprodukovatelnost nastavení polohy.

Proto byla za základ traverzovacího zařízení použita konzolová frézka (FD 40V) s číslicovým řízením, u které byl demontován vreteník, upraveny některé části a realizováno její ovládání počítačem. Robustnost frézky, její tuhost a konstrukce posuvových mechanismů zaručuje vysokou přesnost a reprodukovatelnost nastavení jednotlivých souřadnic, což je základním předpokladem správné funkce traverzéra.

Traverzovací zařízení pro LDA je zobrazeno na obr.5.5 a jeho detailní popis lze nalézt v [65].

Blokové schéma traverzovacího zařízení je znázorněno na obr.5.6.

Vlastní traverzér umožnuje jednotlivými posuvy obsahovat prostorovou oblast o rozměrech  $1250 \times 350 \times 450$  mm (souřadnice: X x Z x Y) s přesností  $\pm 0,02$  mm.

Ovládací program pro nadřízený počítač PC/AT byl napsán v jazyku Turbo Pascal. Zajišťuje počáteční nastavení polohy traverzéru, nastavení krajních mezi pojazdů v jednotlivých souřadnicových osách a absolutní i relativní nastavení polohy podle zadaných souřadnic. Veškeré údaje o poloze a ovládání MENU jsou zobrazeny v tabulce na displeji - viz obr.5.7.



Nastaveni relativních souřadnic:

Souřadnice X [mm]: 12.42  
Souřadnice Y [mm]: -23.48  
Souřadnice Z [mm]: -4.66

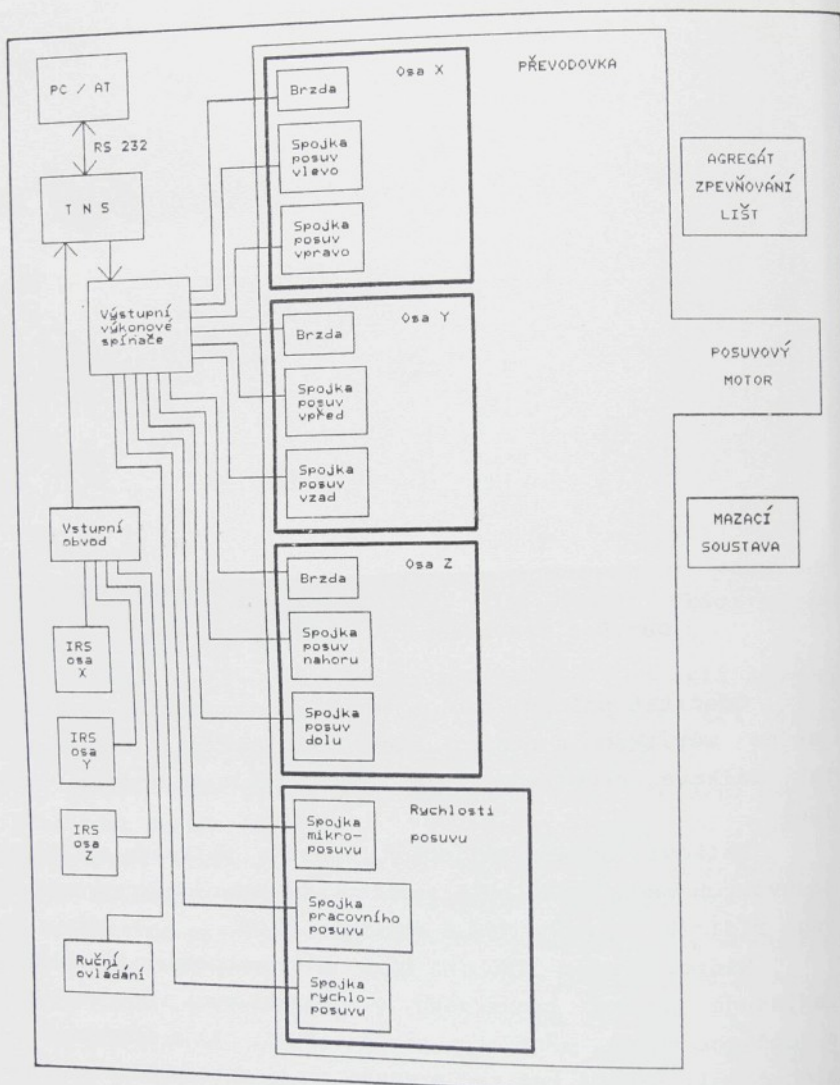
MENU

POLOHA	ABSOLUTNI	F1
	RELATIVNI	F2
NASTAV.		F5
NASTAV.	S POSUVEM	F6
NASTAVENI	MEZI	F9
DEF.	REL. NULY	F10

ZRUSENI CINNOSTI X

Relativni sour. [mm]	X 7.32	Y 0.00	Z -2.28
Absolutni sour. [mm]	657.84	146.06	98.52

Obr.5.7 Ovládání traverzéru



Obr.5.6 Schéma traverzovacího zařízení pro LDA

Kromě počítačového řízení bylo realizováno i ruční ovládání ve třech volitelných rychlostech posuvu. Tento způsob ovládání se uplatňuje především při seřizování optiky a následné justáži výchozí polohy optické sondy LDA ve zkoumané oblasti. Všechny přesuny provedené ručním ovládáním jsou počítačem zaznamenány a zobrazeny v absolutní i relativní podobě na displeji.

Vedle funkčních požadavků na traverzér byly současně vyřešeny i požadavky bezpečnostní a hygienické. Počítač PC/AT byl společně s vyhodnocovací částí laserového anemometru umístěn do samostatné místnosti. Obsluha tak není během měření dlouhodobě vystavena škodlivým účinkům laserového záření a ostatním vlivům souvisejícím s proudicím mediem (např. aerosol glycerinu, hluk atd.), přitom však má dobrý přehled o probíhajícím měření.

Protože okamžitá poloha traverzéru je odečítána z inkrementálních čidel, je nutné na počátku (po spuštění programu) provést nastavení absolutní polohy traverzéru. To lze realizovat dvěma způsoby (viz obr.5.7):

- nastavení počátečních souřadnic s posuvem traverzéru (NASTAV. S POSUVEM F6)
- zadáním počátečních souřadnic (NASTAV. F5)

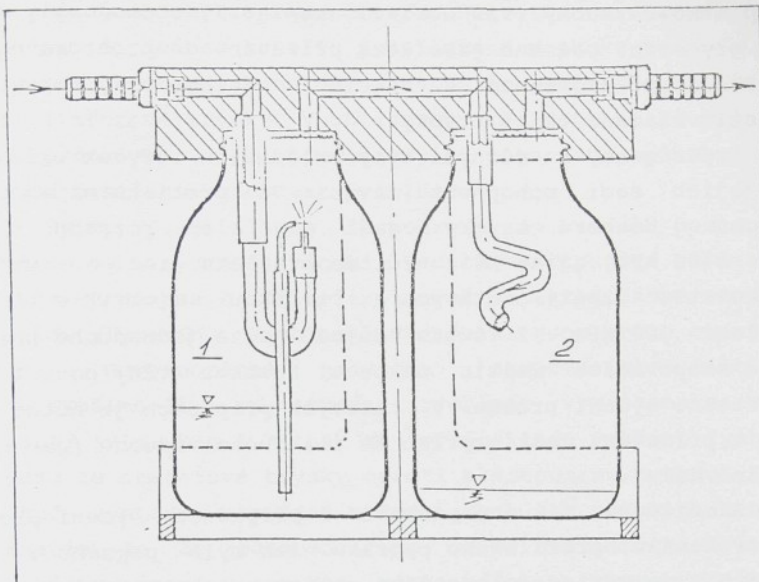
Při nastavení počátečních souřadnic s posuvem traverzéru se využívá schopnosti inkrementálních čidel generovat každou otáčku, které odpovídá 50 mm, speciální identifikační signál. V tomto režimu nastavení se zadávají nejbližší celé násobky 50 mm vzhledem k poloze traverzéru (odečtené na měřítkách). Kladné znaménko značí směr k vyšší a záporné k nižší hodnotě. Po zadání příslušných hodnot traverzér jede do téhoto poloh, nastavi si zadané hodnoty a vrátí se do původní polohy. Nastavení je ukončeno zobrazením absolutních souřadnic polohy a vynulováním relativních souřadnic.

Při druhém způsobu nastavení (NASTAV. F5) nedochází k pohybu traverzéru a počáteční poloze traverzéru jsou přiřazeny zadané souřadnice. V obou případech nastavení počáteční polohy traverzéru končí v tzv. režimu sledování polohy.

V tomto režimu sledování polohy jsou neustále čteny souřadnice určující polohu traverzéru a průběžně zobrazovány v absolutní i relativní podobě na displeji (na displeji lze např. sledovat přesun traverzéru při ručním ovládání). Současně lze volit libovolné režimy zobrazené pod MENU.

Požadovanou cílovou polohu traverzéru lze zadávat s minimálním krokem 0,02 mm jak v absolutních, tak v relativních souřadnicích (viz obr.5.7).

Programem lze též definovat krajní polohy traverzéru v jednotlivých souřadnicových osách (NASTAVENÍ MEZI F9). Tímto vymezením traverzovacího prostoru lze předejít poškození optiky laserového dopplerovského anemometru při nevhodném traverzování měřeným objektem.



Obr.5.8 Generátor aerosolu

které stékají na dno lahve. Malé částice vylétají ze separační trubky a jsou unášeny na výstup z generátoru. Odtud je pak vzduch obohacený čisticemi glycerinu odváděn a přimicháván do hlavního proudu vzduchu před místem měření.

Množství častic aerosolu lze do značné míry ovládat pouhou změnou tlaku přiváděného vzduchu.

#### 5.6.2 Problematika sycení proudícího vzduchu stopovacími částicemi glycerinu při měření vzduchového prohozu.

Relativně nejjednodušší případ sycení měřeného proudu částicemi glycerinu nastává při měření volných proudů za ústím vkládací trysky. V tomto případě byl aerosol glycerinu produkovaný generátorem popsaným v kap. 5.6.1 přiváděn na

## 5.6 Řešení sycení proudícího vzduchu stopovacími částicemi.

### 5.6.1 Generátor částic

Při měření proudění plynů laserovým dopplerovským anemometrem je nutné proud obohatovat vhodnými částicemi (viz kap. 5.3.2).

V případě měření vzduchového prohozu bylo nutné vybrat nejen částice s vyhovujícími optickými a mechanickými vlastnostmi, ale současně byl kladen požadavek i na jejich zdravotní nezávadnost.

Pokud by požadavek zdravotní nezávadnosti nebyl dodržen, bylo by nutné bud<sup>v</sup> prohozni ústrojí hermeticky oddělit od okolního prostoru, nebo vyřešit dokonalé odsávání. V obou případech by se měření velmi zkomplikovalo a výrazně by vzrostly i jeho náklady.

Z uvedených důvodů byl jako rozptylové médium použit roztok glycerinu s vodou ve formě aerosolu. Aerosol glycerinu se často využívá v laboratorních podmínkách. Jeho vlastnosti, až na vyšší polydisperznost, jsou srovnatelné např. s aerosolem silikonového oleje, který má velmi dobré vlastnosti jak z hlediska sledování proudu, tak i z hlediska optického (viz [66]).

Částice glycerinu (40% roztok glycerinu ve vodě) byly rozstřikovány malým generátorem aerosolu, postaveným pro použití v LDA. Generátor, který pracuje na principu atomizéru, je zobrazen na obr. 5.8.

Roztok glycerinu se nalije do infusní lahve 1 (300 ml). Stlačený vzduch proudí do trysky, nad kterou je umístěno ústí kapiláry atomizéru. Kapilárou je nasáván roztok glycerinu ze spodní části lahve a je rozstřikován na částice se širokým spektrem velikosti. Vzduch s těmito částicemi je veden vrtaným kanálem do separátoru velkých částic, který tvoří druhou část generátoru (infusní lahev 2). Separační element je tvořen spirálovitě svinutou trubkou. Při průchodu částic se velké částice "odstředi", a přilnou ke stěně trubky, po

být zdrojem chyb při měření. Pozvolna slábnoucí proud vzduchu, šířící se kanálem profilového paprsku ve směru prohozu (ve směru osy kanálu), je posilován proudem z následující štafetové trysky. V oblastech, kde dochází ke směšování obou proudů, lze při použití výše popsaného způsobu sycení proudu částicemi očekávat problémy.

Ty vyplývají z toho, že pouze proud vzduchu postupující kanálem je nasycen částicemi. Vzduch vystupující ze štafetové trysky nenese kromě přirozených nečistot žádné stopovací částice glycerinu. V oblasti směšování jsou proto oba proudy velmi nerovnoměrně nasyceny stopovacími částicemi.

Uvážíme-li, že střední rychlosť vypočteme za vztahu /5.3.1/ (viz kap 5.3) pak za předpokladu vyšších rychlostí proudu ze štafetové trysky oproti slábnoucímu proudu v kanálu bude výsledná naměřená střední rychlosť posunuta k nižším hodnotám. Je to způsobeno tím, že ve statistickém souboru vzorků  $w_i$  jsou v mnohem větší míře zastoupeny pomalejší částice z proudu postupujícího kanálem než rychlejší částice ze štafetové trysky. Ze stejných důvodů lze v oblasti směšování očekávat i chybnu změřenou intenzitu turbulence.

Chyby měření mohou být tím výraznější, čím větší budou rozdíly rychlosťí obou proudů. Obdobné chyby lze očekávat i při měření na vstupní straně kanálu profilového paprsku, pokud bude sycen pouze proud vkládací trysky (dávkování aerosolu glycerinu do útkové trubky).

Aby se ověřilo do jaké míry jsou uvedené úvahy oprávněné a jak velké chyby měření mohou nastat při popsaném způsobu sycení proudu částicemi, byly provedeny následující porovnávací experimenty.

V kanálu profilového paprsku se v oblasti mezi dvěma sousedními štafetovými tryskami měřily střední rychlosťi proudění při různém způsobu sycení proudu částicemi. V prvním případě byl proud v kanálu sycen přisáváním částic glycerinu, jak bylo popsáno výše (dále jen 'sycení přisáváním'). Ve druhém případě byly částice přimichávány přímo do tlakového vzduchu a tak byly obsaženy přímo ve vzduchu vystupujícím ze štafetových trysek do kanálu profilového paprsku (dále jen

vstup útkové trubky (viz obr.6.1, kap. 6.1). Odtud byly částečce glycerinu podobně jako útek přisávány do prostoru ejektora, kde po promichání s "hnacím" vzduchem byly dopraveny na ústí vkládací tkaci trysky.

Experimenty s různými typy vkládacích trysek ukázaly, že jejich sací schopnost závisí na přetlaku napájecího vzduchu. Některé trysky sají v celém rozsahu tlaků (100 - 400 kPa), jiné při určitém přetlaku začinají vzduch vyfukovat zpět útkovou trubkou (obvykle pro přetlak  $> 300$  kPa). Z těchto důvodů nelze jednoduché přisávání stopovacích částic útkovou trubkou vždy použít pro dostatečné sycení proudu. V takových případech je nutné zajistit přidávání částic přímo do tlakového vzduchu (jak bude popsáno dále).

Složitější situace nastává v případech sycení proudu uvnitř kanálu profilového paprsku. Jak bylo popsáno v kap. 1.1 a 5.2 je výsledné proudové pole v kanálu vytvořeno směšováním proudu.

Ve vstupní části tkaciho profilového paprsku je proudění vytvářeno směšováním proudového pole vkládací trysky s proudovými poli štafetových trysek. Ve vzdálenějších oblastech od vkládací trysky, kde proud vkládací trysky zaniká, je proudění uvnitř kanálu profilového paprsku tvořeno dozínajícím proudem, který je v pravidelných roztečích posilován interakcí s proudem z následující štafetové trysky.

V prvních experimentálních měřeních byly částice glycerinu z generátoru aerosolu injektovány do prostoru kanálu profilového paprsku pod úhlem asi  $45^\circ$  [67]. Částice byly strhávány proudem vzduchu do kanálu. Vzdálenost optické sondy a místa přisunu aerosolu byla konstantní a experimentálně nastavena na cca 200 mm. Tím bylo zaručeno, že částice prolétávající optickou sondou měly již rychlosť a směr zkoumaného proudu uvnitř kanálu a současně jejich četnost a tedy hustota dat byla ještě dostatečná pro zpracování čítačovým procesorem.

Tento jednoduchý způsob sycení proudu uvnitř kanálu částicemi není z teoretického hlediska zcela korektní a může

nastavení čítačového procesoru:

MODE: SM/B

GAIN: 1

COMPARISON, %: 3%

CYCLES/BURST:  $2^3$  tj. N = 8, M = 5/8

Měření u stěny kanálu bylo realizováno modulem polarizační separace (viz kap. 5.7.1).

Na obr. 5.10 a 5.12 je možné porovnat rychlostní profily změřené pro oba výše uvedené způsoby sycení proudu částicemi glycerinu, tj. sycení přisáváním a sycení tlakového vzduchu.

Obr. 5.10 představuje y - profil (ve směru souř. osy y) střední rychlosti  $w_x$  pro  $x = 30$  mm a  $z = -2$  mm. Křivka 1 reprezentuje sycení tlakového vzduchu a křivka 2 reprezentuje sycení přisáváním. Je zřejmé, že největší rozdíly v naměřené rychlosti jsou na výstupní straně kanálu (bliž ke štafetové trysce), kde se uplatňují vysoké rychlosti proudu vystupujícího ze štafetové trysky. Maximální rozdíly pro  $y = 5$  mm jsou přibližně 20%. Střední rychlosť změřená při použití sycení s přisáváním je tedy podle očekávání posunuta k nižším hodnotám. Tytéž výsledky jsou dokumentovány i na obr. 5.11, který představuje porovnání rychlostních histogramů (kde SAMP je počet měř., MEAN je střední rychlosť, STDV je směrodatná odchylka a TRBI je intenzita turbulence) v boodech  $y = 4$  mm a  $y = 5$  mm ( $x = 30$  mm,  $z = -2$  mm). V histogramech prezentujících sycení přisáváním (B) je patrná malá četnost vyšších rychlostí (nižší maximum v pravé části histogramu). Z obr. 5.10 vyplývá, že rozdíly mezi změřenými středními rychlosťmi jsou nižší uvnitř kanálu ( $y = -2, -1, 0, 1$  mm), kde nepřesahuje 3%.

Názorněji je vliv způsobu sycení na měření prezentován na obr. 5.12, který představuje axonometrické zobrazení příčných rychlostních profilů v řezu y-z pro  $x = 20$  mm a  $x = 30$  mm. Rychlostní profily označené písmenem A reprezentují sycení tlakového vzduchu, zatímco rychlostní profily označené písmenem B reprezentují sycení přisáváním.

'sycení tlakového vzduchu'). Protože vzduch postupující ka-  
nálem je vytvářen štafetovými tryskami, je v tomto případě  
zaručeno výrazně rovnoměrnější sycení stopovacími částicemi.

Dávkování částic glycerinu do tlakového vzduchu  
(3 - 4 kPa) bylo realizováno upraveným generátorem aeroso-  
lu, který byl popsán v kap. 5.6.1.

Generátor aerosolu byl připojen paralelně k hlavní  
větvi rozvodu tlakového vzduchu. Tlakový spád na generátoru  
aerosolu byl řízen ventilem zařazeným v hlavní větvi a tímto  
způsobem bylo regulováno množství částic glycerinu  
dopravených do tlakového vzduchu.

Schéma měření rychlosti proudění v prohozním kanálu pro-  
filového paprsku je na obr.6.5 v kapitole 6.2.

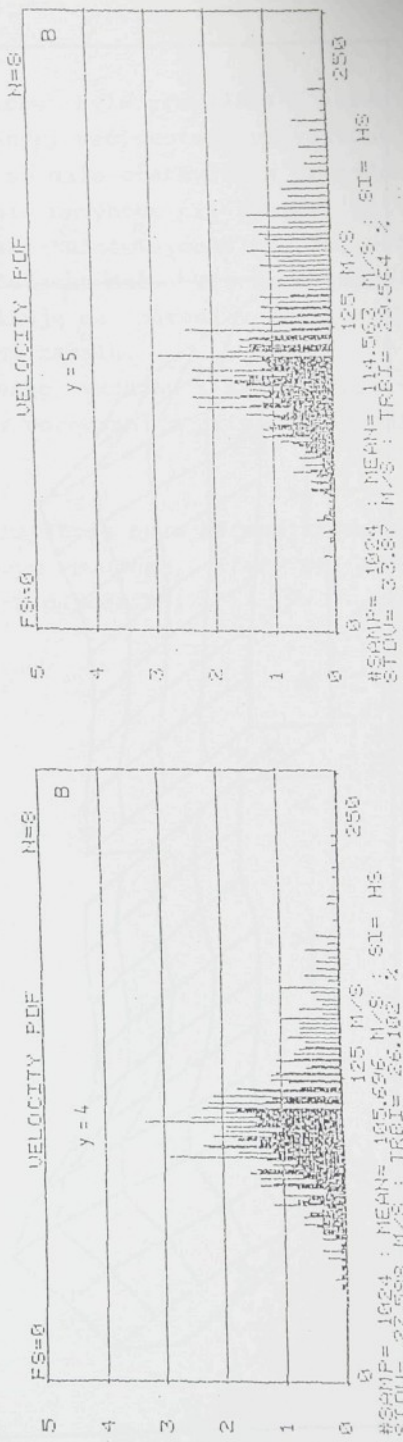
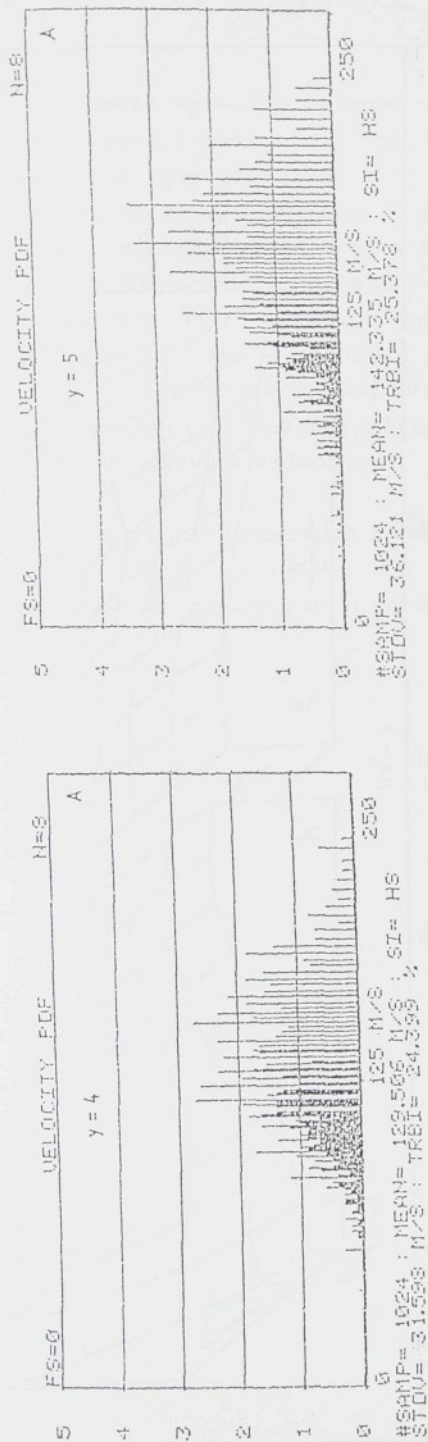
Oblast mezi dvěma štafetovými tryskami byla rozdělena  
na několik přičních řezů y-z reprezentovaných siti bodů,  
(5 x 10 bodů o rozteči 1 mm), ve kterých se provádělo měření  
(přesné rozložení těchto přičních řezů je popsáno v konkrétních  
případech měření v kap. 6). Prostorovou orientaci  
v proměřované oblasti dává souřadnicová soustava zakreslená  
též na obr.6.2. Počátek souřadnicové soustavy byl v tomto  
případě umístěn na úroveň první štafetové trysky, tj. x-ová  
souřadnice první štafetové trysky je rovna nule ( $x = 0$ ).

Porovnávací měření byla prováděna za těchto podmínek:

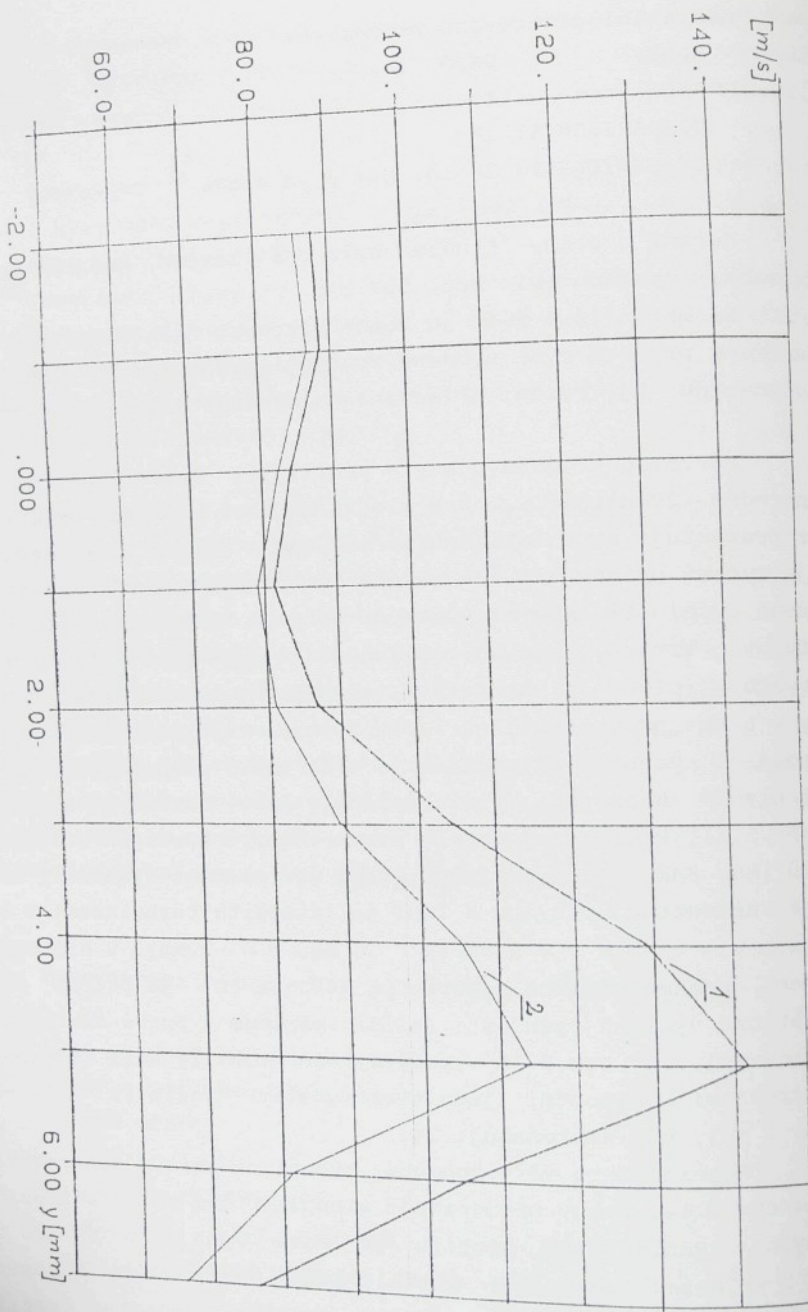
tlak přívodního vzduchu: 400 kPa  
výkon argonového laseru: 300 mW  
vlnová délka: 515.5 nm

parametry objektivu:

ohnisková vzdálenost : F.D. = 121.5 mm  
úhel protínání paprsků  $\Theta$ :  $\Theta/2 = 10.735^\circ$



Obřr. 5.11 Porovnání rychlostních histogramů ( $x = 30 \text{ mm}$ ,  $z = -2 \text{ mm}$ )  
v závislosti na způsobu sycení proudu aerosolem glycerinu:  
A - sycení tlakového vzduchu, B - sycení přisáváním.

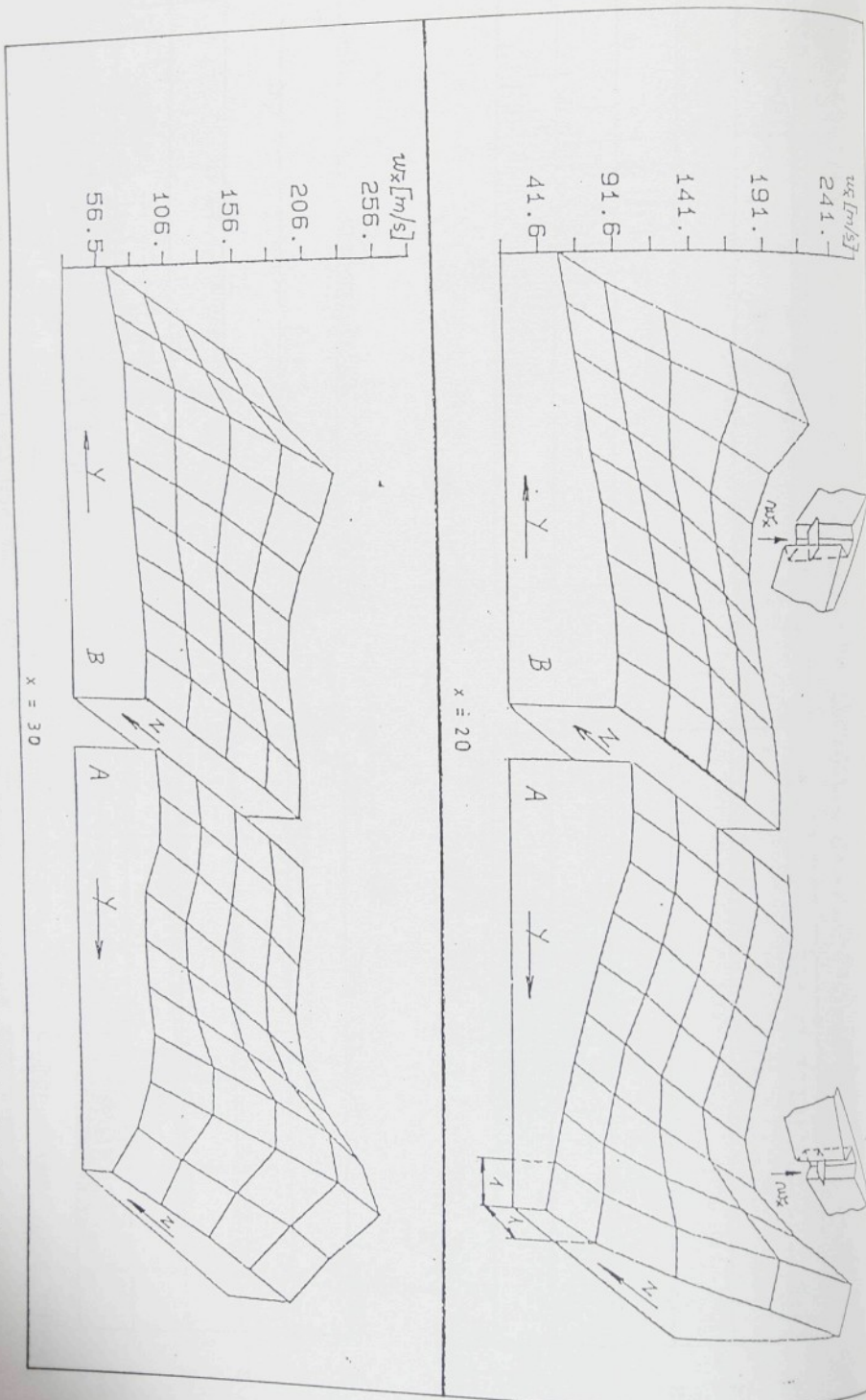


Obr. 5.10 Porovnání výsledků měření  $Y$  – profilu střední rychlosti ( $x = 30$  mm,  $y = -2$  mm) v závislosti na způsobu sycení proudu aerosolem glycerinu:  
1 – sycení tlakového vzduchu, 2 – sycení přisáváním

Kromě sycení tlakového vzduchu byla prováděna i měření bez sycení proudu, tj. s přirozenými nečistotami ve vzduchu. Výsledky byly srovnatelné (jak se dalo očekávat) s případem sycení tlakového vzduchu. Zásadní nevýhoda při využití přirozených nečistot je však v nedostatečném sycení proudu, což má za následek velmi nízkou četnost dat. Tím se neúměrně prodlužuje doba měření a komplikuje se měření v kritických případech, jako je měření u stěny kanálu.

Ani současné sycení tlakového vzduchu a sycení přisáváním neměnilo výsledky měření v porovnání s případem sycení pouze tlakového vzduchu.

*Z důvodů uvedených v této kapitole byla měření vzduchového prohozu prováděna s tlakovým vzduchem, který byl před vstupem do trysek sycen aerosolem glycerinu.*



Obr. 5.12 Porovnání výsledků měření rychlostních profilů v řezu  $y-z$  ( $x = 20$  mm a  $x = 30$  mm) v závislosti na způsobu sycení proudu aerosolem glycerinu: B - sycení přísaváním.

### 5.7.1 Metoda polarizační separace.

Laserové záření dopadající na obecný povrch je tímto povrchem fresnelovsky a difuzně odráženo, přičemž vzájemný poměr těchto složek odrazu je závislý na tvaru a drsnosti povrchu.

Také při dopadu laserového světla na stěnu kanálu profilového paprsku tkacího stroje se uplatňují obě složky odrazu. V tomto případě však problémy s odrazem světla nejsou tak kritické jako v případě odrazů od kompaktní hladké stěny. Jak bylo vysvětleno v kap. 1.1 je profilový paprsek tvořen soustavou tenkých kovových plechů ('lamel') oddělených mezerami. Tloušťka plechu i velikost mezer je řádu desetin milimetru. Při dopadu laserové světla na stěnu kanálu profilového paprsku ho část prochází mezerami a část se ho odráží od tenkých kovových lamel, přičemž odraz má jak fresnelovský tak difuzní charakter.

Potlačení optického šumu v signálu LDA v tomto případě znamená zamezení pronikání odraženého světla optickou soustavou zpětného rozptylu na fotonásobič.

### Prostorová filtrace.

Nejběžnější způsob potlačení nežádoucích odrazů je tzv. prostorová filtrace. Ta je u každého laserového anemometru realizována dirkovou clonou před fotonásobičem, viz obr. 5.13.

V lit. [68] bylo teoreticky studováno odražené záření prošlé dirkovou clonou v závislosti na vzdálenosti středu optické sondy od odrážejícího povrchu. Nejmenší vzdálenost středu optické sondy  $d_{\min}$  od odrážejícího povrchu, aby dirková clona ještě chránila fotonásobič před odraženým světlem je přibližně rovna velikosti podélné osy optické sondy  $l_m$  (viz kap. 4.1.2).

## 5.7 Řešení problematiky měření proudění metodou LDA u stěny kanálu profilového paprsku tkacího stroje.

Měření rychlostních polí v prohozním kanálu profilového paprsku metodou LDA jsou nejkritičtější u stěny kanálu.

Přibližováním optické sondy ke stěně kanálu narůstá vlivem odrazu světla od stěny optický šum, což se projeví výrazným snížením poměru signálu od šumu. V důsledku toho klesá přesnost a věrohodnost měření (míra vlivu optického šumu na výsledky měření závisí i na způsobu vyhodnocení signálu LDA, tj. druhu použitého signálového procesoru; viz kap. 3.1), až v jisté minimální vzdálenosti od stěny je vyhodnocení signálu LDA znemožněno úplně. Ověřovací experimenty ukázaly, že při použití jednokanálového laserového dopplerovského anemometru TSI se zpětným rozptylem a vyhodnocování dopplerovského signálu čitačovým procesorem TSI 1990B (viz kap. 5.4) měření selhává ve vzdálenosti 2 - 3 mm od stěny kanálu.

Aby bylo možné provádět měření v těsné blízkosti stěny kanálu (do vzdálenosti 1 mm od stěny), bylo nutné vyvinout metodiku měření omezující vliv optického šumu způsobeného odrazy světla od stěny kanálu. Byly navrženy, realizovány a úspěšně použity dvě metody eliminace optického šumu s následujícími pracovními názvy:

- metoda polarizační separace

Metoda byla použita při měření uvnitř kanálu profilového paprsku, kde rychlostní pole je vytvářeno štafetovými tryskami.

- metoda mimoosového snímání

Metoda byla použita při měření ve vstupní části tkacího profilového paprsku, kde je rychlostní pole vytvářeno směšováním proudu z vkládací trysky s proudy štafetových trysek.

$$l_m = d_e / \sin(\theta/2), \quad d_e = 4\lambda f / \pi D_e, \quad /5.7.1/$$

kde  $l_m$  je délka optické sondy,  
 $\lambda$  je vlnová délka,  
 $\theta$  je úhel protinání laserových paprsků,  
 $d_e$  je průměr fokusovaného laserového paprsku,  
 $D_e$  je průměr laserového paprsku,  
 $f$  je ohnisková vzdálenost,

Ze vztahu /5.7.1/ vyplývá, že zkracováním ohniskové vzdálenosti objektivu lze zkrátit délku optické sondy.

Chceme-li tedy maximálně využít prostorové filtrace, realizované dírkou clonou před fotonásobičem (v použitém laserovém anemometru TSI je průměr otvoru clony 0,2 mm) při měření u stěny kanálu, je nutné použít objektiv s krátkou ohniskovou vzdáleností.

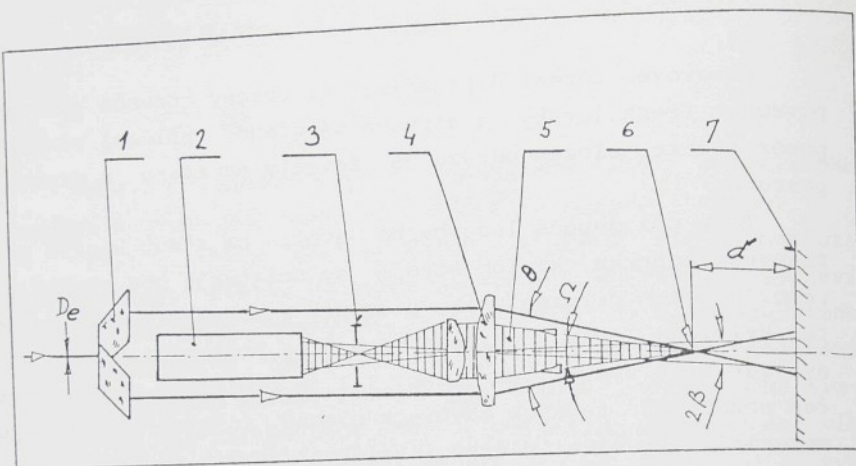
Zkracování ohniskové vzdálenosti není neomezené. To vyplývá ze vztahu pro dopplerovskou frekvenci:

$$f_D = \frac{2 \sin(\theta/2)}{\lambda} w_x, \quad /5.7.2/$$

$$a \quad \theta = 2 \cdot \text{arctg}(d/2f),$$

kde  $w_x$  je měřená složka rychlosti,  
 $d$  je vzdálenost laserových paprsků (50 mm pro objektivy TSI); viz obr.4.3, kap. 4.1.2,  
 $f$  je ohnisková vzdálenost,  
 $f_D$  je dopplerovská frekvence,  
 $\theta$  je úhel protinání laserových paprsků,  
 $\lambda$  je vlnová délka

Zkracováním ohniskové vzdálenosti objektivu se zvyšuje dopplerovská frekvence. Proto je nutné vybírat minimální ohniskovou vzdálenost objektivu i s ohledem na maximální mě-



Obr.5.13 Schéma prostorové filtrace

- kde
- 1 - hranolový dělič
  - 2 - fotonásobič
  - 3 - dirková clona
  - 4 - vysil./přijímaci objektiv
  - 5 - detekovaná část rozptylového dopplerovského signálu
  - 6 - optická (měřici) sonda
  - 7 - odrázející povrch

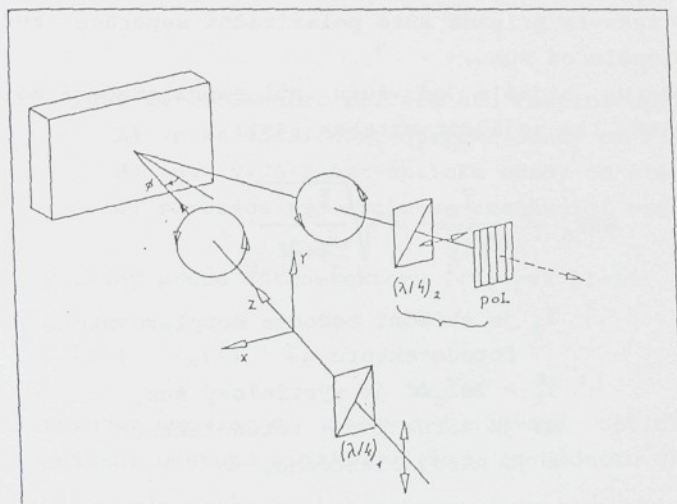
Experimentální praxe ukazuje [69], že reálná hodnota  $d_{\min}$  je ve skutečnosti vyšší (difrakce světla na sběrné apertúre, optické chyby reálných objektivů atd.). V případě použití čítačového procesoru (minimální požadovaný odstup signálu od šumu SNR > 10 dB, viz kap. 5.3.1) lze obvykle zpracování dopplerovského signálu provádět ve vzdálenostech minimálně troj- až pětinásobku hodnoty  $l_m$ .

Délka optické sondy  $l_m$  závisí na ohniskové délce objektivu ( $f$ ) a úhlu, který svírají laserové paprsky ( $\Theta$ ) tvorící optickou sondu (viz kap. 4.1.2):

Při fresnelovském odrazu dochází ke změně polarizace dopadající vlny v závislosti na úhlu odrazu a dielektrické konstantě odrážejícího povrchu. Difuzní odraz má dvě složky: polarizovanou a částečně polarizovanou složku. Polarizace v tomto případě závisí na směru pozorování, vlnové délce a struktuře povrchu. Při rozptylu světla na částicích závisí stav polarizace na směru pozorování, na velikosti (průměru) částice, na jejím indexu lomu a vlnové délce.

Z výsledků lit. [68] vyplývá, že vhodným polarizačním stavem pro použití v LDA je pravotočivá nebo levotočivá kruhová polarizace laserových paprsků (světelných vln), jejichž průnik vytváří optickou sondu.

Na obr. 5.14 je znázorněno potlačení odrazu kruhově polarizovaného světla při kolmém odrazu ( $\phi \rightarrow 0$ ).



Obr. 5.14 Potlačení odrazu kruhově polarizovaného světla  
při kolmém odrazu

řené rychlosti, aby se dopplerovská frekvence nedostala mimo měřitelný rozsah čítačového procesoru (max. 140 MHz).

Pro měření rychlostních polí v kanálu profilového pa-

prsku byl vybrán objektiv TSI s ohniskovou vzdáleností 132 mm ( $F.D. = 121.5 \text{ mm}$ ,  $\theta/2 = 10.735^\circ$ ). Parametry optické sondy vytvořené tímto objektivem jsou následující (pro sondy  $d = 50 \text{ mm}$ ,  $\lambda = 514.5 \text{ nm}$ ,  $D_e = 1.5 \text{ mm}$ ):

$$\text{rozteč proužků: } d_f = 1.38 \mu\text{m}$$

$$\text{počet proužků: } N_{FR} = 42$$

$$\text{délka optické sondy: } l_m = 0.31 \text{ mm}$$

$$\text{průměr optické sondy: } d_m = 0.058 \text{ mm}$$

$$\text{úhel protináni paprsků: } \theta = 21.47^\circ$$

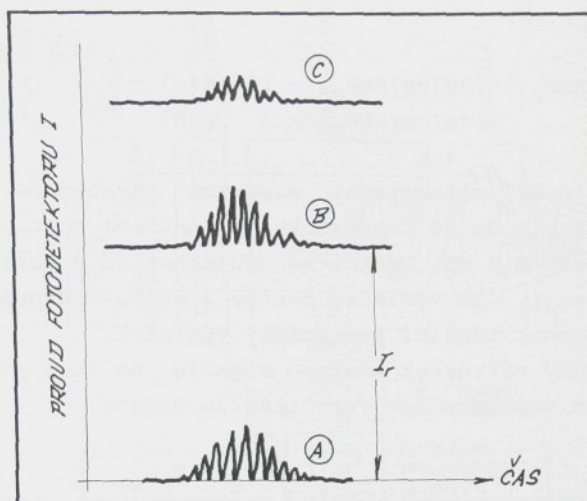
Podélný rozměr optické sondy  $l_m$  je již dostatečně malý ve srovnání s přičními rozměry proměřované oblasti  $4 \times 9 \text{ mm}$  (viz obr. 6.5, kap. 6.2) a krokem 1 mm. Současně je požadovaná minimální vzdálenost 1 mm od stěny kanálu cca trojnásobkem délky optické sondy.

Pro maximální předpokládané rychlosti kolem 180 m/s je dopplerovská frekvence vypočtená ze vztahu /5.7.2/ asi 130 MHz a je tedy měřitelná čítačovým procesorem TSI 1990B.

Experimenty prokázaly, že pouhá prostorová filtrace optimalizovaná zkrácením optické sondy na  $l_m = 0.31 \text{ mm}$  je pro úspěšné měření ve vzdálenostech 1 - 2 mm od stěny kanálu nedostačující. Proto byla pro další redukci optického šumu využita polarizační separace odraženého záření od dopplerovského signálu.

#### Polarizační separace.

Metoda polarizační separace vychází z definovaného stavu polarizace laserového světla. Princip polarizační separace je založen na předpokladu, že polarizace fresnelovskými difuzně odraženými světelnými vlnami je jiná než polarizace rozptýlenými světelnými vlnami reprezentující dopplerovský signál.



Obr.5.15 Proud fotodetektoru při průletu částice optickou sondou  
A) velká vzdálenost optické sondy od stěny  
B) malá vzdálenost optické sondy od stěny  
C) saturace při stále se zmenšující vzdálenosti

Pro výsledný proud fotodetektoru  $I(t)$  pak platí:

$$I(t) = I_s(t) + I_r \quad /5.7.4/$$

Přítomnost odrážející stěny v blízkosti optické sondy způsobí snížení odstupu signálu od šumu na hodnotu  $\text{SNR}_r$ :

$$\text{SNR}_r = \text{SNR}_s (1 + \bar{I}_r / \bar{I}_s)^{-1/2}, \quad /5.7.5/$$

kde  $\text{SNR}_s$  je odstup signálu od šumu pro rozptýlené světlo,  
 $\text{SNR}_r$  je odstup signálu od šumu pro rozptýlené plus  
odražené světlo

Svisle lineárně polarizované laserové světlo je čtvrtvlnovou destičkou  $(\lambda/4)_1$  přeměněno na pravotočivě kruhově polarizované. Při kolmém odrazu se smysl točivosti, pozorovaný proti směru šíření, mění z pravotočivého na levotočivý. Po průchodu čtvrtvlnovou destičkou  $(\lambda/4)_2$  lze vhodným natočením polarizátoru odražené levotočivě kruhově polarizované světlo potlačit.

Difuzní odraz lze potlačit podobným způsobem, avšak čtvrtvlnová destička a polarizátor jsou obecně natočeny do jiných poloh tak, aby difuzní odraz byl maximálně utlumen.

Kombinace čtvrtvlnové destičky  $(\lambda/4)_2$  a polarizátoru označujeme jako analyzátor polarizace. V praxi se pro potlačení odraženého světla od reálného povrchu nastavuje analyzátor empiricky. Polarizační separace bude účinná jen tehdy, pokud analyzátor polarizace nejenom potlačí odražené světlo, ale pokud bude zároveň propouštět dostatečnou intenzitu rozptylového dopplerovského signálu.

V takovém případě může polarizační separace zvýšit odstup signálu od šumu.

Odstup signálu od šumu při nepřítomnosti odrážející stěny  $\text{SNR}_S$  lze vyjádřit vztahem [68]:

$$\text{SNR}_S = \frac{\bar{I}_S}{\sqrt{i_k^2}} = \sqrt{\frac{\bar{I}_S}{2e\Delta f}}, \quad /5.7.3/$$

kde

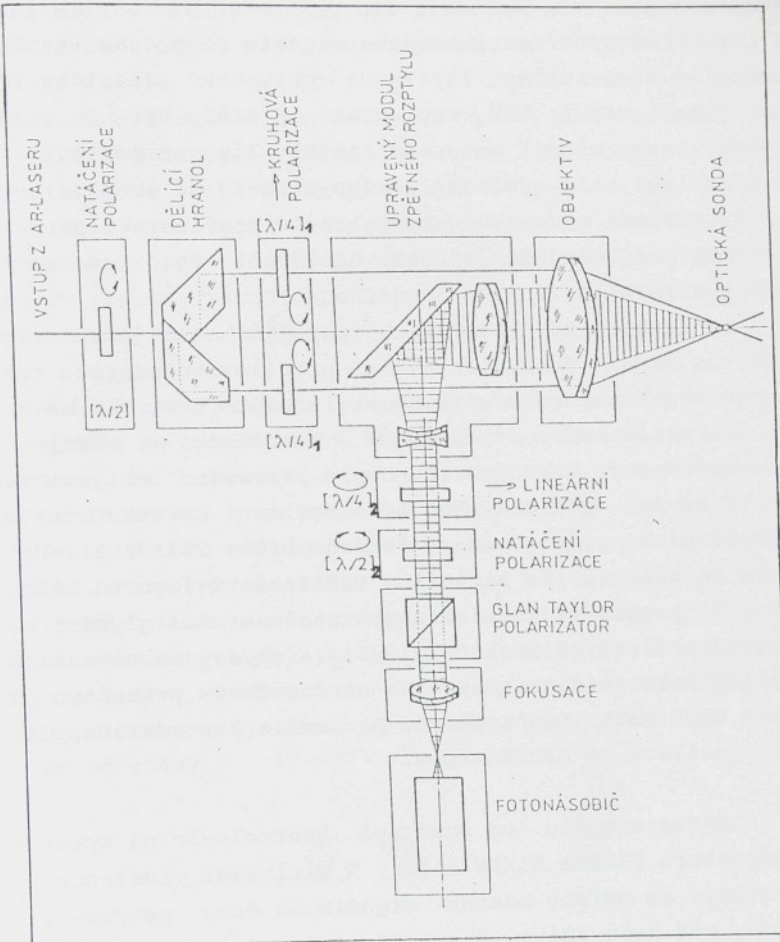
$\bar{I}_S$  je střední hodnota dopplerovského proudu fotodetektoru,

$i_k^2 = 2e\bar{I}_S\Delta f$  je výstřelový šum,

$\Delta f$  je šířka pásma fotodetektoru,

$e$  je náboj elektronu,

Přítomnost odrážející stěny v malé vzdálenosti od optické sondy způsobí, že dopplerovský proud  $I_S(t)$  vzroste o stejnosměrný proud  $I_r$  vyvolaný světlem odraženým od stěny, viz obr.5.15.



Obr.5.16 Modul polarizační separace.

Světlo rozptylené na částicích prolétávajících optickou sondou je snímáno objektivem, prochází modulem zpětného rozptylu, kde je kolimováno a čtvrtvlnovou destičkou  $(\lambda/4)_2$  je měněno na lineárně polarizované světlo. Dále je půlvlnovou destičkou  $(\lambda/2)_2$  vhodně natočeno pro průchod Glan-Taylorovým hranolem, který pracuje jako analyzátor. Po té je světlo fokusováno na clonu fotonásobiče a detekováno

Budeme-li předpokládat, že v ideálním případě polarizační separace potlačí odraz od stěny na úroveň rozptylu, tj.  $\bar{I}_r \approx \bar{I}_s$ , potom lze zlogaritmováním výraz /5.7.5/ upravit na:

$$20\log(\text{SNR}_r) = 20\log(\text{SNR}_s) - 10\log(2) = \\ = 20\log(\text{SNR}_s) - 3 \quad [\text{dB}] \quad /5.7.6/$$

V případě polarizační separace odraženého světla na úroveň rozptylu dojde teoreticky ke snížení odstupu signálu od šumu pouze o 3 dB. Praktické zkušenosti s polarizační separací ukazují, že výsledný odstup signálu od šumu je vždy nižší než tento ideální teoretický výsledek.

Skutečný přírůstek odstupu signálu od šumu při použití polarizační separace lze vypočítat ze vztahu:

$$\text{SNR} = 20\log \left[ \frac{\text{SNR}_{r,RS}}{\text{SNR}_{r,RT}} \right] = 10\log \left[ \frac{\bar{I}_s + \bar{I}_{r,RT}}{\bar{I}_s + \bar{I}_{r,RS}} \right], \quad [\text{dB}] \quad /5.7.8/$$

kde index RT značí veličiny bez použití polarizační separace, index RS značí veličiny při použití polarizační separace

Pro potlačení odraženého světla od stěny kanálu profilového paprsku, byl do sestavy laserového dopplerovského anemometru TSI vřazen speciální modul polarizační separace zobrazený na obr.5.16.

Jeho konstrukce odpovídá optickému schématu na obr.5.14.

Vysilací část modulu kruhové polarizace je umístěna za délicím hranolem. Vstupní lineárně polarizovaný laserový paprsek je po průchodu půlvlnovou destičkou ( $\lambda/2$ ) rozdělen délicím hranolem na dva lineárně polarizované paprsky. Obalovány kruhově a po průchodu objektivem vytvářejí optickou sondu.

měření blízko stěny kanálu byl proveden následujicím způsobem. Lamely tvořící profilový paprsek se v místě dopadu laserového světla od sebe roztáhly. Tím se zamezilo odrazům neboť laserové světlo prošlo takto vytvořenou mezerou. Srovnání měření s odrazem záření od stěny a bez odrazu ukázala, že výsledky se shodovaly s přesnosti 5%.

Modul polarizační separace byl vyroben ve VZLÚ Praha. Byl zkoušen při odstraňování odlesků vznikajících při průchodu lopatky rotujícího lopatkového stroje optickou sondou. V tomto případě však byly výsledky negativní.

Při měření rychlosti proudění u stěny kanálu profilového paprsku se polarizační separace osvědčila. V kombinaci s prostorovou filtrací umožnila měření i v požadované minimální vzdálenosti 1 mm od stěny kanálu.

Jestě v této vzdálenosti byl odstup signálu od šumu využívající. To potvrdila nejen kontrolní měření odstupu signálu od šumu, ale i srovnání rychlostních histogramů (bez deformací způsobených velkým šumem) na obr.5.17, které představují měření v různých vzdálenostech od stěny kanálu profilového paprsku - a) 1 mm od stěny, b) 3 mm od stěny, c) 5 mm od stěny.

fotonásobičem.

Vlastní výběr detekovaného signálu se provádí natáčením čtvrtvlnové destičky  $(\lambda/4)_2$  a půlvlnové destičky  $(\lambda/2)_2$  v přijímací větvi tak, aby odraz od stěny byl co nejmenší a rozptylový signál co nejsilnější. Tím se celkový signál sice zeslabí, ale výsledný odstup signálu od šumu se zvýší.

V případě měření u stěny kanálu profilového paprsku se osvědčil následující způsob nastavení fázových destiček  $(\lambda/4)_2$  a  $(\lambda/2)_2$ .

Do průsečíku laserových paprsků se nejprve umístila jedna z lamel tvořících stěnu profilového paprsku tkacího stroje. Postupným otáčením obou fázových destiček se nastavilo maximální vyhasnutí odraženého světla za Glan-Taylorovým hranolem. Tím bylo provedeno základní nastavení fázových destiček. Následné seřízení se uskutečnilo již v provozních podmínkách s fotonásobičem TSI 9162. Optická sonda se umístila do minimální vzdálenosti 1 mm od stěny kanálu. Do proudu vzduchu se injektoval aerosol glycerínu. Dopolňováním fázových destiček  $(\lambda/4)_2$  a  $(\lambda/2)_2$  se nastavila maximální četnost dat indikovaná na čítačovém procesoru ukazatelem DATE RATE. Současně se prováděla kontrola dopplerovských oscilací na osciloskopu.

Odstup signálu od šumu byl kontrolován na spektrálním analyzátoru TAKEDA RIKEN 4132. V minimální vzdálenosti 1 mm od stěny se měřený odstup signálu od šumu pohyboval kolem 15 dB, což bylo asi o 5 - 7 dB méně než ve vzdálenosti 5 mm od stěny. Z funkce spektrálního analyzátoru vyplývá, že skutečný odstup signálu od šumu byl vyšší než změřený.

Spektrální analyzátor integruje časově výkon v jednotlivých frekvenčních pásmech a proto pro správné měření vyžaduje kontinuální signál. Tento předpoklad není u LDA signálu většinou splněn. To platí především pro měření v minimálních vzdálenostech od stěny, kde četnost platných dat byla velmi nízká, takže změřený odstup signálu od šumu byl zcela jistě nižší než skutečný.

Jiný nepřímý způsob kontroly kvality signálu LDA při

### 5.7.2 Metoda mimoosového snímání.

Metoda mimoosového snímání byla navržena pro měření proudění ve vstupní části tkacího profilového paprsku.

V této oblasti kanálu se výrazně uplatňuje proud vkládací trysky. Úvodní měření volných proudů za vkládací tryskou ukázala, že na vstupu do kanálu profilového paprsku (vzdálenost trysky od vstupu do kanálu: 15 mm) lze očekávat rychlosti proudění cca 250 - 300 m/s (pro přetlak 400 kPa)

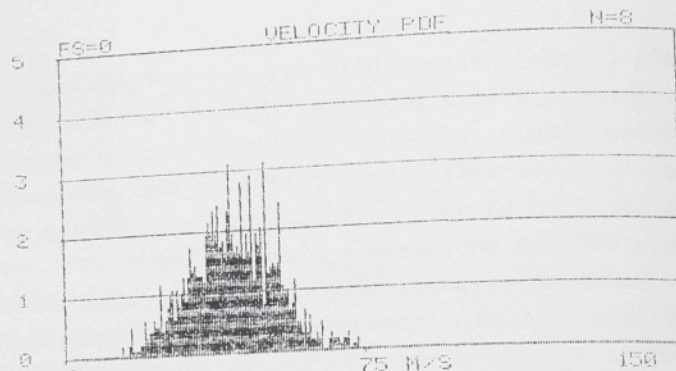
V důsledku těchto vysokých rychlostí není možné provádět měření s využitím polarizační separace a prostorové filtrace popsané v předcházející kapitole, protože tato metoda vyžaduje použití objektivu s velmi krátkou ohniskovou vzdáleností ( $F.D. = 121.5 \text{ mm}, \theta/2 = 10.735^\circ$ ), aby bylo dosaženo zkrácení optické sondy na minimum (cca 0.3 mm) a prostorová filtrace byla účinná.

Zkracování ohniskové vzdálenosti objektivu zkracuje optickou sondu, ale současně způsobuje zvyšování dopplerovské frekvence. Pro rychlosti 250-300 m/s je při použití tohoto objektivu dopplerovská frekvence vypočtená ze vztahu /5.7.2/ cca 180 - 220 MHz. Tak vysoké dopplerovské frekvence již nelze čitačovým procesorem TSI 1990B měřit (reálně lze měřit maximální dopplerovskou frekvenci cca 140 MHz).

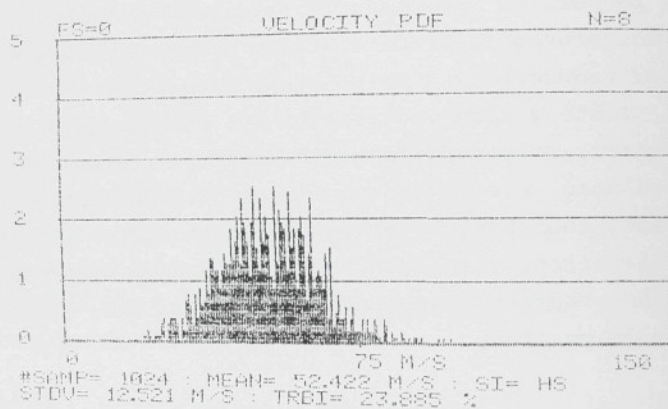
Z uvedených důvodů bylo nutné použít vysílací objektiv TSI s delší ohniskovou vzdáleností  $F.D. = 250.1 \text{ mm}$ . Parametry měřicí sondy tohoto objektivu (pro  $d = 50 \text{ mm}$ ,  $\lambda = 514.5 \text{ nm}$ ,  $D_e = 1.5 \text{ mm}$ ) jsou:

rozteč proužků:	$d_f = 2.67 \mu\text{m}$
počet proužků:	$N_{FR} = 42$
délka optické sondy:	$l_m = 1.2 \text{ mm}$
průměr optické sondy:	$d_m = 0.1 \text{ mm}$
úhel protinání paprsků:	$\theta = 11.16^\circ$

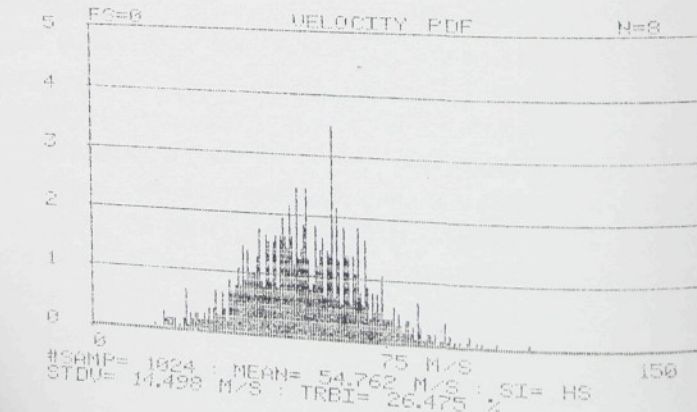
Pro rychlosti 250 - 300 m/s je v tomto případě dopplerovská frekvence cca 95 - 115 MHz. Je zřejmé, že došlo ke



Obr.5.17a 1mm OD STĚNY KANÁLU ( $x=50\text{mm}, y=-2\text{mm}, z=+2\text{mm}$ )



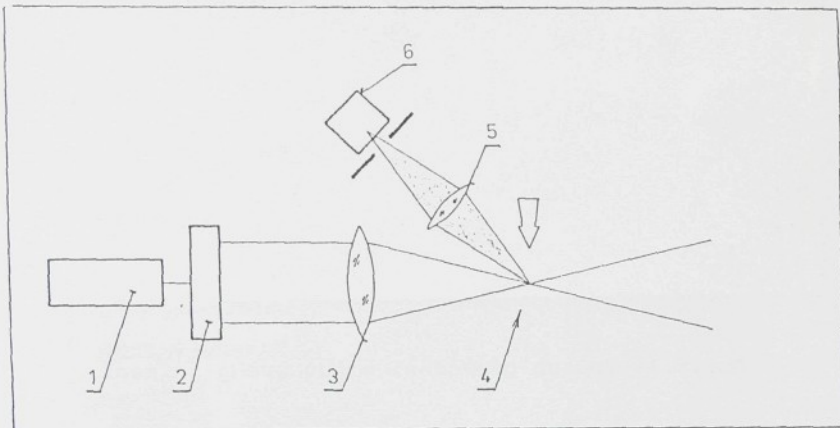
Obr.5.17b 3mm OD STĚNY KANÁLU ( $x=50\text{mm}, y=0\text{mm}, z=+2\text{mm}$ )



Obr.5.17c 5mm OD STĚNY KANÁLU ( $x=50\text{mm}, y=+2\text{mm}, z=+2\text{mm}$ )

s maximální šírkou pásma 32 MHz. Do středu tohoto pásma se umisťuje střední dopplerovská frekvence. Experimenty ukázaly, že vysoká intenzita turbulence měla v některých případech za následek omezení rychlostních histogramů právě tímto filtrem BSA a to způsobilo chybu při výpočtu střední rychlosti i intenzity turbulence.

Řešení výše popsaných problémů si vyžádalo změnu optického uspořádání LDA. Byla použita metoda mimoosového snímání znázorněná na obr.5.18.



- |                       |                        |
|-----------------------|------------------------|
| 1 - laser             | 4 - optická sonda      |
| 2 - dělící hranol     | 5 - přijímací objektiv |
| 3 - vysilací objektiv | 6 - fotonásobič        |

Obr.5.18 Metoda mimoosového snímání

Základní princip spočívá v tom, že dopplerovská frekvence rozptylového záření nezávisí na úhlu snímání. To přímo vyplývá z teoretičky odvozeného vztahu pro dopplerovskou frekvenci /3.3.7/ v kap. 3.3.3.

Vysílací a přijímací části jsou odděleny a jejich konkrétní uspořádání je vidět na obr.5.19.

snižení dopplerovské frekvence na měřitelnou hodnotu, ale současně ke zvětšení délky optické sondy přibližně na čtyřsobek tj. 1.2 mm. Takovéto zvětšení délky optické sondy se velmi negativně projeví při měření těsně u stěny kanálu (1 - 2 mm od stěny). Došlo ke zhoršení prostorové filtrace a velký optický šum odraženého světla v tomto případě již nelze eliminovat metodou polarizační separace. Experimentální měření s tímto objektivem ukázala, že vyhodnocení signálu LDA pomocí čitačového procesoru TSI 1990B selhává ve vzdálenosti 2 - 3 mm od stěny kanálu.

Lepší výsledky s vyhodnocováním dopplerovského signálu při měření u stěny kanálu bylo možné očekávat při použití analyzátoru spektra dopplerovského vzryvu - BSA ('Burst spectrum analyzer'), který provádí FFT analýzu dopplerovského signálu (viz kap. 4.2.2).

Ověřovací experimenty byly prováděny na zapůjčeném BSA Model 57N10 DANTEC. Přestože nastalo očekávané zlepšení při měření u stěny kanálu, metoda nemohla být použita. Důvodů je několik.

Frekvenční rozsah tohoto modelu BSA je 122 Hz - 80 MHz. Proto by pro měření maximálních rychlostí bylo třeba použít objektiv s ještě větší ohniskovou vzdáleností (nejbližší hodnota z řady TSI: F.D. = 350 mm).

Délka optické sondy je při použití objektivu s F.D. = 350 mm cca 2.3 mm. Porovnáme-li tuto délku měřící sondy s příčnými rozměry proměřované oblasti na obr. 6.5 v kap. 6.2 je zřejmé, že délka sondy je více jak dvakrát větší než rozteč 1 mm v síti měřených bodů. Došlo by tedy ke ztrátě požadovaného prostorového rozlišení a to platí do jisté míry dokonce i pro objektiv s F.D. = 250.1 mm kdy délka optické sondy je 1.2 mm. Jistým řešením těchto problémů je použití expandéru laserových paprsků; ten však nebyl k dispozici.

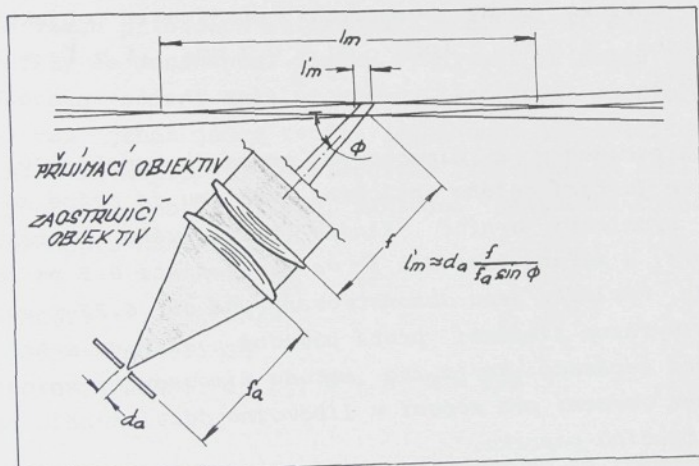
Zásadní nedostatek BSA, který se projevil při měření proudění v prohozním kanálu profilového paprsku však spočívá v omezené šířce zpracovávaného frekvenčního pásma. BSA má z principiálních důvodů vestavěn přestavitelný vstupní filtr

je soustředěno přijimacím objektivem 2 do optického vlákna o průměru 0.2 mm a přivedeno optickým kabelem na fotonásobič. Vyhodnocení dopplerovského signálu se provádělo pomocí čitačového procesoru TSI 1990B.

Popsané optické uspořádání mimoosového snímání přináší dvě zásadní výhody:

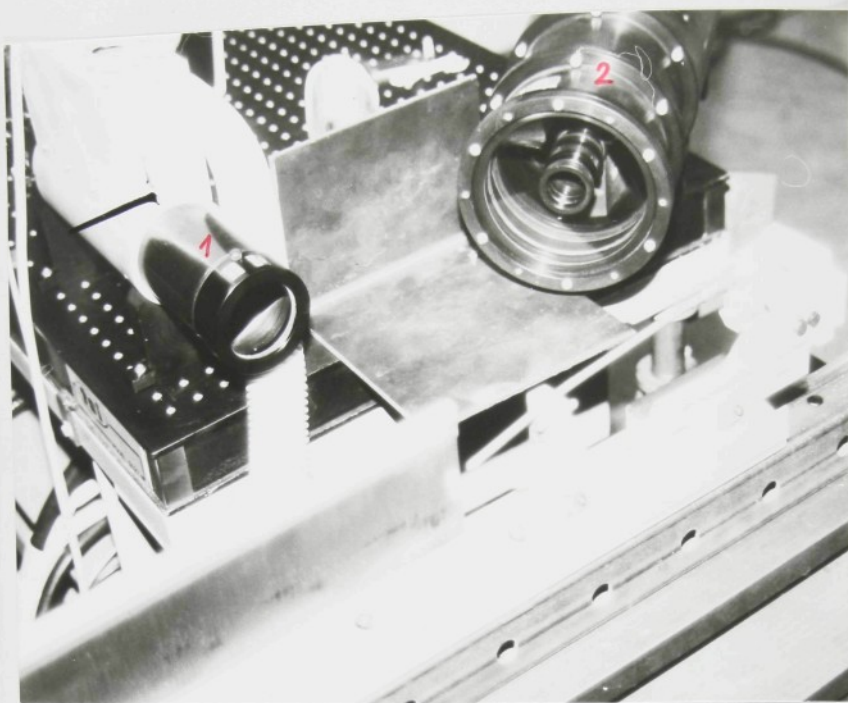
- velmi dobrou prostorovou filtraci světla odraženého od stěny kanálu profilového paprsku
- zmenšení efektivní délky optické sondy

Díky bočnímu snímání optické sondy přijimacím objektivem se zkracuje její délka  $l_m$ , jak je znázorněno na obr.5.20.



Obr.5.20 Schéma mimoosového snímání.

Míra zkrácení délky optické sondy na efektivní hodnotu  $l_m$  závisí na úhlu snímání ( $\phi$ ), ohniskové délce přijimacího objektivu ( $f$ ), ohniskové délce objektivu zaostřujícího roz-



Obr.5.19 Způsob provedení mimoosového snímání.

Světlo rozptylené na částicích glycerinu bylo přijímáno speciálním přijímacím objektivem 2. Osy vysilacího a přijímacího objektivu svírají úhel  $45^\circ$ . Přijímací objektiv byl vyroben ve VZLÚ Letňany v Praze [70]. Byl navržen pro měření velkých rychlostí a s ohledem na vysokou prostorovou rozlišitelnost a zpracování signálů s vysokým obsahem šumu. Ohnisková vzdálenost objektivu je 380 mm, objektiv má průměr 130 mm a tedy velmi dobrou světelnost 1:2.9. S ohledem na velmi dobré korigování optických defektů zajišťuje objektiv dobrou prostorovou filtraci. Přijímací objektiv byl zaostřen na optickou sondu vytvořenou vysílacím objektivem 1 ( $F.D. = 250.1$  mm, parametry byly popsány výše) pomocí speciální dalekohledové lupy. Kontrolu justáže bylo tak možné provádět i během měření. Rozptylené světlo z optické sondy

## 6. Měření proudových polí vzduchového prohozu tryskového tkacího stroje metodou LDA.

Navržená metodika LDA - měření vzduchového prohozu (viz kap. 5) byla použita při měření proudových polí na následujících částech prohozniho ústrojí vzduchového tryskového tkacího stroje:

- za ústím vkládací tkací trysky
- uvnitř prohozniho kanálu tkacího profilového paprsku
- ve vstupní části kanálu tkacího profilového paprsku

Ve všech případech se zkoumala stacionární proudová pole a měřily se dominantní složky rychlosti ve směru prohozu.

Všechna měření byla provedena laserovým dopplerovským anemometrem, jehož jádro tvořil jednoduchý jednosložkový systém TSI (viz kap. 5.3). Dopplerovská frekvence se měřila čítačovým procesorem TSI 1990B. Základní nastavení čítačového procesoru bylo následující:

MODE: SM/B  
COMPARISON,%: 3%  
CYCLES/BURST:  $2^3$  tj. N = 8, M = 5/8

Data produkovaná čítačovým procesorem se zpracovávala na počítači APPLE IIe ve formě rychlostních histogramů. Histogramy představují spektrální rozložení rychlosti, které se získalo z 1024 platných vzorků měření. Statistickým zpracováním histogramů se získaly následující základní charakteristiky proudění:

ptylené záření na fotonásobič ( $f_a$ ) a apertuře clony před fotonásobičem ( $d_a$ ):

$$l_m \approx d_a \frac{f}{f_a \sin(\phi)} \quad /5.7.9/$$

Je zřejmé, že ke zkrácení optické sondy dochází bez ohledu na skutečnou délku optické sondy vytvořené vysilacím objektivem.

V konkrétním případě měření v kanálu profilového paprsku bylo tedy možné zvolit vysilaci objektiv s fokusační délkou F.D. = 250.1 mm tak, aby dopplerovská frekvence odpovídající maximálním rychlostem kolem 300 m/s byla měřitelná čítačovým procesorem. Fakt, že délka optické sondy vzroste v tomto případě na 1.2 mm není na závadu, neboť efektivní délka optické sondy pozorovaná přijímacím objektivem je přibližně 0.3 mm (pro  $d_a = 0.2$  mm,  $f = f_a = 380$  mm,  $\phi = 45^\circ$ ).

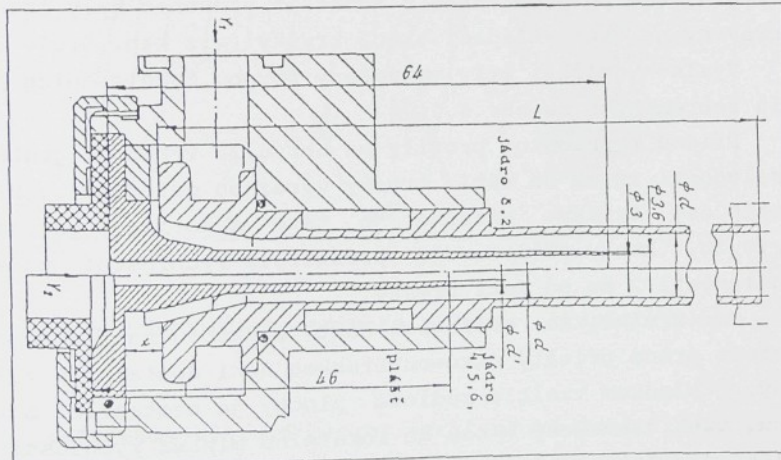
Experimenty s mimoosovým snímáním prokázaly, že při pečlivé justáži celého optického systému je možné měřit vysoké rychlosti uvnitř kanálu profilového paprsku (cca 300 m/s) a měření provádět i ve vzdálenosti 0.5 mm od stěny kanálu. Výsledky jsou demonstrovány na obr. 6.22 v kap. 6.3. To je výrazné zlepšení proti původně používané metodě polarizační separace. Navíc lze metodu mimoosového snímání použít bez omezení pro měření v libovolné části kanálu profilového tkacího paprsku.

Obě metody (polarizační separace a mimoosové snímání) na potlačení optického šumu při měření u stěny kanálu současně vyvrátily tvrzení v lit. [86] (viz kap. 1.2), že klasickou laserovou dopplerovskou anemometrii nelze použít pro měření u stěny kanálu profilového paprsku tkacího stroje.

## 6.1 Měření proudových polí za ústím vkládací tkací trysky.

Měření volných proudů za ústím vkládací tkací trysky metodou LDA byla prováděna na několika druzích trysek a výsledky lze nalézt např. v [71], [72], [73]. Na tomto místě budou prezentovány takové výsledky měření, které dokládají možnosti metody LDA při odhalování konstrukčních vad tkacích trysek.

Vkládací tkací tryska (konfuzorová) zobrazená na obr.6.1 je tvořena útkovou trubici o průměru 3 mm a vnějším pláštěm o průměru 7 mm (viz též obr.6.2). Tryska funguje jako ejektor.



Obr.6.1 Vkládací tkací tryska (konfuzorová)

střední rychlosť w:

$$w = \frac{1}{n} \sum_{i=1}^n w_i , \quad [\text{m/s}]$$

kde      n ... počet platných měření,  
         $w_i$  ... rychlosť vypočtená z i-tého měření

$$w_i = (\lambda / 2 \cdot \sin(\theta/2)) \cdot N / t_n \quad [\text{m/s}]$$

kde       $\lambda$  ... vlnová délka,  
         $\theta$  ... úhel protinání laserových paprsků,  
        N ... počet měřených cyklů v dopplerovském signálu,  
         $t_n$  ... čas trvání N cyklů dopplerovského signálu

Směrodatná odchylka  $\sigma$ :

$$\sigma = [ \frac{1}{n-1} \sum_{i=1}^n (w_i - w)^2 ]^{1/2} \quad [\text{m/s}]$$

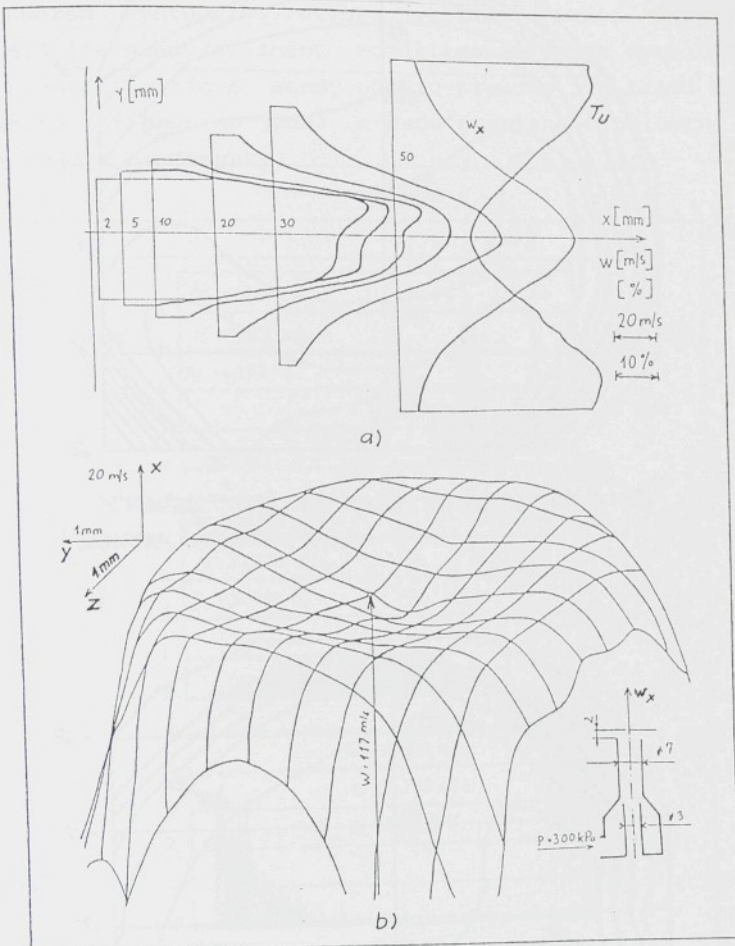
Intenzita turbulence Tu:

$$Tu = (\sigma/w) \cdot 100 \quad [\%]$$

Přemisťování optické sondy do jednotlivých měřených bodů zkoumané proudové oblasti se realizovalo pomocí speciálního počítačem řízeného traverzovacího zařízení (viz kap. 5.5), které přesouvalo měřený objekt ve třech osách s přesností  $\pm 0.02$  mm.

Soubory změřených středních rychlostí a intenzit turbulence se zpracovávaly na počítači PC/AT do grafů formou rychlostních a turbulentních profilů.

Výsledky měření uvedené v následujících kapitolách demonstriují experimentální ověření metodiky měření navržené v kap. 5. Detailní popis použitych vkládacích tkacích trysek, štafetových trysek a jejich nastavení není uváděn, protože měření byla součástí neveřejných výzkumných úkolů.



Obr.6.2 Rychlostni pole za vkladaci tkaci tryskou.

Deformace sedlové plochy (prstencové lokální maximum je zdeformované) je důsledkem nesouososti útkové trubky s pláštěm trubky. Pootočením útkové trubky v plášti se shodně otáčel i rychlostní profil. To dokumentují výsledky měření uvedené na obr.6.3

Podmínky měření byly následující:

tlak přívodního vzduchu: 300 kPa  
výkon argonového laseru: 300 mW

parametry vys./přijimacího objektivu:

ohnisková vzdálenost:	F.D. = 250.1 mm
úhel protinání paprsků:	$\Theta = 11.16^\circ$
rozteč proužků:	$d_f = 2.67 \mu\text{m}$
počet proužků:	$N_{FR} = 42$
délka optické sondy:	$l_m = 1.2 \text{ mm}$
průměr optické sondy:	$d_m = 0.1 \text{ mm}$

Použitý objektiv zajistil délku optické sondy cca 1.2 mm při dopplerovské frekvenci nepřesahující 80 MHz pro rychlosti do 200 m/s.

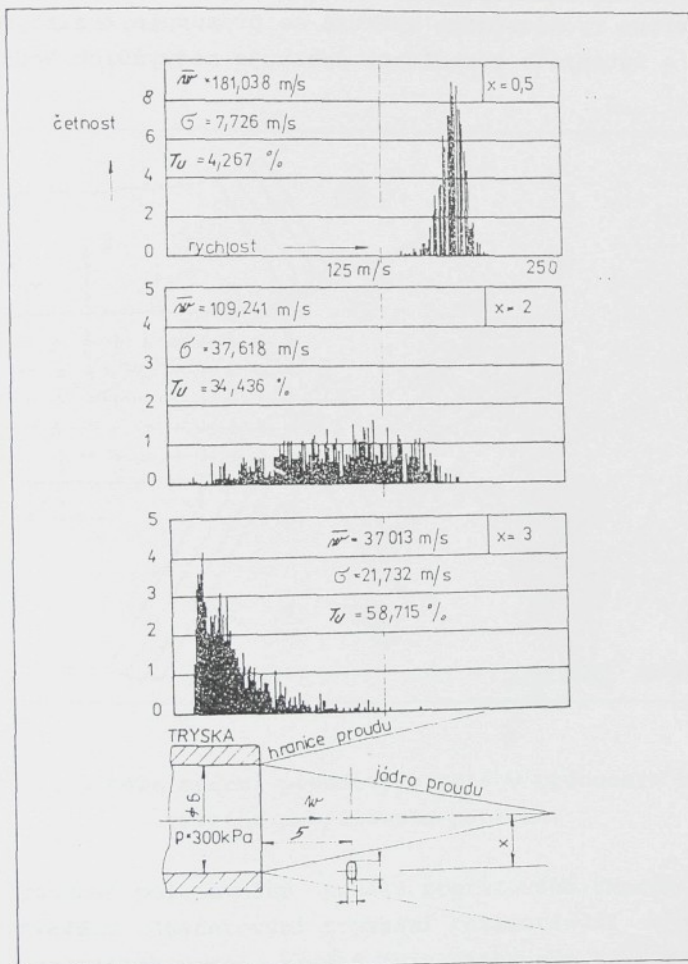
Sycení vzduchu stopovacími částicemi bylo realizováno přisáváním aerosolu glycerinu útkovou trubkou do prostoru ejektoru, kde po promichání s "hnacím" vzduchem byly částice dopraveny na ústí vkládací tkací trysky (viz kap. 5.6).

Výsledky měření byly vyjádřeny formou rychlostních profilů zobrazených na obr.6.2.

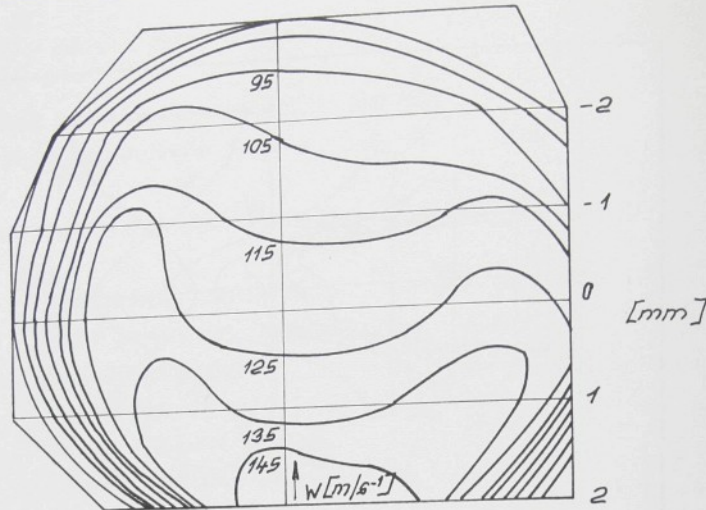
Příčné rychlostní profily na obr.6.2a vykazují ještě ve vzdálenosti 10 mm od ústí trysky výraznou deformaci v blízkosti osy trysky. Názorně je tato deformace patrná na obr.6.2b, který představuje prostorové rychlostní pole ve vzdálenosti 2 mm od ústí trysky.

Je zřejmé, že směšovací část ejektoru není dokonalá, protože proud přisáty útkovou trubkou není dostatečně urychlený. Důsledkem vzniklé sedlové plochy je nestabilní poloha útku. Útek, zavedený v ose do lokálního minima rychlosti, je unášen do místa lokálního maxima rychlosti, které je prostorově rozlehlé a navíc i zdeformované.

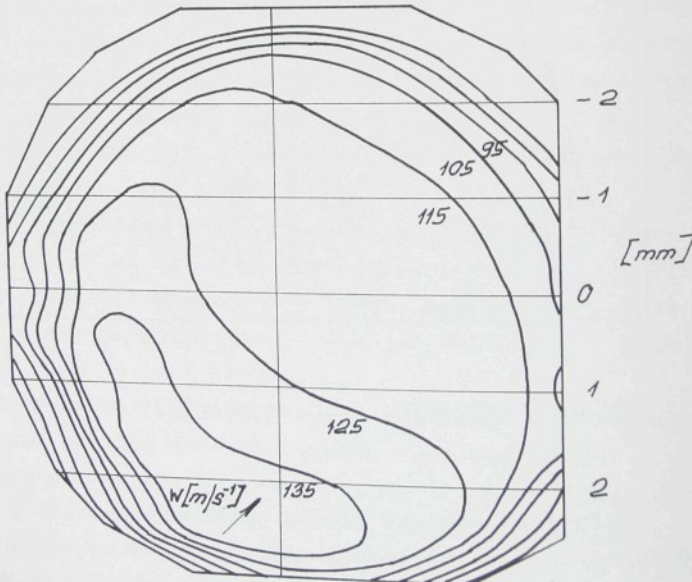
Délka optické sondy 1.2 mm není zanedbatelná v porovnání s průměrem výstupního otvoru vkládací tkaci trysky. Na obr. 6.4 lze sledovat změnu rozdělení měřených rychlostí při traverzování optické sondy napříč proudem za tkaci tryskou (v tomto případě se jedná o nedeformované rychlostní pole s maximem v ose trysky).



Obr. 6.4 Změny rychlostních histogramů při traverzování optické sondy napříč proudem vkládací tkaci trysky.



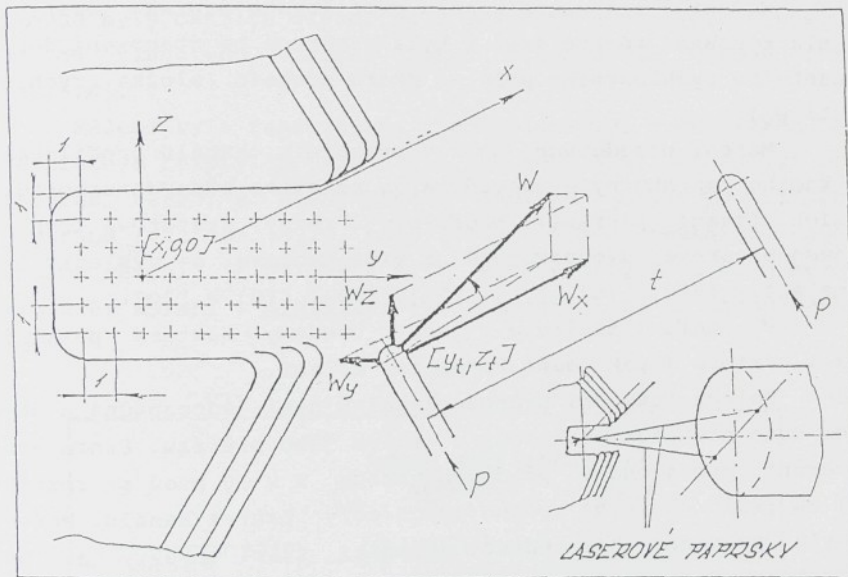
Obr. 6.3a IZOCARY 2mm ZA ÚSTÍM TRYSKY  
(KONFUZOROVÝ PROHOZ)



Obr. 6.3b IZOCARY 2mm ZA ÚSTÍM TRYSKY  
JÁDRO POOTOCĚNO (KONFUZOROVÝ PROHOZ)

## 6.2 Měření proudových polí uvnitř kanálu tkacího profilového paprsku.

Měření proudových polí metodou LDA probíhalo podle schématu na obr.6.5.



Obr.6.5 Schéma měření proudových polí v prohozním kanálu tkacího profilového paprsku.

Proudové pole uvnitř kanálu profilového tkacího paprsku je vytvářeno štafetovými tryskami rozmístěnými v pravidelných roztečích podél kanálu (viz také obr.1.1, kap. 1.1). Proud vzduchu (vektor rychlosti) štafetové trysky vstupuje do prohozniho kanálu pod malým úhlem k ose kanálu. Výsledný

Rychlostní histogramy ukazují rozložení spektra rychlosti pro vzdálenosti  $x = 0.5, 2, \text{ a } 3 \text{ mm}$  od osy trysky. Je-li celá optická sonda v jádru proudu ( $x = 0.5 \text{ mm}$ ), je podle očekávání rychlostní spektrum velmi úzké a intenzita turbulence nízká. Pro  $x = 2 \text{ mm}$  zasahuje optická sonda do směšovací oblasti a výsledkem je široké spektrum rychlosti. Pro  $x = 3 \text{ mm}$  leží již celá optická sonda ve směšovací oblasti. Maximum rychlostního spektra se přesunulo k nízkým rychlostem a intenzita turbulence dosahuje nejvyšších hodnot.

parametry vys./přijímacího objektivu:

ohnisková vzdálenost: F.D. = 121.5 mm

úhel protinání paprsků:  $\theta = 21.47^\circ$

rozteč proužků:  $d_f = 1.38 \mu\text{m}$

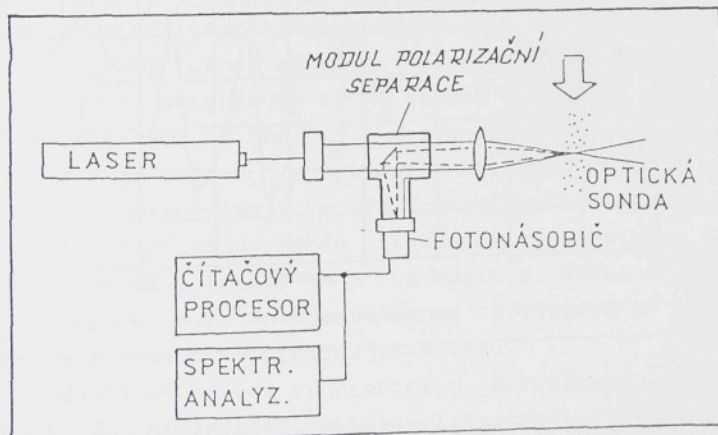
počet proužků:  $N_{FR} = 42$

délka optické sondy:  $l_m = 0.31 \text{ mm}$

průměr optické sondy:  $d_m = 0.058 \text{ mm}$

Jako rozptylové medium se používal aerosol glycerinu (40% roztok glycerinu a vody). Z důvodu rovnoměrného sycení proudu byly částice glycerinu z generátoru aerosolu dopraveny do tlakového vzduchu před vstupem do trysek (viz kap.5.6).

Měření byla realizována jednosložkovým anemometrem TSI se zpětným rozptylem (viz obr.5.2, kap. 5.4), který byl pro úspěšné měření u stěny kanálu doplněn modulem polarizační separace (viz obr. 5.16, kap. 5.7.1). Schéma celkového uspořádání měření je na obr.6.6. V této konfiguraci bylo možné provádět měření v minimální vzdálenosti 1 mm od stěny kanálu.



Obr.6.6 Schéma uspořádání měření.

proud vzduchu vytvářený štafetovými tryskami postupuje v ose kanálu (ve směru prohozu) a je vždy posilován proudem následující štafetové trysky.

Je zřejmé, že na proudové pole uvnitř kanálu profilového paprsku působi řada složitých vlivů:

- směšování volného proudu za štafetovou tryskou s proudem vytvořeným v prohozním kanálu předcházejicími tryskami a deformovaným profilovým tkacím paprskem.
- únik části proudu mezi lamelami profilového paprsku a odraz proudu od tvarovaných stěn kanálu.

Měření v prohozním kanálu profilového paprsku postihovala působení tétočto jevů a byla zaměřena na stanovení dominantního rychlostního pole ve směru prohozu (složka rychlosti  $w_x$ ).

Měření proudových polí v prohozním kanálu profilového tkacího paprsku byla prováděna na několika různých uspořádáních (tkací paprsek: profilový, rovný, štafetové trysky: jednootvorové, dvouotvorové a víceotvorové) a výsledky lze nalézt v [67], [75], [76], [77], [78], [79] a [80].

V této kapitole jsou uvedeny některé příklady a v příloze I pak jedno kompletní měření.

Poloha útku při prohozu kanálem není jednoznačná a útek se může nacházet prakticky v celém jeho průřezu. Proto byla měření prováděna v příčných řezech  $5 \times 10$  bodů s roztečí 1 mm (viz obr.6.5) vyplňujících celý průřez kanálu. Měření byla prováděna bez účasti vkládací tkaci trysky, aby byl zřetelný vliv štafetových trysek na výsledné rychlostní pole v kanálu tkacího paprsku. Tento stav odpovídá reálné situaci ve vzdálenějších oblastech kanálu od vkládací tkaci trysky, kde už je vliv jejího proudového pole zanedbatelný.

Podmínky měření byly následující:

tlak přívodního vzduchu:	400 kPa
výkon argonového laseru:	500 mW
vlnová délka:	514.5 nm

Křivka 1 představuje průběh rychlosti  $w_x$  v ose kanálu profilového tkacího paprsku a křivka 2 totéž, ale bez profilového tkacího paprsku. Podle očekávání je patrný výrazný vliv paprsku na menší disipaci proudu a tím na zesílení rychlostního pole. Je zřejmé, že zesílení dynamických účinků proudu není všude stejně. Nejmenší zesílení cca 20% je v místech vstupu proudu štafetové trysky do kanálu, kterým odpovídají lokální maxima na křivce 2. V oblastech vně přímého působení proudu štafetové trysky se zesilující účinek profilového paprsku uplatňuje stále výrazněji a maximum až 300% je v místech lokálního minima křivky 2.

Rychlostní profil 1 v ose prohozniho kanálu profilového paprsku má periodický charakter s periodou danou roztečí mezi štafetovými tryskami. Přitom je zřejmé, že v prvních čtyřech roztečích se proud "rozbihá", tj. lokální maxima rychlosti vzrůstají. Od 4. trysky se již kanál proudem zaplnil a rychlostní pole se v dalších roztečích periodicky opakuje. Pouze v 8. rozteči jsou rychlosti nižší, což svědčí o chybém nastavení nebo poruše 8. štafetové trysky.

Z typického periodického charakteru rychlostního profilu na obr.6.7 vyplývá, že podrobné proměření rychlostního pole v prohozním kanálu je třeba provádět v jediné reprezentativní rozteči štafetových trysek.

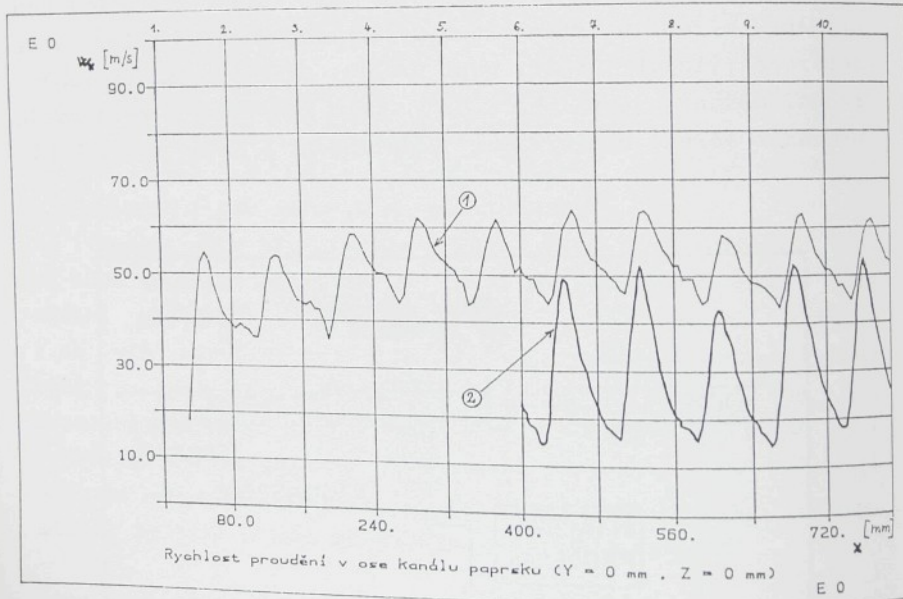
Používaný postup měření je následující. Vybraná rozteč se rozdělí na obvykle 8 až 16 vhodně zvolených příčných řezů, vyobrazených na obr.6.5. V jednotlivých bodech se změří střední rychlosti  $w_x$  a intenzity turbulence  $Tu$ . Naměřené soubory se zpracovávají ve třech navzájem kolmých řezech.

Typické příklady takto získaných rychlostních a turbulentních profilů (řezů) jsou na obr.6.8. Axonometrická zobrazení na obr.6.8 dávají názornou představu o zkoumaných proudových polích v odpovídajícím řezu.

Jednotlivé příčné rychlostní a turbulentní profily lze shrnout do společného obrázku. Typický souhrnný výsledek rychlostního pole v prohozním kanálu profilového paprsku je na obr.6.9.

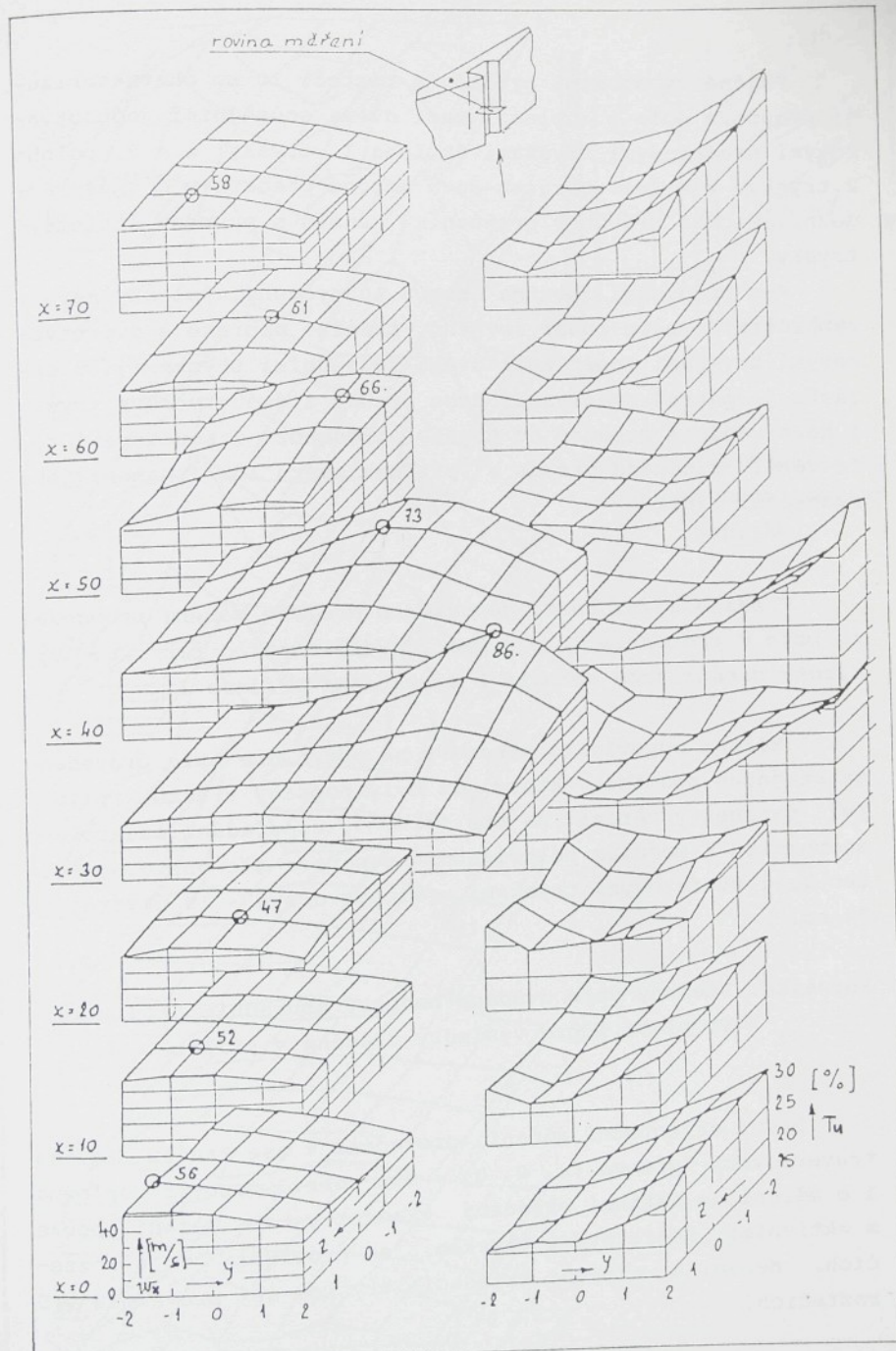
Délka optické sondy  $l_m = 0.31$  mm zajišťovala dobrou prostorovou rozlišitelnost. Přemisťování optické sondy v proměřované oblasti s přesnosti  $\pm 0.02$  mm se realizovalo pomocí traverzovacího zařízení (viz kap. 5.5), na jehož stope byl upevněn tkací paprsek se štafetovými tryskami.

První orientační měření se prováděla na jediné traverzovací přímce, nejčastěji v ose kanálu. Typický výsledek rychkového měření je na obr. 6.7. Obrázek znázorňuje dva rychlostní profily na traverzovací přímce ( $x, 0, 0$ ) pro deset rozstřeli štafetových trysek (viz obr. 6.5). Rozteč mezi štafetovými tryskami je 80 mm a poloha jednotlivých štafetových trysek je v grafu vyznačena.

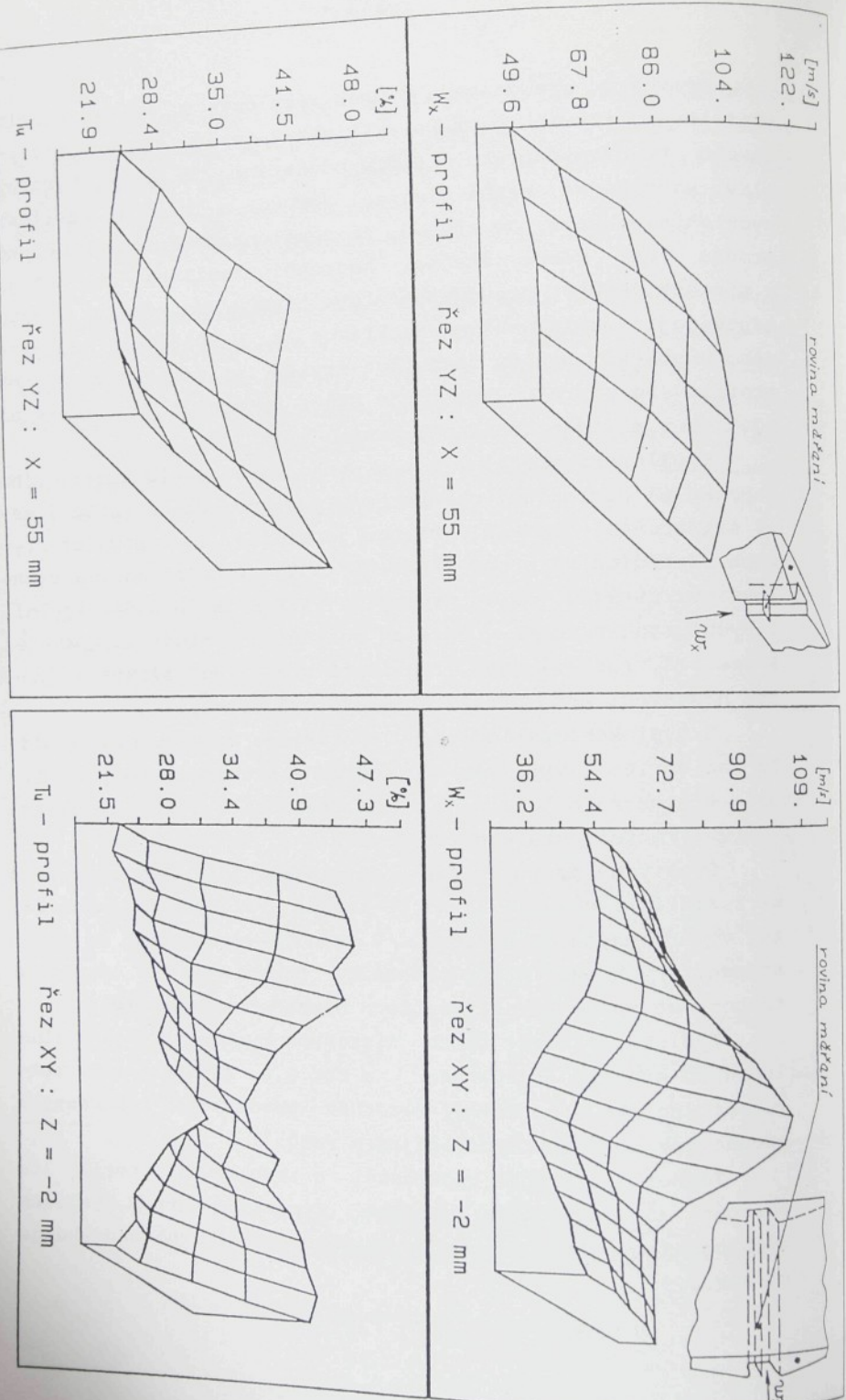


křivka 1 - s profilovým tkacím paprskem  
křivka 2 - bez profilového tkacího paprsku

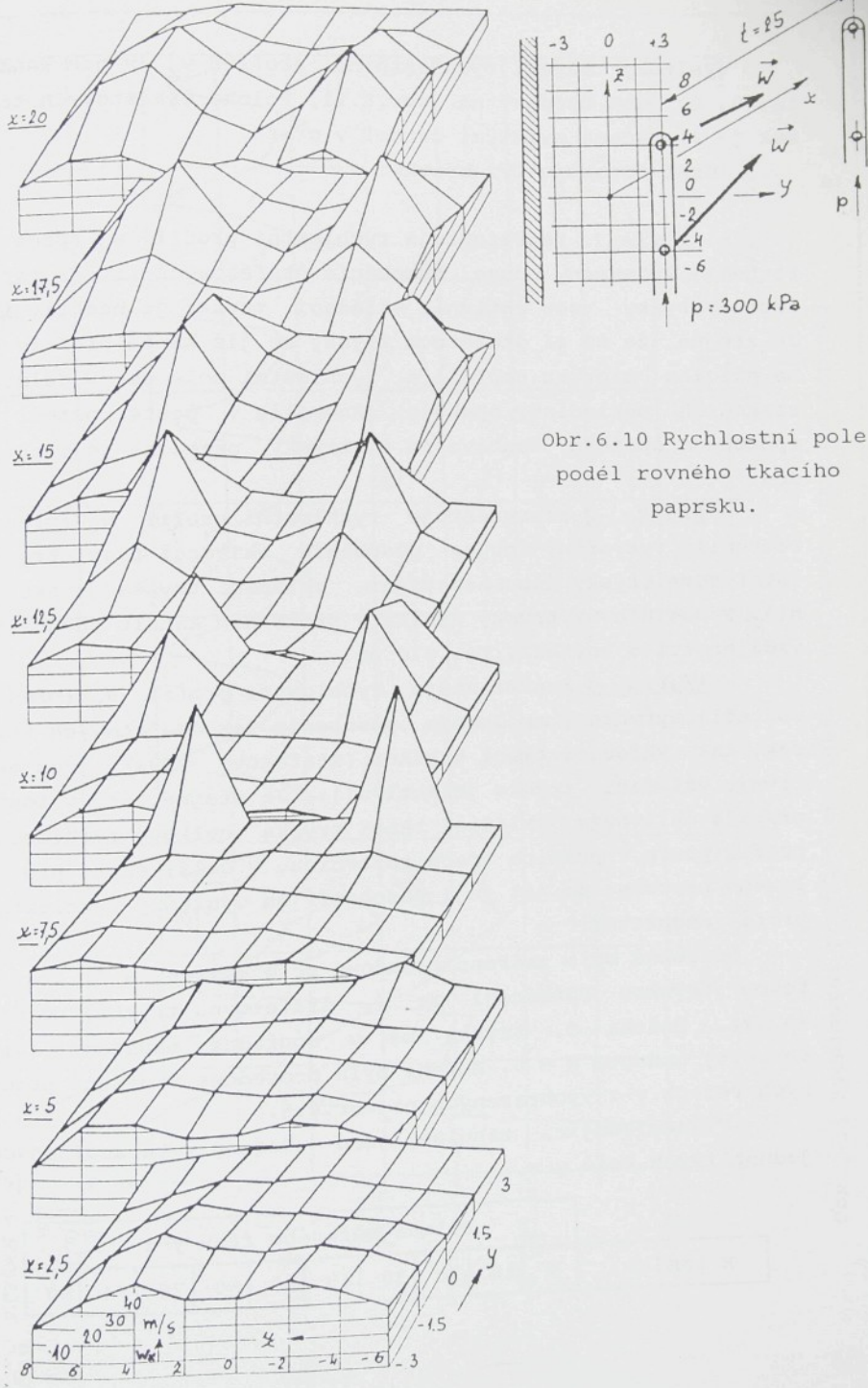
Obr. 6.7 Rychlostní profil v ose kanálu.



Obr. 6.9 Rychlostní pole v prohozním kanálu profilového tkacího paprsku (mezi dvěma sousedními štafetovými tryskami).



Obr. 6.8 Příklady rychlostních a turbulentních profilů.



Obr. 6.10 Rychlostní pole podél rovného tkacího paprsku.

Příčné rychlostní profily s roztečí 10 mm charakterizují proudové pole v oblasti mezi dvěma sousedními jednootvornými štafetovými tryskami (poloha 1. trysky:  $x = 0$ , poloha 2. trysky:  $x = 80$ ). Obrázek dává dobrou představu o směšování doznívajícího proudu v prohozním kanálu s proudem štafetové trysky.

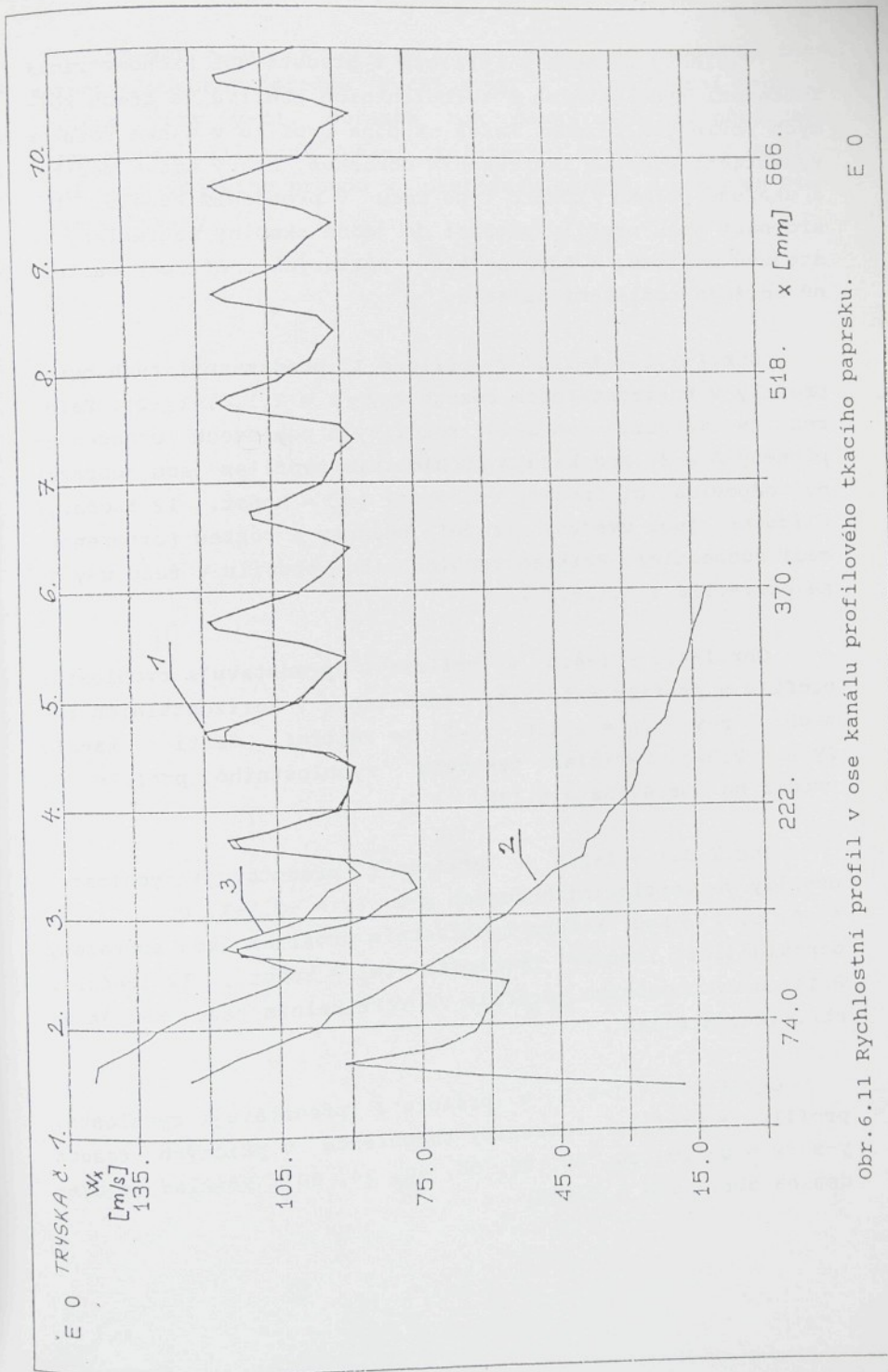
Pro porovnání jsou na obr. 6.10 uvedeny výsledky měření rychlostního pole podél rovného tkacího paprsku s dvouotvornými tryskami (opět mezi dvěma sousedními tryskami). Z obrázku je patrné směšování dvou proudů z dvouotvorové trysky s doznívajícím proudem od trysky předchozí a současně i to, že větší disipace proudu v příčném směru zde znamená jeho rychlejší zánik.

V následující části je uvedeno ucelené měření proudového pole v prohozním kanálu profilového tkacího paprsku. Výsledky měření jsou shrnuty v samostatné příloze I.

Měření odpovídalo schématu na obr. 5.6 a bylo provedeno za stejných podmínek, které již byly popsány v této kapitole (viz parametry měření na str. 140 - 141, uspořádání laserového anemometru s modulem polarizační separace dle obr. 6.6) Rozteč mezi štafetovými tryskami (viceotvorové - 19 otvorů) je 74 mm.

Poznámka: Všechny dále uváděné hodnoty souřadnic jsou v mm.  
To platí i pro výsledky uváděné v příloze.

První orientační měření, provedená v ose kanálu, tj. na traverzovací přímce ( $x, 0, 0$ ) - viz obr. 6.5, byla doplněna i o měření s aktivní vkládací tkací tryskou. Měření pouze s aktivními štafetovými tryskami se prováděla v 10 roztečích. Měření s aktivní vkládací tryskou se prováděla v 5 roztečích.



Obr. 6.11 Rychlosťní profil v ose kanálu profilového tkacího paprsku.

E 0

Výsledky měření rychlostního profilu  $w_x$  v ose kanálu  $(x, 0, 0)$  jsou uvedeny na obr. 6.11. Poloha štafetových trysek je vyznačena svislými čárami v grafu.

Graf obsahuje tři křivky:

- křivka 1 reprezentuje rychlostní profil  $w_x$  (přes 10 roztečí) vytvořený pouze působením štafetových trysek (štafetové trysky jsou aktivní, vkládací tryska je neaktivní). Je zřejmé, že od 4. štafetové trysky se již kanál profilového tkacího paprsku naplnil a rychlostní pole se v dalších roztečích periodicky opakuje. Anomálie v šesté rozteči je způsobena špatným nastavením 6. trysky, případně její závadou.

- křivka 2 reprezentuje rychlostní profil  $w_x$  (přes 5 roztečí) vytvořený pouze působením vkládací tkací trysky (štafetové trysky jsou neaktivní, vkládací tryska je aktivní). Proud hlavní trysky zaniká v prohozním kanálu zhruba na vzdálenosti 5 roztečí, tj. 370 mm.

- křivka 3 reprezentuje rychlostní profil  $w_x$  (přes 5 roztečí) vytvořený společným působením jak štafetových trysek, tak vkládací tkací tryskou (štafetové trysky jsou aktivní, vkládací tryska je aktivní). Je zřejmé, že v tomto případě ovlivňuje vkládací tkací tryska celkový rychlostní profil pouze v prvních třech roztečích. V další části profilového paprsku se již její působení na výsledný rychlostní profil neplatní.

Podrobně bylo změřeno proudové pole mezi 5. a 6. štafetovou tryskou (přesněji za 6. štafetovou trysku: rozsah 80 mm). Poloha 5. trysky má v souřadné soustavě (viz obr.6.5) hodnotu  $x = 0$ . Měření byla provedena v deseti příčných řezech y-z vyobrazených na obr.6.5.

V následující tabulce jsou uvedeny x-vé souřadnice jednotlivých řezů y-z.

Poloha měřeného řezu y-z										
x [mm] :	0	10	20	30	40	50	60	70	74	80

Na obr.6.16 (v příloze I obr.I-7) jsou souhrnně znázorněny všechny přičné rychlostní a turbulentní profily (přičné řezy y-z). Obrázek tak dává názornou představu o proudovém poli mezi dvěma štafetovými tryskami a o směšování doznívajícího proudu v prohozním kanálu s proudem štafetové trysky.

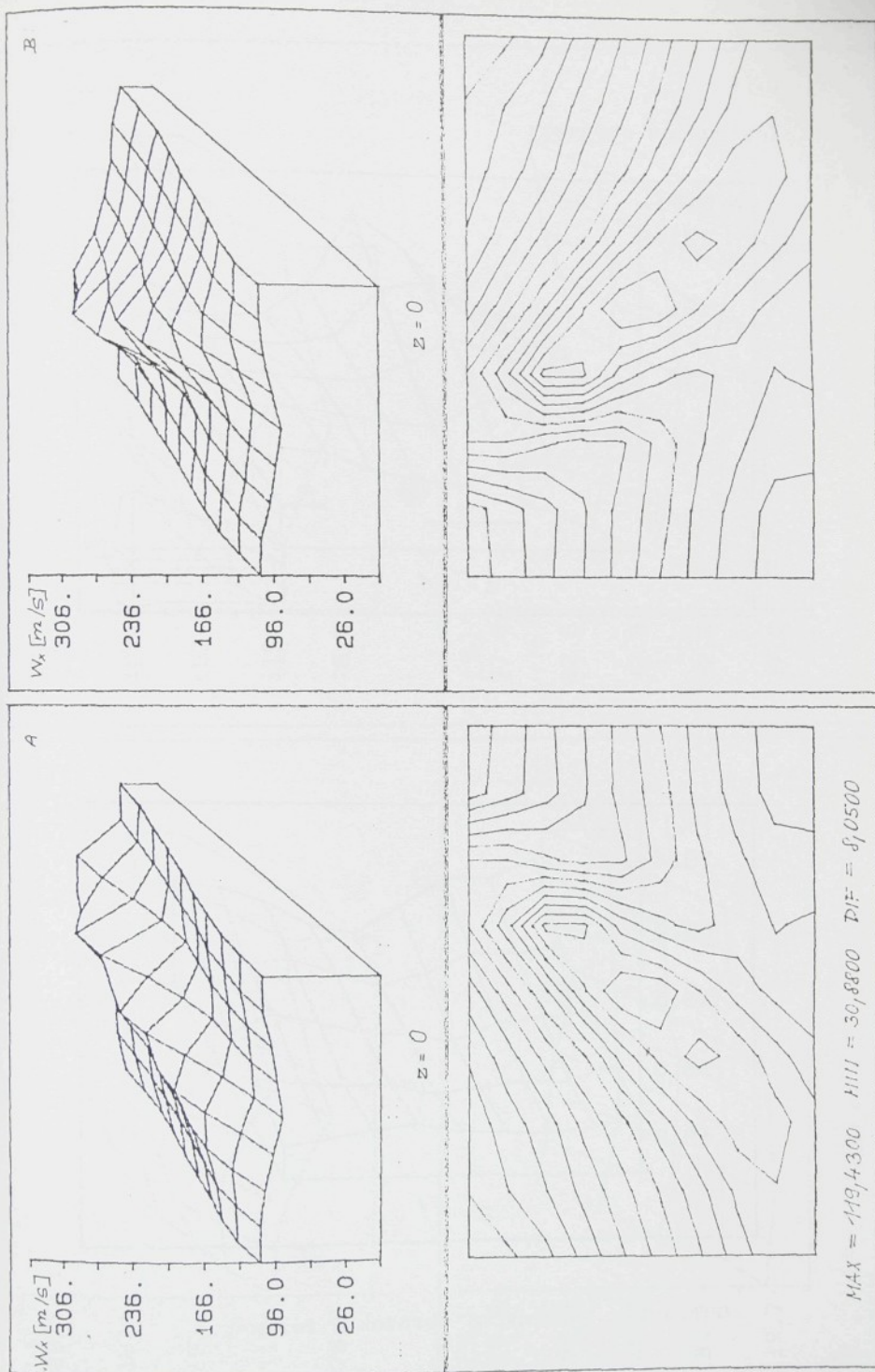
Výsledky uvedené v příloze I představují axonometrická zobrazení rychlostních a turbulentních profilů ve třech kolmých rovinových řezech. Každá skupina profilů v daném řezu je vysvětlena úvodním instrukčním obrázkem, který udává měřítko a ukazuje polohu tohoto typu řezu v prohozním kanálu. Pro srovnání jsou profily patřící do jedné skupiny nakresleny ve stejném měřítku, i když se tím v některých profilech částečně snižuje rozlišení detailů.

Obr.I-3.1 - I-3.5 v příloze I představují rychlostní profily v horizontálních řezech x-y ( $z = 2, 1, 0, -1, -2$ ). Každý řez je vyobrazen ve dvou rozdílných pohledech označených písmeny A a B. Pod každým rychlostním profilem jsou zobrazeny odpovídající izočáry rychlosti ( $w_x = \text{konst.}, 12 \text{ izočar}$ ). U izočar jsou uvedeny krajní hodnoty a rozteč (diference) mezi sousedními. Příklad rychlostního profilu v řezu x-y je na obr.6.12a a 6.12b.

Obr.I-4.1 - I-4.3 v příloze I představují rychlostní profily a profily intenzity turbulence v horizontálních řezech x-y ( $z = 2, 1, 0, -1, -2$ ) ve vnitřní části kanálu ( $y \in [-2, 2]$ ). Příklad takového rychlostního profilu je uveden na obr.6.13a a 6.13b.

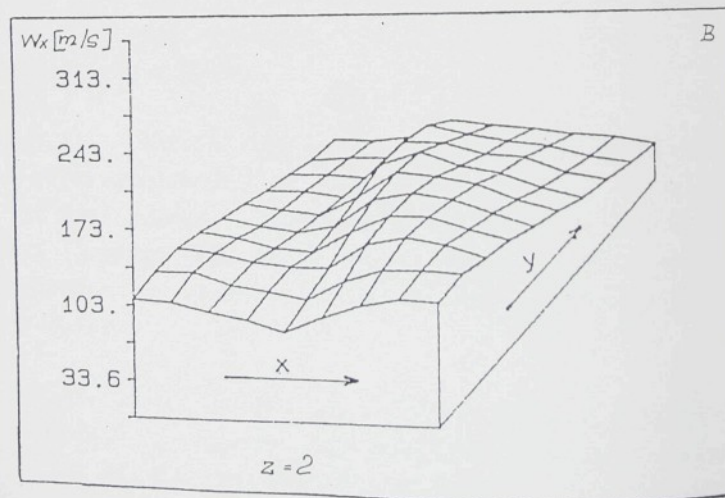
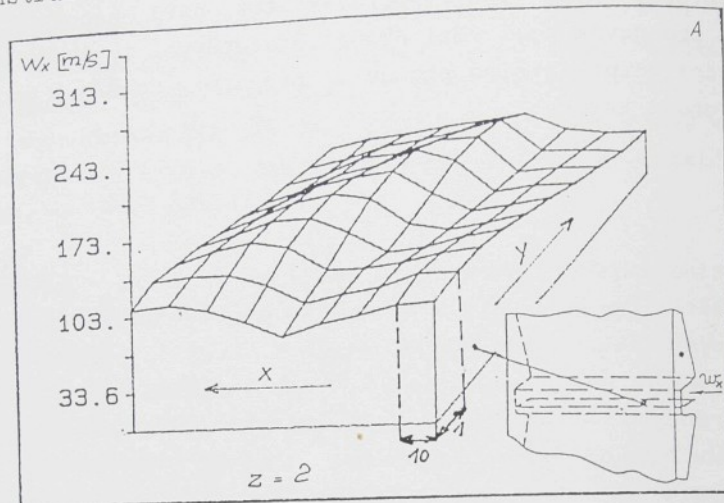
Obr.I-5.1 - I-5.5 v příloze I představují rychlostní profily ve vertikálních řezech x-z ( $y = -2, -1, 0, 1, 2, 3, 4, 5, 6, 7$ ). Pod každým rychlostním profilem jsou zobrazeny odpovídající izočáry rychlosti ( $w_x = \text{konst.}, 12 \text{ izočar}$ ). Příklad rychlostního profilu ve vertikálním řezu x-z je na obr.6.14a a 6.14b.

Obr.I-6.1 - I-6.5 v příloze I představují rychlostní profily a profily intenzity turbulence v příčných řezech y-z ( $x = 0, 10, 20, 30, 40, 50, 60, 74, 80$ ). Příklad je uveden na obr.6.15a a 6.15b.

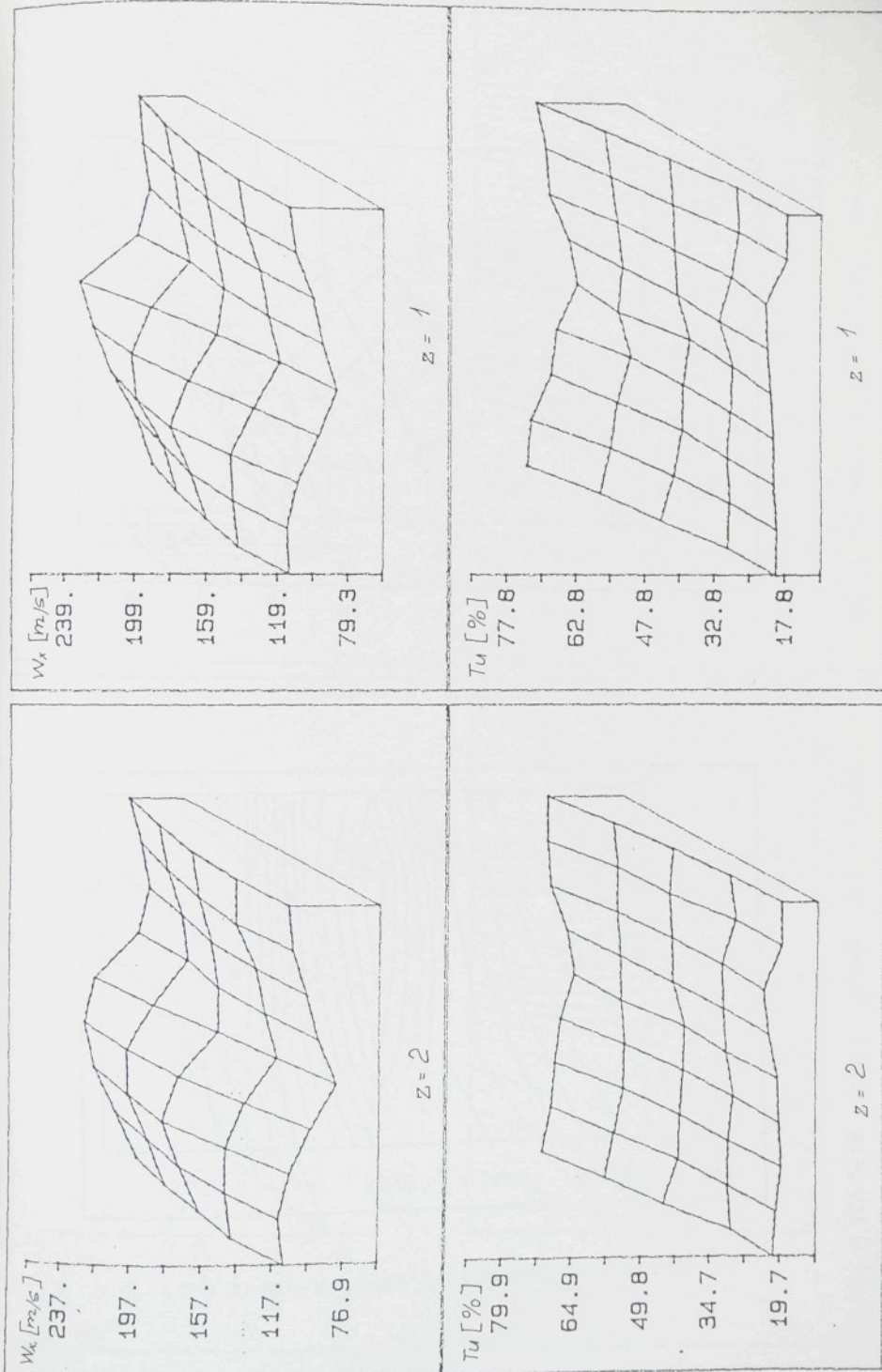


Obr. 6.12b Příklad rychlostního profilu v horizontálním řezu x-y.

Instrukční obrázek:

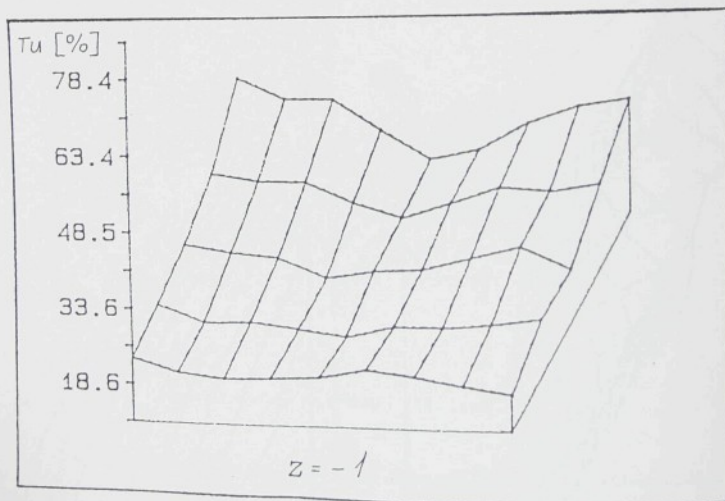
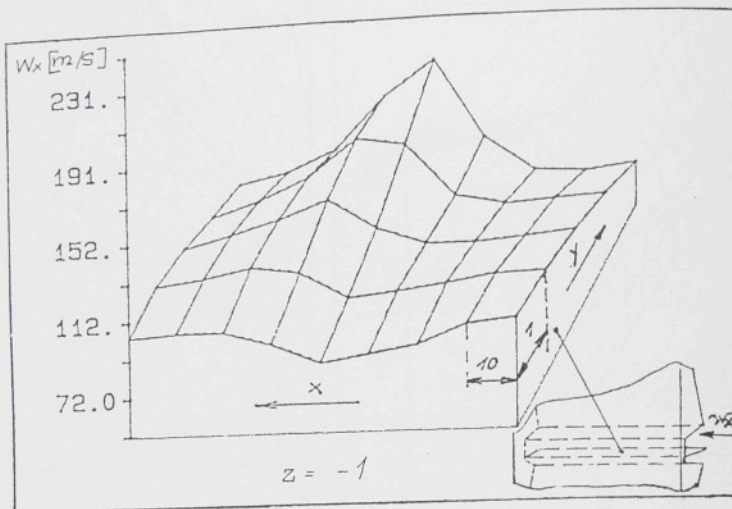


Obr. 6.12a Instrukční obrázek - řez x-y.



Obr. 6.13b Příklad rychlostního profilu v horizontálním řezu x-y ( $y \epsilon < -2, 2>$ ).

Instrukční obrázek:

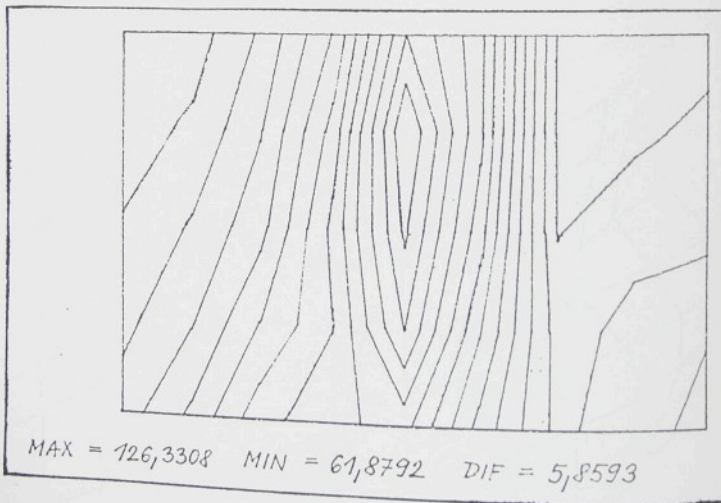
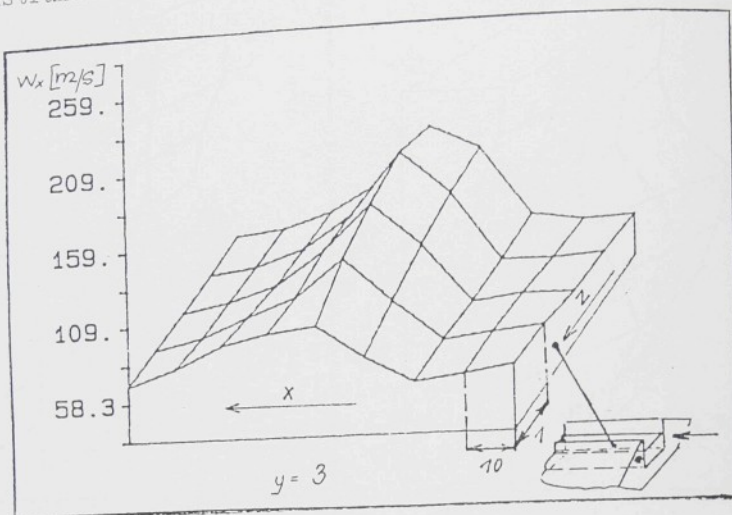


Obr. 6.13a Instrukční obrázek - řez x-y.

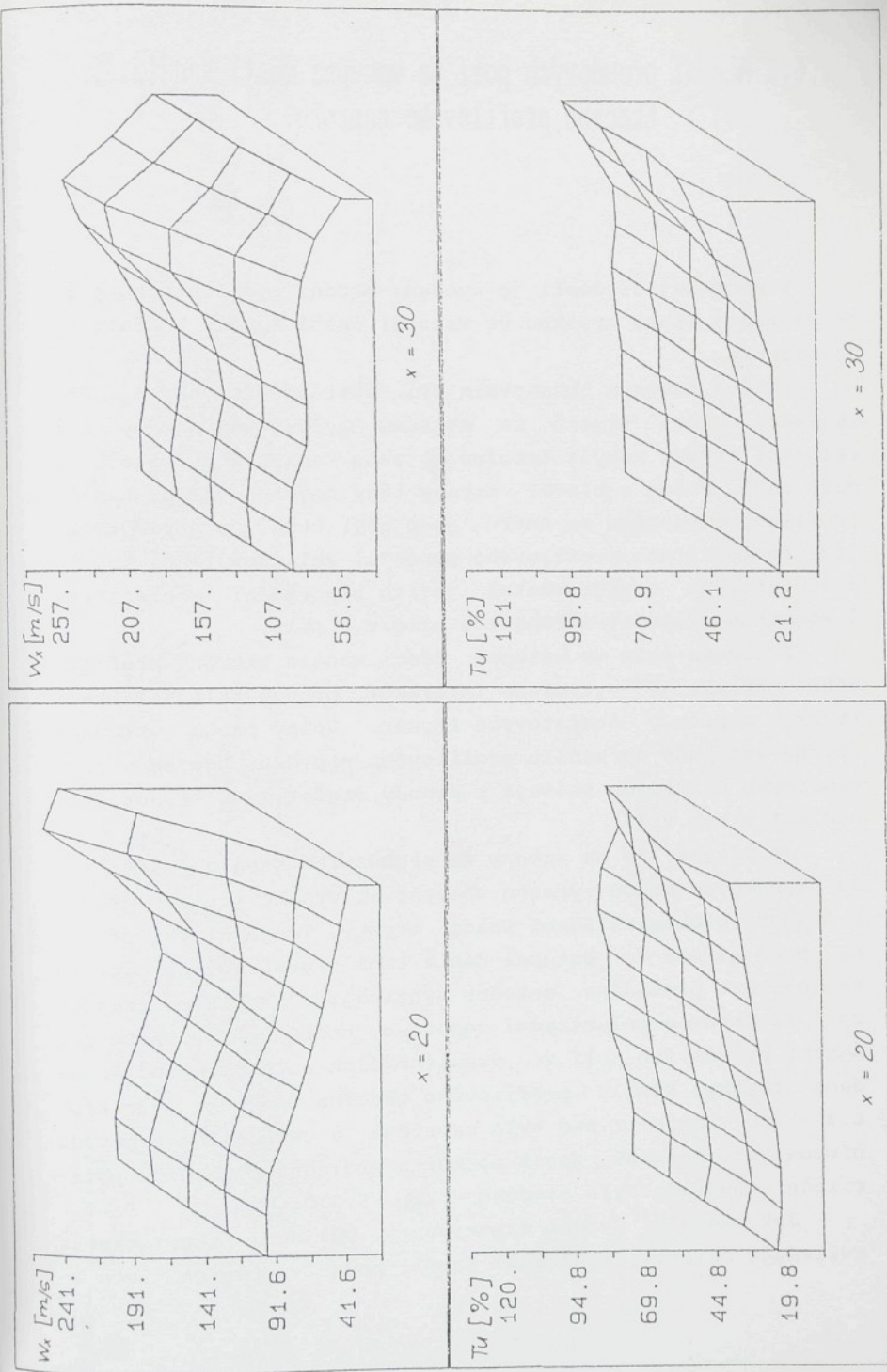


Obr. 6.14b Příklad rychlostního profilu ve vertikálním řezu  $x-z$ .

Instrukční obrázek:

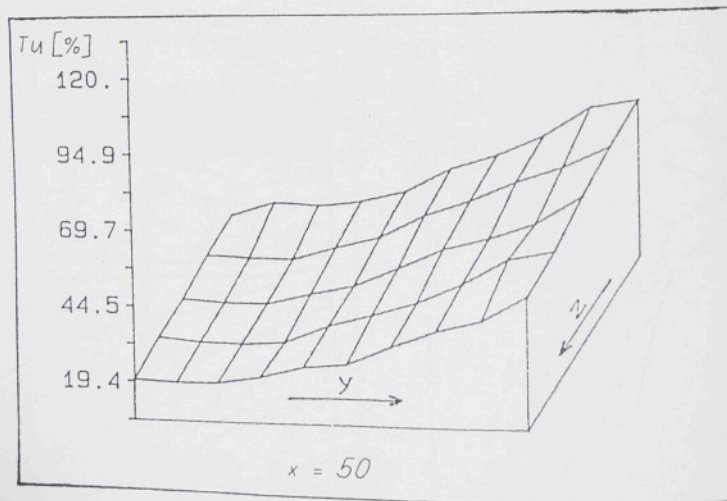
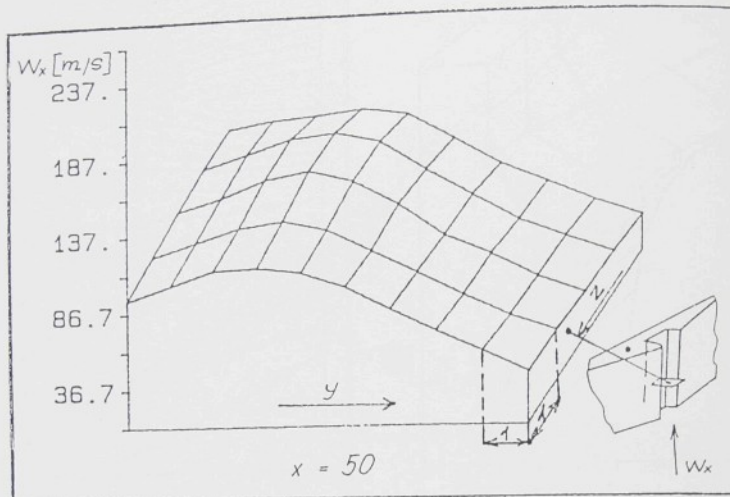


Obr. 6.14a Instrukční obrázek - řez x-z.

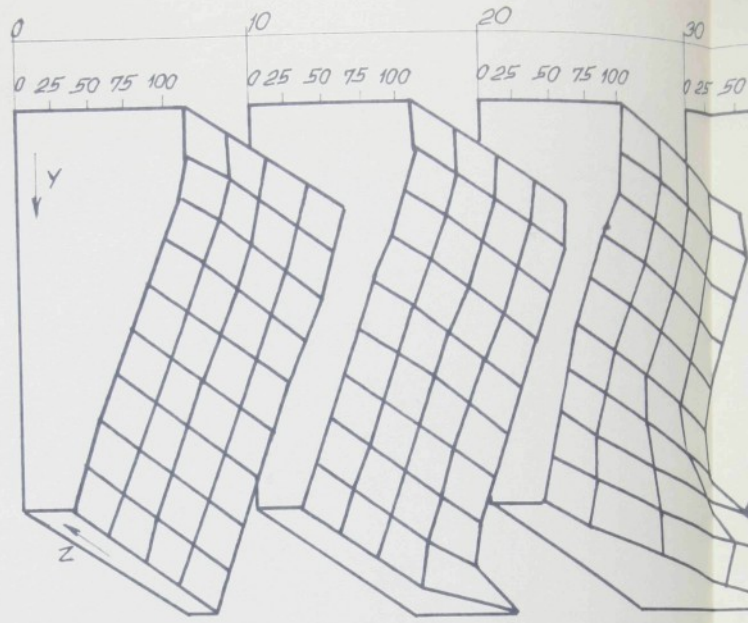


Obr. 6.15b Příklad rychlostního profilu a profilu intenzity turbulence v příčném řezu y-z.

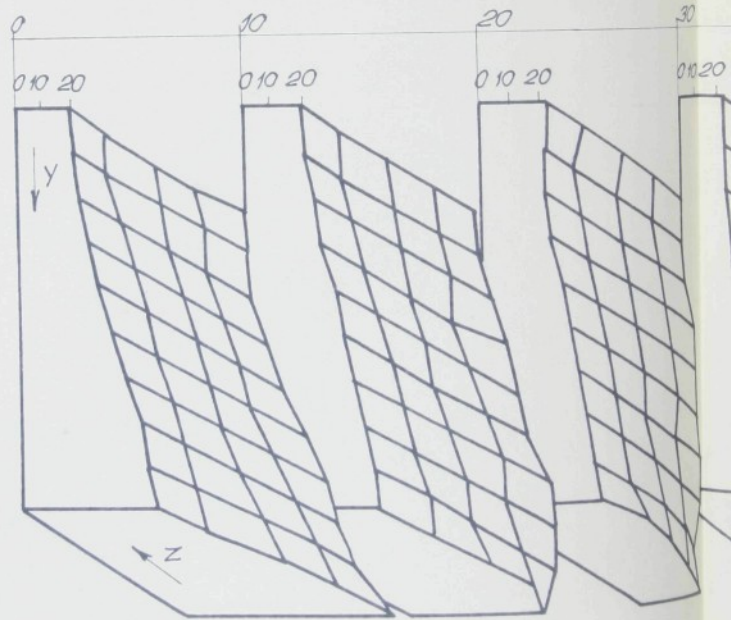
Instrukční obrázek:



Obr. 6.15a Instrukční obrázek - řez y-z.



## RYCHLOST [m/s]



## INTENSITA TURBULENCE

### 6.3 Měření proudových polí ve vstupní části kanálu tkacího profilového paprsku.

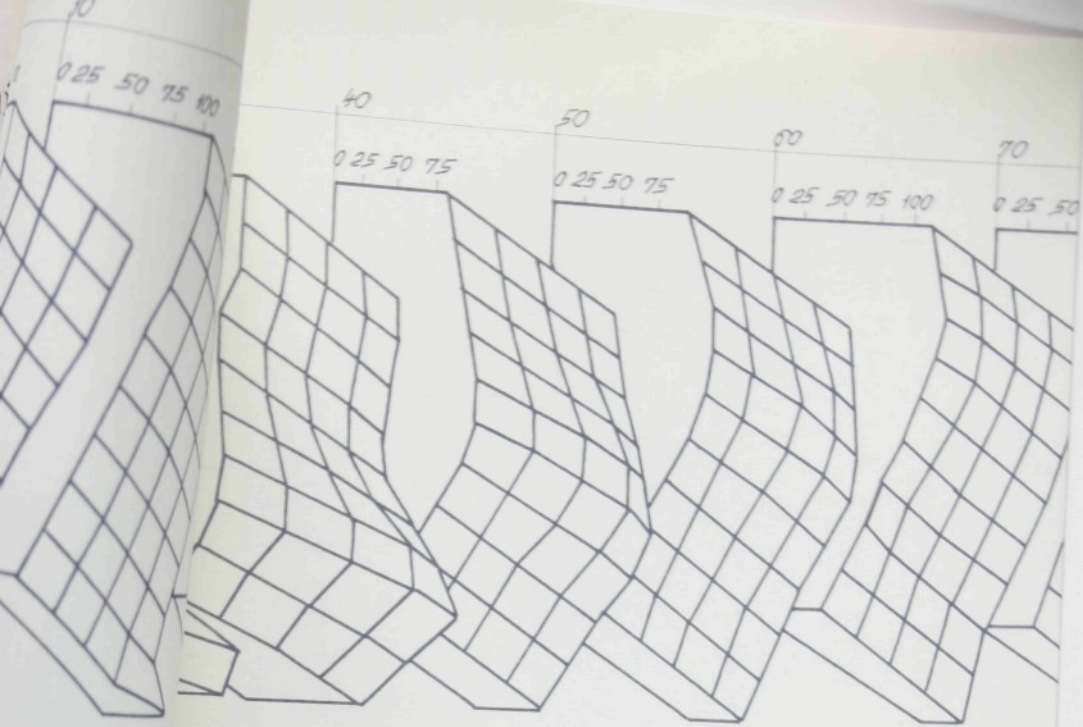
V následující části je uvedeno měření rychlostního pole za vkládací tkací tryskou ve vstupní části kanálu profilového paprsku.

Měřená sestava obsahovala tři štafetové trysky a jednu vkládací tkací trysku ze systému čtyřbarevné záměny. Osa vkládací trysky nebyla totožná s osou kanálu a svírala s ní malý úhel. Proud z hlavní trysky tedy nevstupoval do kanálu profilového paprsku ve směru jeho osy. Detailní popis týkající se použitého profilového paprsku, vkládací tkací trysky a štafetových trysek včetně jejich uspořádání a nastavení i souhrnné výsledky měření lze nalézt v [81].

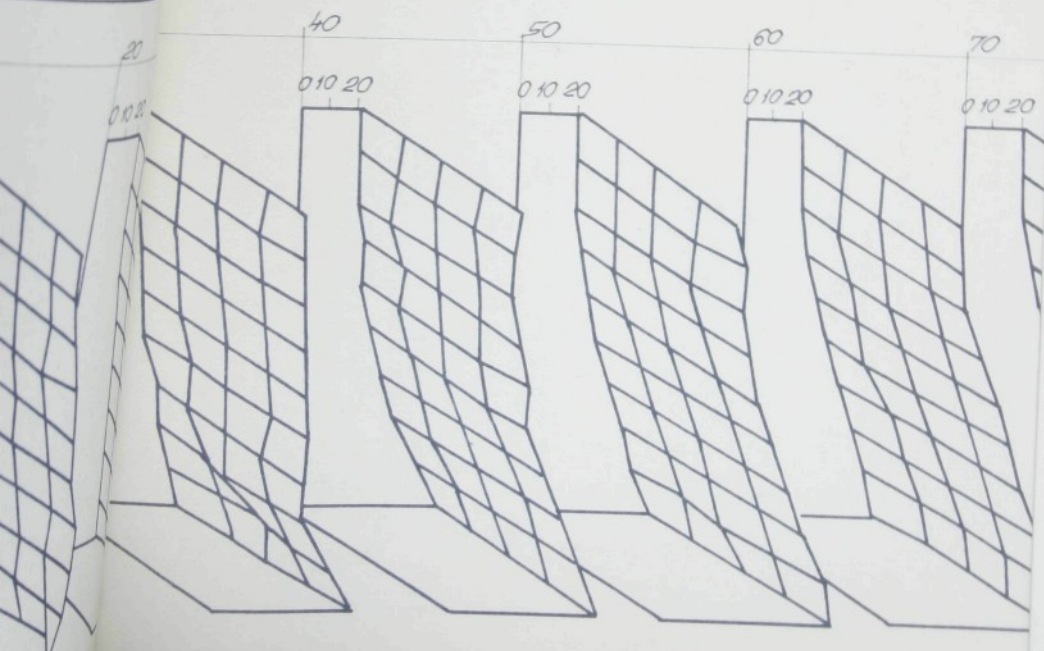
Proudové pole ve vstupní části kanálu tkacího profilového paprsku je vytvářeno interakcí proudu vkládací tkací trysky s proudy štafetových trysek. Volný proud vkládací trysky vstupuje do kanálu profilového paprsku, kde se v pravidelných roztečích směšuje s proudy štafetových trysek (viz obr.1.1 v kap.1.1).

Je zřejmé, že na vstupu do prohozniho kanálu profilového paprsku se budou výrazně uplatňovat vysoké (transsonické) rychlosti proudu vkládací tkací trysky. To je hlavní příčina, proč měření ve vstupní části kanálu profilového paprsku nemohla být prováděna metodou využívající kombinaci prostorové filtrace a polarizační separace, která byla použita pro měření proudových polí ve „vzdálenějších“ oblastech (od vkládací trysky) kanálu profilového tkacího paprsku (viz kap. 6.2). Pro tento případ byla navržena a ovědčila se metoda mimoosového snímání, jejíž rozbor a srovnání s metodou polarizační separace bylo uvedeno v kap. 5.7.2.

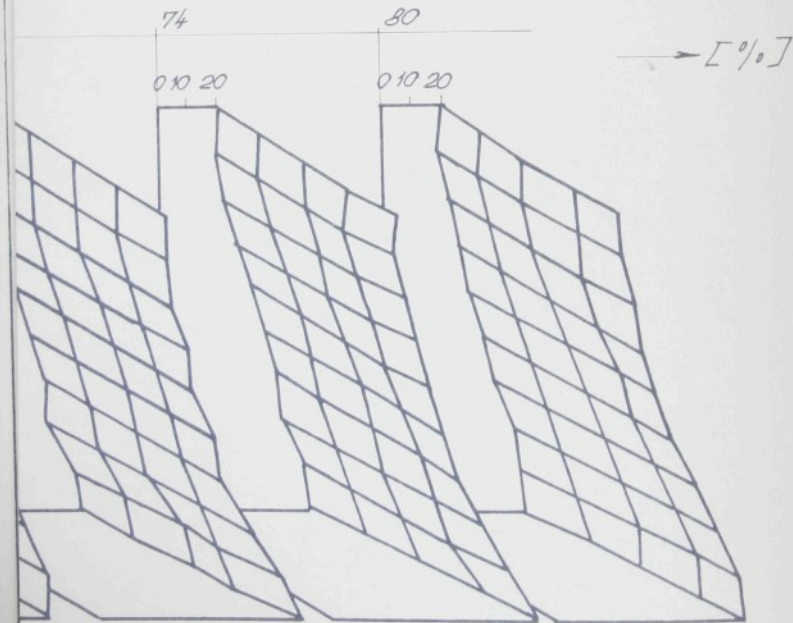
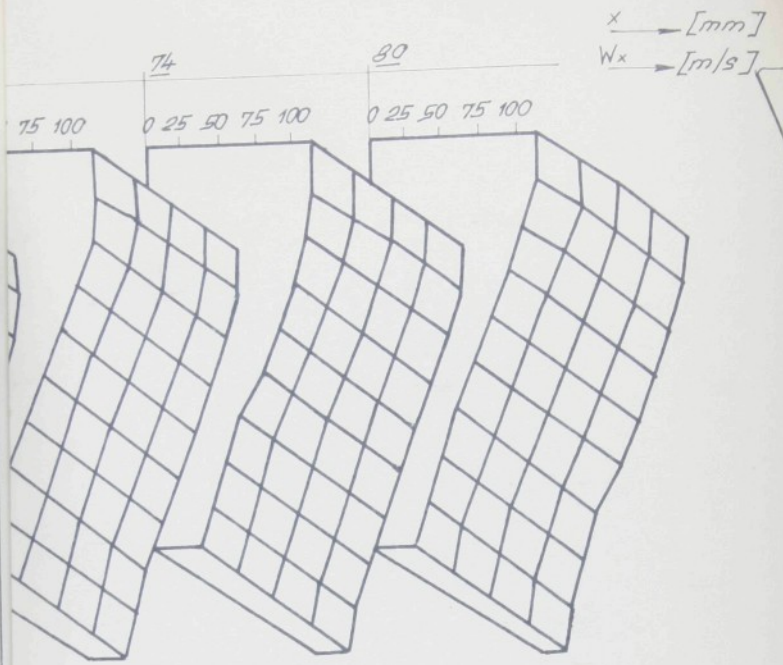
Jak ukázaly úvodní experimenty, vkládací tkací tryska ovlivňuje celkový rychlostní profil pouze v prvních třech až



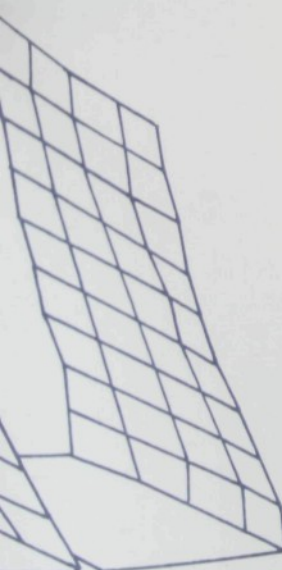
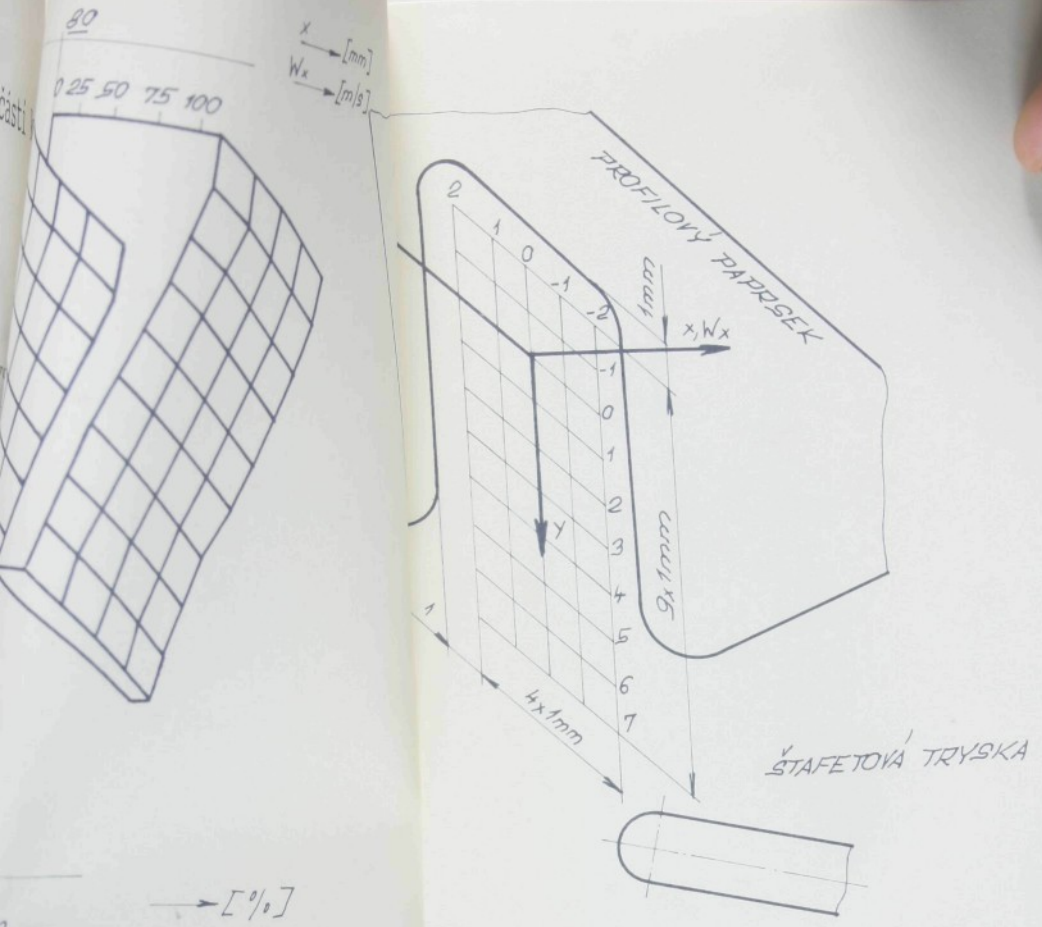
CHLOST



TURBULENCE [%]



**PROUJOVÉ POLE**



EKSPLOZIONOVÉ POLE V PROFILOVÉM PAPRŠKU

čtyře  
v dal  
vysle  
proud  
prová

1

J  
(40% z  
proud  
ny do  
kap. 5)

čtyřech roztečích štafetových trysek (viz např. obr. 6.11). V další části profilového paprsku se již jeji působení na výsledný rychlostní profil neuplatní. Proto byla měření proudových polí ve vstupní části kanálu profilového paprsku prováděna v prvních třech roztečích štafetových trysek.

Podmínky měření byly následující:

tlak přívodního vzduchu: 400 kPa

výkon argonového laseru: 500 mW

vlnová délka: 514.5 nm

parametry vysilacího objektivu:

ohnisková vzdálenost: F.D. = 250.1 mm

úhel protinání paprsků:  $\Theta = 11.16^\circ$

rozteč proužků:  $d_f = 2.67 \mu\text{m}$

počet proužků:  $N_{FR} = 42$

délka optické sondy:  $l_m = 1.2 \text{ mm}$

průměr optické sondy:  $d_m = 0.1 \text{ mm}$

parametry přijímacího objektivu:

ohnisková vzdálenost:  $f = 380 \text{ mm}$

úhel snímání:  $\phi = 45^\circ$

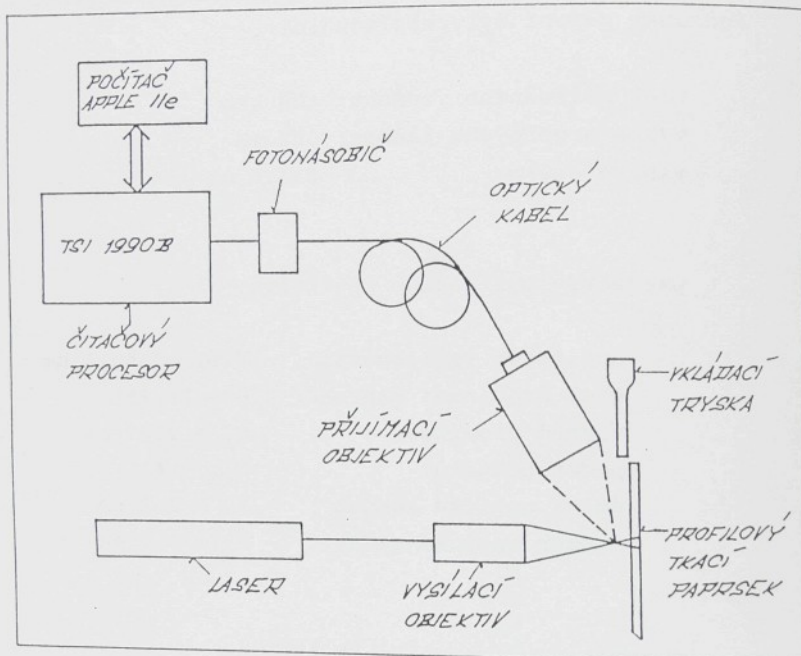
efektivní délka optické

sondy (pozorovaná délka):  $l'_m \approx 0.3 \text{ mm}$

Jako rozptylové medium se používal aerosol glycerínu (40% roztok glycerínu a vody). Z důvodu rovnoramenného sycení proudu byly částice glycerínu z generátoru aerosolu dopraveny do tlakového vzduchu před vstupem do trysek (viz kap. 5.6.).

Schéma uspořádání měření je znázorněno na obr.6.17.

vzdá  
obje

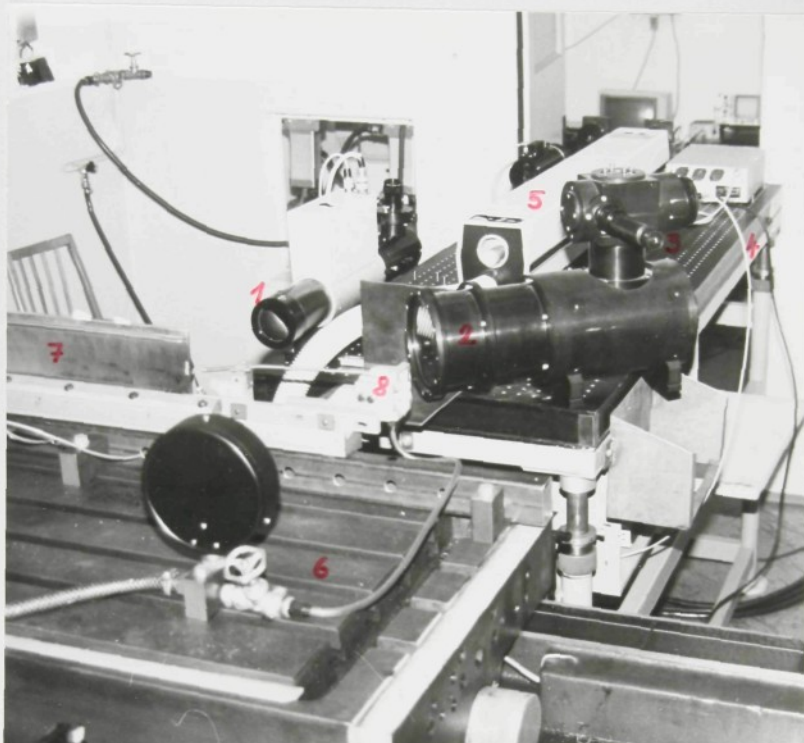


Obr.6.17 Schéma uspořádání měření (mimoosové snímání) ve vstupní části kanálu profilového tkacího paprsku.

Vysilací a přijímací části laserového anemometru byly v tomto případě odděleny. Celkové optické uspořádání je zobrazeno na obr.6.18. a detail konfigurace mimoosového snímání pak na obr.6.19.

Optická sonda o délce cca 1.2 mm byla vytvořena vysílacím objektivem TSI 1 o ohniskové délce F.D. = 250.1 mm. Světlo rozptýlené na částicích glycerinu bylo přijímáno spezálním přijímacím objektivem 2 (viz kap. 5.7.2). Osy vysílacího a přijímacího objektivu svirají úhel 45°. Ohnisková

vzdálenost přijímacího objektivu je 380 mm a průměr 130 mm.  
Objektiv zajišťuje velmi dobrou prostorovou filtraci.

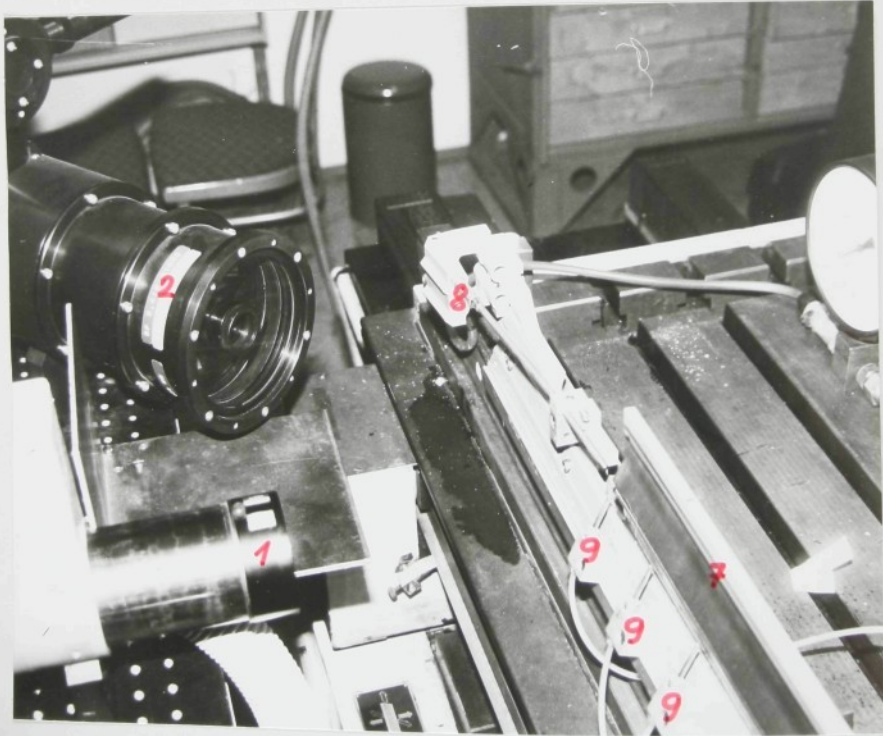


Obr.6.18 Optické uspořádání měření proudového pole ve vstupní části kanálu profilového tkacího paprsku.

- 1 - vysílaci objektiv
- 2 - přijímací objektiv
- 3 - justážní dalekohledová lupa
- 4 - optický kabel
- 5 - argonový laser
- 6 - traverzovací stůl
- 7 - tkací profilový paprsek
- 8 - vkládací tkací tryska
- 9 - štafetové trysky (viz obr.6.19)

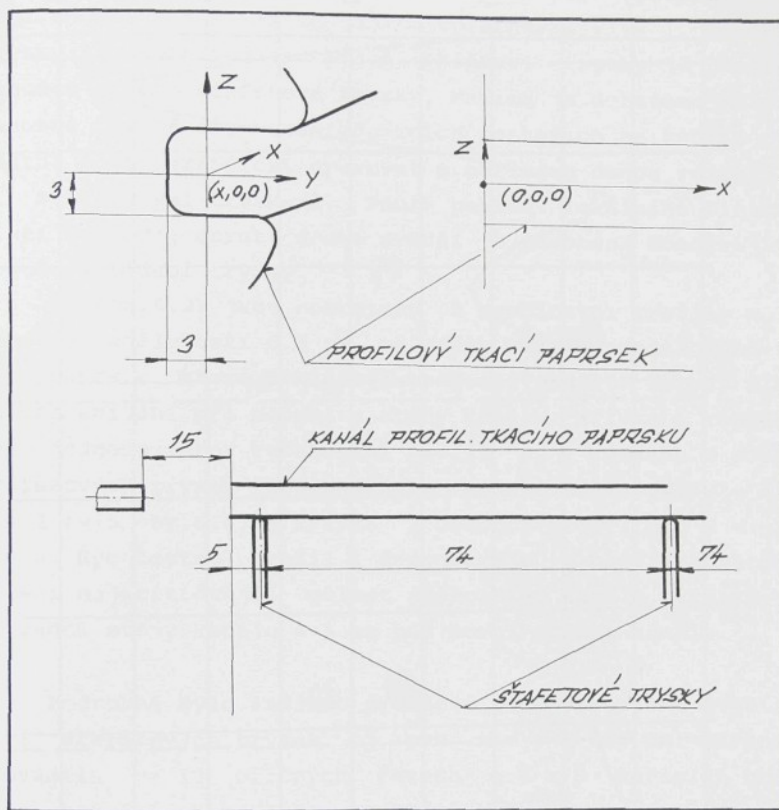
Přijímací objektiv byl zaostřen na optickou sondu vy-tvořenou vysílacím objektivem 1 pomocí speciální dalekohledo-vé lupy 3. Kontrolu justáže bylo tak možné provádět i během měření. Rozptýlené světlo z optické sondy je soustředěno přijímacím objektivem 2 do optického vlákna o průměru 0.2 mm a přivedeno optickým kabelem 4 na fotonásobič. Vyhodnocení dopplerovského signálu se provádělo pomocí čitačového procesoru TSI 1990B.

Optické uspořádání mimoosového snímání dle obr.6.19 umožnilo velmi dobrou prostorovou filtraci světla odraženého od stěny kanálu profilového paprsku, takže bylo možno měřit i v minimální vzdálenosti 0.5 mm od stěny kanálu profilového paprsku (viz obr.6.22). Současně se díky bočnímu snímání optické sondy zkrátila její délka z 1.2 mm na efektivní délku cca 0.3 mm.



Obr.6.19 Realizace mimoosového snímání.

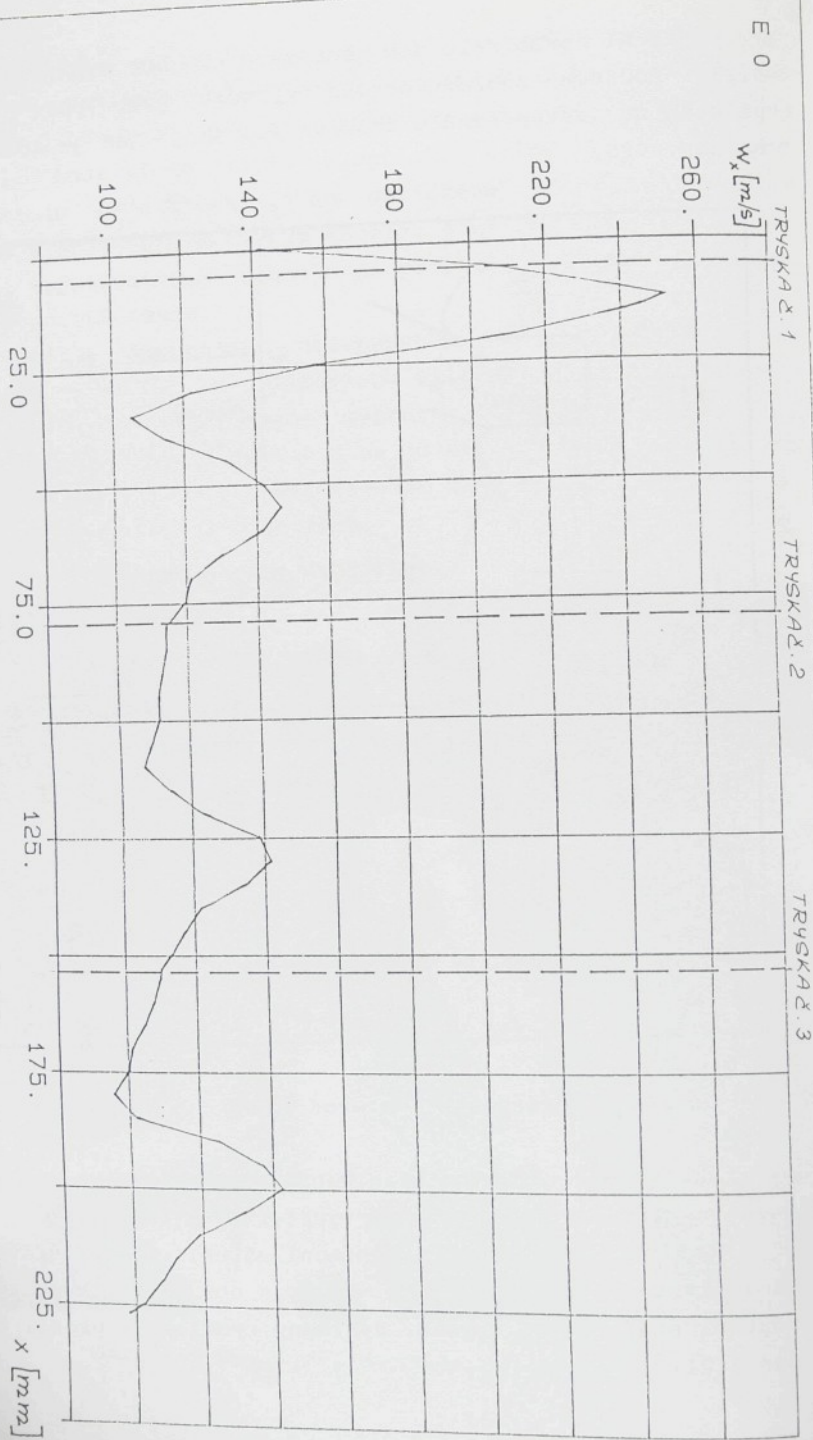
Měření probíhalo dle schématu na obr. 6.5 (viz. kap. 6.2). Počátek souřadnicového systému (viz obr. 6.5) byl umístěn na vstup kanálu tkacího paprsku, jak je znázorněno na obr. 6.20.



Obr. 6.20 Měřená sestava profilového paprsku.

Úkolem měření bylo stanovení dominantního rychlostního pole ve směru prohozu (složka rychlosti  $w_x$ ).

Nejprve se provedlo orientační měření v jedné traverzaci přímce  $x$  pro  $y = 1$ ,  $z = 0$  (viz obr. 6.5) v rozsahu 3 roztečí štafetových trysek. Výsledný rychlostní profil je na obr. 6.21.



... neží v  $(y = 1, z = 0)$ .

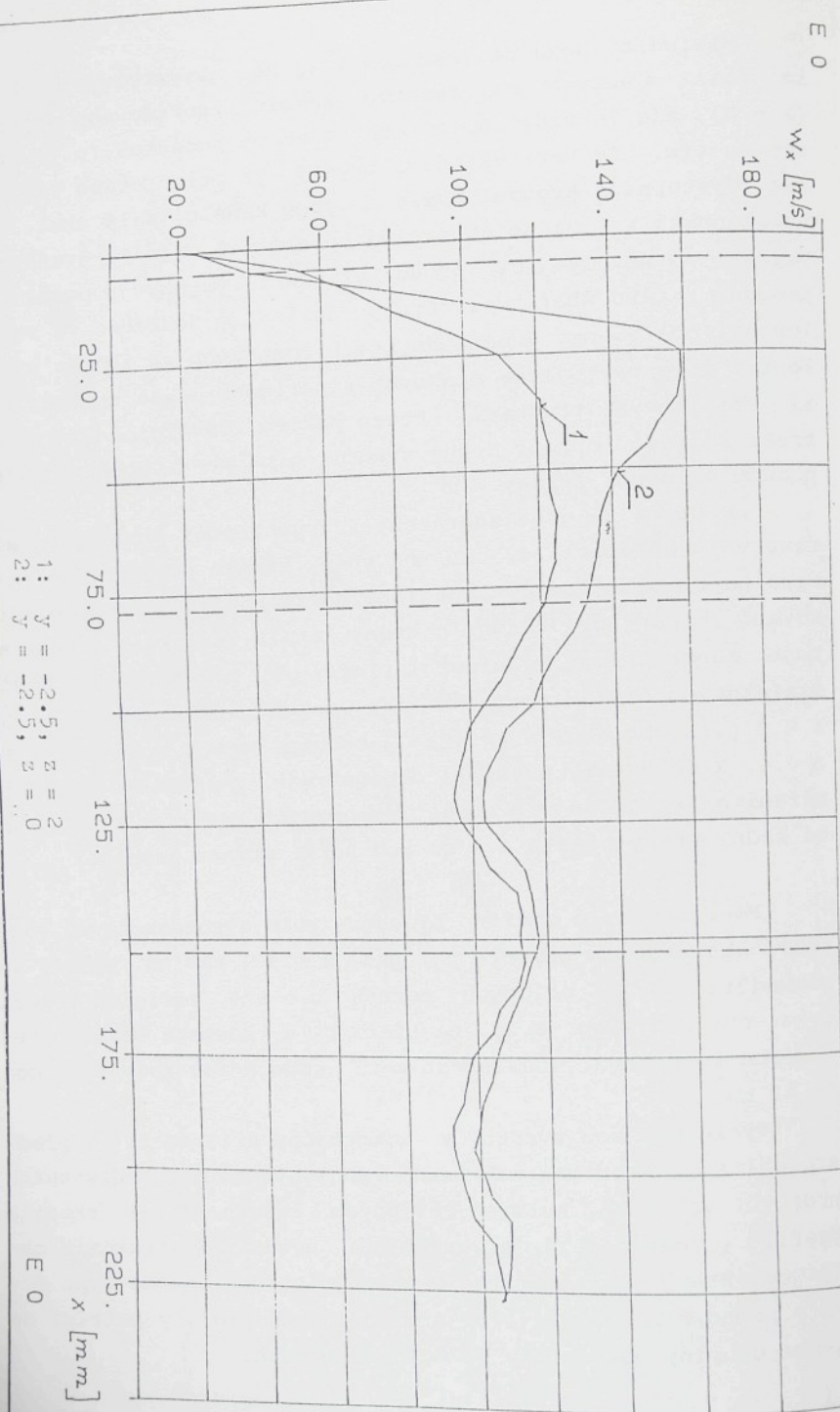
se  
(x =  
sobe  
osa  
vzdá  
trys  
prou  
lenc  
lost  
zi  
třet  
prou  
  
řene  
ciho  
sove  
tuje  
šta  
z =  
z =  
měr  
od  
  
teč  
pro  
(vi  
nom  
12.  
  
sta  
pro  
pro  
ráz  
zu  
jed

Maximální hodnota rychlosti  $w_x$  se nevyskytuje, jak by se dalo očekávat, na začátku kanálu profilového paprsku ( $x = 0$ ), ale ve vzdálenosti cca 12 mm od počátku. To je způsobeno tím, že ústí vkládací trysky je orientováno tak, že osa výstupního proudu svírá s osou kanálu malý úhel. Ve vzdálenosti  $x = 34$  mm se začíná uplatňovat vliv 1. štafetové trysky a doznívající proud vkládací trysky je posilován proudem z této štafetové trysky. Maxima je dosaženo ve vzdálenosti cca 55 mm. V následujících roztečích se začíná rychlostní pole periodicky opakovat s periodou danou roztečí mezi štafetovými tryskami. Pouze pokles lokálního minima ve třetí rozteči oproti druhé svědčí o působení doznívajícího proudu vkládací trysky.

Na obr.6.22 jsou zobrazeny 2 rychlostní profily  $w_x$  měřené ve vzdálenosti 0.5 mm od stěny kanálu profilového tkačího paprsku, které dokládají možnosti použité metody mimoošového snímání při měření u stěny kanálu. Křivka 1 reprezentuje jednorozměrný rychlostní profil  $w_x$  v rozsahu 3 roztečí štafetových trysek (podobně jako na obr.6.21) pro  $y = -2.5$ ,  $z = 2$  (viz obr.6.5) a křivka 2 obdobný profil pro  $y = -2.5$ ,  $z = 0$ . Rychlostní profil 1 demonstruje z hlediska metodiky měření nejkritičtější oblast prohozniho kanálu, tj. 0.5 mm od zadní stěny kanálu a 1 mm pod horní stěnou kanálu.

Podrobně bylo změřeno proudové pole v rozsahu dvou roztečí štafetových trysek tj. pro  $x = 0 - 148$  mm. Měření se prováděla ve 13 příčných řezech o  $5 \times 9$  měřicích bodech (viz. obr.6.5, kap. 6.2), na které byla zkoumaná oblast rovnoměrně rozdělena. Vzdálenost mezi sousedními řezy byla cca 12.32 mm.

Výsledky jsou uvedeny v samostatné příloze II a představují axonometrická zobrazení rychlostních a turbulentních profilů ve třech kolmých rovinových řezech. Každá skupina profilů v daném řezu je vysvětlena úvodním instrukčním obrázkem, který udává měřítka a ukazuje polohu tohoto typu řezu v prohozni kanálu. Pro srovnání jsou profily patřící do jedné skupiny nakresleny ve stejném měřítku.



Obr. 6.22 Jednorozměrné rychlostní profily  $w_x$  0.5 mm od stěny

Obr.II-3.1 - II-3.5 v příloze II představují rychlostní profily v horizontálních řezech x-y ( $z = 2, 1, 0, -1, -2$ ). Každý řez je vyobrazen ve dvou rozdílných pohledech označených písmeny A a B. Pod každým rychlostním profilem jsou zobrazeny odpovídající izočáry rychlosti ( $w_x = \text{konst.}$ , 12 izočar). U izočar jsou uvedeny krajní hodnoty a rozteč (diference) mezi sousedními. Příklad rychlostního profilu v řezu x-y je na obr.6.23a a 6.23b.

Obr.II-4.1 - II-4.3 v příloze II představují rychlostní profily a profily intenzity turbulence v horizontálních řezech x-y ( $z = 2, 1, 0, -1, -2$ ) ve vnitřní části kanálu ( $y \in <-2, 2>$ ). Příklad tohoto rychlostního profilu je uveden na obr.6.24a a 6.24b.

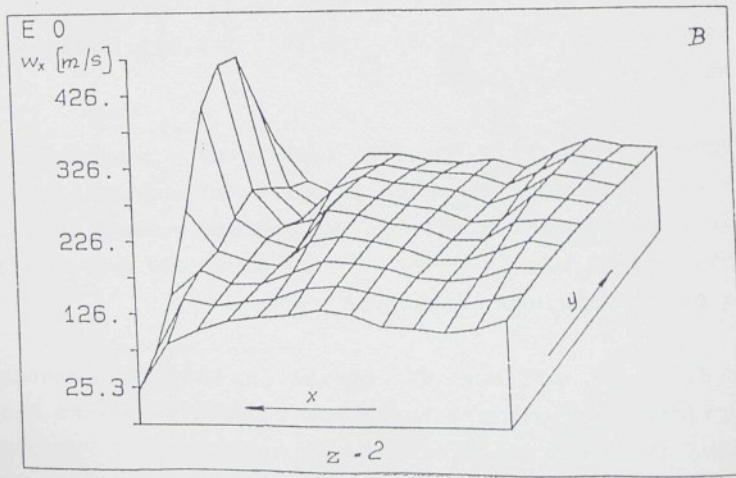
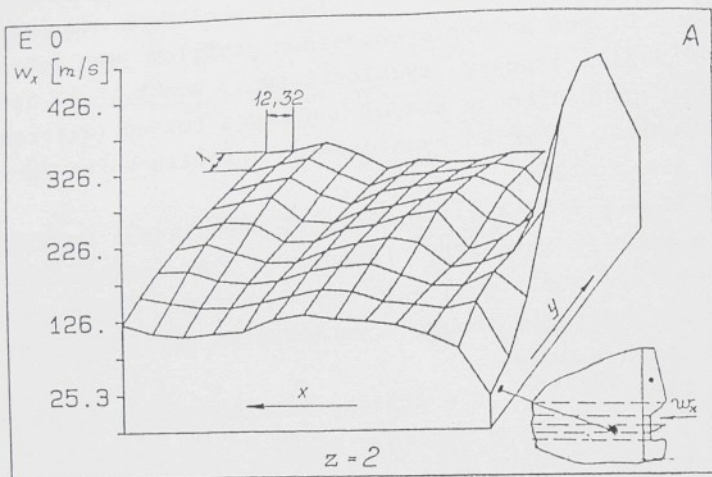
Obr.II-5.1 - II-5.5 v příloze II představují rychlostní profily ve vertikálních řezech x-z ( $y = -2, -1, 0, 1, 2, 3, 4, 5, 6$ ). Pod každým rychlostním profilem jsou zobrazeny odpovídající izočáry rychlosti ( $w_x = \text{konst.}$ , 12 izočar). Příklad rychlostního profilu ve vertikálním řezu x-z je na obr.6.25a a 6.25b.

Obr.II-6.1 - II-6.7 v příloze II představují rychlostní profily a profily intenzity turbulence v příčných řezech y-z ( $x = 0, 12.32, 24.66, 37.00, 49.32, 61.66, 74.00, 86.32, 98.66, 111.00, 123.32, 135.66, 148.00$ ). Příklad je uveden na obr.6.26a a 6.26b.

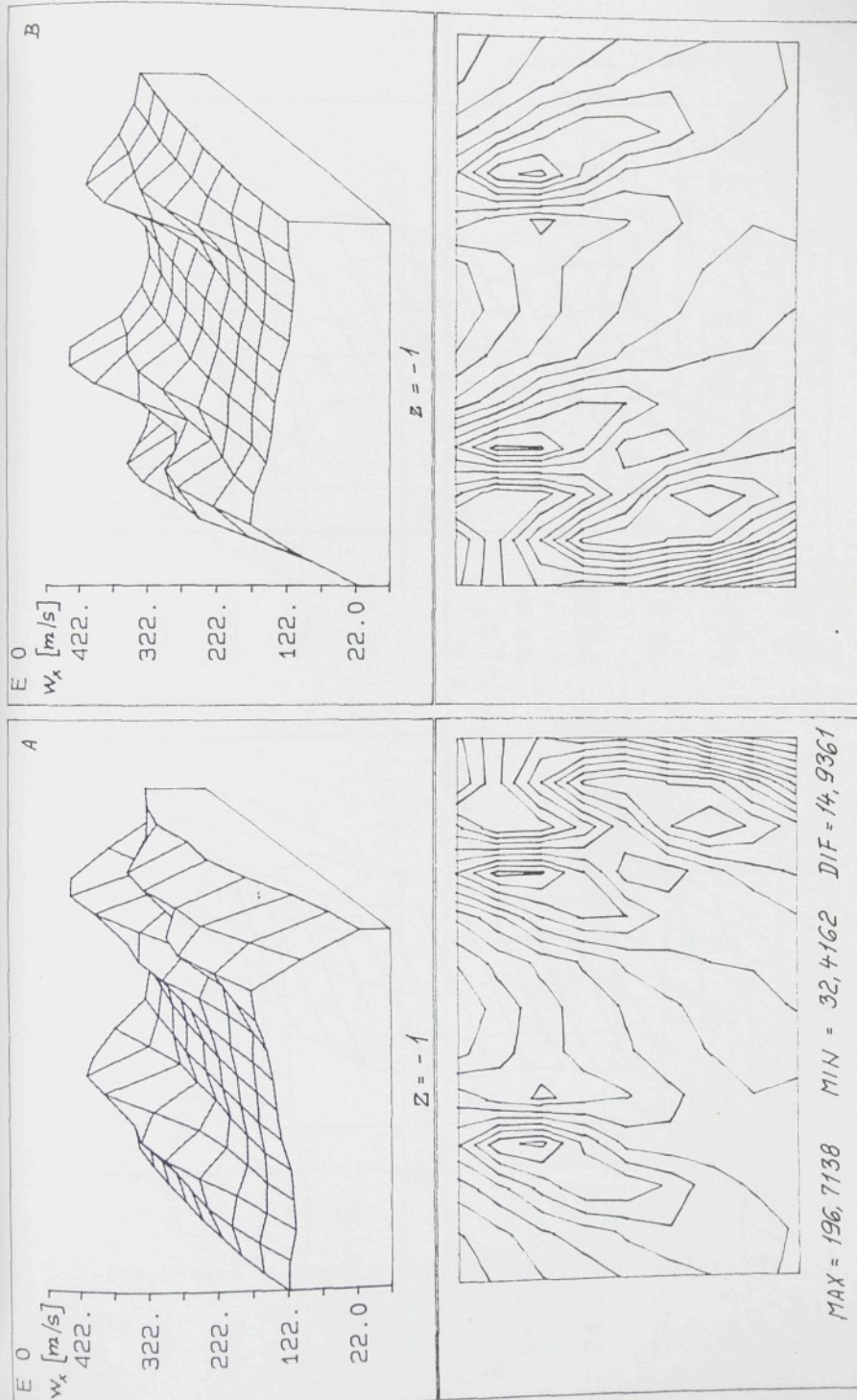
Příčný rychlostní profil (řez y-z) zobrazený na obr.6.27 ( $x = 0$ ) dobře demonstruje aplikační možnosti použité metody LDA. Střední rychlosti  $w_x$  změřené v tomto profilu se pohybují od 20 m/s ( $y = -2$ ,  $z = 2$ ) až do 300 m/s ( $y = 3$ ,  $z = 2$ ) a to na vzdálenosti pouhých 6 mm.

Obr.6.28 (v příloze II obr.II.7) ukazuje souhrnně všechny příčné rychlostní a turbulentní profily (příčné ředy y-z) a dává tak názornou představu o proudovém poli vytvořeném směšováním proudu vkládací tkací trysky v prohozním kanálu s proudy 1. a 2. štafetové trysky.

Instrukční obrázek:

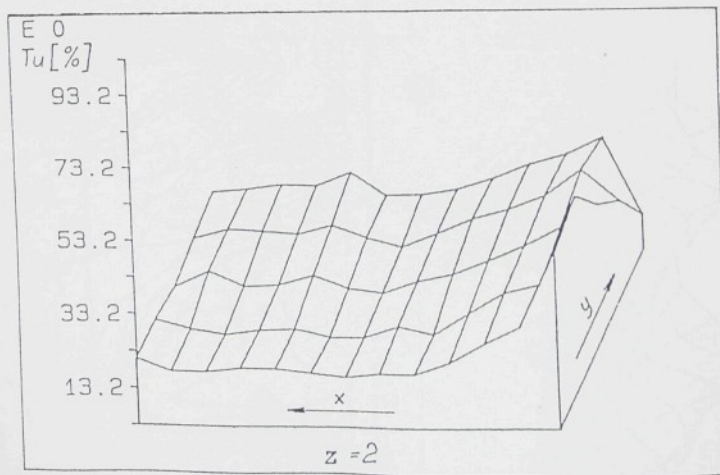
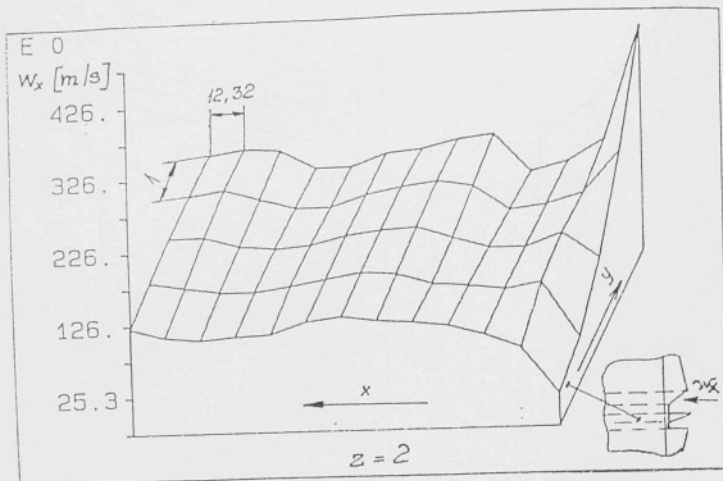


Obr. 6.23a Instrukční obrázek - řez x-y

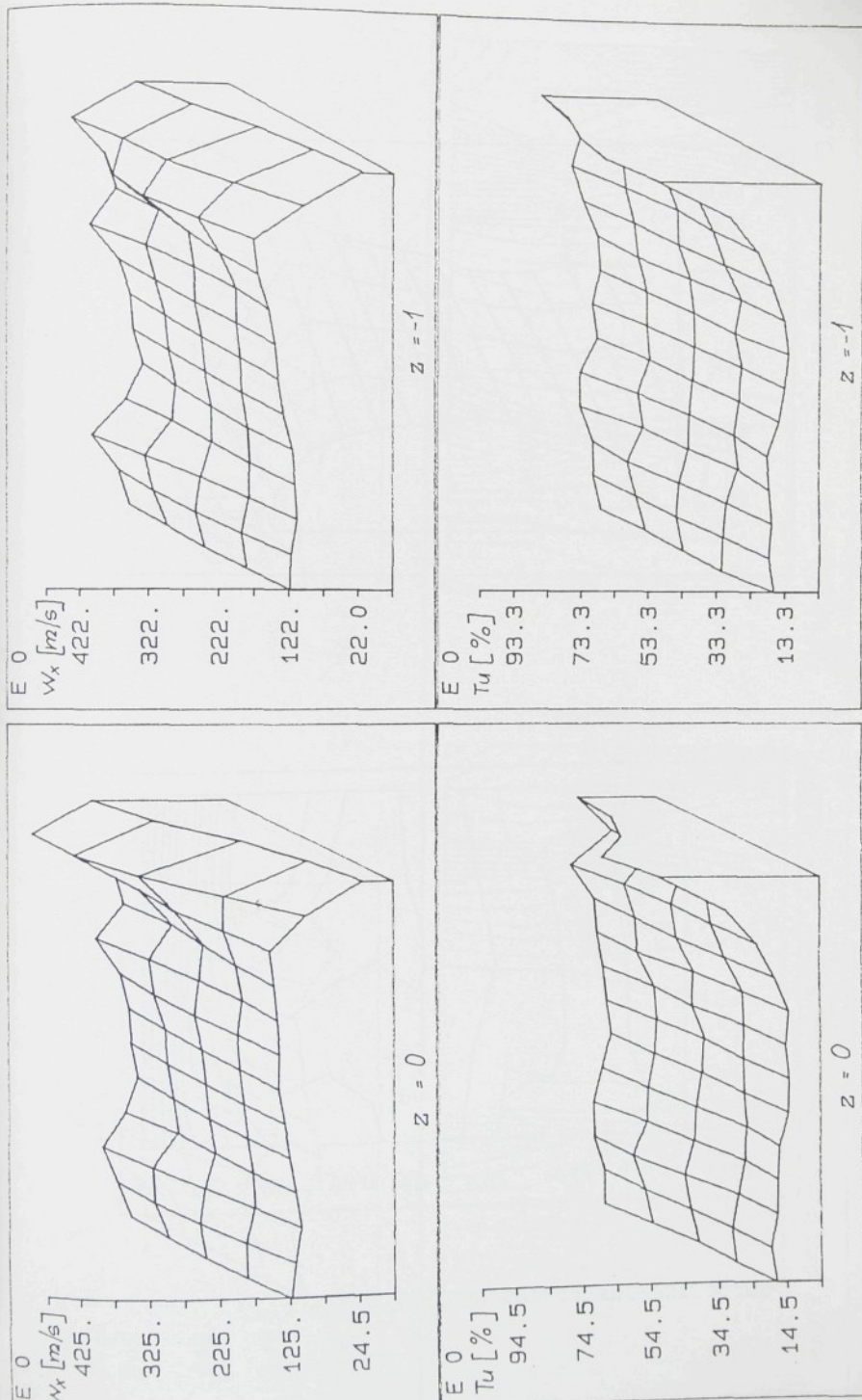


Obr. 6.23b Příklad rychlostního profilu v horizontálním řezu x-y.

Instrukční obrázek:

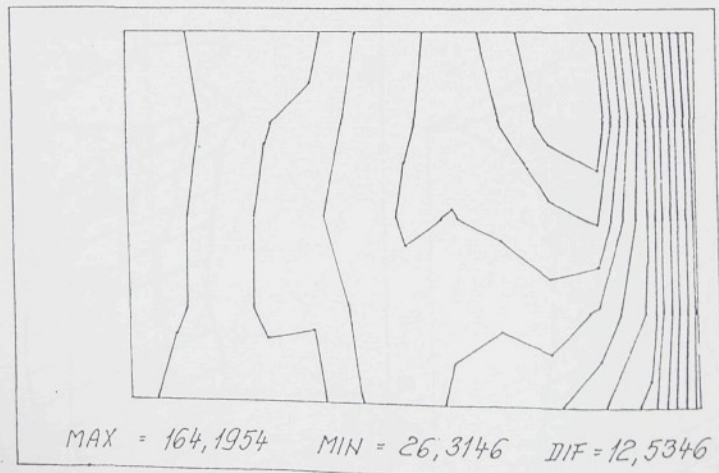
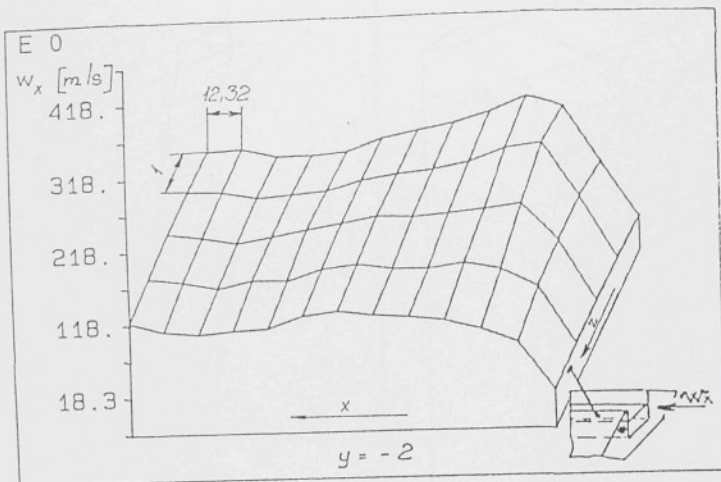


Obr. 6.24a Instrukční obrázek - řez x-y ( $y \in [-2, 2]$ ).

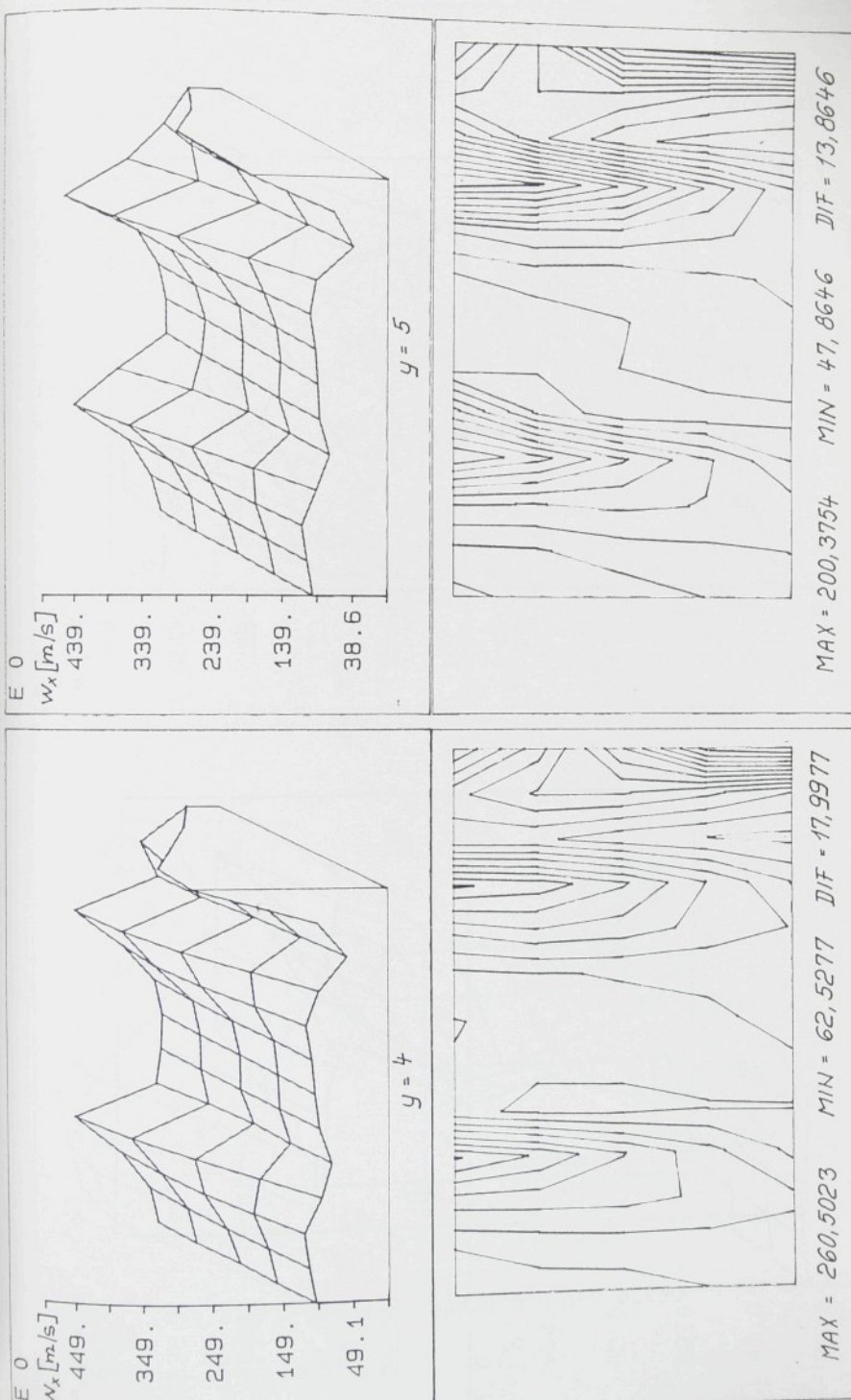


Obr. 6.24b Příklad rychlostního profilu v horizontálním řezu x-y ( $\gamma e < -2, 2>$ ).

Instrukční obrázek:

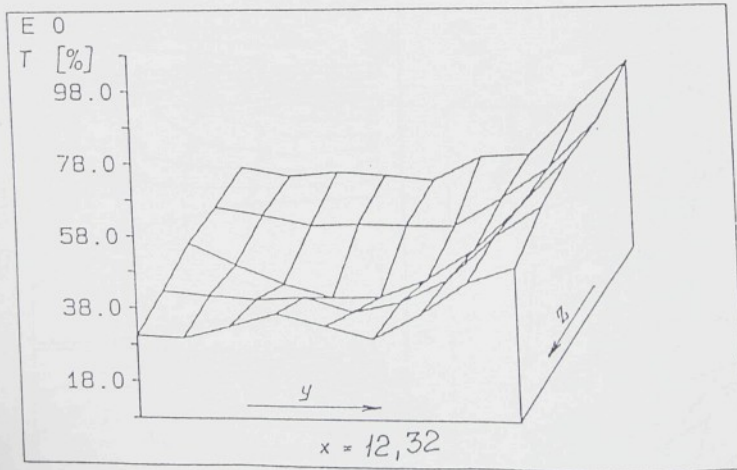
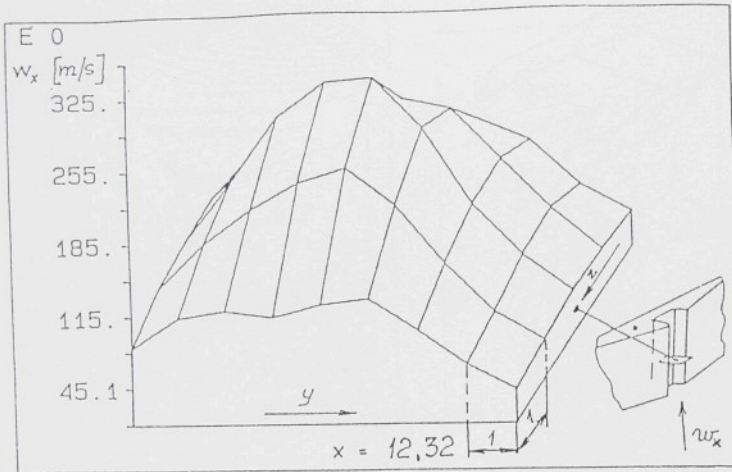


Obr.6.25a Instrukční obrázek - žez x-z.

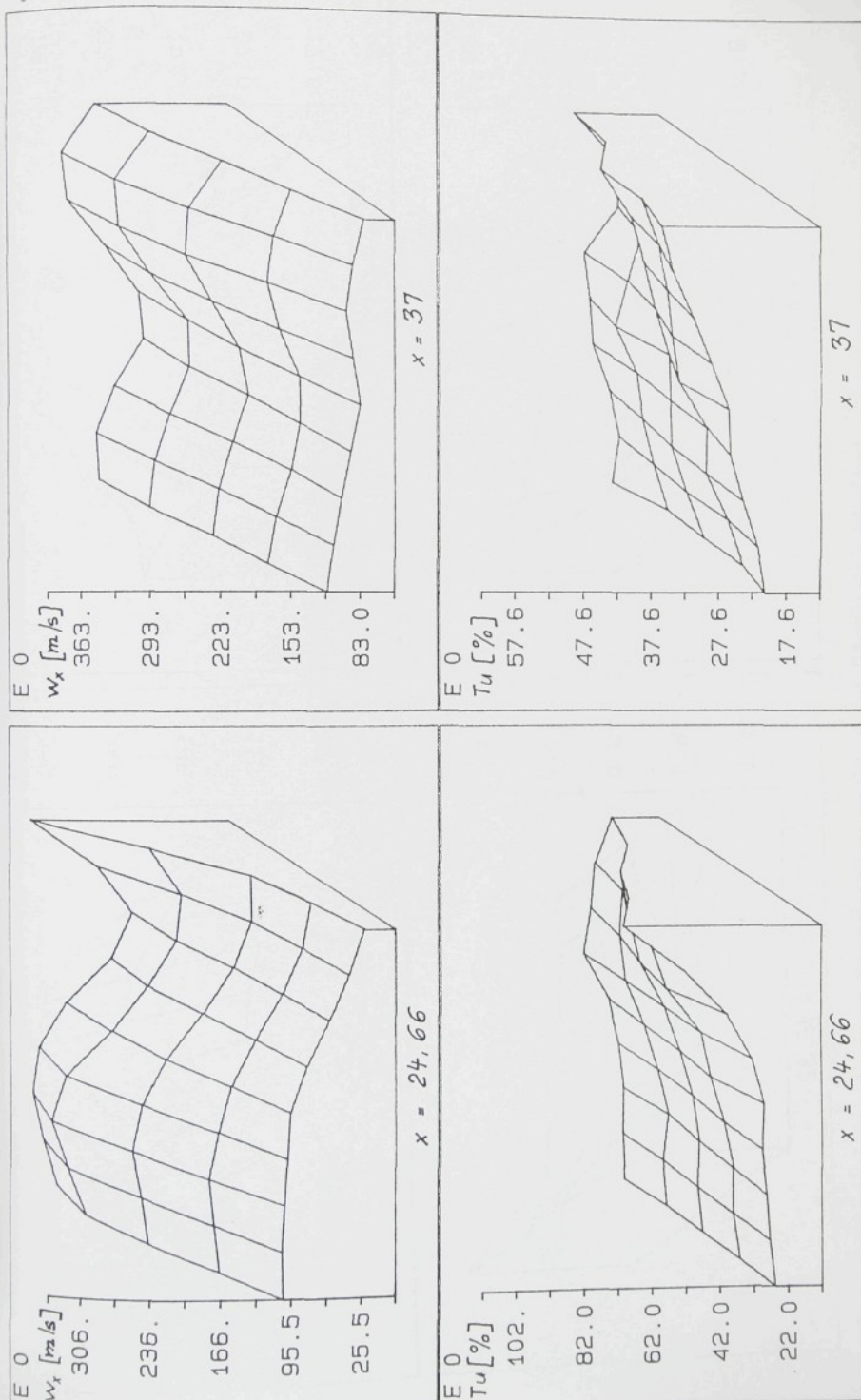


Obr. 6.25b Příklad rychlostního profilu ve vertikálním řezu  $x-z$ .

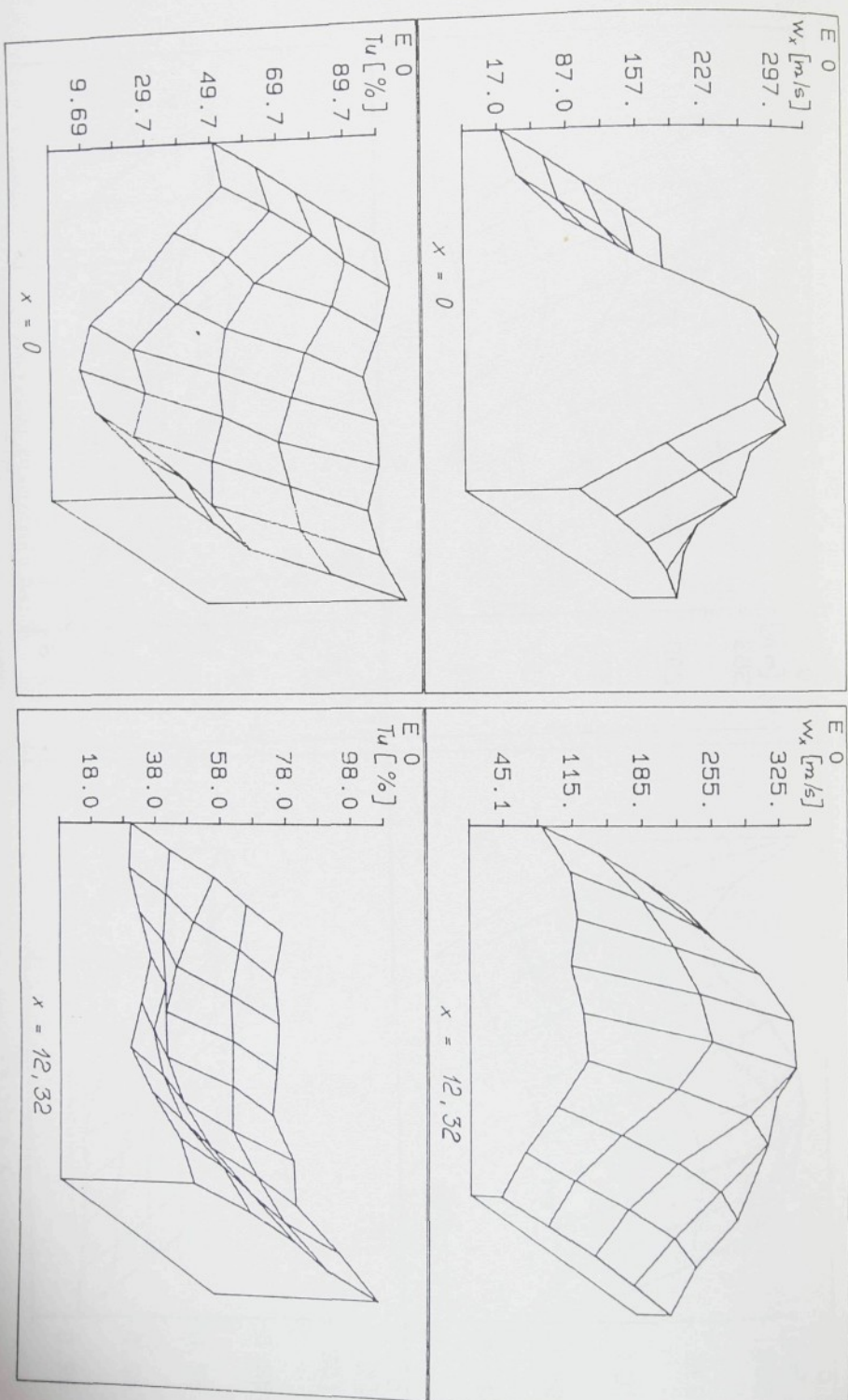
Instrukční obrázek:



Obr. 6.26a Instrukční obrázek - řez y-z.

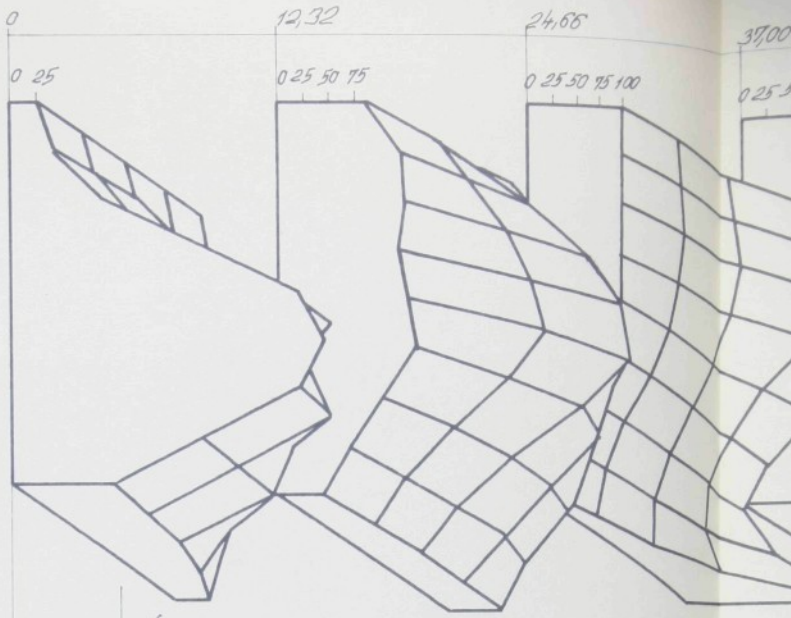


Obřr. 6.26b Příklad rychlostního profilu a profiliu intenzity turbulenze v příčném řezu y-z.



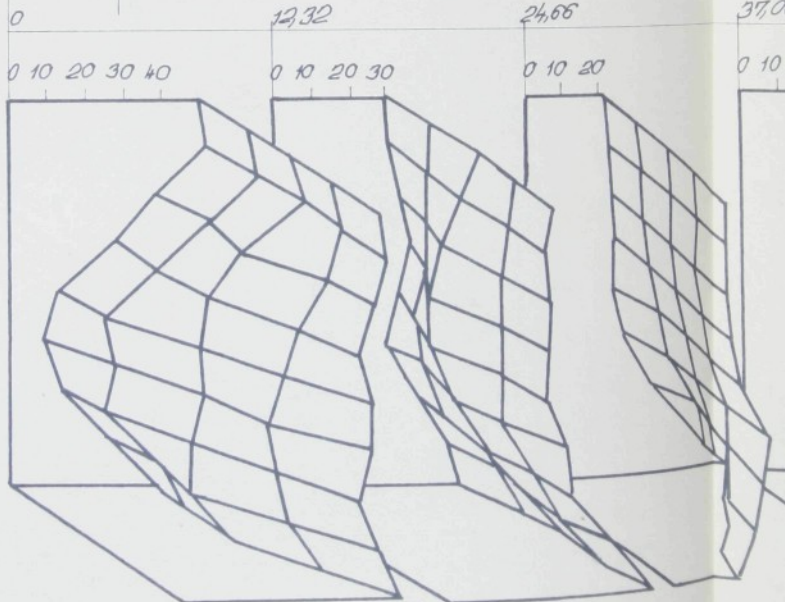
Obr. 6.27 Příklad rychlostního profilu v příčném řezu y-z

HLAVNÍ VKLÁZACÍ TRYSKA

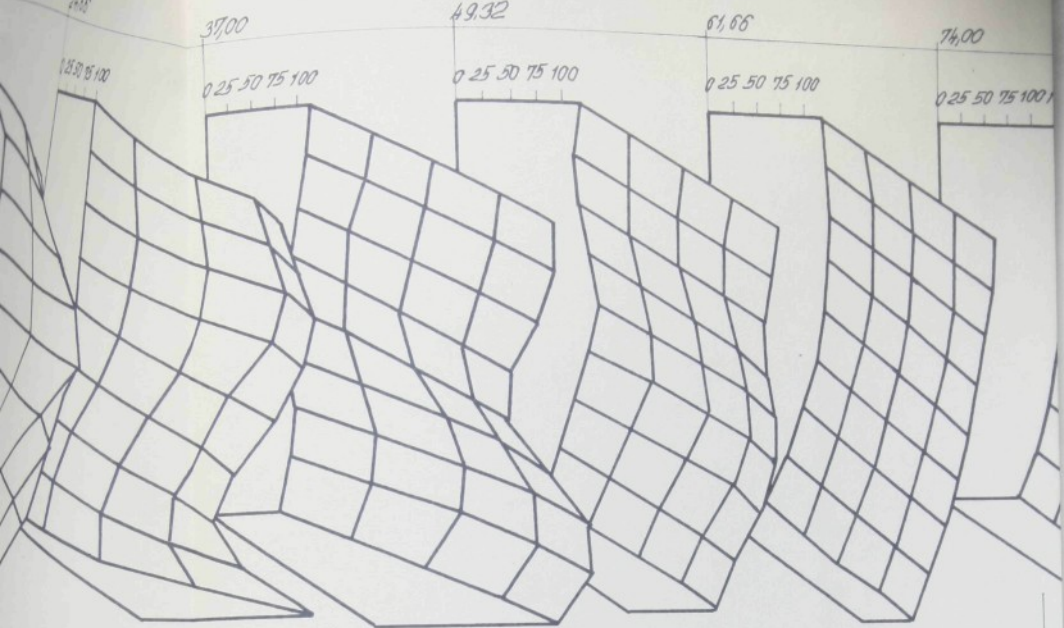


RYCHLOSIT

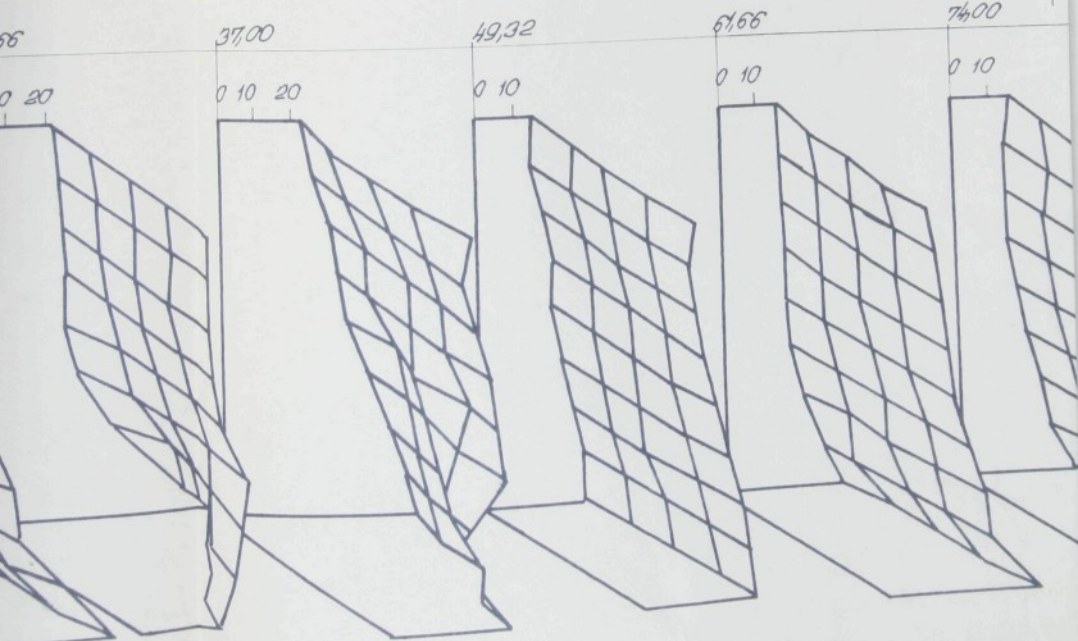
ŠTAFFETOVÁ  
TRYSKA  
č. 1



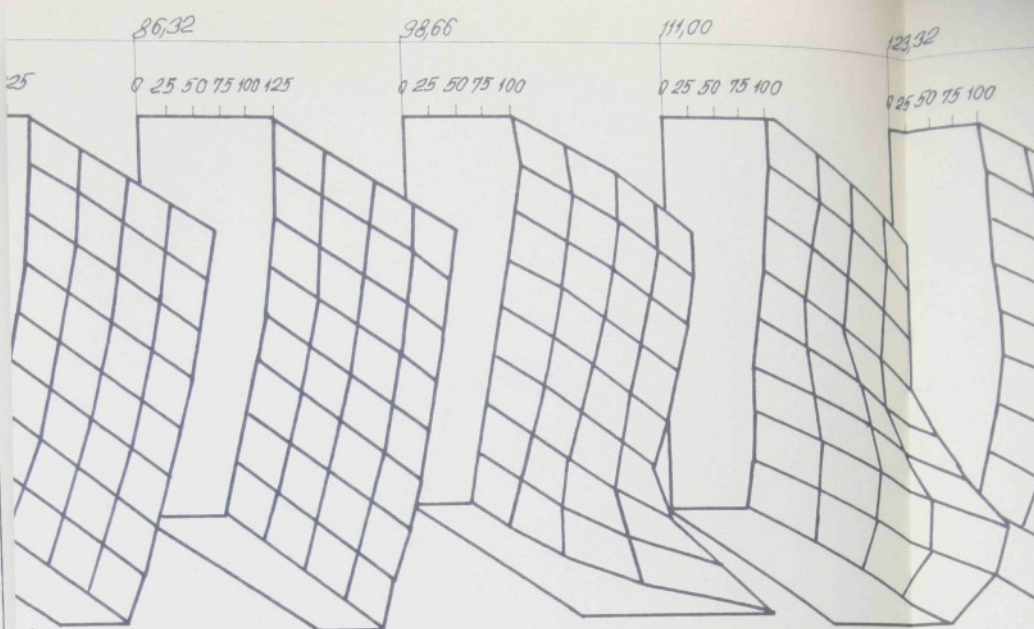
INTENSITA TU



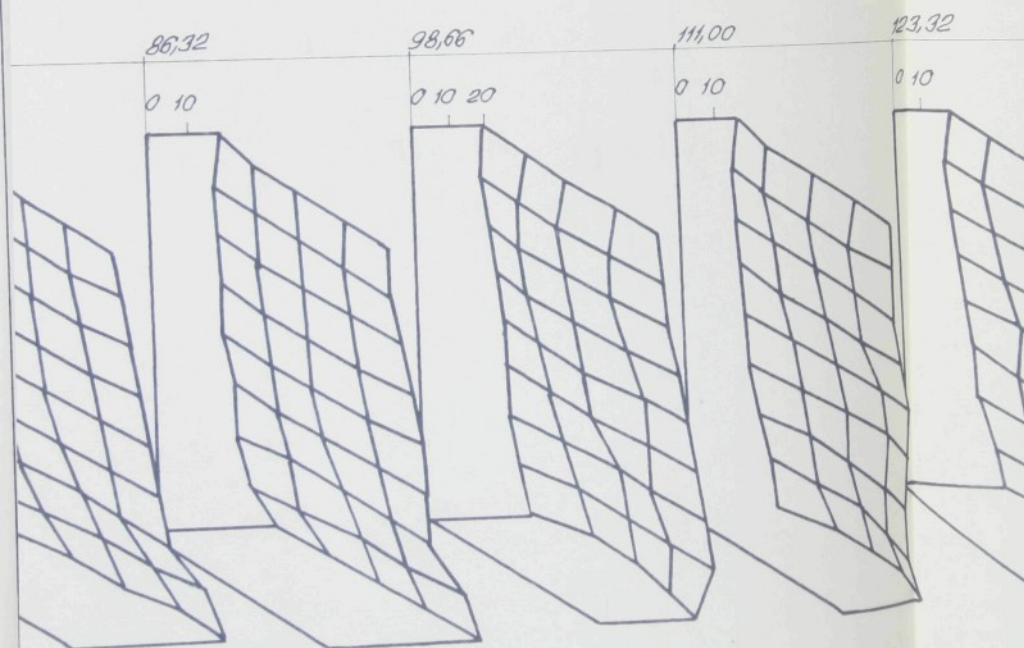
RYCHLOST [m/s]

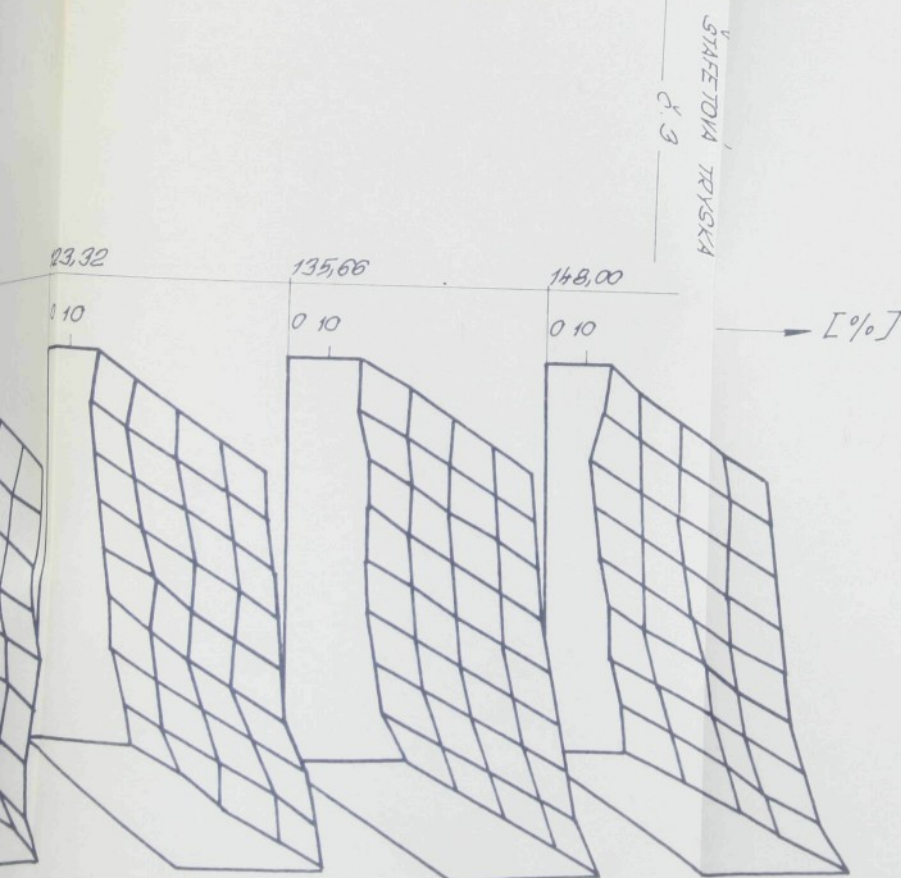
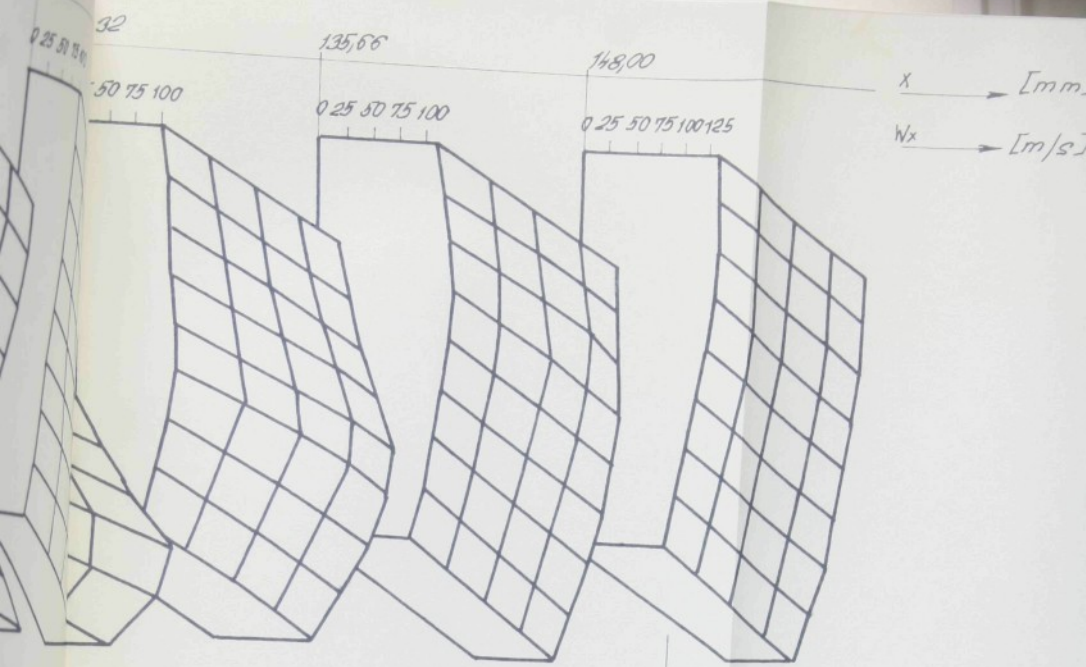


INTENSITA TURBULENCE [%]



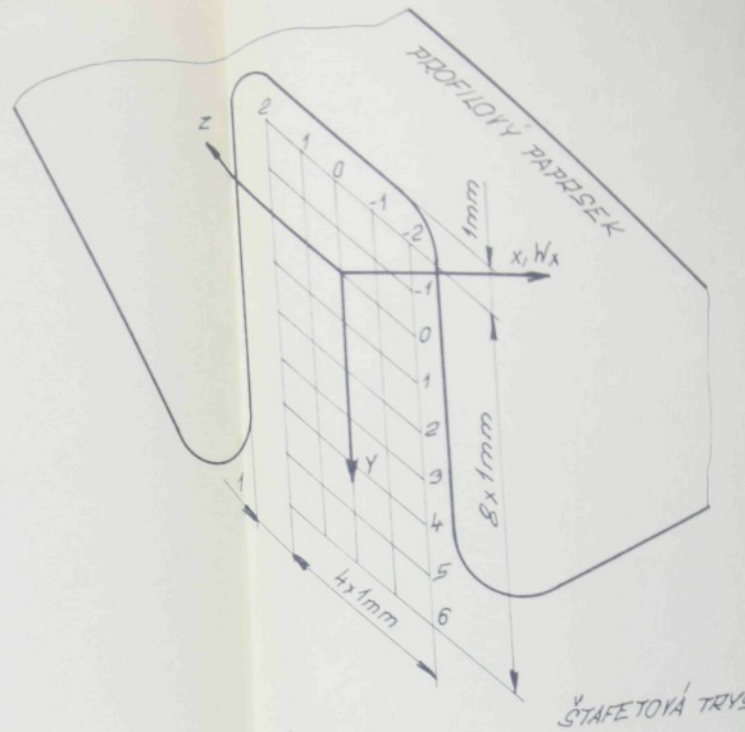
"STAFLETOWA" TRYNSKA





$x$  →  $L_{mm}$

$N_x$  →  $[m/s]$



→ [%]

SCHÉMA HERENÍ



POLODOČNÉ ZALEVKY V PROFILOVÉM PAPRŠKU

Navr  
prohozu 1  
la popsa  
rychlosti  
stroje.  
přiloze 1

Dal  
je zaměř

- m  
cbr.6.5)  
- m  
ním reži  
nestacio

- z

7.1 Z

Na  
 $w \equiv (w_x, w_y)$   
vycházejí  
malým úb  
vého papr  
za papr  
kanálu a  
jici p  
s proud

## 7. Hlavní směry dalšího rozvoje studia vzduchového prohozu metodou LDA.

Navržená metodika měření proudových polí vzduchového prohozu laserovým dopplerovským anemometrem (LDA), která byla popsána v kap. 5, umožnila studium dominantních složek rychlosti ve směru prohozu v celém prohozním ústroji tkacího stroje. To dokládají výsledky měření uvedené v kap. 6. a příloze I a II.

Další rozvoj studia proudových polí vzduchového prohozu je zaměřen na řešení následujících úkolů:

- měření příčných složek rychlosti (složky  $w_y$  a  $w_z$ , viz obr. 6.5) v prohozním kanálu profilového tkacího paprsku
- měření proudových polí vzduchového prohozu v provozním režimu vzduchového tryskového tkacího stroje, tj. měření nestacionárního periodického proudění
- zviditelňování proudění metodou laserového nože

### 7.1 Způsob měření příčných složek rychlosti $w_y$ a $w_z$ .

Na obr. 6.5 (kap. 6.2) je znázorněn vektor rychlosti  $w = (w_x, w_y, w_z)$  proudu štafetové trysky. Kuželový proud, vycházející z ústí štafetové trysky, vstupuje do kanálu pod malým úhlem k jeho ose. Interakcí se stěnou kanálu profilového paprsku se složitě mění. Část proudu prochází mezerami za paprsek, část se odráží od tvarových a průlinčitých stěn kanálu a většina pokračuje žádoucím směrem prohozu. Dozvívající proud se v pravidelných roztečích posiluje interakci s proudem z následující štafetové trysky.

Složitější situace je na vstupní straně kanálu profilového paprsku, kde dochází ke směšování výrazného proudu vkládací tkaci trysky s proudy štafetových trysek. Ani proud vkládací tkaci trysky obecně nevstupuje do kanálu profilového paprsku přesně ve směru (osa x) prohozu (viz barevná zářena, obr.6.19, kap.6.3.).

Je zřejmé, že vektor rychlosti proudového pole v kanálu profilového paprsku má kromě dominantní složky rychlosti  $w_x$  i malé (ve srovnání s  $w_x$ ) příčné složky rychlosti  $w_y$  a  $w_z$ . Velikost a smysl těchto složek rychlosti v různých oblastech kanálu nelze jednoduše odhadnout.

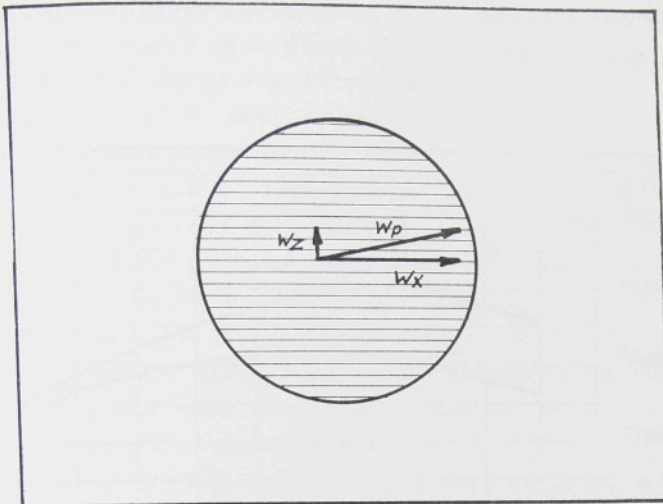
Přestože tahová síla působící na útek při prohozu je dána především složkou  $w_x$ , mohou i příčné složky  $w_y$  a  $w_z$  významně ovlivnit pohyb útku prohozním kanálem. Do jisté míry vymezují oblast kanálu, ve které se útek při prohozu pohybuje, a mohou tak nepřímo ovlivňovat spolehlivost prohozu.

Z tého důvodů lze považovat měření příčných složek rychlosti  $w_y$  a  $w_z$  za stejně důležité jako měření složky  $w_x$ .

Měření příčných složek rychlosti jsou komplikovanější než měření složky  $w_x$  a nelze je přímo provádět metodikou navrženou v kap.5. To lze doložit např. na orientačním měření složky rychlosti  $w_z$ .

Na obr.7.1 je znázorněn řez optickou sondou (viz obr.4.3, kap. 4.1.2) a složky rychlosti  $w_x$  a  $w_z$  částice prolétavající optickou sondou ( $w_p$  je průměr vektoru rychlosti  $\bar{w}$  do znázorněného řezu). S takto vytvořenou optickou sondou by měl teoreticky laserový dopplerovský anemometr měřit složku  $w_z$  (kolmou k interferenčním proužkům, viz kap.3.3.3).

Zásadní problém spočívá v tom, že měřený proud svírá s osou x pouze malý úhel, tj.  $w_x \gg w_z$ . V tomto případě se výrazně uplatňuje tzv. chyba směru nebo také chyba proužků (angl. 'fringe bias') popsaná v kap. 5.3.4.



Obr.7.1 Schéma průletu částice optickou sondou při měření složky rychlosti  $w_z$ .

Čitačový procesor měří nastavený počet cyklů  $N$  dopplerovského signálu (obvykle  $N = 8$  cyklů). Zpracovatelný dopplerovský signál bude generován, pokud stopovací částice projde dostatečným počtem interferenčních proužků o vhodné intenzitě a kontrastu ( $\geq N$ ).

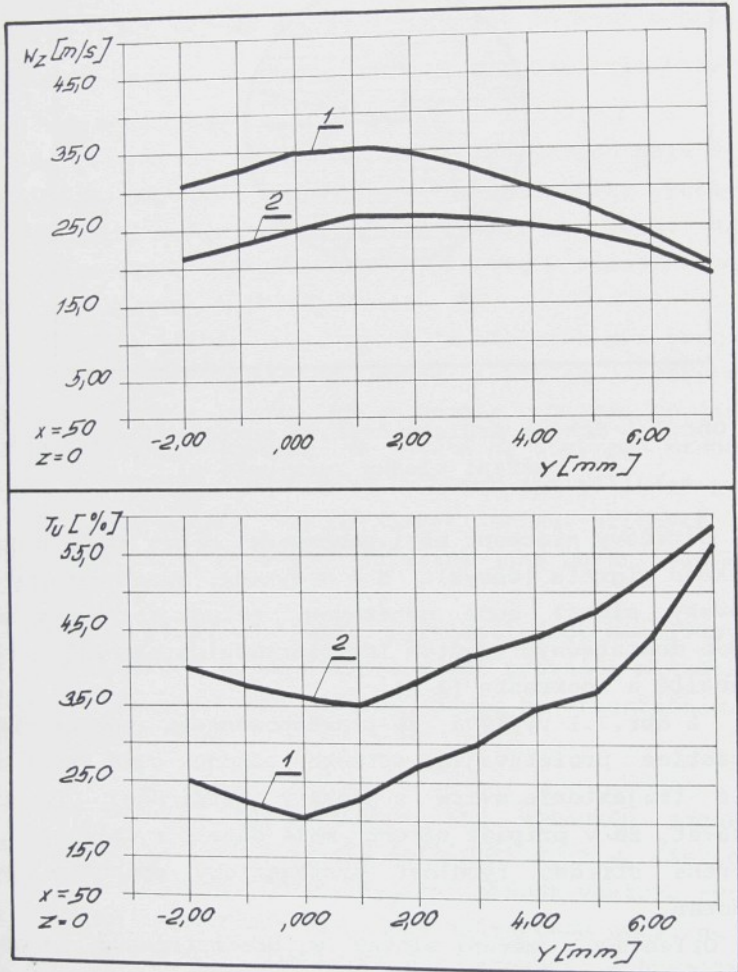
Z obr.7.1 vyplývá, že pravděpodobnost změření rychlosti částice prolétávající optickou sondou bude vyšší u té, jejíž trajektorie svírá s proužky větší úhel. Dá se tedy očekávat, že v případě měření malé složky rychlosti  $w_z$  bude naměřená střední rychlosť systematicky posunuta k vyšším hodnotám.

Orientační měření složky  $w_z$  demonstrována na obr.7.2 existenci této systematické chyby potvrdila.

Obr.7.2 prezentuje rychlostní profil  $w_z$  (y-profil) a odpovídající profil intenzity turbulence v rovině y-z (pro  $x = 50$ ,  $z = 0$  dle obr.6.5, kap. 6.2).

Profil 1 byl změřen pro nastavení čitačového procesoru na  $N = 8$  cyklů a profil 2 pro  $N = 2$  cykly. Z porovnání profilů 1 a 2 plyne, že při měření minimálního počtu cyklů do-

pplerovského signálu  $N = 2$  je naměřená rychlosť nižšia a intenzita turbulence vyšší než pro  $N = 8$ .



1 - počet měřených cyklů  $N = 8$

2 - počet měřených cyklů  $N = 2$

Obr.7.2 Rychlostní profil  $w_z$  a profil intenzity turbulence měřený v rovině  $y-z$  ( $x = 50$ ,  $z = 0$ ).

Tento výsledek souhlasí s předpokládanou výše popisovanou chybou směru při měření složky rychlosti  $w_z$ .

V případě nastavení čitačového procesoru na měření malého počtu cyklů dopplerovského signálu ( $N = 2$ ) vzroste pravděpodobnost zachycení (změření) i těch částic, jejichž trajektorie svírá s interferenčními proužky optické sondy malý úhel. Jsou tedy zachyceny i částice, které při průchodu optickou sondou protnou nedostatečný počet interferenčních proužků pro vznik dopplerovského signálu o zpracovatelných 8 cyklech ( $N = 8$ ). To se projeví ve změně rozložení rychlosti v rychlostním histogramu (jsou výrazněji zastoupeny nižší rychlosti), což vede na nižší výslednou střední rychlosť  $w_z$  a vyšší intenzitu turbulence.

Je tedy zřejmé, že profily  $\bar{z}$  jsou zatiženy menší chybou a více se přibližují správnému výsledku. Chybu směru lze tak do jisté míry potlačit snížením počtu měřených cyklů. Chyba směru závisí na parametru  $N/N_{FR}$ , kde  $N$  je počet měřených cyklů (proužků) a  $N_{FR}$  je celkový počet interferenčních proužků v optické sondě. Čím menší je tento poměr tím, menší je chyba směru.

Radikálně lze v tomto případě chybu směru odstranit pouze využitím frekvenčního posuvu. Princip frekvenčního posuvu byl vysvětlen v kap. 4.1.3. Pro frekvenční posuv se v LDA využívá Braggova buňka. Braggova buňka je akusticko-optický modulátor, který se umístí do optického systému LDA tak, že jím prochází jeden z laserových paprsků tvořících optickou sondu (viz obr. 4.1 a 4.2, kap. 4.1.1). Na základě interakce světla s ultrazvukovou vlnou o frekvenci 40 MHz v průhledném mediu Braggovy buňky dochází k frekvenčnímu posuvu světla. To se v konečném důsledku projeví jako pohyb interferenčních proužků v optické sondě. Nulové rychlosti částice pak odpovídá dopplerovská frekvence 40 MHz.

Je zřejmé, že frekvenčním posuvem lze změnit počet cyklů dopplerovského signálu, které částice generuje při průchodu optickou sondou. Počet cyklů generovaný částicí procházející středem optické sondy kolmo k interferenčním proužkům je [37]:

$$N_S = N_O |(1 + f_S/f_D)| \quad /7.1.1/$$

kde  $N_S$  je počet cyklů generovaný částici při použití frekvenčního posuvu,

$N_O$  je počet cyklů generovaný částici bez použití frekvenčního posuvu,

$f_S$  je frekvenční posuv,

$f_D$  je dopplerovská frekvence generovaná částicí bez použití frekvenčního posuvu;  $f_D$  má zápornou hodnotu, jestliže se částice pohybuje souhlasně s interferenčními proužky a  $f_D$  má kladnou hodnotu, jestliže se částice pohybuje proti pohybu interferenčních proužků.

Použitím frekvenčního posuvu lze dosáhnout radikálního zmenšení parametru  $N/N_{FR}$  ( $N_{FR} = N_S$ ) a redukovat tak chyby směru.

Předpokládejme, že měření složky rychlosti  $w_z$  bude probíhat podle schématu na obr.6.17 v kap. 6.3 s využitím frekvenčního posuvu (Braggova buňka bude zařazena do vysilací části laserového anemometru). Frekvenční posuv je 40 MHz. Pro použitý vysilací objektiv s F.D. = 250.1 mm je průměr optické sondy  $d_m = 0.1$  mm.

Protože trajektorie částic svírá s interferenčními proužky malý úhel (viz obr.7.1), budeme uvažovat extrémní případ, kdy částice se pohybují rovnoběžně s interferenčními proužky. V tomto případě bude částice generovat dopplerovský signál s frekvencí 40 MHz. Z měření složky  $w_x$  uvedených v kap. 6 vyplývá maximální rychlosť částice cca 300 m/s.

Vypočtená minimální doba průletu částice optickou sondou je pak  $t_{MIN} \approx 0.33 \mu s$  (pro  $d_m = 0.1$  mm,  $w_{MAX} = 300$  m/s). Z minimálního času průletu částice optickou sondou a z dopplerovské frekvence  $f_D = 40$  MHz lze vypočítat minimální počet dopplerovských cyklů generovaných částicí při průchodu optickou sondou:

$$\text{MIN. POČET CYKLŮ} = f_D \cdot t_{MIN} \approx 13 \quad /7.1.2/$$

Tento výsledek dokládá, že v případě použití frekvenčního posuvu lze při měření složky rychlosti  $w_z$  eliminovat chybu rychlosti. Počet generovaných cyklů v dopplerovském vzryvu (počet cyklů  $> 13$ ) bude dostatečný pro zpracování čitačovým procesorem s nastaveným počtem měřených cyklů  $N = 8$ .

Při měření příčných složek rychlosti  $w_y$  a  $w_z$  má frekvenční posuv význam i pro jednoznačné určení jejich smyslu (směru). Obecně nelze v libovolném mistě kanálu profilového tkacího paprsku předem smysl těchto složek jednoznačně odhadnout.

Složka rychlosti  $w_y$  je v případě použití optických uspořádání uvedených v kap. 6 totožná (rovnoběžná) s osou vysílacího objektivu, a proto není principielně přímo měřitelná. To vyplývá jak z rozboru vztahu pro dopplerovskou frekvenci /3.3.6/ v kap. 3.3.3, tak z uspořádání interferenčních rovin v optické sondě na obr. 4.3 v kap. 4.1.2.

Přímé měření složky  $w_y$  vyžaduje, aby osa vysílacího objektivu byla kolmá k rovině, ve které se nachází složka  $w_y$ . To ale z geometrických důvodů není možné. Proto bude nutné provádět měření v jiných vhodně vybraných složkách, ze kterých lze složku  $w_y$  vypočítat. V tomto případě bude vždy nutné zvážit, jak se do výpočtu malé hodnoty  $w_y$  mohou negativně promítat nepřesnosti měření vybraných složek.

Měření příčných složek rychlosti  $w_y$  a  $w_z$  je obecně komplikovanější než měření složky  $w_x$ . Vyžaduje použití frekvenčního posuvu (určení smyslu, eliminace chyby proužků), což bude mít za následek zhoršení odstupu signálu od šumu. Obecně lze počítat s tím, že přesnost měření může být nižší než v případě složky  $w_x$ .

## 7.2 Způsob měření nestacionárních periodických proudových polí vzduchového prohozu.

Měřením proudových polí vzduchového prohozu v provozním režimu vzduchového tryskového tkacího stroje lze získat výsledky popisující přesněji reálný stav, tj. časový vývoj rychlostního pole při prohozu. Řešení tohoto problému vede k experimentálnímu zvládnutí měření periodických nestacionárních dějů metodou LDA.

Obecně jsou možné dva postupy:

A) *stroboskopická metoda* - měří se pouze v tzv. časovém okně (definovaný časový úsek), jehož šířku a posuv lze v rámci periody libovolně měnit.

B) *encoderová metoda* - ke každému změřenému rychlostnímu údaji je pomocí speciálního rotačního encoderu přiřazena i jeho poloha (časová nebo úhlová) v rámci periody zkoumaného děje.

### 7.2.1 Stroboskopická metoda.

Stroboskopická metoda představuje technicky méně náročný, ale také méně dokonalý způsob řešení. Hlavní nevýhoda této metody je, že během periody může být zkoumán pouze jeden relativně krátký časový úsek, tzv. časové okno. Měření probíhá pouze v časovém okně a ostatní data ležící vně tohoto časového okna jsou ztracena. Další problémy nastávají při zpřesňování časového rozlišení, které vede ke zmenšování šířky časového okna. Se zkracováním časového okna se současně zmenšuje i počet rychlostních dat a pravděpodobnost jejich výskytu v tomto okně. K získání dostatečného počtu vzorků pro věrohodné statistické zpracování je pak zapotřebí extrémně dlouhých časů měření.

Stroboskopická metoda byla ověřována při měření rychlostního pole za ústím vodní tkaci trýky [82].

Kromě vzduchových tryskových tkacích stavů existují i tzv. vodní stavy. Prohoz útku je u tohoto stavu realizován pomocí proudu vody z tzv. vodní tkaci trysky. Zatímco u vzduchového prohozu bylo možné vycházet z měření stacionárního proudění, v případě vodního prohozu není tento postup technicky možný.

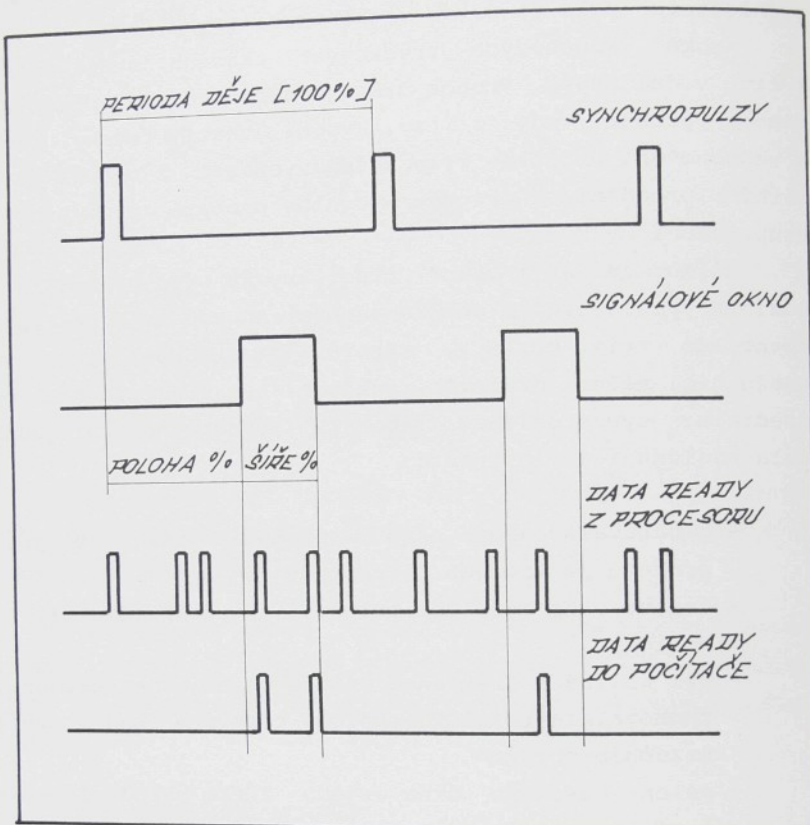
Měření za ústím vodní tkaci trysky bylo provedeno jednosložkovým laserovým dopplerovským anemometrem se zpětným rozptylem (viz obr.5.2, kap. 5.4). Stroboskopická metoda umožňující měření okamžité rychlosti byla realizována pomocí speciální synchronizační jednotky. Synchronizační jednotka měla následující vlastnosti:

- generovala časové okno v nastavitelném mistě periody prohozu po krocích 1% periody
- časové okno mělo volitelnou šířku po krocích 1% - 99% periody
- při kolisání frekvence periodického děje (prohozu) se zachovávala relativní poloha časového okna k synchronizačním pulsům
- poloha časového okna a jeho šířka byla volitelná s přesností na 1% periody

Ve spojení s čitačovým procesorem dopplerovského signálu TSI 1990B synchronizační jednotka zajišťovala, že data naměřená čitačovým procesorem byla snímána počítačem Apple IIe pouze v době trvání časového okna. To znázorňuje časový diagram na obr.7.3.

Pulsy DATA READY, které slouží počítači jako signál pro převzetí platných dat, jsou synchronizační jednotkou hradlovány a propouštěny do počítače pouze v průběhu časového okna.

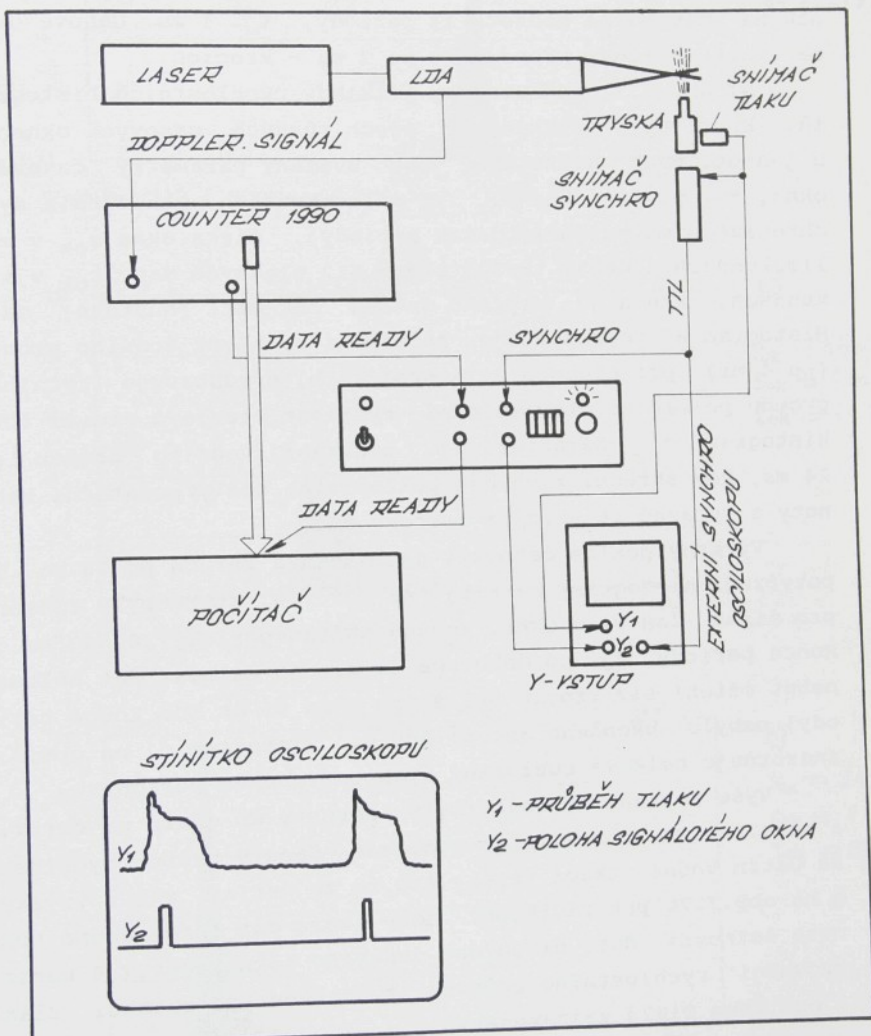
Na obr.7.4 je znázorněno experimentální uspořádání zkušebního měření průběhu rychlosti za ústím vodní tkaci trysky.



Obr.7.3 Časový diagram signálů synchronizační jednotky.

Průběh tlaku vody ve vodní trysce byl měřen snímačem tlaku. Pro vytvoření synchronizačního pulsu se využila náběhová hrana signálu na tomto snímači tlaku. Synchronizační pulsy byly tvarovány a upraveny na úroveň TTL (SNÍMAČ SYNCHRO). Na stínítku osciloskopu se zobrazoval průběh tlaku a časové okno. Poloha časového okna se vzhledem k náběhové hraně tlaku postupně přestavovala a v nastavených časových oknech probíhalo LDA měření rychlosti za vodní tryskou. Současně s měřením rychlosti v časovém okně se měřil i čas nutný k získání pevného počtu dat (512 platných dat). Tyto ča-

sové údaje poskytovaly představu o četnosti dat v průběhu periody vodního prohozu. Vedle tlakového čidla byl zkoumaný děj za vodní tryskou monitorován na osciloskopu optickým čidlem, které zaznamenávalo průchod vody uvnitř trysky.



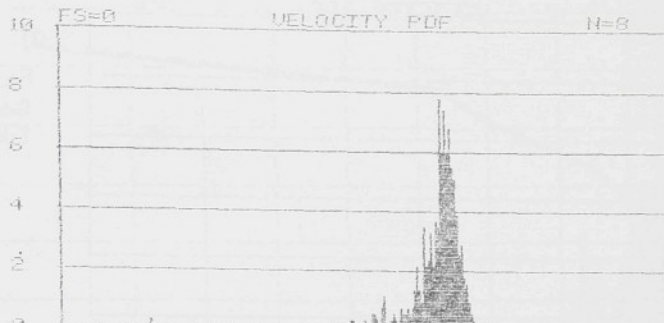
Obr. 7.4 Schéma experimentálního uspořádání měření průběhu rychlosti za vodní tkací tryskou.

Zkušební měření za ústím vodní tkací trysky byla provedena v ose trysky 10 mm za ústím. Voda obsahuje dostatečné množství rozptylujících center a proto nebylo nutné dodatečně sycení proudu stopovacími částicemi. Perioda děje byla pro přehlednost nastavena na 100 ms a šířka časového okna pak na minimální hodnotu 1% periody, tj. 1 ms. Časové okno se uvnitř periody přesouvalo po 2 ms - krocích.

Na obr.7.5 jsou uvedeny příklady rychlostních histogramů, které byly získány ve třech různých časových oknech. U jednotlivých histogramů jsou uvedeny parametry časového okna, tj. poloha okna  $t_{ok}$  v milisekundách vzhledem k synchronizačnímu pulsu (počátek periody), šířka okna  $s_{ok}$  v milisekundách a doba trvání sběru 512 platných dat  $t_{ok}$  v sekundách, která je nepřímo úměrná četnosti (hustotě) dat. Histogram a) reprezentuje počáteční rychlosť vodního proudu (po 4 ms) při prohozu a histogram b) představuje rychlosť proudu po 16 ms, kdy střední rychlosť klesla o téměř 40%. Histogram c) charakterizuje zanikání vodního proudu po 24 ms, kdy střední rychlosť poklesla na cca  $1/4$  počáteční hodnoty a výrazně se snížila četnost dat.

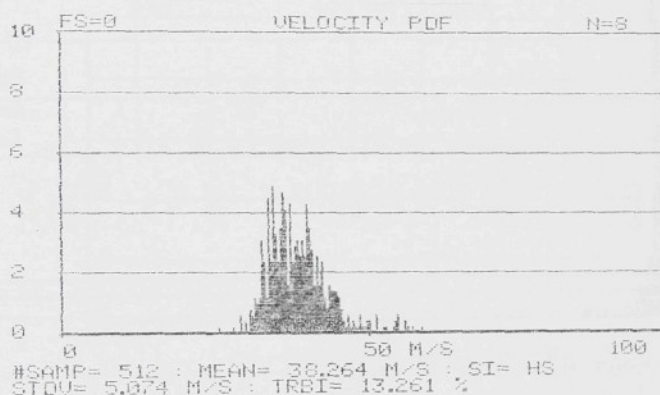
Výrazný pokles četnosti dat nastává zhruba po 28 ms. To potvrzují histogramy a) a b) na obr.7.6, které byly získány pro šířku časového okna, rovnou zbytku periody. Od 40 ms do konce periody, tj. po dobu cca 60 ms, je četnost dat nulová, neboť měření 512 vzorků při šířce okna 55 ms (do konce periody) nebylo ukončeno ani po 300 s. Histogram c) na obr.7.6 znázorňuje celkové rozložení rychlosti během periody.

Výše popsané výsledky byly shrnuty do grafů na obr.7.7 a obr.7.8. Na obr.7.7a je zobrazen časový průběh rychlosti za ústím vodní tkací trysky (10 mm za ústím, v ose trysky) a na obr.7.7b pak závislost doby sběru dat (převrácená hodnota četnosti dat) na poloze časového okna. Obr.7.8 nabízí srovnání rychlostního průběhu s odezvou na snímači tlaku i optickém čidle zaznamenávajícím průchod vody tryskou. Tvarová podobnost jednotlivých průběhů potvrzuje správnost měření a podporuje interpretaci výsledků popsanou v předcházejících odstavcích.



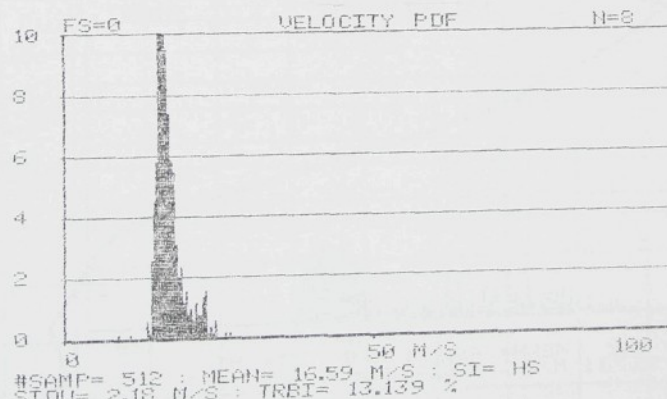
a)

$$\begin{aligned}P_{ok} &= 4 \text{ ms} \\S_{ok} &= 1 \text{ ms} \\t_{ok} &= 24 \text{ s}\end{aligned}$$



b)

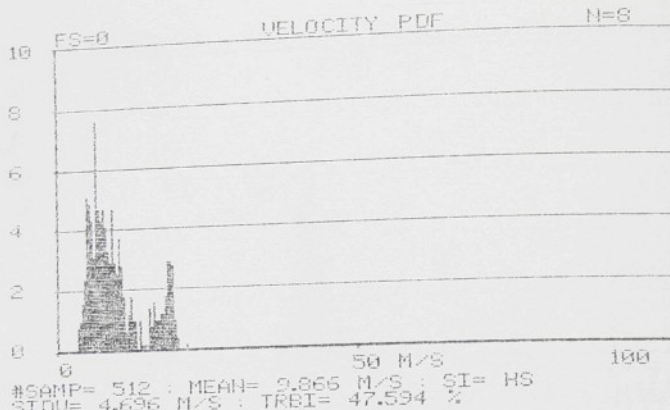
$$\begin{aligned}P_{ok} &\approx 16 \text{ ms} \\S_{ok} &= 1 \text{ ms} \\t_{ok} &= 14 \text{ s}\end{aligned}$$



c)

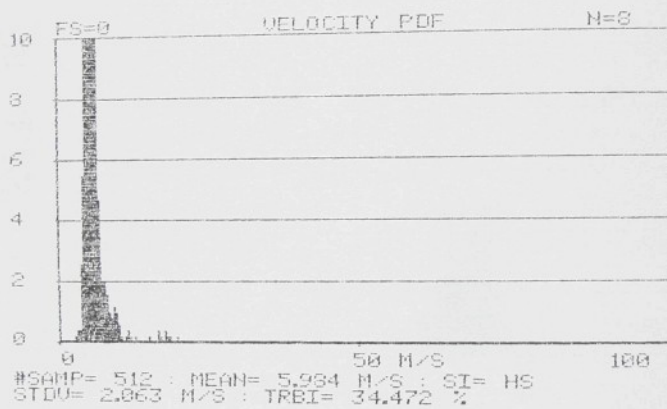
$$\begin{aligned}P_{ok} &= 24 \text{ ms} \\S_{ok} &= 1 \text{ ms} \\t_{ok} &= 87 \text{ s}\end{aligned}$$

Obr.7.5 Příklady rychlostních histogramů.



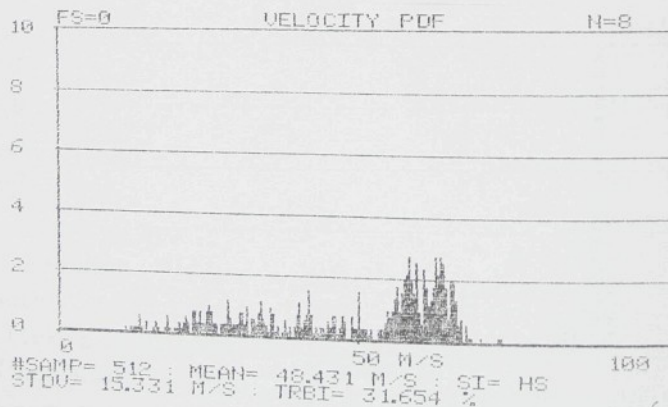
a)

$$\begin{aligned} P_{ok} &= 28 \text{ ms} \\ S_{ok} &= 70 \text{ ms} \\ t_{ok} &= 44 \text{ s} \end{aligned}$$



b)

$$\begin{aligned} P_{ok} &= 35 \text{ ms} \\ S_{ok} &= 60 \text{ ms} \\ t_{ok} &= 126 \text{ s} \end{aligned}$$



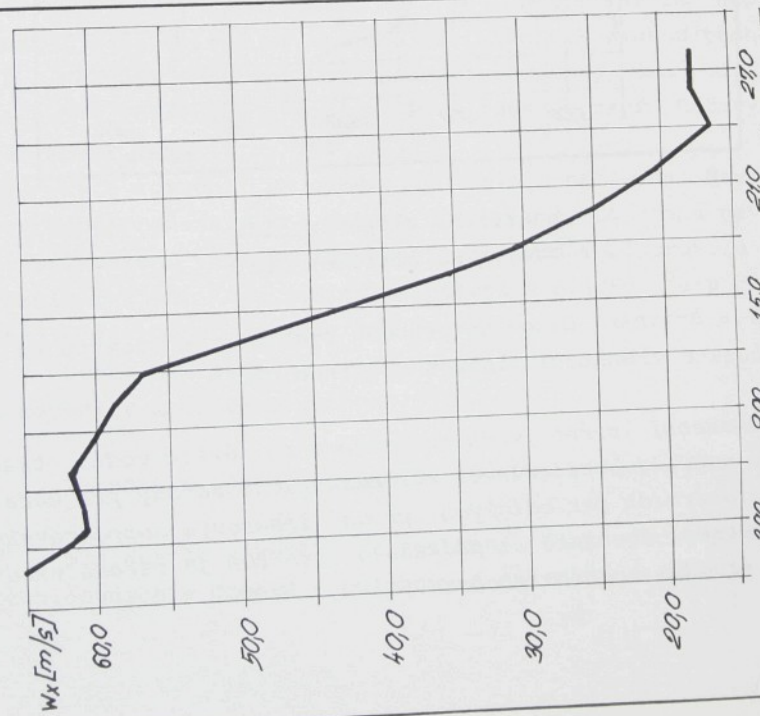
c)

$$\begin{aligned} P_{ok} &= 0 \text{ ms} \\ S_{ok} &= 28 \text{ ms} \\ t_{ok} &= 44 \text{ s} \end{aligned}$$

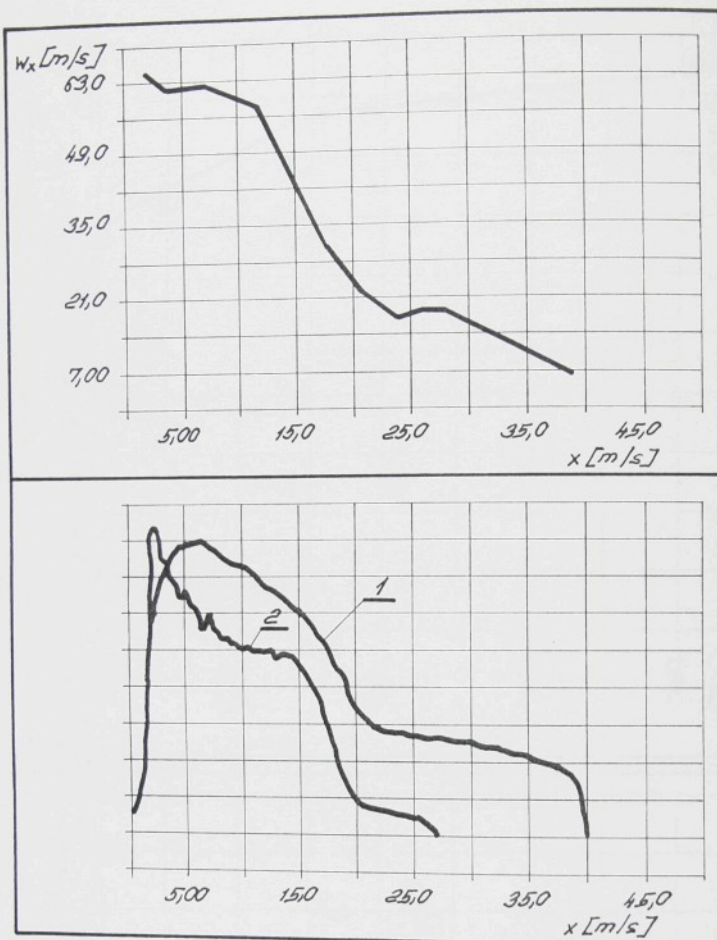
Obr. 7.6 Příklady rychlostních histogramů.



Obr. 7.7b ZÁVISLОСТЬ DOBY SBERUZAT NA POLOZE  
ČADOVÉHO OKNA



Obr. 7.7a PRŮBĚH RYCHLOSТИ NA USTÍ RODNÍ TRÍSKY



1 - odezva na tlakovém čidle

2 - odezva na optickém čidle

Obr.7.8 Srovnání časového průběhu rychlosti s odezvou na snímači tlaku a optickém čidle.

Zkušební měření vodního proudu za ústím vodní tkaci trysky ověřila použitelnost stroboškopické metody při měření nestacionárních periodických proudů laserovým dopplerovským anemometrem. Současně se prokázalo, že LDA je metoda vhodná i pro studium vodního prohozu.

### 7.2.2 Encoderová metoda.

Encoderová metoda, která je technicky náročnější, odstraňuje nevýhody stroboskopické metody. Dovoluje využít veškerá data, která lze při měření nestacionárního periodického proudění získat.

Tak zvaným rotačním encoderem je perioda zkoumaného děje rovnoměrně rozdělena na definovaný počet časových značek. Tímto způsobem lze každému rychlostnímu údaji přiřadit i časovou polohu v rámci probíhající periody. Rychlostní údaje jsou společně s odpovídající časovou polohou přenášeny a ukládány do počítače. Měření tak může, na rozdíl od stroboskopické techniky, probíhat po celou dobu periody děje. Takto uložená data získaná za definovaný počet period lze libovolně a opakovaně třídit podle časové polohy v rámci jedné periody a statisticky zpracovávat. Navíc lze i v tomto případě využívat techniku časových oken, neboť lze periodu rozdělit do několika časových úseků (oken) a pouze v nich povolit sběr dat do počítače.

Výhoda této techniky spočívá ve využití maximálního množství naměřených údajů a v jejich získání za nepoměrně kratší dobu měření ve srovnání se stroboskopickou technikou.

Některí výrobci LDA dodávají encodery pro podporu LDA měření v rotačních strojích. Příkladem je např. Rotary Encoder Model 1999 firmy TSI [87].

Tyto rotační encodery jsou velmi nákladné. Navíc jsou navrženy především pro vysoké otáčky a proto zcela nevyhovují při měření vzduchového (případně vodního) prohozu v provozním režimu, kde maximální provozní otáčky jsou cca 1200 ot./min tj. 20 ot./s (perioda 50 ms).

Proto se zahájil vývoj encoderové metody přizpůsobené k měření vzduchového prohozu.

Technické řešení popsaného způsobu měření vyžaduje:

1.) Návrh a realizaci rozhraní (interface) pro přenos rychlostních a časově - polohových dat do počítače PC/AT. Za

tímto účelem bylo vyvinuto a realizováno rozhraní pro zpracování dvou 16 - bitových slov s přímým přístupem do paměti počítače s využitím DMA kanálu [88]. Použití DMA kanálu je nutné pro zabezpečení maximální rychlosti toku dat do paměti počítače, neboť praktické zkušenosti potvrzuji, že velmi často přicházejí data dopplerovského signálu po shlucích.

2.) Návrh a realizace rotačního encoderu pro měření vzduchového prohozu. Protože opakovací frekvence prohozu je poměrně nízká (cca 20 Hz a méně), není v tomto případě ideální použít, v komerčních přístrojích běžně užívaný, tzv. fázový závěs. Celý encoder bude proto navržen na bázi rychlých čítačů.

3.) Návrh a realizace programového vybavení, které zajistí LDA měření v součinnosti s traverzovacím zařízením včetně přenosu dat ze signálového procesoru a rotačního encoderu do paměti počítače a dále pak třídění dat podle časové polohy a jejich statistické zpracování s následným grafickým výstupem.

*Navrhované řešení umožní získat maximum informaci o časovém vývoji rychlostního pole při prohozu a v konečném důsledku dává naději na kvalitativně vyšší stupeň poznání dějů při prohozu. V případě vodního prohozu je toto řešení jediný způsob, jak rychlostní pole studovat.*

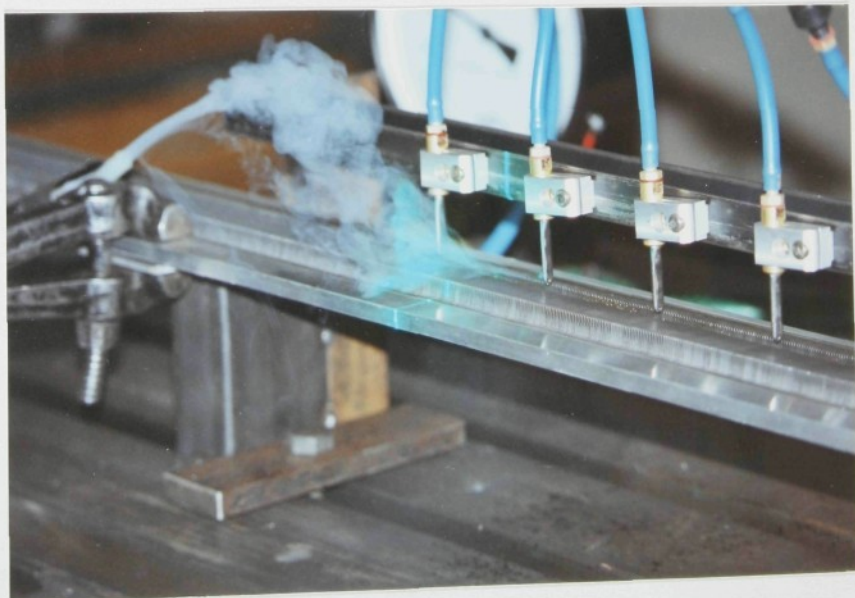
### 7.3 Zviditelňování proudění metodou laserového nože.

V některých případech studia proudových polí vzduchového prohozu není bezpodminečně nutné určit kvantitativní povahu proudění, ale postačí pouhá kvalitativní představa o zkomaném ději. V těchto případech je kvantitativní měření proudových polí metodou LDA zbytečně nákladné a zdlouhavé.

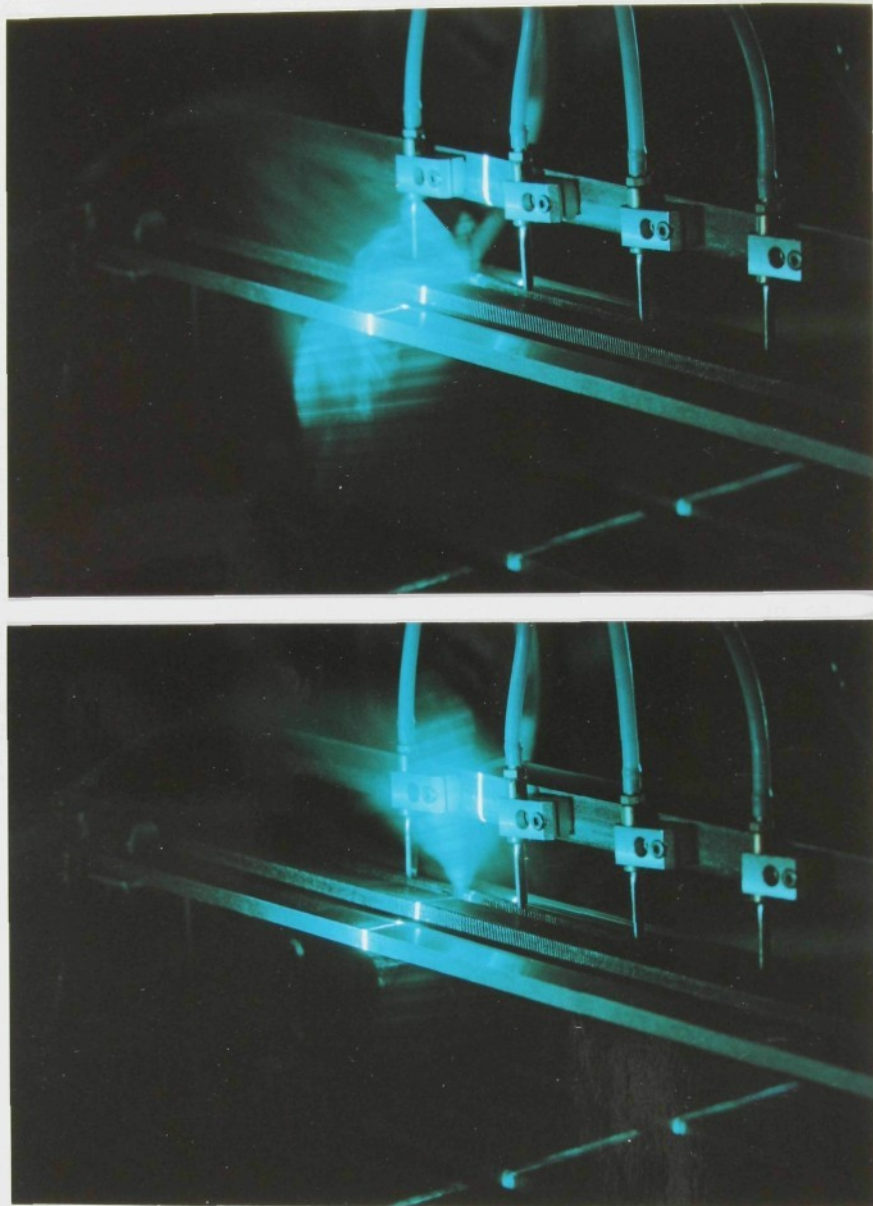
Typickým příkladem bylo např. ověřování hypotézy, která se pokouší vysvětlit nestabilitu útku v prohozni kanálu profilového paprsku (útek při prohozu vylétával vně kanálu) tím, že v důsledku nevhodného nastavení štafetových trysek dochází v některých místech kanálu k odrazu proudění od stěny a to vynáší útek mimo oblast kanálu.

Místo měření příčných složek rychlosti proudění metodou LDA byl využit jednoduchý způsob zviditelnění tzv metodou laserového nože. Laserové záření po průchodu válcovou čočkou vytvořilo světelnou rovinu kolmou ke směru prohozu. Do této oblasti byl přiváděn kouř (viz obr. 7.9) a jeho zviditelnění v rovině osvětlené laserem dávalo názornou představu o smyslu proudění. Světelná rovina byla přesouvána po celé zkoumané délce profilového paprsku a jednotlivé světelné řezy byly filmovány a fotografovány. Typické výsledky jsou zobrazeny na obr. 7.10.

Tento jednoduchý způsob zviditelnění uvedenou hypotézu nepotvrdil, ale prokázal, že ve všech oblastech zkoumaného profilového paprsku je vzduch do kanálu přisáván.



Obr.7.9 Generování kouře do roviny laserového nože



Obr. 7.10 Zviditelnění metodou laserového nože.

Metodu laserového nože je vhodné využívat v těch případech studia vzduchového prohozu, kde je žádoucí získat rychle a jednoduše představu o smyslu a druhu proudění.

## 8. Výsledky kandidátské disertační práce a nové poznatky.

Výsledky kandidátské disertační práce lze shrnout podle jednotlivých bodů řešení úkolu popsaného v kap. 5 - 7. takto:

- a) Srovnání použitelnosti LDA a ostatních metod pro měření rychlostních polí vzduchového prohozu a analýza faktorů ovlivňujících přesnost měření vzduchového prohozu metodou LDA.

V disertaci jsou analyzovány a porovnány vlastnosti tlakových sond, termoanemometrie a laserové anemometrie z hlediska použitelnosti při komplexním měření rychlostních polí vzduchového prohozu. Vzduchový prohoz představuje jednu z velmi komplikovaných úloh mechaniky tekutin, pro kterou jsou charakteristická prostorová proudění o malých příčných rozmezích (cca 6x6 mm), velké gradienty rychlosti, velký rozsah rychlostí (až po transsonické proudění), směšování proudů, vysoká turbulence a proudění (a tedy i měření) u stěny kanálu profilového tkacího paprsku. Rozbor vlastnosti jednotlivých měřicích metod potvrdil, že LDA jako bezkontaktní lineární metoda má nejlepší předpoklady pro komplexní měření rychlostních polí při studiu vzduchového prohozu.

V práci je provedena podrobná analýza faktorů ovlivňujících přesnost měření proudových polí vzduchového prohozu, která určila následující oblasti, na něž bylo nutné zaměřit pozornost při návrhu metodiky měření:

1. Přítomnost optického šumu při měření u stěny kanálu profilového paprsku - experimenty potvrdily, že ve vzdálenostech 2 - 3 mm od stěny standardní LDA metoda zpětného rozptylu selhává.

2. Rovnoměrnost sycení proudicího vzduchu stopovacími částicemi - nerovnoměrné sycení směšovaných proudů stopovacími částicemi může být zdrojem systematických chyb.

3. Odchylka směru proudu od měřeného směru (chyba proužků) - při měření proudových polí je nutné chybu proužků eliminovat v případě měření malých přičných složek rychlosti, tj. složek kolmých na směr prohozu.

b) Návrh a realizace traverzovacího zařízení pro LDA.

Velké rozdíly v rozměrech zkoumaných objektů (vkládací tryska, štafetové trysky a prohozní kanál profilového paprsku - charakteristické rozměry  $6 \times 6 \times 1700$  mm) a nutnost přesného přesouvání optické sondy v prostoru si vyžádaly řešení speciálního traverzovacího zařízení s velkým rozsahem posuvů a vysokou přesností.

Na bazi konzolové frézky (FD 40V) s číslicovým řízením bylo navrženo a realizováno traverzovací zařízení umožňující jednotlivými posuvy obsáhnout prostorovou oblast o rozměrech  $1250 \times 350 \times 450$  mm s přesností  $\pm 0,02$  mm. Traverzovací zařízení je dálkově ovládáno počítačem PC/AT, přičemž obsluha umístěná z bezpečnostních a hygienických důvodů v samostatné místnosti má během měření stále přehled o poloze traverzovaného objektu.

Na vývoji traverzovacího zařízení se autor podílel z 50% [65] především v oblasti návrhu řídícího hardware a realizaci ovládacího programu.

c) Řešení sycení proudových polí vzduchového prohozu stopovacími částicemi.

Jako stopovací částice byly vybrány částice glycerinu (40% roztok glycerinu ve vodě) ve formě aerosolu, které využily mechanickými a optickými vlastnostmi a současně splnily požadavek zdravotní nezávadnosti.

Byly provedeny experimenty za účelem nalezení optimálního sycení proudových polí částicemi glycerinu. Potvrdily se teoretické předpoklady, že v případě prostého přisávání glycerinu do proměřované oblasti proudu dochází v místech intenzivního směšování k systematickým chybám (střední rychlosť je posunuta k dominantním rychlosťem více syceného proudu). Při porovnání tohoto způsobu sycení s přímým sycením tlakového vzduchu, které zaručuje rovnoměrné sycení proudu z jednotlivých trysek, byly chyby v oblastech intenzivního směšování v kanálu profilového paprsku až 20%.

Z uvedených důvodů byl navržen generátor aerosolu glycerinu zajišťující sycení tlakového vzduchu.

d) Vyřešení problematiky měření proudění metodou LDA u stěny kanálu profilového paprsku tkacího stroje.

Přibližováním optické sondy ke stěně kanálu profilového paprsku narůstá vlivem odrazů světla od stěny optický šum, což se projeví výrazným snížením odstupu signálu od šumu. V důsledku toho klasická LDA metoda zpětného rozptylu ve vzdálenost 2 - 3 mm od stěny selhává.

Aby bylo možné měřit metodou LDA u stěny kanálu, byly navrženy dva způsoby eliminace optického šumu:

- metoda polarizační separace
- metoda mimoosového snímání

Metoda polarizační separace kombinuje prostorovou a polarizační filtraci odraženého světla od užitečného dopplerovského signálu obsaženého v záření rozptýleném na stopovacích částicích (viz kap.5.7). Metoda polarizační separace realizovaná speciálním modulem polarizační separace (viz obr.5.16), který byl zařazen do systému LDA, umožnila měření uvnitř kanálu profilového paprsku v minimální vzdálenosti 1 mm od stěny.

Metoda mimoosového snímání byla navržena pro měření vysokých rychlostí ve vstupní části kanálu profilového paprsku.

ku. Základní princip spočívá v tom, že dopplerovská frekven-  
ce nezávisí na úhlu snímání. Rozptýlené záření optické sondy  
bylo snímáno speciálním objektivem pod úhlem  $45^\circ$  (viz  
obr.5.15 obr.6.18), což zajišťuje efektivní zkrácení optické  
sondy a výbornou prostorovou filtraci při přiblížení optické  
sondy ke stěně kanálu. Metoda mimoosového snímání umožnila  
měření i vysokých rychlostí (cca 300 m/s) v minimálních  
vzdálenostech až 0,5 mm od stěny kanálu.

Obě navržené metody na potlačení optického šumu  
současně vyvrátily tvrzení v lit. Technische Rundschau  
Sulzer [86], že laserovou dopplerovskou anemometrii nelze  
použít pro měření u stěny kanálu profilového paprsku tkacího  
stroje.

e) Výsledky měření proudových polí za ústím vkládací  
trysky.

V práci jsou prezentovány výsledky měření volných  
proudů za ústím vkládací tkaci trysky, které dokládají  
možnosti metody LDA při odhalování konstrukčních vad tkacích  
trysek. Je uveden příklad, kde deformované změřené  
rychlostní pole odhalilo konstrukční vadu ejektoru tkaci  
trysky.

f) Výsledky měření proudových polí uvnitř kanálu  
tkacího profilového paprsku.

Rychlostní pole ve směru prohozu uvnitř kanálu profilo-  
vého tkacího paprsku vytvářená štafetovými tryskami byla mě-  
řena jednosložkovým laserovým dopplerovským anemometrem  
s využitím navržené metody polarizační separace pro úspěšné  
měření u stěny kanálu (maximální přiblížení ke stěně 1 mm).

Měření byla prováděna na několika různých uspořádáních  
(tkací paprsek: profilový, rovný; štafetové trysky: jednoot-  
vorové, dvouotvorové a víceotvorové) a výsledky lze nalézt

v autorových pracích [67], [75], [76], [77], [78], [79] a [80].

V disertační kandidátské práci jsou prezentována změřená rychlostní a turbulentní pole v prohozni kanálu profilového paprsku a podél rovného paprsku formou axonometrických zobrazení, která dělají názornou představu o prostorové struktuře proudového pole mezi dvěma štafetovými tryskami (viz obr. 6.9, 6.10 a 6.16).

V samostatné příloze I je pak uvedeno komplexní měření proudových polí v kanálu profilového paprsku s viceotvorovými štafetovými tryskami.

Výsledky měření ukázaly, že proudové pole uvnitř kanálu profilového paprsku má periodický charakter s periodou danou roztečí mezi štafetovými tryskami, přičemž proud se "rozbití" v prvních čtyřech roztečích, tj. lokální maxima rychlosti vznikají (viz obr. 6.7 a 6.11). Výsledky též dokládají možnosti odhalení vadné nebo špatné nastavené štafetové trysky.

Pro posouzení vlivu profilového paprsku byla provedena srovnávací měření bez profilového paprsku, která potvrdila výrazný vliv profilového paprsku na menší disipaci proudu a tedy zesílení rychlostního pole. Zesílení dynamických účinků proudu není stejné v celé oblasti mezi dvěma štafetovými tryskami a mění se od 20% do 300% (viz obr. 6.7).

g) výsledky měření proudových polí ve vstupní části kanálu profilového paprsku.

Proudové pole ve vstupní části kanálu, které je vytvářeno interakcí proudu vkládací trysky s proudy štafetových trysek, bylo měřeno jednosložkovým laserovým anemometrem s využitím navržené metody mimoosového snímání (viz obr. 6.17) pro úspěšné měření vysokých rychlostí (až cca 300 m/s) u stěny kanálu (maximální přibližení ke stěně kanálu 0.5 mm).

Kompletní výsledky měření lze nalézt v autorové práci

[81] jsou uvedeny i v samostatné příloze II a představují axonometrická zobrazení rychlostních a turbulentních profilů ve třech kolmých roviných řezech. Výsledné souhrnné zobrazení struktury rychlostního a turbulentního pole (viz obr. 6.28) dává názornou představu o proudovém poli vytvořeném směšováním proudu vkládací tkací trysky v prohozním kanálu s proudy prvních dvou štafetových trysek. Měření ukázala, že proud vkládací trysky ovlivňuje výsledné proudění ve vstupní části kanálu pouze v prvních třech roztečích přifukovacích trysek (viz obr. 6.11 a 6.21).

Aplikační možnosti použité metody LDA byly názorně demonstrovány na vstupu do kanálu profilového paprsku, kde na vzdálenosti 6 mm napříč kanálem byl změřen rychlostní gradient od 20 m/s do 300 m/s (viz obr. II-6.1, příloha II).

h) Formulování hlavních směrů dalšího rozvoje studia vzduchového prohozu metodou LDA.

Další rozvoj studia vzduchového prohozu metodou LDA je zaměřen do tří oblastí:

1. Měření malých příčných složek rychlosti v prohozním kanálu profilového paprsku.

Příčné složky rychlosti proudění v kanálu profilového paprsku mohou ovlivnit pohyb prohazovaného útku.

V práci je diskutována problematika měření těchto složek a teoreticky i formou orientačních měření je dokazována nutnost použití frekvenčního posuvu pro eliminaci proužkové chyby a určení smyslu příčného proudění.

2. Měření nestacionárních periodických proudových polí vzduchového prohozu.

V práci jsou analyzovány dva možné postupy:

- A) stroboskopická metoda - měření v tzv. časovém okně
- B) encoderová metoda - ke každému rychlostnímu údaji je přiřazena i jeho časová poloha v rámci periody

V kandidátské disertační práci je uvedeno ověřovací měření časového průběhu rychlosti proudění za vodní tkaci tryskou realizované stroboskopickou metodou. Výsledky měření časového průběhu rychlosti dobře korespondují s odezvou na tlakovém snímači a speciálním optickém čidle (viz obr.7.8)

V rámci vývoje encoderové metody bylo autorem navrženo a realizovano speciální rozhraní pro rychlé snímání rychlostních dat a odpovídajících časových značek do paměti počítače PC/AT [88].

### 3. Zviditelňování proudění metodou laserového nože

V práci jsou demonstrovány výsledky zviditelňování přičného proudění tzv metodou laserového nože (světelná rovina vytvořená pomocí laseru), které prokázaly, že v celé zkoumané oblasti profilového paprsku dochází k přisávání okolního vzduchu do prohozního kanálu.

Původní přínos a nové poznatky obsažené v kandidátské disertační práci:

1. Byla vypracována originální metodika měření proudových polí vzduchového prohozu metodou LDA, která umožňuje komplexní studium stacionárních rychlostních a turbulentních polí ve směru prohozu v celém prohozním ústroji tryskového tkacího stroje.

2. Poprvé bylo speciální navrženou metodikou LDA měřeno proudění i v minimální vzdálenosti 0,5 - 1 mm od stěny kanálu profilového tkacího paprsku. Tyto experimenty vyvrátily tvrzení lit. [86], že metodu LDA nelze použít pro měření u stěny kanálu profilového paprsku tkacího stroje.

3. Pro LDA bylo navrženo a realizováno originální a speciální traverzovací zařízení řízené počítačem, které umožňuje měření s velkým rozsahem posuvů (1250 x 350 x 450 mm) a vysokou přesnosti  $\pm 0,02$  mm. Autorův podíl na traverzovacím zařízení je 50% (autor se podílel na návrhu řídícího hardware a realizoval ovládací program).

4. Poprvé v ČSFR byla metodou LDA změřena rychlostní pole za vkládacími tkacími tryskami a výsledky umožnily odhalení konstrukčních vad.

5. Poprvé v ČSFR bylo metodou LDA změřeno rychlostní a turbulentní pole uvnitř kanálu profilového tkacího paprsku tvořené proudy štafetových trysek a výsledky byly prezentovány ve formě názorných axonometrických zobrazení.

6. Poprvé v ČSFR bylo metodou LDA změřeno rychlostní a turbulentní pole ve vstupní části profilového tkacího paprsku, kde proudové pole je vytvářeno směšováním proudu vkládací trysky s proudy štafetových trysek.

7. Poprvé byla provedena LDA měření proudění za vodní tkací tryskou, která současně prokázala použitelnost metody LDA pro studium vodního prohozu.

*Autorovi není z žádných dostupných literárních pramenů známo, že by měření uvedená v bodech 5. a 6. byla prováděna na jiných pracovištích LDA ve světě.*

*O unikátnosti získaných výsledků do jisté míry svědčí i zájem špičkové holandské firmy Rüti te Strake, která se dlouhodobě zabývá vývojem a výrobou vzduchového prohozu tryskových tkacích strojů. V posledních dvou letech si objednává měření proudových polí vzduchového prohozu metodou LDA uvedenou v předložené kandidátské disertační práci.*

Konkrétní závěry pro další vývoj vzduchového prohozu tryskových tkacích strojů:

Neustále stoupající tkaci výkony tryskových tkacích strojů kladou vysoké nároky na parametry a optimalizaci vlastního vzduchového prohozu. Proto má v současné etapě vývoje tryskového tkání rostoucí význam systematické studium proudových polí vzduchového prohozu.

Pro studium těchto proudových polí nebyla doposud vypracována žádná vhodná metodika měření.

Výsledky získané aplikací laserové dopplerovské anemometrie na měření vzduchového prohozu poskytly první důležité komplexní informace o proudových polích v prohozním ústroji tkacího stroje. Současně však otevřely řadu otázek: např. jak má vypadat optimální rychlostní pole, jak souvisí rychlostní a turbulentní profily s pohybem útku v prohozním kanálu tkacího stroje atd.

Je zřejmé, že v další etapě studia vzduchového prohozu je nutné sledovat pohyb útku prohozním kanálem a hledat souvislost s naměřenými proudovými poli. Obdobně je třeba zjistovat závislost proudových polí na různém nastavení jednotlivých komponent prohozního ústroji.

V těchto experimentech má navržená metodika LDA měření proudových polí velmi důležitou úlohu, neboť poskytuje údaje nutné k pochopení dějů, které nastávají při prohozu na tryskových tkacích strojích.

## LITERATURA

- [1] ŠOCH, P.:  
Měření celkových a statických tlaků.  
Pisemná práce k odborné aspirantské zkoušce,  
ČVUT FSI Praha 1975
- [2] ŠOCH, P., VRÁTNÝ, J.:  
Experimentální metody v mechanice tekutin I.  
Učební text.  
Vydavatelství ČVUT Praha, 1987
- [3] JIRSAK M.:  
Experimentální zařízení a metody v mechanice  
tekutin.  
Učební text.  
Vydavatelství ČVUT Praha, 1977
- [4] JIRSAK, M.:  
Odchylka údaje Pitotovy sondy ve smykovém  
proudění turbulentní mezni vrstvy.  
Kandidátská disertační práce,  
ČVUT FSI Praha 1979
- [5] RAY A., K.:  
Vliv velikosti otvoru na údaje statického tlaku  
při různých Reynoldsových číslech,  
Mechanika č. 2, 1957
- [6] Firemní katalog  
KULITE SEMICONDUCTOR  
Short Form Catalog SF-1-A
- [7] HINZE, J., O.:  
TURBULENCE - an Introduction to its Mechanism and  
Theory.  
McGraw-Hill, New York, 1959.

- [8] STRICKERT, H.:  
Hitzdraht- und Hitzfilmanemometrie.  
VEB Verlag Technik, Berlin, 1974.
- [9] JONÁŠ, P.:  
Aplikace Collisova-Williamsova ochlazovacího  
zákona při měření anemometrem se žhaveným  
drátkem.  
Zpráva ÚT ČSAV Z-358/71, Praha, 1971.
- [10] JONÁŠ, P.:  
Pojem efektivní rychlosti a jeho aplikace při  
měření anemometrem se žhaveným drátkem.  
Zpráva ÚT ČSAV Z-359/67, Praha, 1967.
- [11] Firemní katalog - DISA (Dánsko).  
DISA Gebrauchsanweisung und Servicehandbuch für  
Typ 55D01 Anemometr - Grundgerät.  
DISA - elektronik A/S, DK 2730 Herlev Dánsko.
- [12] MAZUR, O., MICHAL, J.:  
Prostorová a smyková proudění při různých  
okrajových podmínkách.  
Zpráva VZLÚ V-1549/86, Praha, 1981.
- [13] MAZUR, O.:  
Prostorová a smyková proudění při různých  
okrajových podmínkách.  
Zpráva VZLÚ V-1489/83, Praha, 1982.
- [14] KLABOCH, L.:  
Přehled experimentálních metod pro určování  
proudových polí za oběžným kolem radiálního  
kompresoru  
Písemná práce k odborné kandidátské zkoušce  
SVUSS Praha 9 - Běchovice

- [15] KING, L., V.:  
On the Convection of Heat from the Small  
Cylinders in a Stream of Fluids.  
Phil.Trans.Roy.Soc., Ser A, Vol. 214, London,  
1914.
- [16] Firemni katalog:  
DISA - elektronik A/S, DK 2730 Herlev, Dánsko.
- [17] Firemni katalog:  
Hot Wire/Hot Film Anemometer,  
Systems & Accessories.  
TSI Corporate 500 Cardigan Road P.O. Box 64394  
St Paul, MN 55164 USA, 1985.
- [18] Firemni katalog:  
Bjorkquist, Daniel C.:  
Particle Image Velocimetry for Determining  
Structures of Turbulent Flows.  
Flow Lines.  
The Fluid Mechanics Magazine from TSI  
Incorporated, Vol.6 Issue 1, p.3.
- [19] ADRIAN, R.J.:  
Image shifting technique to resolve directional  
ambiguity in double-pulsed velocimetry.  
Applied Optics 1, Vol.25 No.21 November 1986.
- [20] THOMPSON,D.,H.:  
A Tracer Particle Fluid Velocity Meter  
Incorporating a Laser.  
Journ. of Scient. Instr. (J.of Phys.E)  
Ser.2, Vol.1, 1968, p.929.

- [21] SCHODL, R.:  
Laser-Two-Focus Velocimetry  
Proc. of AGARD Symposium.  
Philadelphia, May 1986, ref. 7.
- [22] STRAZISAR,A.,J.:  
Laser Fringe Anemometry For Aero Engine Components.  
Proc. of AGARD Symposium.  
Philadelphia, May 1986, ref. 7.
- [23] WERNET, M.,P., EDWARDS, R.,V.:  
Implementation of a New Type of Time-of-Flight Laser Anemometer.  
Applied Optics, Vol. 25, No.5, 1986, p. 644.
- [24] SCHODL, R.:  
Entwicklung des Laser-Zwei-Fokus-Verfahrens für die berührungslose Messung der Strömungsvektoren, insbesondere in Turbomaschinen.  
Deutsche Forschungs- und Versuchsanstalt für Luft- und Raumfahrt Institut für Luftstrahltriebe, Köln, 1977
- [25] LADING, L.:  
The Time-of-Flight Laser Anemometer.  
Proc. of AGARD Symposium.  
Philadelphia, May 1986
- [26] DURST, F., MELLING, A., WHITELAW, J.,H.:  
Principles and Practice of Laser Doppler Anemometry.  
Academic Press Ltd., London, 1981
- [27] WATRASIEWICZ, B.,M., RUD, M.,J.:  
Laser Doppler Measurements.  
Butterworth, London, 1976

- [28] ABBISS, J.B., CHUBB T.,W., PIKE E.,R.:  
Laser Doppler anemometry.  
Optics and Laser Technology, December 1974
- [29] DURST, F., HEIBER, K.,F.:  
Signal-Rausch-Verhältnisse von Laser Doppler  
Signalen.  
SFB 80/TM/60, Juni 1975
- [30] BUCHHAVE, P.:  
Light Collecting System and Detector  
in a Laser Doppler Anemometer.  
DISA Information, Measurement and Analysis, No.15,  
October 1973
- [31] ELIASSON, B., DÄNDLIKER, R.:  
A Teoretical Analysis of Laser Doppler Flowmeters.  
Optica Acta, 1974, Vol.21, No.2, p.119-149
- [32] DRAIN, L.E.:  
The Laser Doppler Technique.  
John Wiley & Sons Ltd., 1980
- [33] DURRANI, T.,S., GREATED, C.,A.:  
Laser Systems in Flow Measurement.  
Plenum Press, New York, 1977
- [34] KLOČKOV, V.,P., KOZLOV, L.,F., POTYKEVIČ, I.,Z.,  
SOSKIN, M.,S.:  
Lazernaja anemometrija, distacionnaja  
spektroskopija i interferometrija.  
Naukova dumka, 1985
- [35] Dopheide, D., DURST, F.:  
Einfluß der Axialmoden von CW - Lasern auf  
Laser - Doppler - Messungen bei hohen Frequenzen.  
Technisches Messen, 49.Jahrgang, 1982, Helft 1 - 2

- [ 36 ] Firemní katalog:  
LDA Optics 55X Series  
TSI Corporate 500 Cardigan Road P.O. Box 64394  
St Paul, MN 55164 USA, 1978
- [ 37 ] Firemní manual:  
Model 980, Frequency Shift,  
Instruction manual  
TSI Corporate 500 Cardigan Road P.O. Box 64394  
St Paul, MN 55164 USA, 1975
- [ 38 ] KLÍMA, M.:  
Akustooptický modulátor laserového svazku  
Sdělovací technika, 4, 1983, str. 137 - 139
- [ 39 ] KLEIN, W., R., COOK, B., D.:  
Unified approach to ultrasonic light difraction.  
IEEE Trans. Son. Ultrason., Vol. 14, 1967,  
p. 457 - 463
- [ 40 ] ČTYROKÝ, J., BURIAN, P.:  
Akustooptický deflektor laserového svazku.  
Slaboproudý obzor, 40, 1979, str. 457 - 463
- [ 41 ] Firemní manual:  
Instruction manual - Mod. 1090 Tracker  
TSI Corporate 500 Cardigan Road P.O. Box 64394  
St Paul, MN 55164 USA, 1978
- [ 42 ] HJELMFELT,A.T., MOCKROS,L.S.:  
Motion of Discrete Particles in a Turbulent Fluid  
Applied Scient. Research 16 1966

- [43] Firemní manual:  
Model 1990 Counter Type Processor for Laser  
Velocimeter  
Instruction Manuals  
TSI Corporate, 500 Cardigan Road, P.O. Box 64394  
St. Paul, MN 55164, U.S.A.
- [44] PTÁČNÍK, M.:  
Metodika měření laserovým dopplerovským  
anemometrem anemometrem v podmínkách nízkého  
odstupu signálu od šumu pro experiment v  
lopatkových strojích.  
Kandidátská disertační práce,  
ČVUT FSI Praha 1990
- [45] Firemní manual:  
57N10 Burst Spectrum Analyzer - Instruction Manual  
DANTEC - elektronik A/S, DK 2740 Skovlunde Dánsko
- [46] Firemní katalog:  
Automatic Burst Correlator IFA 750  
TSI Corporate, 500 Cardigan Road, P.O. Box 64394  
St. Paul, MN 55164, U.S.A.
- [47] MAZUR, O., MICHAL, J.:  
Prostorová a smyková proudění při různých  
okrajových podmínkách.  
Zpráva VZLÚ V - 1549/86, 1981.
- [48] MAZUR , O.:  
Prostorová a smyková proudění při různých  
okrajových podmínkách.  
Zpráva VZLÚ, V - 1489/83, 1982.
- [49] HINZE,J.O.:  
Turbulence: An Introduction to Its Mechanism  
and Theory., McGraw-Hill New York 1959

- [50] LAU,J.C., WHIFFEN,M.C., FISHER,M.J.,  
SMITH,D.M.:  
A Note on Turbulence Measurement with a  
Laser Doppler Velocimeter  
Journal of Fluid Mechanics, Vol. 102, 1981
- [51] PTÁČNÍK,M., KLABOCH,L., LAMKA,J.:  
Měření laserovým dopplerovským anemometrem  
při nízkém odstupu signálu od šumu.  
Zpravodaj VZLÚ 2, 1987
- [52] DURST,F., HEIBER,K.F.:  
Signal-Rausch Verhältnisse von  
Laser-Doppler-Signalen  
Optica Acta Vol. 24, 1, 1977
- [53] PTÁČNÍK,M., KLABOCH,L., LAMKA,J.:  
Metodics of flow field LDA measurement  
in axial agitated systems  
Proc. of X-th Symposium on LDA  
Bratislava 1988
- [54] PTÁČNÍK,,M., KLABOCH,L., LAMKA,J.:  
Application of Laser-Doppler-Anemometry for  
Determination of Velocity Field in  
Cylindrical System with Pitched-Blade  
Impellers  
Proc. of 6-th Conference on Mixing,  
Pavia 1988
- [55] WHIFFEN,M.C., LAU,J.C., SMITH,D.M.:  
Design of LV Experiments for Turbulence  
Measurements  
Proc. of 3-rd Int. Wkshp on Laser  
Velocimeter, Purdue University

- [56] NAKAO,S., TERAO,Y., HIRATA,K.:  
New Method for Eliminating the Statistical  
Bias in Highly Turbulent Flow  
AIAA Journal Vol. 25, 1987
- [57] HJELMFELT,A.T., MOCKROS,L.S.:  
Motion of Discrete Particles in a Turbulent  
Fluid  
Applied Scient. Research 16 1966
- [58] CHAO,B.T.:  
Small Particles in Dilute Suspension  
Österr. Ingenieur-Archiv 18, 1964
- [59] McLAUGHLIN,D.K., TIEDERMAN,W.G.:  
Biasing correction for individual realization  
of laser anemometer measurements in turbulent  
flow.  
Phys. Fluids 16 1973
- [60] DIMOTAKIS,P:  
Single scattering particle laser Doppler  
measurements of turbulence  
Proc. of AGARD Conference No.193,  
Applications of non-intrusive instrumentation  
in fluid flow research.
- [61] DURAO,D.F.G, LAKER,J., WHITELAW,J.H.:  
Bias effects in laser Doppler anemometry  
Journ. of Physics E: Vol. 13, 1979
- [62] DURAO,D.F.G, WHITELAW,J.H.:  
Relationship between velocity and signal quality  
in laser Doppler anemometry.  
Journ. of Physics E: Vol. 12, 1979

- [63] MIE, G:  
Beiträge zur Optik treiber Medien, speziell  
koloidaler Metallosungen.  
Ann. der Physik, Folge 4, Band 37, 881
- [64] HULST van de H.G.:  
Light Scattering by Small Particles.  
Willey, New York, 1957
- [65] KOPECKÝ, V., SVOBODA, M.:  
Traverzovací zařízení pro LDA.  
Výzkumná zpráva EKVÚ, č. 32/88, 1988
- [66] PTÁČNÍK, M., MAZUR, O., LAMKA, J., KLABOCH, L.:  
Měření proudového pole za tryskou pomocí  
laserového anemometru a anemometru  
se žhaveným drátkem.  
Zpravodaj VZLÚ 1, 1992
- [67] KOPECKÝ, V.:  
Laserová dopplerovská anemometrie a její využití  
při studiu vzduchového prohozu na tkacím stroji.  
Písemná práce k odborné kandidátské zkoušce,  
Liberec, 1989
- [68] GARDAVSKÝ, J., KLEINE, R.:  
Reflection suppression by polarisation in  
backscatter LDA measurements near walls and in  
two - phase flows.  
Applied Optics 20, 4110 - 4123, 1981
- [69] GARDAVSKÝ, J., KLABOCH, L.:  
Polarizační separace dopplerovského signálu LDA od  
zdrojů šumového pozadí.  
Zpráva č. R-2143/83, VZLÚ Praha, 1983

- [70] BAUDYŠ, A., KLABOCH, L.:  
Laserový dopplerovský anemometr BK - 456  
DT: 533.6.071.3, Praha 1983
- [71] KOPECKÝ, V., ADÁMEK, K., STRÁDAL, P.:  
Vyhledávací výzkum tkani - Laserová anemometrie.  
Výzkumná zpráva č. 7/87, VÚTS Liberec, 1987
- [72] KOPECKÝ, V., ADÁMEK, K.:  
Použití laseru k měření rychlostních polí.  
Sborník 5. mezinárodní konference o teorii strojů  
a mechanismů, s. 111 - 116/B  
VŠST Liberec, 1988
- [73] KOPECKÝ, V., ADÁMEK, K., STRÁDAL, P.:  
Measurement of free air jets in weaving machines.  
Proceedings of the X.th Symposium on LDA,  
p. 150 - 156, Bratislava, 1988
- [74] KOPECKÝ, V., ADÁMEK, K.:  
Využití LDA v textilním strojirenství.  
Sborník LASERY vo výzkume a priemysle,  
s. 221 - 224, Račkova dolina, 1988
- [75] KOPECKÝ, V.:  
Měření rychlostního pole v kanálu profilového  
paprsku tkacího stroje laserovým dopplerovským  
anemometrem.  
Výzkumná zpráva č. 31/88, VÚTS Liberec, 1988
- [76] KOPECKÝ, V.:  
Studium vzduchového prohozu na tkacích strojích  
metodou LDA.  
Sborník XI. symposium o anemometrii  
s.17 - 29, Holany, 1990

- [77] KOPECKÝ, V., ADÁMEK, K.:  
Using of LDA and Hydraulic Analogy in  
Air Jet Weaving.  
Proc. of the 5th Symp. on Flow Visualization,  
Praha, 1989,  
vyd. Hemisphere Publishing Inc.,  
Washington, D.C., 1990
- [78] Adámek, K., Kopecký, V.:  
Rychlostní pole za štafetovou tkací tryskou.  
Sborník 7.konf. Aplik. exp. metod v mechanice tekutin,  
s. 136 - 143, 1989
- [79] KOPECKÝ, V.:  
Measurements of Velocity Field in the Insertion  
Channel of Profile Reed.  
Research Report for Rüti te Strake  
Výzkumná zpráva č. 9/91, VÚTS Liberec, 1991
- [80] KOPECKÝ, V.:  
Rychlostní pole v prohozni oblasti vzduchového  
tkacího stroje s rovným paprskem a  
dvouotvorovými tryskami.  
Výzkumná zpráva pro VŠST č.11/89,  
VÚTS Liberec, 1989
- [81] KOPECKÝ, V.:  
Measurement of velocity field behind main jet  
inside profile reed channel.  
Research Report for Rüti te Strake  
Výzkumná zpráva č. 12/92, VÚTS Liberec, 1992
- [82] ADÁMEK, K., KOPECKÝ, V.:  
Rychlostní profily v prohozním kanálu.  
Výzkumná zpráva č. 19/88, VÚTS Liberec, 1988

- [83] Konzultace s pracovníky firmy Rüti te Strake.  
Prosinec 1991
- [84] WAHHOUD, A., MITO, A, B,:  
Schußeintrag mittels Luft und Wasser.  
Textil Praxis International, Januar 1985, 30 - 35
- [85] PAN NING, CHEN YUAUFU:  
An analysis of flow speed field on air jet loom.  
Journal of East China Institute of Textile Science  
and Technology, 1984, p. 60 - 64
- [86] SCHACHENMANN, A.:  
Laser - Strömungsmeßtechnik.  
Technische Rundschau Sulzer, 3/1986, str.29 - 32
- [87] Firemní manual:  
Model 1999 Rotary Encoder  
Instruction Manuals  
TSI Corporate, 500 Cardigan Road, P.O. Box 64394  
St. Paul, MN 55164, U.S.A.
- [88] KOPECKÝ V.:  
Rozhraní pro automatický sběr dat LDA do počítače  
třídy PC/AT.  
Výzkumná zpráva 8/91, VÚTS Liberec, 1991